7. Referências bibliográficas

Adams, M. J.; Treiman, R.; Pressley, M. (1996). Reading, writing and literacy. In I. Sigel, A. Renninger (Eds.), *Handbook of child psychology, vol. 4: Child psychology in practice*. New York, NY: Wiley.

Agris, U. von; Schneider, D.; Zieren, J.; Kraiss, K. (2006). *Rapid signer adaptation for isolated sign language recognition*. New York, NY: IEEE, 159. ISBN 0-7695-2646-2 Doi 10.1109/CVPRW.2006.165.

Ahlgren, I. (1990). Deictic pronouns in Swedish and Swedish Sign Language. In: S.D. Fischer; P. Siple (Eds.), *Theoretical issues in sign language research: Linguistics*, *1* (pp. 167-174). Chicago, IL: The University of Chicago Press.

Alibasic Ciciliani, T.; Wilbur, R. B. (2006). Pronominal system in Croatian Sign Language. *Sign Language & Linguistics*, *9*, 95-132.

Anastasi, A.; Urbina, S. (2000). *Testagem psicológica* (7a. ed.). Porto Alegre, RS: Artes Médicas.

Anderson, R. C.; Freebody, P. (1983). Vocabulary knowledge. In J. T. Guthrie (Ed.), *Comprehension and teaching: Research reviews* (pp. 77-117). Newark, DE: International Reading Association.

Aram, D.; Ekelman, B.; Nation, J. (1984). Preschoolers with language disorders: 10 years later. *Journal of Speech and Hearing Research*, *27*(2), 232-244.

Aran, O.; Ari, I.; Benoit, A.; Carrillo, A.H.; Fanard, F.-X.; Campr, P.; Akarun, L.; Caplier, A.; Rombaut, M.; Sankur, B. (2006). Sign language tutoring tool. *Enterface Workshop*, 16 (1), Jan.-Mar, 81-93.

Arulampalam, M.S.; Maskell, S.; Gordon, N.; Clapp, T. (2008) A tutorial on particle filters for online nonlinear/non-Gaussian Bayesian tracking. *IEEE Transactions on Signal Processing*, *50* (2), 174-188.

Askins, D.; Perlmutter, D. (1995). *Allomorphy explained through phonological representation: Person and number inflection of American Sign Language verbs*. Paper presented at the annual meeting of the German Linguistic Society, Göttingen.

Aznar, G. (2008). *Informatisation d'une forme écrite de la langue des Signes Française.* Thèse de doctorat en informatique, Université de Toulouse, France.

Baddeley, A. D. (1986). *Working memory*. Oxford, UK: Oxford University Press.

Bahan, B. (1996). *Non-manual realization of agreement in American Sign Language*. Doctoral Dissertation, Boston University, Boston, MA.

Baker, C.; Cokely, D. (1980). American Sign Language: A teacher's resource text on grammar and culture. Silver Spring, MD: *T.J. Publishers, Inc*.

Balota, D.A.; Chumbley, J.I. (1984). Are lexical decisions a good measure of lexical access? The role of word frequency in the neglected decision stage. *Journal of Experimental Psychology: Human Perception and Performance*, *10*, 340-357.

Balota, D.A.; Cortese, M.J.; Sergent-Marshall, S.D; Spieler, D.H.; Yap, M.J. (2004). Visual word recognition of single-syllable words. *Journal of Experimental Psychology: General*, *133*, 283-316.

Balota, D.A.; Pilotti, M.; Cortese, M.J. (2001). Subjective frequency estimates for 2938 monosyllabic words. *Memory and Cognition*, *29*, 639-647.

Bates, E.; Bretherton, I.; Snyder, L.; Beeghly, M.; Shore, C.; McNew, S.; Carlson, V.; Williamson, C.; Garrison, A.; et al. (1988). *From first words to grammar: Individual differences and dissociable mechanisms*. New York, NY: Cambridge University Press.

Batista, A. S. (2003). *Aprendizagem da leitura por crianças surdas em diferentes contextos comunicativos*. Dissertação de mestrado não publicada. Mestrado em Educação Especial, Universidade Federal de São Carlos.

Batista, A. S.; Costa, M. P. R. (2003). Abordagens comunicativas e os impasses na

construção da escrita do Português por crianças surdas. *Revista Brasileira de Educação Especial*, *9*(2), 155-162. (ISSN: 1413-6538).

Battison, R. (1978). *Lexical borrowing in American Sign Language*. Silver Spring, MD: Linstok Press.

Bax, M.; Hart, H.; Jenkins, S. (1980). Assessment of speech and language development in the young child. *Pediatrics*, *66*, 350-354.

Beck, I. L.; McKeon, M. G. (1981). Developing questions that promote comprehension: The story map. *Language Arts*, *58*(8), 913-918.

Bellugi, U.; Fischer, S. (1972). A comparison of sign language and spoken language. *Cognition*, *1*, 173-200.

Bellugi, U.; Klima, E. S.; Siple, P. (1975). Remembering in signs. *Cognition*, *3*(2), 93-125.

Bellugi, U.; Siple, P. (1974). Remembering with and without words. In F. Bresson (Ed.), *Current problems in psycholinguistics* (pp. 215-236). Paris, França: Centre National de la Recherche Scientifique.

Bellugi, U.; Studdert-Kennedy, M. (Eds.) (1980). *Signed and spoken language: Biological constraints on linguistic form.* Weinheim and Deerfield Beach, FL: Verlag Chemie.

Berenz, N. (1996). Person and deixis in Brazilian Sign Language. University of California, Doctoral Dissertation, Berkeley, Berkeley, CA.

Berenz, N. (2002). Insights into person deixis. *Sign Language & Linguistics*, *5* (2), 203-227.

Berenz, N.; Ferreira-Brito, L. (1990). Pronouns in BCSL and ASL. In: Edmondson, W. H.; Karlsson, F. (Eds.), SLR'87*: Papers from the Fourth International Symposium on Sign Language Research*. Lappeenranta, Finland, July 15-19, 1987. Signum, Hamburg, 26-36.

Bernstein, L.; Auer, E.; Tucker, P. (2001). Enhanced speechreading in deaf adults: Can short-term training/practice close the gap for hearing adults? *Journal of Speech, Language, and Hearing Research*, *44*, 5-18.

Bevilacqua, M. C.; Silva, M. P.; Resegue-Coppi, M. M.; Moret, A. L. M. (2011). Acessibilidade auditiva: Uma necessidade atual para o deficiente auditivo no ambiente escolar. Em F. C. Capovilla (Org.), *Transtornos de aprendizagem – 2: da análise laboratorial e da reabilitação clínica para as políticas públicas de prevenção pela via da educação* (pp. 98-104). São Paulo, SP: Memnon. (ISBN 978-85-7954-022-6).

Bourquin, E. (2005). Guiding tasks for interpreters working with deaf-blind travelers. *Views*, *23*(2), 7-19.

Boutora, L. (2006). *Vers un inventaire ordonné des configurations manuelles de la Langue des Signes Française*. Dinard, France: JEP.

Braffort, A. (1996). *Reconnaissance et compréhension de gestes, application à la langue des signes*. Thèse de doctorat en informatique, 11 Université Paris, France.

Brashear, H.; Henderson, V.; Park, K.-H.; Hamilton, H.; Lee, S.; Starner, T. (2006) American sign language recognition in game development for deaf children. In *Proceedings of the Conference on ACM SIGACCESS on Computers and Accessibility*, *New York, NY*, p. 79-86. ISBN:1-59593-290-9 doi:10.1145/1168987.1169002. Disponível em: https://research.cc.gatech.edu/ccg/?q=publications/american-sign-language-recognition-game-development-deaf-children

Brennan, M. (2001). Making borrowings work in British Sign Language. In: D. Brentari (Ed.), *Foreign vocabulary in sign languages* (pp. 49-85). Mahwah, NJ: Lawrence Erlbaum Associates.

Brentari, D. (2000). *A prosodic model of sign language phonology* (2nd ed.) Cambridge, MA: MIT Press. ISBN: 9780262024457.

Brentari, D.; Padden, C. (2001). Native and foreign vocabulary in American Sign Language: a lexicon with multiple origins. In: D. Brentari (Ed.), *Foreign vocabulary in sign languages* (pp. 87-120). Mahwah, NJ: Lawrence Erlbaum Associates.

Brien, D. (1992). *Dictionary of British Sign Language/English*. London, UK: Faber and Faber.

Brysbaert, M.; Cortese, M. J. (2010). Do the effects of subjective frequency and age of acquisition survive better word frequency norms? *Quarterly Journal of Experimental Psychology*, *64*, 545-559.

Brysbaert, M.; New, B. (2009). Moving beyond Kučera and Francis: a critical evaluation of current word frequency norms and the introduction of a new and improved word frequency measure for American English. *Behavior Research Methods*, *41*, 977-990.

Bühler, K. (1934). Theory of Language: The representational function of language. Amsterdam, North Holland: John Benjamins Publishing Company. ISBN 9789027232977. DOI: 10.1075/fos.25

Bybee, J. (2002). Word frequency and context of use in the lexical diffusion of phonetically conditioned sound change. *Language Variation and Change*, *14*, 261-290.

Bybee, J. (2006). From usage to grammar: the mind's response to repetition. *Language 82*, 711-733.

Bybee, J.; Hopper, P.J. (2001). *Frequency and the emergence of linguistic structure*. Amsterdam, North Holland: John Benjamins.

Bybee, J.; Scheibman, J. (1999). The effect of usage on degree of constituency: the reduction of don't in American English. *Linguistics*, *37*, 575-596.

Cantù, M. (2002). *Dominando o Delphi 6*. São Paulo, SP: Makron Books.

Capellini, S. A.; Padula, N. A. M. R.; Ciasca, S. M. (2004). Desempenho de escolares com distúrbio específico de leitura em programa de remediação. *Pró-Fono, 16*(3), 261-274.

Capovilla, A. G. S.; Capovilla, F. C. (2000b). *Problemas de leitura e escrita*: *Como identificar, prevenir e remediar numa abordagem fônica*. São Paulo, SP: Memnon, Fapesp.

Capovilla, A. G. S.; Capovilla, F. C. (2001). Intervenção em dificuldades de leitura e escrita com tratamento de consciência fonológica. In M. T.M. Santos, A. L. P. Navas (Orgs.), *Distúrbios de leitura e escrita: teoria e prática* (pp. 225-261). São Paulo, SP: Manole.

Capovilla, A. G. S.; Capovilla, F. C. (2002a). *Alfabetização: Método fônico*. São Paulo, SP: Memnon, Fapesp, CNPq.

Capovilla, A. G. S.; Capovilla, F. C. (2002b). Etiologia, avaliação e intervenção em dislexia do desenvolvimento. In F. C. Capovilla (Org.), *Neuropsicologia e aprendizagem: Uma abordagem multidisciplinar* (pp. 49-76). São Paulo, SP: Sociedade Brasileira de Neuropsicologia, Scortecci.

Capovilla, A. G. S.; Capovilla, F. C. (2002c). Otimizando a aquisição da linguagem escrita: Comparação entre os métodos fônico e global de alfabetização. *Cadernos de Psicopedagogia, 2*(3), 68-97.

Capovilla, A. G. S.; Capovilla, F. C. (2003a). *Alfabetização: Método fônico* (2a. edição). São Paulo, SP: Memnon, Fapesp, CNPq.

Capovilla, A. G. S.; Capovilla, F. C. (2003b). *Problemas de leitura e escrita*: *Como identificar, prevenir e remediar numa abordagem fônica* (3a. edição). São Paulo, SP: Memnon, Fapesp.

Capovilla, A. G. S.; Capovilla, F. C.; Soares, J. V. T. (2004). Consciência sintática no

ensino fundamental: Correlações com consciência fonológica, vocabulário, leitura e escrita. *Psico-USF* (São Paulo, SP), *9*(1), 39-47. (ISSN: 1413-8271).

Capovilla, A. G. S.; Capovilla, F. C.; Suiter, I. (2004). Processamento cognitivo em crianças com e sem dificuldade de leitura. *Psicologia em Estudo* (Maringá, PR), *9*(3), 449-458. (ISSN: 1413-7372, ISSN *on line*: 1807-0329).

Capovilla, A. G. S.; Gütschow, C. R. D.; Capovilla, F. C. (2002). Identificação de perfis cognitivos preditivos de dificuldades de leitura e escrita. Em E. C. Macedo; M. J. Gonçalves; F. C. Capovilla; A. L. Sennyey (Orgs.), *Tecnologia em reabilitação cognitiva 2002: Um novo olhar para avaliação e intervenção* (pp. 173-188). São Paulo, SP: Sociedade Brasileira de Neuropsicologia, e Edunisc. (ISBN: 85-87121-02-2).

Capovilla, A. G. S.; Gütschow, C. R. D.; Capovilla, F. C. (2003). Características cognitivas que predizem dificuldades de alfabetização. Em A. G. S. Capovilla (Org.), *Avaliação e intervenção em habilidades metafonológicas e de leitura e escrita* (pp. 91-105). São Paulo, SP: Memnon. (ISBN: 85-85462-59-0).

Capovilla, A. G. S.; Suiter, I.; Capovilla, F. C. (2002). Comparando o processamento cognitivo de crianças com e sem dificuldade de leitura: Diferenças em estratégias de leitura, escrita sob ditado, consciência fonológica, vocabulário, memória fonológica, processamento visual, aritmética e sequenciamento. Em E. C. Macedo; M. J. Gonçalves; F. C. Capovilla; A. L. Sennyey (Orgs.), *Tecnologia em reabilitação cognitiva 2002: Um novo olhar para avaliação e intervenção* (pp. 155-172). São Paulo, SP: Sociedade Brasileira de Neuropsicologia, e Edunisc. (ISBN: 85-87121-02-2).

Capovilla, A. G. S.; Suiter, I.; Capovilla, F. C. (2003). Diferenças em processamento cognitivo entre crianças com e sem dificuldades de leitura. Em A. G. S. Capovilla (Org.), *Avaliação e intervenção em habilidades metafonológicas e de leitura e escrita* (pp. 52-69). São Paulo, SP: Memnon. (ISBN: 85-85462-59-0).

Capovilla, A. G. S.; Suiter, I.; Capovilla, F. C. (2004). Avaliação e intervenção metafonológica em distúrbio da linguagem escrita. *Revista Psicopedagogia*, *21*(64), 57-68. (ISSN: 0103-8486).

Capovilla, F. C. (1997). Filosofias educacionais em surdez: Oralismo, Comunicação Total e Bilinguismo. *Ciência Cognitiva: Teoria, Pesquisa e Aplicação*, *1*(2), 561-588.

Capovilla, F. C. (1998a). Implante coclear para criança surda: Questão para os pais e problema de pesquisa e aconselhamento para psicólogos. *Ciência Cognitiva: Teoria, Pesquisa e Aplicação*, *2*(4), 537-596.

Capovilla, F. C. (1998b). O implante coclear como ferramenta de desenvolvimento linguístico da criança surda. *Revista Brasileira de Crescimento e Desenvolvimento Humano*, *8*(1,2), 76-88.

Capovilla, F. C. (1998c). O lugar das línguas de sinais e dos sistemas de sinais na educação do surdo. In F. C. Capovilla, W. D. Raphael, E. C. Macedo (Orgs.), *Manual ilustrado de sinais e sistema de comunicação em rede para surdos* (pp. 16-21). São Paulo, SP: Edipusp.

Capovilla, F. C. (2000a). Filosofias educacionais em relação ao surdo: Do oralismo à comunicação total ao bilinguismo. *Revista Brasileira de Educação Especial*, *6*, 99-116.

Capovilla, F. C. (2000b). *Língua de Sinais Brasileira: Dicionário enciclopédico ilustrado trilíngue – Abrindo o mundo do Surdo brasileiro à pesquisa e à intervenção psicológicas*. Tese de Livre Docência. São Paulo, SP: Universidade de São Paulo.

Capovilla, F. C. (2001a). A evolução nas abordagens à educação da criança surda: Do oralismo à comunicação total, e desta ao bilinguismo. In F. C. Capovilla, W. D. Raphael (Orgs.), *Dicionário enciclopédico ilustrado trilíngue da Língua de*

Sinais Brasileira. Volume II: Sinais de M a Z (Vol. 2, pp. 1479-1490). São Paulo, SP: Edusp, Fapesp, Fundação Vitae, Feneis, Brasil Telecom.

Capovilla, F. C. (2001b). Comunicação alternativa: Modelos teóricos e tecnológicos, filosofia educacional e prática clínica. In K. Carrara (Org.), *Educação, universidade e pesquisa* (pp. 179-208). Marília, SP: Unesp Marília Publicações, Fapesp.

Capovilla, F. C. (2001c). O implante coclear em questão: Benefícios e problemas, promessas e riscos. In F. C. Capovilla; W. D. Raphael (Orgs.), *Dicionário enciclopédico ilustrado trilíngue da Língua de Sinais Brasileira. Volume II: Sinais de M a Z* (Vol. 2, pp. 1519-1546). São Paulo, SP: Edusp, Fapesp, Fundação Vitae, Feneis, Brasil Telecom.

Capovilla, F. C. (2002a). Dicionário enciclopédico ilustrado da Língua de Sinais Brasileira. *Integração*: *Secretaria de Educação Especial do Ministério da Educação*, *14*(24), 52-55.

Capovilla, F. C. (2002b). *Neuropsicologia e aprendizagem: Uma abordagem multidisciplinar.* São Paulo, SP: Sociedade Brasileira de Neuropsicologia, Scortecci.

Capovilla, F. C. (2002c). Processamento auditivo central: Demonstrando a validade de uma bateria de triagem para crianças de 6 a 11 anos. In F. C. Capovilla (Org.), *Neuropsicologia e aprendizagem: Uma abordagem multidisciplinar* (pp. 121-146). São Paulo, SP: Sociedade Brasileira de Neuropsicologia, Scortecci.

Capovilla, F. C. (2002d). Triagem de processamento auditivo central em crianças de 6 a 11 anos. *Revista Brasileira de Crescimento e Desenvolvimento Humano*, *12*(2), 23-38.

Capovilla, F. C. (2003a). Destruindo mitos e construindo competências: Lições da França, Inglaterra e Estados Unidos para o alfabetizador brasileiro. *Revista Cultural do Sindicato dos Professores do Rio de Janeiro: Alfabetização em foco*, *4*(5), 42-70.

Capovilla, F. C. (2003b). Recursos para a avaliação e intervenção em habilidades metafonológicas e de leitura e escrita. In A. G. S. Capovilla (Org.), *Avaliação e intervenção em habilidades metafonológicas e de leitura e escrita* (pp. 7-16). São Paulo, SP: Memnon.

Capovilla, F. C. (2004a). Apanhado histórico da educação de surdos no Brasil: 150 anos de alternância entre oralismo e sinal. In F. Capovilla; W. Raphael (Orgs.), *Enciclopédia da Língua de Sinais Brasileira: O mundo do surdo em Libras, Vol. 10: Sinais de Libras e o mundo dos substantivos; e Apanhado histórico da educação de surdos no Brasil: 150 anos de alternância entre oralismo e sinal.* São Paulo, SP: Edusp, Vitae, Feneis, CNPq, Fapesp, Fusp.

Capovilla, F. C. (2004b). *Neuropsicologia e aprendizagem: Uma abordagem multidisciplinar* (2ª. edição). São Paulo, SP: Memnon.

Capovilla, F. C. (2006a). O implante coclear em questão: Benefícios e problemas, promessas e riscos. Em F. C. Capovilla; W. D. Raphael (Orgs.), *Dicionário enciclopédico ilustrado trilíngue da Língua de Sinais Brasileira*. Vol. II: Sinais de M a Z (3ª. ed., Vol. 2, pp. 1519-1546). São Paulo, SP: Edusp, Mec-FNDE.

Capovilla, F. C. (2006b). A evolução nas abordagens à educação da criança Surda: do Oralismo à Comunicação Total, e desta ao Bilinguismo. Em F. Capovilla; W. D. Raphael (Orgs.), *Dicionário enciclopédico ilustrado trilíngue da Língua de Sinais Brasileira* (3ª. ed., Vol. 2, pp. 1479-1490). São Paulo, SP: Edusp, Mec-FNDE.

Capovilla, F. C. (2008a). Principais achados e implicações do maior programa do mundo em avaliação do desenvolvimento de competências linguísticas de surdos. Em A. L. Sennyey; F. C. Capovilla; J. M. Montiel (Orgs.), *Transtornos de aprendizagem: da avaliação à reabilitação* (pp. 151-163). São Paulo, SP: Artes

Médicas. (ISBN: 978-84-367-0082-3).

Capovilla, F. C. (2008b). Recursos para educação de crianças com necessidades especiais e articulação entre educação especial e inclusiva. *O Mundo da Saúde*, *32*, 208-214.

Capovilla, F. C. (2008c). Uma visão compreensiva dos transtornos de aprendizagem. Em A. L. Sennyey; F. C. Capovilla; J. M. Montiel (Orgs.), *Transtornos de aprendizagem: da avaliação à reabilitação* (pp. VII-XXVI). São Paulo, SP: Artes Médicas. (ISBN: 978-84-367-0082-3).

Capovilla, F. C. (2009a). Avaliação escolar e políticas públicas de Educação para os alunos não ouvintes. *Pátio - Revista Pegagógica*, *13*(50), 24-25.

Capovilla, F. C. (2009b). Relações psicolinguísticas entre itens de comunicação alternativa (figuras-sinais) e palavras na transição da comunicação alternativa à alfabetização em paralisia cerebral e surdez. Em D. Deliberato; M. J. Gonçalves; E. C. Macedo (Orgs.), *Comunicação alternativa: teoria, prática, tecnologias e pesquisa* (pp. 40-54). São Paulo, SP: Memnon. (ISBN: 9788579540028).

Capovilla, F. C. (2010a). Aperfeiçoando os modelos teóricos para a alfabetização de ouvintes e surdos. Em F. C. Capovilla (Org.), *Transtornos de aprendizagem: Progressos em avaliação e intervenção preventiva e remediativa* (pp. 36-56). São Paulo, SP: Memnon. (ISBN: 978-85-7954-012-7).

Capovilla, F. C. (2010b). Progressos em avaliação e intervenção preventiva e remediativa de transtornos de aprendizagem. Em F. C. Capovilla (Org.), *Transtornos de aprendizagem: Progressos em avaliação e intervenção preventiva e remediativa* (pp. 9-35). São Paulo, SP: Memnon. (ISBN: 978-85-7954-012-7).

Capovilla, F. C. (2010c). *Transtornos de aprendizagem: Progressos em avaliação e intervenção preventiva e remediativa*. São Paulo, SP: Memnon. (ISBN: 978-85-7954-012-7).

Capovilla, F. C. (2011a). A compreensão da estrutura e do processamento da linguagem oral, escrita e de sinais como pano de fundo para compreender as dificuldades e os transtornos de aprendizagem. Em F. C. Capovilla (Org.), *Transtornos de aprendizagem – 2: da análise laboratorial e da reabilitação clínica para as políticas públicas de prevenção pela via da educação*. (pp. 8-33). São Paulo, SP: Memnon. (ISBN 978-85-7954-022-6).

Capovilla, F. C. (2011b). Paradigma neuropsicolinguístico: Refundação conceitual e metodológica na alfabetização de ouvintes, deficientes auditivos, cegos, surdos e surdocegos. Em F. C. Capovilla (Org.), *Transtornos de aprendizagem: Progressos em avaliação e intervenção preventiva e remediativa* (2ª. ed., pp. 42-131). São Paulo, SP: Memnon. (ISBN: 978-85-7954-015-8).

Capovilla, F. C. (2011c). Políticas de educação regular e especial no Brasil: Sobre os perigos de tratar as crianças ouvintes como se fossem surdas, e as surdas, como se fossem ouvintes. In A. Araújo (Org). *Aprendizagem Infantil: uma abordagem da neurociencia, economia e psicología cognitiva* (pp. 190-211). Rio de Janeiro, RJ: Academia Brasileira de Ciências. (ISBN: 978-85-85761-33-2). Disponível em: http://epge.fgv.br/conferencias/ece2011/files/Aprendizagem-Infantil.pdf

Capovilla, F. C. (2011d). Progressos em avaliação e intervenção preventiva e remediativa de transtornos de aprendizagem. Em F. C. Capovilla (Org.), *Transtornos de aprendizagem: Progressos em avaliação e intervenção preventiva e remediativa* (2ª. ed.. pp. 10-41). São Paulo, SP: Memnon. (ISBN: 978-85-7954-015-8).

Capovilla, F. C. (2011e). Sobre a falácia de tratar as crianças ouvintes como se fossem surdas, e as surdas, com se fossem ouvintes ou deficientes auditivas:

pelo reconhecimento do status linguístico especial da população escolar surda. Em N. R. L. Sá (Org.), *Surdos: qual escola?* (pp. 73-95). Manaus, AM: Editora da Universidade Federal do Amazonas.

Capovilla, F. C. (2011f). (Org.), *Transtornos de aprendizagem – 2: da análise laboratorial e da reabilitação clínica para as políticas públicas de prevenção pela via da educação*. São Paulo, SP: Memnon. (ISBN 978-85-7954-022-6).

Capovilla, F. C. (2011g). (Org.), *Transtornos de aprendizagem: Progressos em avaliação e intervenção preventiva e remediativa* (2ª. ed.). São Paulo, SP: Memnon. (ISBN: 978-85-7954-015-8).

Capovilla, F. C. (2011h). Quiremas, visemas e bípedes implumes: Por uma taxonomia da linguagem do surdo. *Espaço: Informativo Técnico-Científico do Instituto Nacional de Educação de Surdos*, *36*, 4-15. (ISSN: 0103-7668).

Capovilla, F. C. (2012). Paradigma neuropsicolinguístico para refundação conceitual e metodológica da linguagem falada, escrita e de sinais para alfabetização de ouvintes, deficientes auditivos, surdos e surdocegos. Em F. C. Capovilla; W. D. Raphael; A. C. Mauricio (Orgs.), *Novo Deit-Libras: Dicionário enciclopédico ilustrado trilíngue da Língua de Sinais Brasileira (Libras) baseado em Linguística e Neurociências Cognitivas, 2ª. edição* (2ª ed., Vol. 1, pp. 73-165). São Paulo, SP: Edusp. (ISBN: 978-85-314-1330-8).

Capovilla, F. C. (2013). Paradigma neuropsicolinguístico para refundação conceitual e metodológica da linguagem falada, escrita e de sinais para alfabetização de ouvintes, deficientes auditivos, surdos e surdocegos Em F. C. Capovilla; W. D. Raphael; A. C. Mauricio (Orgs.), *Novo Deit-Libras: Dicionário enciclopédico ilustrado trilíngue da Língua de Sinais Brasileira (Libras) baseado em Linguística e Neurociências Cognitivas*, 3a. edição, Volume 1: Sinais de A a H (3ª ed., Vol. 1, pp. 73-156). São Paulo, SP: Edusp. (ISBN: 978-85-314-1433-6).

Enciclopédia da Língua de Sinais Brasileira: O mundo do surdo em Libras, Vol. 12: Sinais de Libras e o universo do corpo humano, medicina e saúde, e sexualidade e reprodução. São Paulo, SP: Edusp.

Capovilla, F. C.; Capovilla, A. G. S. (1997). Desenvolvimento linguístico da criança dos dois aos seis anos: Tradução e estandardização do Peabody Picture Vocabulary Test de Dunn Dunn, e da Language Development Survey de Rescorla. *Ciência Cognitiva: Teoria, Pesquisa e Aplicação*, *1*(1), 353-380.

Capovilla, F. C.; Capovilla, A. G. S. (1998). Oralismo, Comunicação Total e Bilinguismo na educação do Surdo. *Temas sobre Desenvolvimento*, *7*(39) 15-22.

Capovilla, F. C.; Capovilla, A. G. S. (1999). Phonological awareness training: Effects on metaphonological, reading and spelling skills in Brazilian children. *Brazilian Journal of Dysmorphology and Speech-Hearing Disorders*, *3*, 45-66.

Capovilla, F. C.; Capovilla, A. G. S. (2001a). Compreendendo a natureza dos problemas de aquisição de leitura e escrita: Mapeando o envolvimento de distúrbios cognitivos de discriminação fonológica, velocidade de processamento e memória fonológica. *Cadernos de Psicopedagogia*, *1*(1), 14-37.

Capovilla, F. C.; Capovilla, A. G. S. (2001b). Compreendendo o processamento do código alfabético: Como entender os erros de leitura e escrita de crianças surdas. In F. C. Capovilla; W. D. Raphael (Orgs.), *Dicionário enciclopédico ilustrado trilíngue* da *Língua de Sinais Brasileira. Volume II: Sinais de M a Z* (Vol. 2, pp. 1497-1516). São Paulo, SP: Edusp, Fapesp, Fundação Vitae, Feneis, Brasil Telecom.

Capovilla, F. C.; Capovilla, A. G. S. (2002a). Atraso na aquisição de leitura: Relação com problemas de discriminação fonológica, velocidade de processamento e memória fonológica. In F. C. Capovilla (Org.), *Neuropsicologia e aprendizagem: Uma abordagem multidisciplinar* (pp. 173-192). São Paulo, SP: Sociedade

Brasileira de Neuropsicologia, Scortecci.

Capovilla, F. C.; Capovilla, A. G. S. (2002b). Educação da criança surda: Evolução das abordagens. In F. C. Capovilla (Org.), *Neuropsicologia e aprendizagem: Uma abordagem multidisciplinar* (pp. 229-256). São Paulo, SP: Sociedade Brasileira de Neuropsicologia, Scortecci.

Capovilla, F. C.; Capovilla, A. G. S. (2002c). Educação da criança surda: O bilinguismo e o desafio da descontinuidade entre língua de sinais e escrita alfabética. *Revista Brasileira de Educação Especial*, *8*(2), 127-156.

Capovilla, F. C.; Capovilla, A. G. S. (2002d). Problemas de aquisição de leitura e escrita: Efeitos de déficit de discriminação fonológica, velocidade de processamento e memória fonológica. *Estudos e Pesquisas em Psicologia*, *2*(1), 29-52.

Capovilla, F. C.; Capovilla, A. G. S. (2002e). Research on the role of phonology, orthography and cognitive skills upon reading, spelling and dyslexia in Brazilian Portuguese. In I. Smythe; J. Everatt; R. Salter (Eds.), *International Book on Dyslexia* (2nd. ed., pp. 142-155). London, UK: British Dyslexia Association.

Capovilla, F. C.; Capovilla, A. G. S. (2003a). Compreensão e tratamento de atraso na aquisição de leitura. In M. C. Marquezine (Org.), *Educação Especial: Perspectivas Multidisciplinares III*. Londrina, PR: Editora da Universidade Estadual de Londrina.

Capovilla, F. C.; Capovilla, A. G. S. (2003b). Instrumentos para avaliar problemas subjacentes a dificuldades de alfabetização: Discriminação fonêmica, velocidade de processamento, memória de trabalho fonológica e processamento auditivo central. In M. C. Marquezine (Org.), *Educação Especial: Perspectivas Multidisciplinares III*. Londrina, PR: Editora da Universidade Estadual de Londrina.

Capovilla, F. C.; Capovilla, A. G. S. (2003c). Research on the role of phonology, orthography and cognitive skills upon reading, spelling and dyslexia in Brazilian Portuguese. In I. Smythe; J. Everatt; R. Salter (Eds.), *International handbook of dyslexia* (2nd. ed., pp. 142-155). London, UK: British Dyslexia Association.

Capovilla, F. C.; Capovilla, A. G. S. (2004a). Educação da criança surda: Evolução das abordagens. Em F. C. Capovilla (Org.), *Neuropsicologia e aprendizagem: Uma abordagem multidisciplinar* (2a. ed., pp. 221-248). São Paulo, SP: Memnon, Capes, e Sociedade Brasileira de Neuropsicologia. (ISBN: 85–85462–68–X).

Capovilla, F. C.; Capovilla, A. G. S. (2004b). O desafio da descontinuidade entre a língua de sinais e a escrita alfabética na educação bilíngue do surdo congênito. In C. Rodrigues; L. M. B. Tomitch (Orgs.), *A linguagem e o cérebro: Contribuições multidisciplinares* (pp. 19-51). Porto Alegre, RS: Artes Médicas.

Capovilla, F. C.; Capovilla, A. G. S. (2005). Visão geral do primeiro século de educação de surdos no Brasil: alternância entre oralismo e sinal. *Cadernos de Psicopedagogia*, São Paulo, SP, *4*, 30-53.

Capovilla, F. C.; Capovilla, A. G. S. (2006a). Compreendendo o processamento do código alfabético: Como entender os erros de leitura e escrita das crianças Surdas. Em F. C. Capovilla; W. D. Raphael (Orgs.), *Dicionário enciclopédico ilustrado trilíngue da Língua de Sinais Brasileira. Vol. II: Sinais de M a Z* (3ª. ed., Vol. 2, pp. 1497-1516). São Paulo, SP: Edusp, MEC-FNDE.

Capovilla, F. C.; Capovilla, A. G. S. (2006b). Leitura de estudantes surdos: desenvolvimento e peculiaridades em relação à de ouvintes. *Educação Temática Digital* (Campinas, SP), *7*(2), 217-227.

Capovilla, F. C.; Capovilla, A. G. S. (2006c). Memória em dislexia do desenvolvimento e surdez congênita: Comparando arquiteturas cognitivas. *Revista Educação Especial* (UFSM), *28*, 247-263.

Capovilla, F. C.; Capovilla, A. G. S.; Macedo, E. C. (1996). Língua de Sinais ou sistema de sinais? *Reflexões e Pesquisa em Psicologia*, *3*(1), 53-69.

Capovilla, F. C.; Capovilla, A. G. S.; Macedo, E. C. (1998). O uso de sistemas alternativos e facilitadores de comunicação nas afasias. *Distúrbios da Comunicação*, *9*(2), 233-259.

Capovilla, F. C.; Capovilla, A. G. S.; Macedo, E. C. (2001a). Comunicação alternativa na USP na década 1991-2001: Tecnologia e pesquisa em reabilitação, educação e inclusão. *Temas sobre Desenvolvimento, 10*(58-59), 18CE-42CE.

Capovilla, F. C.; Capovilla, A. G. S.; Macedo, E. C. (2001b). Rota perilexical na leitura em voz alta: Tempo de reação, duração e segmentação na pronúncia. *Psicologia: Reflexão e Crítica*, *14*(2), 409-427.

Capovilla, F. C.; Capovilla, A. G. S.; Macedo, E. C. (2005a). Avaliando a competência de leitura de sentenças em surdos do Ensino Fundamental ao Médio por meio do Teste de Competência de Leitura de Sentenças (TCLS1.1). Em E. C. Macedo; F. C. Capovilla (Orgs.), *Temas em neuropsicolinguística* (pp. 143-152). Ribeirão Preto, SP: Editora Tecmedd Sociedade Brasileira de Neuropsicologia.

Capovilla, F. C.; Capovilla, A. G. S.; Macedo, E. C. (2005b). Modelos de memória de trabalho fonológica no surdo, afásico e disléxico fonológico. Em E. C. Macedo; F. C. Capovilla (Orgs.), *Temas em neuropsicolinguística* (pp. 39-64). Ribeirão Preto, SP: Editora Tecmedd Sociedade Brasileira de Neuropsicologia.

Capovilla, F. C.; Capovilla, A. G. S.; Macedo, E. C. (2006). Recursos de reabilitação de distúrbios da comunicação e linguagem para melhor qualidade de vida em quadros sensoriais, motores e cognitivos. *O Mundo da Saúde*, São Paulo, SP, *30*(1), 26-36.

Capovilla, F. C.; Capovilla, A. G. S.; Macedo, E. C. (2007). (Tele)avaliando o desenvolvimento da competência de leitura em ouvintes e surdos de escolas especiais e comuns: O estado da arte. Em E. C. Miotto; M. C. S. Lucia; M. Scaff (Orgs.), *Neuropsicologia e as interfaces com as neurociências* (pp. 229-240). São Paulo, SP: Casa do Psicólogo.

Capovilla, F. C.; Capovilla, A. G. S.; Macedo, E. C.; Bidá, M. C. P. R.; Neves, M. V.; Giacomet, A.; Ameni, R.; Mazza, C. (2005). *Processos quirêmicos, semânticos e ortográficos na competência de leitura de surdos do Ensino Fundamental ao Médio: Avaliação da habilidade de nomear figuras por escolha de palavras por meio do TNF1.1 Escolha*. Em E. C. Macedo; F. C. Capovilla (Orgs.), *Temas em neuropsicolinguística* (pp. 103-116). São Paulo, SP: Editora Tecmedd, Sociedade Brasileira de Neuropsicologia.

Capovilla, F. C.; Capovilla, A. G. S.; Macedo, E. C.; Bidá, M. C. P. R.; Neves, M. V.; Giacomet, A.; Ameni, R.; Valle, L. E. R.; Mazza, C. (2005). Processos de decodificação e de reconhecimento visual direto na competência de leitura de surdos do Ensino Fundamental ao Médio: Avaliação da habilidade de decisão lexical por meio do TCLP1.1. Em E. C. Macedo; F. C. Capovilla (Orgs.), *Temas em neuropsicolinguística* (pp. 117-142). São Paulo, SP: Tecmedd, Sociedade Brasileira de Neuropsicologia.

Capovilla, F. C.; Capovilla, A. G. S.; Mazza, C. Z.; Ameni, R.; Neves, M. V. (2006). Quando alunos surdos escolhem palavras escritas para nomear figuras: Paralexias ortográficas, semânticas e quirêmicas. *Revista Brasileira de Educação Especial*, *12*, 203-220.

Capovilla, F. C.; Capovilla, A. G. S.; Nunes, L.; Araújo, I.; Nunes, D.; Nogueira, D.; Bernat, A. B. (1997). Versão brasileira do Teste de Vocabulário por Imagens Peabody. *Distúrbios da comunicação*, *8*(2) 151-162.

Capovilla, F. C.; Capovilla, A. G. S.; Raphael, W. D.; Macedo, E. C. (2005). Figuras de linguagem na língua do surdo brasileiro: Compreendendo a codificação de significados na estrutura sublexical morfêmica dos sinais de Libras. Em E. C.

Macedo; F. C. Capovilla (Orgs.), *Temas em neuropsicolinguística* (pp. 153-180). São Paulo, SP: Tecmedd Sociedade Brasileira de Neuropsicologia.

Capovilla, F. C.; Capovilla, A. G. S.; Viggiano, K. Q. F.; Bidá, M. C. P. R. (2004). Avaliando compreensão de sinais de Libras em escolares surdos do ensino fundamental. *Revista Interação* (Curitiba, PR), *8*(2), 159-169. (ISSN: 1516-1854).

Capovilla, F. C.; Capovilla, A. G. S.; Viggiano, K. Q. F.; Bidá, M. C. P. R.; Mauricio, A. C. (2003b). Ensino fundamental de surdos em São Paulo: Características de seis escolas municipais e filantrópicas e de seus 1.158 estudantes. *Cadernos de Psicopedagogia* (São Paulo, SP), *2*(4), 46-63. (ISSN: 1676-1049).

Capovilla, F. C.; Capovilla, A. G. S.; Viggiano, K. Q. F.; Bidá, M. C. P. R.; Mauricio, A. C. (2004a). Educação de surdos em São Paulo do Ensino Fundamental ao Médio: Características das escolas e de 1.158 alunos de 6 a 45 anos de idade. Em L. E. L. Ribeiro do Valle (Org.), *Temas multidisciplinares de neuropsicologia e aprendizagem* (2ª ed., pp. 91-110). São Paulo, SP: Robe Editorial e Sociedade Brasileira de Neuropsicologia. (ISBN: 85-73632119).

Capovilla, F. C.; Capovilla, A. G. S.; Viggiano, K. Q. F.; Bidá, M. C. P. R.; Mauricio, A. C. (2004b). Leitura em surdos do Ensino Fundamental ao Médio: Processamento logográfico, perilexical e lexical. Em L. E. L. Ribeiro do Valle; F. C. Capovilla (Orgs.), *Temas multidisciplinares de neuropsicologia e aprendizagem* (2ª ed., pp. 173-180). São Paulo, SP: Tecmedd e Sociedade Brasileira de Neuropsicologia. (ISBN: 85-8665302-0).

Capovilla, F. C.; Capovilla, A. G. S.; Viggiano, K. Q. F.; Bidá, M. C. P. R.; Mauricio, A. C. (2011). Educação de surdos em São Paulo do Ensino Fundamental ao Médio: Características das escolas e de 1.158 alunos de 6 a 45 anos de idade. Em L. E. L. Ribeiro do Valle (Org.), *Temas multidisciplinares de neuropsicologia e aprendizagem* (3ª ed.,). Ribeirão Preto, SP: Editora Novo Conceito.

Capovilla, F. C.; Capovilla, A. G. S.; Viggiano, K. Q. F.; Mauricio, A. C.; Bidá, M. C. P. R. (2005). Processos logográficos, alfabéticos e lexicais na leitura silenciosa por surdos e ouvintes. *Estudos de Psicologia* (Natal, RN), *10*(1), 15-24.

Capovilla, F. C.; Capovilla, A. G. S.; Viggiano, K. Q. F.; Raphael, W. D.; Luz, R. D. (2004). O desafio do bilinguismo na educação do surdo: Descontinuidade entre a língua de sinais e a escrita alfabética e estratégias para resolvê-la. Em F. C. Capovilla (Org.), *Neuropsicologia e aprendizagem: Uma abordagem multidisciplinar* (2a. ed., pp. 253-265). São Paulo, SP: Memnon, Capes, e Sociedade Brasileira de Neuropsicologia. (ISBN: 85–85462–68–X).

Capovilla, F. C.; Capovilla, A. G. S.; Viggiano, K.; Bidá, M. C. P. R.; Mauricio, A. C. (2003). Ensino fundamental de surdos em São Paulo: Características de seis escolas municipais e filantrópicas e de seus 1.158 estudantes. *Cadernos de Psicopedagogia*, *2*(4), 46-63.

Capovilla, F. C.; De Martino, J. M.; Macedo, E. C.; Sousa-Sousa, C. C.; Graton-Santos, L. E.; Maki, K. (2009). Alfabetização produz leitura orofacial? Evidência transversal com ouvintes de 1ª a 3ª séries da Educação Infantil, e de coorte (transversal-longitudinal) com surdos de 4ª. a 8ª. séries do Ensino Fundamental. Em J. M. Montiel; F. C. Capovilla (Orgs.), *Atualização em transtornos de aprendizagem* (pp. 497-540). São Paulo, SP: Artes Médicas. (ISBN 978-85-367-0108-0).

Capovilla, F. C.; Duarte, M. A. B. L.; Temóteo, J. G. (2012). (Orgs.), *Provinha Brasil em Libras (PBL-2): Normatizada e validada para alunos surdos do 2º. ao 5º. ano do Ensino Fundamental.* São Paulo, SP: Memnon. (ISBN: 978-85-7954-027-1).

Capovilla, F. C.; Duduchi, M.; Macedo, E. C. (1998). Sistema de multimídia para comunicação pictossilábica: Análise de seis meses de uso domiciliar de ImagoVox por uma mulher com paralisia cerebral. *Ciência Cognitiva: Teoria,*

Pesquisa e Aplicação, *2*(3), 21-112.

Capovilla, F. C.; Duduchi, M.; Raphael, W. D.; Luz, R. D.; Rozados, D. (2002). Enciclopédia digital da Língua de Sinais Brasileira e sistemas de indexação e busca de sinais baseadas em menus quirêmicos. *Espaço: Informativo Técnico–Científico do Instituto Nacional de Educação e Integração de Surdos* (Rio de Janeiro, RJ), *17*, 43–59. (ISSN: 0103–7668).

Capovilla, F. C.; Duduchi, M.; Raphael, W. D.; Luz, R. D.; Rozados, D.; Capovilla, A. G. S.; Macedo, E. C. (2003). Brazilian Sign Language lexicography and technology: Dictionary, digital encyclopedia, chereme-based sign-retrieval and quadriplegic deaf communication systems. *Sign Language Studies* (Washington, DC), *3*(4), 393–430. (ISSN: 0302–1475).

Capovilla, F. C.; Duduchi, M.; Raphael, W. D.; Luz, R. D.; Rozados, D.; Macedo, E. C. (2001). SignTracking: Computerized search system for retrieving Brazilian Sign Language signs based on cheremes and not on Portuguese glosses or semantic classes. In G. H. G. Joachim; S. Prillwitz; T. Hanke (Eds.), *International bibliography of Sign Language*. Institute of German Sign Language and Communication of the Deaf, University of Hamburg. Disponível na Internet em http://www.sign-lang.uni-hamburg.de/bibweb/F-Search.html.

Capovilla, F. C.; Duduchi, M.; Raphael, W. D.; Luz, R. D.; Rozados, D. (2002). Enciclopédia digital da Língua de Sinais Brasileira e sistemas de indexação e busca de sinais baseadas em menus quirêmicos. *Espaço: Informativo Técnico–Científico do Instituto Nacional de Educação e Integração de Surdos* (Rio de Janeiro, RJ), *17*, 43–59. (ISSN: 0103–7668).

Capovilla, F. C.; Duduchi, M.; Raphael, W. D.; Luz, R. D.; Rozados, D.; Capovilla, A. G. S.; Macedo, E. C. (2003). Brazilian Sign Language lexicography and technology: Dictionary, digital encyclopedia, chereme-based sign-retrieval and quadriplegic deaf communication systems. *Sign Language Studies* (Washington, DC), *3*(4), 393–430. (ISSN: 0302–1475).

Capovilla, F. C.; Duduchi, M.; Raphael, W. D.; Luz, R. D.; Rozados, D.; Macedo, E. C. (2001). SignTracking: Computerized search system for retrieving Brazilian Sign Language signs based on cheremes and not on Portuguese glosses or semantic classes. In G. H. G. Joachim; S. Prillwitz; T. Hanke (Eds.), *International bibliography of Sign Language*. Institute of German Sign Language and Communication of the Deaf, University of Hamburg. Disponível na Internet em http://www.sign-lang.uni-hamburg.de/bibweb/F-Search.html.

Capovilla, F. C.; Duduchi, M.; Raphael, W. D.; Luz, R. D.; Rozados, D.; Macedo, E. C. (2006). *BuscaSigno*: Sistema computadorizado de busca *SematosÊmica-SignumIcular* de Libras que recupera sinais por forma de mão e não verbete ou classe semântica. Em F. C. Capovilla; W. D. Raphael (Orgs.), *Dicionário enciclopédico ilustrado trilíngue da Língua de Sinais Brasileira. Vol. II: Sinais de M a Z* (3ª. ed., Volume 2: pp. 1573-1602). São Paulo, SP: Edusp, MEC-FNDE.

Capovilla, F. C.; Duduchi, M.; Rozados, D. (2002). Como levar surdos a fazer acesso lexical direto aos sinais de Libras: Enciclopédia digital com sistema de indexação e busca de sinais por menus quirêmicos. Em E. C. Macedo, M. J. Gonçalves, F. C. Capovilla; A. L. Sennyey (Orgs.), *Tecnologia em (re)habilitação cognitiva 2002: Um novo olhar para avaliação e intervenção* (pp. 42–53). São Paulo, SP: Sociedade Brasileira de Neuropsicologia e Edunisc. (ISBN: 85–87121–02–2).

Capovilla, F. C.; Duduchi, M.; Rozados, D. (2002). Como levar surdos a fazer acesso lexical direto aos sinais de Libras: Enciclopédia digital com sistema de indexação e busca de sinais por menus quirêmicos. Em E. C. Macedo, M. J. Gonçalves, F. C. Capovilla; A. L. Sennyey (Orgs.), *Tecnologia em*

(re)habilitação cognitiva 2002: Um novo olhar para avaliação e intervenção (pp. 42–53). São Paulo, SP: Sociedade Brasileira de Neuropsicologia e Edunisc. (ISBN: 85–87121–02–2).

Capovilla, F. C.; Garcia, W. (2011). Visemas, quiremas, e bípedes implumes: Por uma revisão taxonômica da linguagem do surdo que substitua visemas por fanerolaliemas, e quiremas por simatosemas para forma de mão (quiriformemas), local de mão (quiritoposema), movimento de mão (quiricinesema), e expressão facial (mascarema). Em F. C. Capovilla (Org.), *Transtornos de aprendizagem – 2: da análise laboratorial e da reabilitação clínica para as políticas públicas de prevenção pela via da educação*. (pp. 82-91). São Paulo, SP: Memnon. (ISBN 978-85-7954-022-6).

Capovilla, F. C.; Garcia, W. (2011). Visemas, quiremas, e bípedes implumes: Por uma revisão taxonômica da linguagem do surdo que substitua visemas por fanerolaliemas, e quiremas por simatosemas para forma de mão (quiriformemas), local de mão (quiritoposema), movimento de mão (quiricinesema), e expressão facial (mascarema). Em F. C. Capovilla (Org.), *Transtornos de aprendizagem – 2: da análise laboratorial e da reabilitação clínica para as políticas públicas de prevenção pela via da educação*. (pp. 82-91). São Paulo, SP: Memnon. (ISBN 978-85-7954-022-6).

Capovilla, F. C.; Giacomet, A. Mazza, C. Z.; Ameni, R.; Neves, M. V.; Capovilla, A. G. S. (2006). Quando surdos nomeiam figuras: Processos quirêmicos, semânticos e ortográficos. *Perspectiva* (Florianópolis, SC), *24*, 153-175.

Capovilla, F. C.; Gonçalves, M. J.; Macedo, E. C. (1998). (Orgs.), *Tecnologia em (re)habilitação cognitiva: Uma perspectiva multidisciplinar*. São Paulo, SP: Sociedade Brasileira de Neuropsicologia, Edunisc.

Capovilla, F. C.; Gonçalves, M. J.; Macedo, E. C.; Duduchi, M. (1997). Processos verbais de fala interna na codificação de mensagens picto-ideográficas por menina paralisada cerebral usando um sistema computadorizado de comunicação. *Ciência Cognitiva: Teoria, Pesquisa e Aplicação*, *1*(1), 141-200.

Capovilla, F. C.; Gonçalves, M. J.; Macedo, E. C.; Duduchi, M. (1998). Codificação de mensagens picto-ideográficas em paralisia cerebral: Participação de processos verbais. *Distúrbios da Comunicação*, *9*(2), 261-291.

Capovilla, F. C.; Graton-Santos, L. E. (2013). Compreensão da fala: Relações entre audição e leitura orofacial, elucidadas por fluxograma de processamento de informação AcusticoFonÊmica e FaneroLaliÊmica. Em F. C. Capovilla; W. D. Raphael; A. C. Mauricio (Orgs.), *Novo Deit-Libras: Dicionário enciclopédico ilustrado trilíngue da Língua de Sinais Brasileira (Libras) baseado em Linguística e Neurociências Cognitivas*, 3a. edição, Volume 1: Sinais de A a H (3ª ed., Vol. 1, pp. 229-233). São Paulo, SP: Edusp. (ISBN: 978-85-314-1433-6).

Capovilla, F. C.; Luz, R. D. (2001). *Thesaurus* English-Portuguese - Dicionário Inglês-Português. In F. C. Capovilla; W. D. Raphael (Orgs.), *Dicionário enciclopédico ilustrado trilíngue da Língua de Sinais Brasileira. Volume II: Sinais de M a Z* (Vol. 2, pp. 1345-1430). São Paulo, SP: Edusp, Fapesp, Fundação Vitae, Feneis, Brasil Telecom.

Capovilla, F. C.; Luz, R. D. (2006). Thesaurus: English-Portuguese Dicionário Inglês-Português. Em F. C. Capovilla; W. D. Raphael (Orgs.), *Dicionário enciclopédico ilustrado trilíngue da Língua de Sinais Brasileira. Vol. II: Sinais de M a Z* (3ª. ed., Vol. 2,, pp. 1345-1430). São Paulo, SP: Edusp, Mec-FNDE.

Capovilla, F. C.; Macedo, E. C.; Capovilla, A. G. S. (1997). O processamento de informação no paralisado cerebral e o uso de sistemas de comunicação alternativa como próteses cognitivas. *Reflexões e Pesquisa em Psicologia*, 4(1), 161-184.

Capovilla, F. C.; Macedo, E. C.; Capovilla, A. G. S. (2002a). Tecnologia para análise

de emissões vocálicas em nomeação e leitura oral nas afasias e dislexias. In F. C. Capovilla (Org.), *Neuropsicologia e aprendizagem: Uma abordagem multidisciplinar* (pp. 327-346). São Paulo, SP: Sociedade Brasileira de Neuropsicologia e Scortecci.

Capovilla, F. C.; Macedo, E. C.; Capovilla, A. G. S. (2002b). Usando testes computadorizados de competência de leitura silenciosa e em voz alta para mapear desenvolvimento de rotas de leitura, e testes de compreensão auditiva e de leitura para diagnóstico diferencial de dislexia. In F. C. Capovilla (Org.), *Neuropsicologia e aprendizagem: Uma abordagem multidisciplinar* (pp. 355-379). São Paulo, SP: Sociedade Brasileira de Neuropsicologia e Scortecci.

Capovilla, F. C.; Macedo, E. C.; Capovilla, A. G. S.; Bidá, M. C. P. R.; Neves, M. V. (2005). Avaliação da compreensão de sinais em surdos do Ensino Fundamental por meio do TVRSL1 aplicado com sinalização ao vivo. Em E. C. Macedo, F. C. Capovilla (Orgs.), *Temas em neuropsicolinguística* (pp. 83-102). São Paulo, SP: Editora Tecmedd, Sociedade Brasileira de Neuropsicologia.

Capovilla, F. C.; Macedo, E. C.; Capovilla, A. G. S.; Charin, S. (1998). Competência de leitura: Modelos teóricos e sistemas computadorizados para avaliação de leitura silenciosa e em voz alta. *Ciência Cognitiva: Teoria, Pesquisa e Aplicação*, 2*(4), 597-676.*

Capovilla, F. C.; Macedo, E. C.; Capovilla, A. G. S.; Thiers, V. O.; Duduchi, M. (1997). Versões computadorizadas de testes psicométricos tradicionais: Estendendo as fronteiras da psicometria para abarcar populações especiais. *Boletim de Psicologia,* 47*(106), 1-19.*

Capovilla, F. C.; Macedo, E. C.; Capovilla, A. G. S.; Thiers, V. O.; Raphael, W. D.; Duduchi, M. (1998). Avaliação computadorizada de leitura em dislexia, conhecimento de sinais em surdez, e habilidades escolásticas em paralisia cerebral. In F. C. Capovilla; M. J. Gonçalves; E. C. Macedo (Orgs.), *Tecnologia em (re)habilitação cognitiva: uma perspectiva multidisciplinar* (pp. 83-91). São Paulo, SP: Sociedade Brasileira de Neuropsicologia, Edunisc.

Capovilla, F. C.; Macedo, E. C.; Charin, S. (2001). Tecnologia e modelos na avaliação de compreensão em leitura silenciosa e de reconhecimento e decodificação em leitura em voz alta. Em M. T. M. Santos; A. L. P. Navas (Orgs.), *Distúrbios de leitura e escrita: Teoria e prática* (pp. 97-167). São Paulo, SP: Manole.

Capovilla, F. C.; Macedo, E. C.; Duduchi, M.; Capovilla, A. G. S.; Gonçalves, M. J. (1998). Sistemas de multimídia: Ferramentas para estudar processos cognitivos e próteses cognitivas em auxílio à aquisição de leitura e escrita em paralisia cerebral. In F. C. Capovilla; M. J. Gonçalves; E. C. Macedo (Orgs.), *Tecnologia em (re)habilitação cognitiva: uma perspectiva multidisciplinar* (pp. 328-337). São Paulo, SP: Sociedade Brasileira de Neuropsicologia, Edunisc.

Capovilla, F. C.; Macedo, E. C.; Duduchi, M.; Capovilla, A. G. S.; Thiers, V. O. (1997). Sistemas computadorizados para comunicação e aprendizagem pelo paralisado cerebral: Sua engenharia e indicações clínicas. *Ciência Cognitiva: Teoria, Pesquisa e Aplicação*, *1*(1), 201-248.

Capovilla, F. C.; Macedo, E. C.; Duduchi, M.; Capovilla, A. G. S.; Thiers, V. O. (1998). Sistemas de comunicação alternativa e suplementar: Princípios de engenharia e design. *Distúrbios da Comunicação*, *9*(2), 185-231.

Capovilla, F. C.; Macedo, E. C.; Duduchi, M.; Charin, S.; Raphael, W. D. (1998). Recursos tecnológicos para a inclusão escolar de paralisados cerebrais e surdos. Em M. J. Gonçalves; E. C. Macedo; A. L. Sennyey; F. C. Capovilla (Eds.), *Tecnologia em (re)habilitação cognitiva 2000: A dinâmica clínica, teoria e pesquisa* (pp. 388-394). São Paulo, SP: Edunisc, Sociedade Brasileira de Neuropsicologia.

Capovilla, F. C.; Macedo, E. C.; Duduchi, M.; Raphael, W. D.; Charin, S.; Capovilla, A. G. S. (2001). SignoFone: Sistema computadorizado de sinais de Libras animados, falantes e selecionáveis pelo piscar, para comunicação do Surdo paralisado com o ouvinte e telecomunicação de surdos. In F. C. Capovilla; W. D. Raphael (Eds.), *Dicionário enciclopédico ilustrado trilíngue da Língua de Sinais Brasileira. Volume II: Sinais de M a Z* (Vol. 2, pp. 1547-1572). São Paulo, SP: Edusp, Fapesp, Fundação Vitae, Feneis, Brasil Telecom.

Capovilla, F. C.; Macedo, E. C.; Duduchi, M.; Raphael, W. D.; Charin, S.; Capovilla, A. G. S. (2006). SignoFone: Sistema computadorizado de sinais de Libras animados, falantes e selecionáveis pelo piscar para comunicação do Surdo paralisado com o ouvinte e telecomunicação de Surdos. Em F. C. Capovilla; W. D. Raphael (Orgs.), *Dicionário enciclopédico ilustrado trilíngue da Língua de Sinais Brasileira. Vol. II: Sinais de M a Z* (3ª. ed., Vol. 2, pp. 1547-1572). São Paulo, SP: Edusp, Mec-FNDE. (ISBN: 85-314-0669-2).

Capovilla, F. C.; Macedo, E. C.; Duduchi, M.; Sória, R. A. B. (1999). Desenvolvimento das rotas de leitura fonológica e lexical em escolares, e de seu comprometimento em disléxicos. Em L. Pasquali (Org.), *Instrumentos psicológicos: Manual prático de elaboração* (pp. 259-293). Brasília, DF: LabPAM, IBAPP, Universidade de Brasília.

Capovilla, F. C.; Macedo, E. C.; Penna, J. S.; Capovilla, A. G. S. (2006). Teleavaliação de leitura e escrita em surdos de 5ª. e 6ª. séries incluídos em três escolas públicas comuns do ensino fundamental. Em Conselho Regional de Psicologia (Org.), *Psicologia e informática*. (Vol. 3, pp. 199-234). São Paulo, SP: Conselho Regional de Psicologia de São Paulo.

Capovilla, F. C.; Marins, K. C.; Jacote, A.; Damazio, M.; Graton-Santos, L. E. (2013). (De)Cifrando o Português na Nova Ortografia: Parâmetros de dificuldade de leitura e de escrita sob ditado na fase alfabética. Em F. C. Capovilla; W. D. Raphael; A. C. Mauricio (Orgs.), *Novo Deit-Libras: Dicionário enciclopédico ilustrado trilíngue da Língua de Sinais Brasileira (Libras) baseado em Linguística e Neurociências Cognitivas*, 3a. edição, Volume 1: Sinais de A a H (3ª ed., Vol. 1, pp. 157-166). São Paulo, SP: Edusp. (ISBN: 978-85-314-1433-6).

Capovilla, F. C.; Mauricio, A. C.; Raphael, W. D. (2009a). Metaneuropsicolinguística Cognitiva da representação mental: Desenvolvimento do raciocínio neuropsicolinguístico para compreender as figuras de linguagem numa língua figurativa - O caso da análise da estrutura morfêmica molecular e molar de Libras. Em J. M. Montiel; F. C. Capovilla (Orgs.), *Atualização em transtornos de aprendizagem* (pp. 407-474). São Paulo, SP: Artes Médicas. (ISBN 978-85-367-0108-0).

Capovilla, F. C.; Mauricio, A. C.; Raphael, W. D. (2009b). New English-Portuguese Thesaurus, Subdicionário Inglês-Português. Em F. C. Capovilla; W. D. Raphael; A. C. Mauricio (Orgs.), *Novo Deit-Libras: Dicionário enciclopédico ilustrado trilíngue da Língua de Sinais Brasileira (Libras) baseado em Linguística e Neurociências Cognitivas* (Vol. 2, pp. 2277-2356). São Paulo, SP: Edusp. (ISBN: 85-314-1179-3).

Capovilla, F. C.; Mauricio, A. C.; Raphael, W. D. (2009c). Novo Deit-Libras: Dicionário enciclopédico ilustrado trilíngue da Língua de Sinais Brasileira (Libras) baseado em Linguística e Neurociências Cognitivas - por um novo paradigma na dicionarização das línguas de sinais. Em F. C. Capovilla; W. D. Raphael; A. C. Mauricio (Orgs.), *Novo Deit-Libras: Dicionário enciclopédico ilustrado trilíngue da Língua de Sinais Brasileira (Libras) baseado em Linguística e Neurociências Cognitivas* (Vol. 1, pp. 21-42). São Paulo, SP: Edusp. (ISBN: 85-314-1178-6).

Capovilla, F. C.; Mauricio, A. C.; Raphael, W. D. (2012). Novo Deit-Libras: Dicionário enciclopédico ilustrado trilíngue da Língua de Sinais Brasileira (Libras) baseado

em Linguística e Neurociências Cognitivas - por um novo paradigma na dicionarização das línguas de sinais. Em F. C. Capovilla; W. D. Raphael; A. C. Mauricio (Orgs.), *Novo Deit-Libras: Dicionário enciclopédico ilustrado trilíngue da Língua de Sinais Brasileira (Libras) baseado em Linguística e Neurociências Cognitivas, 2ª. edição* (Vol. 1, pp. 21-42). São Paulo, SP: Edusp. (ISBN: 978-85-314-1330-8).

Capovilla, F. C.; Mauricio, A. C.; Raphael, W. D. (2013). Novo Deit-Libras: Dicionário enciclopédico ilustrado trilíngue da Língua de Sinais Brasileira (Libras) baseado em Linguística e Neurociências Cognitivas – por um novo paradigma na dicionarização das línguas de sinais. Em F. C. Capovilla; W. D. Raphael; A. C. Mauricio (Orgs.), *Novo Deit-Libras: Dicionário enciclopédico ilustrado trilíngue da Língua de Sinais Brasileira (Libras) baseado em Linguística e Neurociências Cognitivas*, 3a. edição, Volume 1: Sinais de A a H (3ª ed., Vol. 1, pp. 21-44). São Paulo, SP: Edusp. (ISBN: 978-85-314-1433-6).

Capovilla, F. C.; Mazza, C. R. Z. (2008). Nomeação de sinais de Libras por escolha de palavras: paragrafias quirêmicas, semânticas e ortográficas por surdos do Ensino Fundamental ao Ensino Superior. Em A. L. Sennyey; F. C. Capovilla; J. M. Montiel (Orgs.), *Transtornos de aprendizagem: da avaliação à reabilitação* (pp. 179-193). São Paulo, SP: Artes Médicas. (ISBN: 978-84-367-0082-3).

Capovilla, F. C.; Nunes, L. R. O. P. (2001). A memória de trabalho no paralisado cerebral: Procedimento para avaliar habilidade e processos subjacentes. *Revista Brasileira de Educação Especial*, *7*(1), 1-23.

Capovilla, F. C.; Nunes, L. R. O. P. (2003). Sistemas de comunicação alternativa como próteses sensoriais, motoras e cognitivas em paralisia cerebral: Uma abordagem de processamento de informação. Em L. R. O. P. Nunes (Org.), *Favorecendo o desenvolvimento da comunicação em portadores de necessidades especiais* (pp. 49-61). Rio de Janeiro, RJ: Editora Dunya.

Capovilla, F. C.; Nunes, L. R. O. P.; Macedo, E. C.; Nunes, D.; Araújo, I.; Bernat, A. B.; Duduchi, M.; Nogueira, D.; Passos, M.; Magalhães, A. P.; Madeira, S. (1997). Processamento de informação na memória de trabalho do paralisado cerebral: Efeitos de primazia e recência e a natureza da consolidação. *Ciência Cognitiva: Teoria, Pesquisa e Aplicação*, *1*(1), 249-300.

Capovilla, F. C.; Nunes, L. R. O. P.; Nogueira, D.; Nunes, D.; Araújo, I.; Bernat, A. B.; Capovilla, A. G. S. (1997). Análise da validade concorrente do Teste de Vocabulário por Imagens Peabody por comparação com o desempenho escolar de pré-escola a 8ª. série: Amostra fluminense. *Ciência Cognitiva: Teoria, Pesquisa e Aplicação, 1*(2), 533-560.

Capovilla, F. C.; Nunes, L. R. O. P.; Nunes, D.; Araújo, I.; Nogueira, D.; Bernat, A. B.; Capovilla, A. G. S. (1997). O desenvolvimento do vocabulário receptivo auditivo da pré-escola à oitava série: Normatização fluminense baseada em aplicação coletiva da tradução brasileira do Teste de Vocabulário por Imagens Peabody. *Ciência Cognitiva: Teoria, Pesquisa e Aplicação, 1*(1), 381-440.

Capovilla, F. C.; Oliveira, W. G. (2013). Análise da estrutura *SematosÊmica-SignumIcular* do *corpus* de 10.338 sinais da 3ª ed. do Novo Deit Libras via *BuscaSigno*, versão 2. Em F. C. Capovilla; W. D. Raphael; A. C. Mauricio (Orgs.), *Novo Deit-Libras: Dicionário enciclopédico ilustrado trilíngue da Língua de Sinais Brasileira (Libras) baseado em Linguística e Neurociências Cognitivas*, 3a. edição, Volume 2: Sinais de I a Z (3ª ed., Vol. 2, pp. 2684-2701). São Paulo, SP: Edusp. (ISBN: 978-85-314-1434-3).

Capovilla, F. C.; Raphael, W. D. (2001). Prefácio. Em F. C. Capovilla; W. D. Raphael (Orgs.), *Dicionário enciclopédico ilustrado trilíngue da Língua de Sinais Brasileira. Vol. I: Sinais de A a L* (2ª. ed., Vol. 1, pp. 29-36). São Paulo, SP: Edusp e Imprensa Oficial do Estado de São Paulo. (ISBN: 85-314-0668-4).

Capovilla, F. C.; Raphael, W. D. (2001a). Alfabeto manual de Libras, números em Libras, e formas de mão usadas em Libras. In F. C. Capovilla; W. D. Raphael (Orgs.), *Dicionário enciclopédico ilustrado trilíngue da Língua de Sinais Brasileira. Volume I: Sinais de A a L* (Vol. 1, pp. 51-54). São Paulo, SP: Edusp, Fapesp, Fundação Vitae, Feneis, Brasil Telecom.

Capovilla, F. C.; Raphael, W. D. (2001b). *Dicionário enciclopédico ilustrado trilíngue da Língua de Sinais Brasileira, Vol. 1: Sinais de A a L*. São Paulo, SP: Edusp, MEC-FNDE.

Capovilla, F. C.; Raphael, W. D. (2001c). *Dicionário enciclopédico ilustrado trilíngue da língua de sinais brasileira, Vol. 2: Sinais de M a Z*. São Paulo, SP: Edusp, MEC-FNDE.

Capovilla, F. C.; Raphael, W. D. (2003a). (Orgs.), *Dicionário enciclopédico ilustrado trilíngue da Língua de Sinais Brasileira. Volume I: Sinais de A a L* (2ª. edição, vol. 1, pp. 1-832). São Paulo, SP: Edusp, Imprensa Oficial, Feneis.

Capovilla, F. C.; Raphael, W. D. (2003b). (Orgs.), *Dicionário enciclopédico ilustrado trilíngue da Língua de Sinais Brasileira. Volume II: Sinais de M a Z* (2ª. edição, vol. 2, pp. 847-1620). São Paulo, SP: Edusp, Imprensa Oficial, Feneis.

Capovilla, F. C.; Raphael, W. D. (2003c). Índice semântico dos sinais de Libras. Em F. C. Capovilla; W. D. Raphael (Orgs.), *Dicionário enciclopédico ilustrado trilíngue da Língua de Sinais Brasileira. Volume II: Sinais de M a Z* (2ª. edição, vol. 2, pp. 1431-1434). São Paulo, SP: Edusp, Imprensa Oficial, Feneis.

Capovilla, F. C.; Raphael, W. D. (2004a). *Enciclopédia da Língua de Sinais Brasileira: O mundo do surdo em Libras, Vol. 1: Sinais de Libras e o universo da educação, e Como avaliar o desenvolvimento da competência de leitura de palavras (processos de reconhecimento e decodificação) em escolares surdos do Ensino Fundamental ao Médio* (pp. 1-680). São Paulo, SP: Edusp, Imprensa Oficial do Estado de São Paulo, Fundação Vitae, Capes, CNPq, e Fapesp. (ISBN: 85-314-0826-1, ISBN: 85-7060-269-3).

Capovilla, F. C.; Raphael, W. D. (2004b). *Enciclopédia da Língua de Sinais Brasileira: O mundo do surdo em Libras, Vol. 2: Sinais de Libras e o universo das artes e cultura, esportes, e lazer, e Como avaliar o desenvolvimento da compreensão de sinais (vocabulário em Libras) de escolares surdos de 1ª. a 8ª. série do Ensino Fundamental* (pp. 1-827). São Paulo, SP: Edusp, Imprensa Oficial do Estado de São Paulo, Fundação Vitae, Capes, CNPq, e Fapesp. (ISBN: 85-314-0849-0, ISBN: 85-7060-276-6).

Capovilla, F. C.; Raphael, W. D. (2004c). Sinais de Libras e o mundo da Educação. Em F. C. Capovilla; W. D. Raphael (Orgs.), *Enciclopédia da Língua de Sinais Brasileira: O Mundo do Surdo em Libras, Vol. 1: Sinais de Libras e o universo da educação, e Como avaliar o desenvolvimento da competência de leitura de palavras (processos de reconhecimento e decodificação) em escolares surdos do Ensino Fundamental ao Médio* (pp. 1-295). São Paulo, SP: Edusp, Imprensa Oficial do Estado de São Paulo, Fundação Vitae, Capes, CNPq, Fapesp, Feneis. (ISBN: 85-314-0826-1).

Capovilla, F. C.; Raphael, W. D. (2004d). Sinais de Libras e o universo das Artes e Cultura, Esportes e Lazer. Em F. C. Capovilla; W. D. Raphael (Orgs.), *Enciclopédia da Língua de Sinais Brasileira: O Mundo do Surdo em Libras, Vol. 2: Sinais de Libras e o universo das artes e cultura, esportes, e lazer, e Como avaliar o desenvolvimento da compreensão de sinais (vocabulário em Libras) de escolares surdos de 1ª. a 8ª. série do Ensino Fundamental* (pp. 1-283). São Paulo, SP: Edusp, Imprensa Oficial do Estado de São Paulo, Fundação Vitae, Capes, Fapesp, CNPq, Feneis. (ISBN: 85-314-0849-0).

Capovilla, F. C.; Raphael, W. D. (2005a). *Enciclopédia da Língua de Sinais Brasileira: O mundo do surdo em Libras, Vol. 3: Sinais de Libras e a vida em família,*

relações familiares e casa, e Como avaliar o desenvolvimento da competência de leitura de sentenças (processamento sintático e semântico) de escolares surdos do Ensino Fundamental ao Médio (pp. 1–857). São Paulo, SP: Edusp, Imprensa Oficial do Estado de São Paulo, Fundação Vitae, Capes, CNPq, e Fapesp. (ISBN: 85–314–0855–5).

Capovilla, F. C.; Raphael, W. D. (2005b). *Enciclopédia da Língua de Sinais Brasileira: O mundo do surdo em Libras, Vol. 4: Sinais de Libras e o universo da comunicação, eventos e religião, e Como avaliar a competência de leitura (processamento quirêmico e ortográfico) de escolares surdos do Ensino Fundamental ao Médio* (pp. 1–1010). São Paulo, SP: Edusp, Imprensa Oficial do Estado de São Paulo, Fundação Vitae, Capes, CNPq, e Fapesp. (ISBN: 85–314–0870–9).

Capovilla, F. C.; Raphael, W. D. (2005c). *Enciclopédia da Língua de Sinais Brasileira: O mundo do surdo em Libras, Vol. 8: Sinais de Libras e o mundo das palavras de função gramatical, e Como acompanhar o desenvolvimento da competência de leitura (processos quirêmicos, semânticos e ortográficos) de escolares surdos do Ensino Fundamental ao Médio.* São Paulo, SP: Edusp, Fundação Vitae, Capes, CNPq, e Fapesp. (ISBN: 85–314–0902–0).

Capovilla, F. C.; Raphael, W. D. (2005d). Sinais de Libras e a vida em Família, Relações familiares, e Casa. Em F. C. Capovilla; W. D. Raphael (Orgs.), *Enciclopédia da Língua de Sinais Brasileira: O Mundo do Surdo em Libras, Vol. 3: Sinais de Libras e a vida em família, relações familiares e casa, e Como avaliar o desenvolvimento da competência de leitura de sentenças (processamento sintático e semântico) de escolares surdos do Ensino Fundamental ao Médio* (pp. 1-404). São Paulo, SP: Edusp, Imprensa Oficial do Estado de São Paulo, Fundação Vitae, Capes, Fapesp, CNPq, Feneis. (ISBN: 85-314-0855-5).

Capovilla, F. C.; Raphael, W. D. (2005e). Sinais de Libras e o universo da comunicação, eventos e religião. Em F. C. Capovilla; W. D. Raphael (Orgs.), *Enciclopédia da Língua de Sinais Brasileira: O Mundo do Surdo em Libras, Vol. 4: Sinais de Libras e o universo da comunicação, eventos e religião, e Como avaliar a competência de leitura (processamento quirêmico e ortográfico) de escolares surdos do Ensino Fundamental ao Médio* (pp. 1-343). São Paulo, SP: Edusp, Imprensa Oficial do Estado de São Paulo, Fundação Vitae, Capes, Fapesp, CNPq, Feneis. (ISBN: 85-314-0870-9).

Capovilla, F. C.; Raphael, W. D. (2005f). Sinais de Libras e o mundo das palavras de função gramatical. Em F. C. Capovilla; W. D. Raphael (Orgs.), *Enciclopédia da Língua de Sinais Brasileira: O Mundo do Surdo em Libras, Vol. 8: Sinais de Libras e o mundo das palavras de função gramatical, e Como acompanhar o desenvolvimento da competência de leitura (processos quirêmicos e ortográficos) de escolares surdos do Ensino Fundamental ao Médio* (pp. 1-200). São Paulo, SP: Edusp, Fundação Vitae, Capes, Fapesp, CNPq, Feneis. (ISBN: 85-314-0902-0).

Capovilla, F. C.; Raphael, W. D. (2006a). *Dicionário enciclopédico ilustrado trilíngue da Língua de Sinais Brasileira, Vol. 1: Sinais de A a L*. (3ª. ed., Vol. 1, pp. 1–832) São Paulo, SP: Edusp, MEC-FNDE, 1820 p. (ISBN: 85–314–0668–4).

Capovilla, F. C.; Raphael, W. D. (2006b). *Dicionário enciclopédico ilustrado trilíngue da língua de sinais brasileira, Vol. 2: Sinais de M a Z*. (3ª ed., Vol. 2, pp. 847–1620) São Paulo, SP: Edusp, MEC-FNDE, 1820 p. (ISBN: 85–314–0669–2).

Capovilla, F. C.; Raphael, W. D. (2006c). Alfabeto manual de Libras, números em Libras e formas de mão usadas em Libras. Em F. C. Capovilla; W. D. Raphael (Orgs.), *Dicionário enciclopédico ilustrado trilíngue da Língua de Sinais*

Brasileira. Vol. I: Sinais de A a L (3ª. ed., Vol. 1., pp. 51-54). São Paulo, SP: Edusp, MEC-FNDE.

Capovilla, F. C.; Raphael, W. D. (2006d). Índice semântico dos sinais de Libras. Em F. C. Capovilla; W. D. Raphael (Orgs.), *Dicionário enciclopédico ilustrado trilíngue da Língua de Sinais Brasileira. Vol. II: Sinais de M a Z* (3ª. ed., vol. 2., pp. 1431-1434). São Paulo, SP: Edusp, Mec-FNDE.

Capovilla, F. C.; Raphael, W. D. (2006e). Prefácio. Em F. C. Capovilla; Raphael,W. D. (Orgs.), *Dicionário enciclopédico ilustrado trilíngue da Língua de Sinais Brasileira. Vol. I: Sinais de A a L* (3 ed., Vol. 1, pp. 29-36). São Paulo, SP: Edusp, Mec-FNDE.

Capovilla, F. C.; Raphael, W. D. (2009a). Alfabeto manual de Libras, números em Libras, e formas de mão usadas em Libras. Em F. C. Capovilla; W. D. Raphael; A. C. Mauricio (Orgs.), *Novo Deit-Libras: Dicionário enciclopédico ilustrado trilíngue da Língua de Sinais Brasileira (Libras) baseado em Linguística e Neurociências Cognitivas* (Vol. 1, pp. 70-72). São Paulo, SP: Edusp. (ISBN: 85-314-1178-6).

Capovilla, F. C.; Raphael, W. D. (2009b). Índice semântico dos sinais de Libras. Em F. C. Capovilla; W. D. Raphael; A. C. Mauricio (Orgs.), *Novo Deit-Libras: Dicionário enciclopédico ilustrado trilíngue da Língua de Sinais Brasileira (Libras) baseado em Linguística e Neurociências Cognitivas* (Vol. 2, pp. 2357-2360). São Paulo, SP: Edusp. (ISBN: 85-314-1179-3).

Capovilla, F. C.; Raphael, W. D. (2013). Alfabeto manual de Libras, números em Libras, e formas de mão usadas em Libras. Em F. C. Capovilla; W. D. Raphael; A. C. Mauricio (Orgs.), *Novo Deit-Libras: Dicionário enciclopédico ilustrado trilíngue da Língua de Sinais Brasileira (Libras) baseado em Linguística e Neurociências Cognitivas*, 3a. edição, Volume 1: Sinais de A a H (3ª ed., Vol. 1, pp. 163-166). São Paulo, SP: Edusp. (ISBN: 978-85-314-1433-6).

Capovilla, F. C.; Raphael, W. D.; Luz, R. D. (2001a). Como usar este Dicionário enciclopédico ilustrado trilíngue. Em F. C. Capovilla; W. D. Raphael (Orgs.), *Dicionário enciclopédico ilustrado trilíngue da Língua de Sinais Brasileira. Volume I: Sinais de A a L* (Vol. 1, pp. 39-50). São Paulo, SP: Edusp, Fapesp, Fundação Vitae, Feneis, Brasil Telecom.

Capovilla, F. C.; Raphael, W. D.; Luz, R. D. (2001b). Dicionário enciclopédico ilustrado trilíngue de Libras: Sinais de A a L. Em F. C. Capovilla; W. D. Raphael (Orgs.), *Dicionário enciclopédico ilustrado trilíngue da Língua de Sinais Brasileira. Volume I: Sinais de A a L* (Vol. 1, pp. 127-832). São Paulo, SP: Edusp, Fapesp, Fundação Vitae, Feneis, Brasil Telecom.

Capovilla, F. C.; Raphael, W. D.; Luz, R. D. (2001c). Dicionário enciclopédico ilustrado trilíngue de Libras: Sinais de M a Z. Em F. C. Capovilla; W. D. Raphael (Orgs.), *Dicionário enciclopédico ilustrado trilíngue da Língua de Sinais Brasileira. Volume II: Sinais de M a Z* (Vol. 2, pp. 847-1342). São Paulo, SP: Edusp, Fapesp, Fundação Vitae, Feneis, Brasil Telecom.

Capovilla, F. C.; Raphael, W. D.; Luz, R. D. (2004a). Como usar este volume sobre sinais de Libras para artes e cultura, esportes, e lazer. Em F. C. Capovilla; W. D. Raphael (Orgs.), *Enciclopédia da Língua de Sinais Brasileira: O Mundo do Surdo em Libras, Vol. 2: Sinais de Libras e o universo das artes e cultura, esportes, e lazer, e Como avaliar o desenvolvimento da compreensão de sinais (vocabulário em Libras) de escolares surdos de 1ª. a 8ª. série do Ensino Fundamental* (pp. 62-73). São Paulo, SP: Edusp, Imprensa Oficial do Estado de São Paulo, Fundação Vitae, Capes, Fapesp, CNPq, Feneis. (ISBN: 85-314-0849-0).

Capovilla, F. C.; Raphael, W. D.; Luz, R. D. (2004b). Como usar este volume sobre sinais de Libras para educação. Em F. C. Capovilla; W. D. Raphael (Orgs.),

Enciclopédia da Língua de Sinais Brasileira: O Mundo do Surdo em Libras, Vol. 1: Sinais de Libras e o universo da educação, e Como avaliar o desenvolvimento da competência de leitura de palavras (processos de reconhecimento e decodificação) em escolares surdos do Ensino Fundamental ao Médio (pp. 61-72). São Paulo, SP: Edusp, Imprensa Oficial do Estado de São Paulo, Fundação Vitae, Capes, CNPq, Fapesp, Feneis. (ISBN: 85-314-0826-1).

Capovilla, F. C.; Raphael, W. D.; Luz, R. D. (2005a). Como usar este volume sobre sinais de Libras para comunicação, religião, e eventos. Em F. C. Capovilla; W. D. Raphael (Orgs.), *Enciclopédia da Língua de Sinais Brasileira: O Mundo do Surdo em Libras, Vol. 4: Sinais de Libras e o universo da comunicação, eventos, e religião, e Como avaliar a competência de leitura (processamento quirêmico, semântico e ortográfico) de escolares surdos do Ensino Fundamental ao Médio* (pp. xxiv-xxxvi). São Paulo, SP: Edusp, Imprensa Oficial do Estado de São Paulo, Fundação Vitae, Capes, Fapesp, CNPq, Feneis. (ISBN: 85-314-0855-5).

Capovilla, F. C.; Raphael, W. D.; Luz, R. D. (2005b). Como usar este volume sobre sinais de Libras para família e relações familiares, e casa. Em F. C. Capovilla; W. D. Raphael (Orgs.), *Enciclopédia da Língua de Sinais Brasileira: O Mundo do Surdo em Libras, Vol. 3: Sinais de Libras e a vida em família, relações familiares e casa, e Como avaliar o desenvolvimento da competência de leitura de sentenças (processamento sintático e semântico) de escolares surdos do Ensino Fundamental ao Médio* (pp. xxiv-xxxvi). São Paulo, SP: Edusp, Imprensa Oficial do Estado de São Paulo, Fundação Vitae, Capes, Fapesp, CNPq, Feneis. (ISBN: 85-314-0855-5).

Capovilla, F. C.; Raphael, W. D.; Luz, R. D. (2005c). Como usar este volume sobre sinais de Libras para palavras de função gramatical. Em F. C. Capovilla; W. D. Raphael (Orgs.), *Enciclopédia da Língua de Sinais Brasileira: O Mundo do Surdo em Libras, Vol. 8: Sinais de Libras e o mundo das palavras de função gramatical, e Como avaliar a competência de leitura (processamento quirêmico, semântico e ortográfico) de escolares surdos do Ensino Fundamental ao Médio* (pp. xxviii-xl). São Paulo, SP: Edusp, Fundação Vitae, Capes, CNPq, e Fapesp. (ISBN: 85-314-0902-0).

Capovilla, F. C.; Raphael, W. D.; Luz, R. D. (2006a). Como usar este Dicionário enciclopédico ilustrado trilíngue. Em F. C. Capovilla; W. D. Raphael (Orgs.), *Dicionário enciclopédico ilustrado trilíngue da Língua de Sinais Brasileira. Vol. I: Sinais de A a L* (3ª. ed., Vol. 1, pp. 39-50). São Paulo, SP: Edusp, Mec-FNDE.

Capovilla, F. C.; Raphael, W. D.; Luz, R. D. (2006b). Dicionário enciclopédico ilustrado trilíngue de Libras: Sinais de A a L. Em F. Capovilla; W. D. Raphael, R. D. Luz (Orgs.), *Dicionário enciclopédico ilustrado trilíngue da Língua de Sinais Brasileira. Vol. I: Sinais de A a L* (3ª. ed., Vol. 1, pp. 127-832). São Paulo, SP: Edusp, Mec-FNDE.

Capovilla, F. C.; Raphael, W. D.; Luz, R. D. (2006c). Dicionário enciclopédico ilustrado trilíngue de Libras: Sinais de M a Z. Em F. Capovilla; W. D. Raphael (Orgs.), *Dicionário enciclopédico ilustrado trilíngue da Língua de Sinais Brasileira. Vol. II: Sinais de M a Z* (3ª. ed., Vol. 2, pp. 847-1342). São Paulo, SP: Edusp, Mec-FNDE.

Capovilla, F. C.; Raphael, W. D.; Luz, R. D.; Schonwald, A. R.; Silva, R. S. (2006). Conteúdo semântico dos sinais de Libras. Em F. C. Capovilla; W. D. Raphael (Orgs.), *Dicionário enciclopédico ilustrado trilíngue da Língua de Sinais Brasileira. Vol. II: Sinais de M a Z* (3ª. ed., Vol. 2, pp. 1435-1476). São Paulo, SP: Edusp, Mec-FNDE. (ISBN: 85-314-0669-2).

Capovilla, F. C.; Raphael, W. D.; Luz, R. D.; Schönwald, A. R.; Silva, R. S. (2001).

Conteúdo semântico dos sinais de Libras. In F. C. Capovilla; W. D. Raphael (Orgs.), *Dicionário enciclopédico ilustrado trilíngue da Língua de Sinais Brasileira. Volume II: Sinais de M a Z* (Vol. 2, pp. 1435-1476). São Paulo, SP: Edusp, Fapesp, Fundação Vitae, Feneis, Brasil Telecom.

Capovilla, F. C.; Raphael, W. D.; Macedo, E. C. (1998). *Manual ilustrado de sinais e sistema de comunicação em redes para surdos*. São Paulo, SP: Editora do Instituto de Psicologia da USP.

Capovilla, F. C.; Raphael, W. D.; Mauricio, A. C. (2008). Novo dicionário enciclopédico ilustrado trilíngue da Língua de Sinais Brasileira (Novo Deit-Libras). Em A. L. Sennyey; F. C. Capovilla; J. M. Montiel (Orgs.), *Transtornos de aprendizagem: da avaliação à reabilitação* (pp. 165-177). São Paulo, SP: Artes Médicas. (ISBN: 978-84-367-0082-3).

Capovilla, F. C.; Raphael, W. D.; Mauricio, A. C. (2009) (Orgs.), *Novo Deit-Libras: Dicionário enciclopédico ilustrado trilíngue da Língua de Sinais Brasileira (Libras) baseado em Linguística e Neurociências Cognitivas*, Volume 1 (pp. 1-1222). São Paulo, SP: Edusp. (ISBN: 85-314-1178-6).

Capovilla, F. C.; Raphael, W. D.; Mauricio, A. C. (2009) (Orgs.), *Novo Deit-Libras: Dicionário enciclopédico ilustrado trilíngue da Língua de Sinais Brasileira (Libras) baseado em Linguística e Neurociências Cognitivas*, Volume 2 (pp. 1223-2459). São Paulo, SP: Edusp. (ISBN: 85-314-1179-3).

Capovilla, F. C.; Raphael, W. D.; Mauricio, A. C. (2009a). Novo Deit-Libras: Dicionário enciclopédico ilustrado trilíngue da Língua de Sinais Brasileira (Libras) baseado em Linguística e Neurociências Cognitivas – Corpo de sinais de A a H. Em F. C. Capovilla; W. D. Raphael; A. C. Mauricio (Orgs.), *Novo Deit-Libras: Dicionário enciclopédico ilustrado trilíngue da Língua de Sinais Brasileira (Libras) baseado em Linguística e Neurociências Cognitivas* (Vol. 1, pp. 125-1219). São Paulo, SP: Edusp. (ISBN: 85-314-1178-6).

Capovilla, F. C.; Raphael, W. D.; Mauricio, A. C. (2009b). Novo Deit-Libras: Dicionário enciclopédico ilustrado trilíngue da Língua de Sinais Brasileira (Libras) baseado em Linguística e Neurociências Cognitivas – Corpo de sinais de I a Z. Em F. C. Capovilla; W. D. Raphael; A. C. Mauricio (Orgs.), *Novo Deit-Libras: Dicionário enciclopédico ilustrado trilíngue da Língua de Sinais Brasileira (Libras) baseado em Linguística e Neurociências Cognitivas* (Vol. 2, pp. 1239-2273). São Paulo, SP: Edusp. (ISBN: 85-314-1179-3).

Capovilla, F. C.; Raphael, W. D.; Mauricio, A. C. (2009d). Apresentação do Novo Deit-Libras. Em F. C. Capovilla; W. D. Raphael; A. C. Mauricio (Orgs.), *Novo Deit-Libras: Dicionário enciclopédico ilustrado trilíngue da Língua de Sinais Brasileira (Libras) baseado em Linguística e Neurociências Cognitivas* (Vol. 1, pp. 17-20). São Paulo, SP: Edusp. (ISBN: 85-314-1178-6).

Capovilla, F. C.; Raphael, W. D.; Mauricio, A. C. (2009e). Como usar o Novo Deit-Libras: Dicionário enciclopédico ilustrado trilíngue da Língua de Sinais Brasileira (Libras) baseado em Linguística e Neurociências Cognitivas. Em F. C. Capovilla; W. D. Raphael; A. C. Mauricio (Orgs.), *Novo Deit-Libras: Dicionário enciclopédico ilustrado trilíngue da Língua de Sinais Brasileira (Libras) baseado em Linguística e Neurociências Cognitivas* (Vol. 1, pp. 45-69). São Paulo, SP: Edusp. (ISBN: 85-314-1178-6).

Capovilla, F. C.; Raphael, W. D.; Mauricio, A. C. (2009f). New English-Portuguese Thesaurus, Subdicionário Inglês-Português. Em F. C. Capovilla; W. D. Raphael; A. C. Mauricio (Orgs.), *Novo Deit-Libras: Dicionário enciclopédico ilustrado trilíngue da Língua de Sinais Brasileira (Libras) baseado em Linguística e Neurociências Cognitivas* (Vol. 2, pp. 2435-2517). São Paulo, SP: Edusp. (ISBN: 85-314-1179-3).

Capovilla, F. C.; Raphael, W. D.; Mauricio, A. C. (2009g) (Orgs.), *Novo Deit-Libras:*

Dicionário enciclopédico ilustrado trilíngue da Língua de Sinais Brasileira (Libras) baseado em Linguística e Neurociências Cognitivas, Volume 1 (pp. 1-1222). São Paulo, SP: Edusp. (ISBN: 85-314-1178-6).

Capovilla, F. C.; Raphael, W. D.; Mauricio, A. C. (2009h) (Orgs.), *Novo Deit-Libras: Dicionário enciclopédico ilustrado trilíngue da Língua de Sinais Brasileira (Libras) baseado em Linguística e Neurociências Cognitivas, Volume 2* (pp. 1223-2459). São Paulo, SP: Edusp. (ISBN: 85-314-1179-3).

Capovilla, F. C.; Raphael, W. D.; Mauricio, A. C. (2012a). Apresentação do Novo Deit-Libras. Em F. C. Capovilla; W. D. Raphael; A. C. Mauricio (Orgs.), *Novo Deit-Libras: Dicionário enciclopédico ilustrado trilíngue da Língua de Sinais Brasileira (Libras) baseado em Linguística e Neurociências Cognitivas* (2ª. ed., Vol. 1, pp. 17-20). São Paulo, SP: Edusp. (ISBN: 978-85-314-1330-8).

Capovilla, F. C.; Raphael, W. D.; Mauricio, A. C. (2012b). Como usar o Novo Deit-Libras: Dicionário enciclopédico ilustrado trilíngue da Língua de Sinais Brasileira (Libras) baseado em Linguística e Neurociências Cognitivas. In F. C. Capovilla, W. D. Raphael, A. C. Mauricio (Orgs.), *Novo Deit-Libras: Dicionário enciclopédico ilustrado trilíngue da Língua de Sinais Brasileira (Libras) baseado em Linguística e Neurociências Cognitivas, 2ª. edição* (Vol. 1, pp. 45-72). São Paulo, SP: Edusp. (ISBN: 978-85-314-1330-8).

Capovilla, F. C.; Raphael, W. D.; Mauricio, A. C. (2012c). New English-Portuguese Thesaurus, Subdicionário Inglês-Português. Em F. C. Capovilla; W. D. Raphael; A. C. Mauricio (Orgs.), *Novo Deit-Libras: Dicionário enciclopédico ilustrado trilíngue da Língua de Sinais Brasileira (Libras) baseado em Linguística e Neurociências Cognitivas, 2ª. edição* (2ª. ed., Vol. 2, pp. 2435-2517). São Paulo, SP: Edusp. (ISBN: 978-85-314-1330-8).

Capovilla, F. C.; Raphael, W. D.; Mauricio, A. C. (2012d). Novo Deit-Libras: Dicionário enciclopédico ilustrado trilíngue da Língua de Sinais Brasileira (Libras) baseado em Linguística e Neurociências Cognitivas - *Corpus* de sinais de A a H. Em F. C. Capovilla; W. D. Raphael; A. C. Mauricio (Orgs.), *Novo Deit-Libras: Dicionário enciclopédico ilustrado trilíngue da Língua de Sinais Brasileira (Libras) baseado em Linguística e Neurociências Cognitivas* (Vol. 1, pp. 233-1401). São Paulo, SP: Edusp. (ISBN: 978-85-314-1330-8).

Capovilla, F. C.; Raphael, W. D.; Mauricio, A. C. (2012e). Novo Deit-Libras: Dicionário enciclopédico ilustrado trilíngue da Língua de Sinais Brasileira (Libras) baseado em Linguística e Neurociências Cognitivas - *Corpus* de sinais de I a Z. Em F. C. Capovilla; W. D. Raphael; A. C. Mauricio (Orgs.), *Novo Deit-Libras: Dicionário enciclopédico ilustrado trilíngue da Língua de Sinais Brasileira (Libras) baseado em Linguística e Neurociências Cognitivas, 2ª. edição* (2ª. ed., Vol. 2, pp. 1313-2431). São Paulo, SP: Edusp. (ISBN: 978-85-314-1331-5).

Capovilla, F. C.; Raphael, W. D.; Mauricio, A. C. (2012f) (Orgs.), *Novo Deit-Libras: Dicionário enciclopédico ilustrado trilíngue da Língua de Sinais Brasileira (Libras) baseado em Linguística e Neurociências Cognitivas, 2ª. edição, Volume 1* (2ª. ed., vol. 1, pp. 1-1401). São Paulo, SP: Edusp. (ISBN: 978-85-314-1330-8).

Capovilla, F. C.; Raphael, W. D.; Mauricio, A. C. (2012g) (Orgs.), *Novo Deit-Libras: Dicionário enciclopédico ilustrado trilíngue da Língua de Sinais Brasileira (Libras) baseado em Linguística e Neurociências Cognitivas, 2ª. edição, Volume 2* (2ª. ed., vol. 2, pp. 1313-2620). São Paulo, SP: Edusp. (ISBN: 978-85-314-1331-5).

Capovilla, F. C.; Raphael, W. D.; Mauricio, A. C.; Temóteo, J. G. (2009). Conteúdo semântico dos sinais de Libras. Em F. C. Capovilla; W. D. Raphael; A. C. Mauricio (Orgs.), *Novo Deit-Libras: Dicionário enciclopédico ilustrado trilíngue da Língua de Sinais Brasileira (Libras) baseado em Linguística e Neurociências*

Cognitivas São Paulo, SP: Edusp. (Vol. 2, pp. 2361-2399). (ISBN: 85-314-1179-3).

Capovilla, F. C.; Raphael, W. D.; Su, Y. S.; Rocha, M. P.; Geraldes, A.; Marques, S.; Luz, R. D.; Neves, S. L. G.; Viggiano, K. (1999). Dicionário da Língua de Sinais Brasileira: Ilustração e escrita visual direta de 3.500 sinais usados por Surdos em São Paulo. *Espaço: Informativo Técnico-Científico do Instituto Nacional de Educação de Surdos*, *11*, 84-88.

Capovilla, F. C.; Raphael, W. D.; Temóteo, J. G.; Martins, A. C.; Mauricio, A. C. (2012). Conteúdo semântico dos sinais de Libras. Em F. C. Capovilla; W. D. Raphael; A. C. Mauricio (Orgs.), *Novo Deit-Libras: Dicionário enciclopédico ilustrado trilíngue da Língua de Sinais Brasileira (Libras) baseado em Linguística e Neurociências Cognitivas, 2ª. edição, Volume 2* (2ª. ed., Vol. 2, pp. 2635-2676). (ISBN: 978-85-314-1331-5).

Capovilla, F. C.; Raphael, W. D.; Temóteo, J. G.; Martins, A. C.; Mauricio, A. C. (2012). Conteúdo semântico dos sinais de Libras. Em F. C. Capovilla; W. D. Raphael; A. C. Mauricio (Orgs.), *Novo Deit-Libras: Dicionário enciclopédico ilustrado trilíngue da Língua de Sinais Brasileira (Libras) baseado em Linguística e Neurociências Cognitivas* (2ª. ed., Vol 2, pp. 2526-2566). São Paulo, SP: Edusp. (ISBN: 85-314-1179-3).

Capovilla, F. C.; Raphael, W. D.; Viggiano, K. Q.; Neves, S. G.; Luz, R. D. (2000). *SignWriting*: Implicações psicológicas e sociológicas de uma escrita visual direta de sinais e de seus usos na educação do Surdo. *Espaço: Informativo Técnico–Científico do Instituto Nacional de Educação de Surdos*, *13*, 31-37.

Capovilla, F. C.; Raphael, W.; Mauricio, A. C. (2009c). *Novo Dicionário Enciclopédico Ilustrado Trilíngue da Língua de Sinais Brasileira – Libras baseado em Linguística e Neurociências Cognitivas, Volume 2: Sinais de I a Z.* São Paulo, SP: Edusp. (ISBN: 978-85-314-1434-3). São Paulo, SP: Edusp.

Capovilla, F. C.; Raphael, W.; Mauricio, A. C. L. (2013). *Novo Dicionário Enciclopédico Ilustrado Trilíngue da Língua de Sinais Brasileira – Libras baseado em Linguística e Neurociências Cognitivas*, Volume I: Sinais de A a H. São Paulo, SP: Edusp. (ISBN: 978-85-314-1433-6).

Capovilla, F. C.; Sazonov, G. C.; Raphael, W. D.; Macedo, E. C.; Charin, S.; Marques, S.; Capovilla, A. G. S.; Luz, R. D.; Geraldes, A.; Shin, S. Y.; Vieira, R.; Rocha, M.; Duduchi, M.; Amorim, S.; Mauricio, A.; Oliveira, H. (1997). A Língua de Sinais Brasileira e sua iconicidade: Análises experimentais computadorizadas de caso único. *Ciência Cognitiva: Teoria, Pesquisa e Aplicação*, *1*(2), 781-924.

Capovilla, F. C.; Seabra, A. G.; Viggiano, K.; Bidá, M.; Mauricio, A. (2011). Leitura em surdos do ensino fundamental ao médio: processamento logográfico, perilexical e lexical. Em L. E. R. Valle; F. C. Capovilla (Orgs.), *Temas multidisciplinares de neuropsicologia e aprendizagem* (3ª ed., pp. 229-236). Ribeirão Preto, SP: Novo Conceito Editora. (ISBN: 9788563219510).

Capovilla, F. C.; Sousa-Sousa, C. C. (2012a). (Orgs.), *Prova de Leitura Orofacial: Versão Dória (Plof-D).* São Paulo, SP: Memnon. (ISBN: 978-85-7954-029-5).

Capovilla, F. C.; Sousa-Sousa, C. C. (2012b). (Orgs.), *Prova de Leitura Orofacial: Versão Fonético-Articulatória (Plof-FA).* São Paulo, SP: Memnon. (ISBN: 978-85-7954-030-1).

Capovilla, F. C.; Sousa-Sousa, C. C. (2012c). (Orgs.), *Teste de Vocabulário em Português por Leitura Orofacial: Versão Dória (TVPlof-D).* São Paulo, SP: Memnon. (ISBN: 978-85-7954-031-8).

Capovilla, F. C.; Sousa-Sousa, C. C. (2012d). (Orgs.), *Teste de Vocabulário em Português por Leitura Orofacial: Versão Fonético-Articulatória (TVPlof-FA).* São Paulo, SP: Memnon. (ISBN: 978-85-7954-032-5).

Capovilla, F. C.; Sousa-Sousa, C. C.; Maki, K.; Ameni, R.; Neves, M. V. (2008). Avaliando a habilidade de leitura orofacial em surdos do ensino fundamental e comparando a eficácia relativa de modelos de legibilidade orofacial fonético-articulatório e de Dória. Em A. L. Sennyey; F. C. Capovilla; J. M. Montiel (Orgs.), *Transtornos de aprendizagem: da avaliação à reabilitação* (pp. 207-220). São Paulo, SP: Artes Médicas. (ISBN: 978-84-367-0082-3).

Capovilla, F. C.; Sousa-Sousa, C. C.; Maki, K.; Ameni, R.; Neves, M. V.; Roberto, R.; Damazio, M.; Sousa, A. V. L. (2009). Uma lição crucial para Neuropsicologia da Linguagem e Psicometria: a importância de controlar a familiaridade da forma ortográfica das palavras e a univocidade das figuras - o caso da avaliação de leitura orofacial e vocabulário em surdos de 2ª, 4ª., 6ª., e 8ª. séries do Ensino Fundamental. Em J. M. Montiel; F. C. Capovilla (Orgs.), *Atualização em transtornos de aprendizagem* (pp. 383-406). São Paulo, SP: Artes Médicas. (ISBN 978-85-367-0108-0).

Capovilla, F. C.; Sutton, V. (2001). Como ler e escrever os sinais de Libras: A escrita visual direta de sinais *SignWriting*. In F. C. Capovilla; W. D. Raphael (Orgs.), *Dicionário enciclopédico ilustrado trilíngue da Língua de Sinais Brasileira. Volume I: Sinais de A a L* (Vol. 1, pp. 55-126). São Paulo, SP: Edusp, Fapesp, Fundação Vitae, Feneis, Brasil Telecom.

Capovilla, F. C.; Sutton, V. (2004). Como ler e escrever os sinais de Libras em *SignWriting*: Manual completo do sistema de escrita visual direta de sinais. In F. Capovilla; R. Luz (Orgs.), *Enciclopédia da Língua de Sinais Brasileira: O mundo do surdo em Libras, Vol. 13: Sinais de Libras e o mundo da alimentação, quantidades, números e medidas; e Como ler e escrever os sinais de Libras em SignWriting: Manual completo do sistema de escrita visual direta de sinais*. São Paulo, SP: Edusp, Vitae, Feneis, CNPq, Fapesp, Fusp.

Capovilla, F. C.; Sutton, V. (2006). Como ler e escrever os sinais de Libras: A escrita visual direta de sinais SignWriting. Em F. C. Capovilla; W. D. Raphael (Orgs.), *Dicionário enciclopédico ilustrado trilíngue da Língua de Sinais Brasileira* (3ª. ed., Vol. 1, pp. 55-126). São Paulo, SP: Edusp, Mec-FNDE.

Capovilla, F. C.; Sutton, V. (2009). Como ler e escrever os sinais de Libras: A escrita visual direta de sinais *SignWriting*. Em F. C. Capovilla; W. D. Raphael; A. C. Mauricio (Orgs.), *Novo Deit-Libras: Dicionário enciclopédico ilustrado trilíngue da Língua de Sinais Brasileira (Libras) baseado em Linguística e Neurociências Cognitivas* (Vol. 1, pp. 73-121). São Paulo, SP: Edusp. (ISBN: 978-85-314-1178-6).

Capovilla, F. C.; Sutton, V.; Wöhrmann, S. (2011a). Recursos metalinguísticos na educação bilíngue Libras-Português do surdo: Como ler-escrever a articulação visível dos sinais de Libras via SignWriting e a das palavras faladas do Português via SpeechWriting promovendo leitura orofacial e leitura-escrita alfabéticas. Em F. C. Capovilla (Org.), *Transtornos de aprendizagem – 2: da análise laboratorial e da reabilitação clínica para as políticas públicas de prevenção pela via da educação*. (pp. 206-285). São Paulo, SP: Memnon. (ISBN 978-85-7954-022-6).

Capovilla, F. C.; Sutton, V.; Wöhrmann, S. (2011b). Como ler e escrever os sinais de Libras: A escrita visual direta de sinais SignWriting, e como escrever a articulação visível do Português falado: A escrita visual direta da fala SpeechWriting. Em F. C. Capovilla; W. D. Raphael; A. C. Mauricio (Orgs.), *Novo Deit-Libras: Dicionário enciclopédico ilustrado trilíngue da Língua de Sinais Brasileira (Libras) baseado em Linguística e Neurociências Cognitivas, 2ª. edição* (2ª ed., Vol. 1, pp. 166-228). São Paulo, SP: Edusp. (ISBN: 978-85-314-1330-8).

Capovilla, F. C.; Sutton, V.; Wöhrmann, S. (2013). Como ler e escrever os sinais de

Libras: A escrita visual direta de sinais SignWriting, e como escrever a articulação visível do Português falado: A escrita visual direta da fala SpeechWriting. Em F. C. Capovilla; W. D. Raphael; A. C. Mauricio (Orgs.), *Novo Deit-Libras: Dicionário enciclopédico ilustrado trilíngue da Língua de Sinais Brasileira (Libras) baseado em Linguística e Neurociências Cognitivas*, 3a. edição (3ª ed., Vol. 1, pp. 167-228). São Paulo, SP: Edusp. (ISBN: 978-85-314-1433-6).

Capovilla, F. C.; Temóteo, J. G.; Duarte, M. A. B. L. (2012). (Orgs.), *Provinha Brasil em Libras, aplicação digitalizada (PBL-2 / CD-rom).* São Paulo, SP: Memnon. (ISBN: 978-85-7954-028-8).

Capovilla, F. C.; Thiers, V. O.; Capovilla, A. (2003). Avaliação cognitiva de crianças com severos distúrbios motores: versões computadorizadas, normatizadas e validadas de cinco testes de vocabulário, compreensão auditiva, prontidão para a leitura e inteligência geral. Em L. R. O. P. Nunes (Org.), *Favorecendo o desenvolvimento da comunicação em portadores de necessidades especiais* (pp. 251-262). Rio de Janeiro, RJ: Editora Dunya.

Capovilla, F. C.; Thiers, V. O.; Macedo, E. C. (2002). Avaliação cognitiva de crianças com severos distúrbios motores: Versões computadorizadas, normatizadas e validadas de testes de vocabulário, compreensão auditiva, leitura e inteligência geral. Em F. C. Capovilla (Org.), *Neuropsicologia e aprendizagem: Uma abordagem multidisciplinar* (pp. 205-218). São Paulo, SP: Sociedade Brasileira de Neuropsicologia, Scortecci.

Capovilla, F. C.; Thiers, V. O.; Macedo, E. C.; Duduchi, M. (1997). Sistema de multimídia para ensino de símbolos Bliss a paralisado cerebral: Explorando processos de aprendizagem direta e emergente. *Ciência Cognitiva: Teoria, Pesquisa e Aplicação, 1*(1), 301-352.

Capovilla, F. C.; Thiers, V. O.; Macedo, E. C.; Duduchi, M. (1998). Validações preliminares das adaptações computadorizadas, para paralisados cerebrais, do Reversal Test, do Teste de Prontidão para a Leitura, e do Teste de Maturidade para a Leitura. *Temas sobre Desenvolvimento*, *7*(36), 28-34.

Capovilla, F. C.; Thiers, V. O.; Macedo, E. C.; Raphael, W. D.; Duduchi, M. (1998). Validação preliminar da adaptação computadorizada para paralisados cerebrais do Teste de Vocabulário por Imagens Peabody. *Temas sobre Desenvolvimento*, *7*(37), 36-41.

Capovilla, F. C.; Viggiano, K. Q.; Capovilla, A. G. S.; Raphael, W. D.; Bidá, M. R.; Mauricio, A. C. (2004a). Como avaliar o desenvolvimento da compreensão de sinais de Libras em surdos do ensino fundamental ao médio: Versão 1.1 do Teste de Vocabulário Receptivo de Sinais de Libras (TVRSL1.1) validada e normatizada para aplicação com sinalização ao vivo. Em F. Capovilla; W. Raphael (Orgs.), *Enciclopédia da Língua de Sinais Brasileira: O mundo do surdo em Libras, Vol. 2: Sinais de Libras e o universo das artes e cultura, esportes e lazer; e Como avaliar o desenvolvimento da compreensão de sinais (vocabulário em Libras) de escolares surdos do ensino fundamental ao médio*. São Paulo, SP: Edusp, Vitae, Feneis, CNPq, Fapesp, Fusp.

Capovilla, F. C.; Viggiano, K. Q.; Capovilla, A. G. S.; Raphael, W. D.; Bidá, M. R.; Mauricio, A. C. (2004b). Como avaliar o desenvolvimento da compreensão de sinais de Libras em surdos de 1ª. a 8ª. série do Ensino Fundamental: Versão 1.1 do Teste de Vocabulário Receptivo de Sinais de Libras (TVRSL1.1) validada e normatizada para aplicação com sinalização ao vivo. Em F. Capovilla; W. Raphael (Orgs.), *Enciclopédia da Língua de Sinais Brasileira: O mundo do surdo em Libras, Vol. 2: Sinais de Libras e o universo das artes e cultura, esportes, e lazer, e Como avaliar o desenvolvimento da compreensão de sinais (vocabulário em Libras) de escolares surdos de 1ª. a 8ª. série do Ensino*

Fundamental (pp. 285-827). São Paulo, SP: Edusp, Imprensa Oficial do Estado de São Paulo, Fundação Vitae, Capes, CNPq, e Fapesp. (ISBN: 85-314-0849-0, ISBN: 85-7060-276-6).

Capovilla, F. C.; Viggiano, K. Q.; Capovilla, A. G. S.; Raphael, W. D.; Bidá, M. C. P. R.; Neves, M. V.; Mauricio, A. C. (2005). Como avaliar o desenvolvimento da compreensão de leitura de sentenças em surdos do Ensino Fundamental ao Médio, e analisar processamento sintático para extração de significado: Versão original validada e normatizada do Teste de Competência de Leitura de Sentenças (TCLS1.1). Em F. C. Capovilla; W. D. Raphael (Orgs.), *Enciclopédia da Língua de Sinais Brasileira: O mundo do surdo em Libras, Vol. 3: Sinais de Libras e a vida em família, relações familiares e casa, e Como avaliar o desenvolvimento da competência de leitura de sentenças (processamento sintático e semântico) de escolares surdos do Ensino Fundamental ao Médio* (pp. 405-857). São Paulo, SP: Edusp, Imprensa Oficial do Estado de São Paulo, Fundação Vitae, Capes, CNPq, e Fapesp. (ISBN: 85-314-0855-5).

Capovilla, F. C.; Viggiano, K. Q.; Capovilla, A. G. S.; Raphael, W. D.; Mauricio, A. C.; Bidá, M. R. (2004). Como avaliar o desenvolvimento da competência de leitura de palavras em surdos do Ensino Fundamental ao Médio, e analisar processos de reconhecimento e decodificação: Teste de Competência de Leitura de Palavras. Em F. Capovilla; W. Raphael (Orgs.), *Enciclopédia da Língua de Sinais Brasileira: O mundo do surdo em Libras, Vol. 1: Sinais de Libras e o universo da educação, e Como avaliar o desenvolvimento da competência de leitura de palavras (processos de reconhecimento e decodificação) em escolares surdos do Ensino Fundamental ao Médio* (pp. 297-680). São Paulo, SP: Edusp, Imprensa Oficial do Estado de São Paulo, Fundação Vitae, Capes, CNPq, e Fapesp. (ISBN: 85-314-0826-1, ISBN: 85-7060-269-3).

Capovilla, F. C.; Viggiano, K. Q.; Capovilla, A. G. S; Mauricio, A. C. (2002). Como avaliar a competência de leitura em surdos e contrastar processamentos logográfico, alfabético e lexical. Em E. C. Macedo; M. J. Gonçalves; F. C. Capovilla; A. L. Sennyey (Orgs.), *Tecnologia em (re)habilitação cognitiva: Um novo olhar para avaliação e intervenção* (3ª. ed., pp. 270-283) São Paulo, SP: Sociedade Brasileira de Neuropsicologia, Edunisc.

Capovilla, F. C.; Viggiano, K. Q.; Capovilla, A. G. S; Mauricio, A. C.; Vilalba, M. V. (2002). Como avaliar o vocabulário receptivo visual em sinais de escolares surdos de 7-33 anos: Teste de Vocabulário por Figuras USP em Libras. Em E. C. Macedo; M. J. Gonçalves; F. C. Capovilla; A. L. Sennyey (Orgs.), *Tecnologia em reabilitação cognitiva 2002: Um novo olhar para avaliação e intervenção* (pp. 284-296). São Paulo, SP: Sociedade Brasileira de Neuropsicologia e Edunisc. (ISBN: 85-87121-02-2).

Capovilla, F. C.; Viggiano, K. Q.; Mauricio, A. C.; Capovilla, A. G. S. (2002). Avaliando a escrita de crianças surdas no contexto de nomeação de sinais: Teste de Nomeação Escrita Aberta em Português de Sinais da Libras. Em E. C. Macedo; M. J. Gonçalves; F. C. Capovilla; A. L. Sennyey (Orgs.), *Tecnologia em (re)habilitação cognitiva: Um novo olhar para avaliação e intervenção* (3ª. ed., pp. 259-269). São Paulo, SP: Sociedade Brasileira de Neuropsicologia, Edunisc.

Capovilla, F. C.; Viggiano, K. Q.; Mauricio, A. C.; Capovilla, A. G. S.; Vilalba, M. (2002). Instrumento para avaliação de leitura no surdo, e análise de processos quirêmicos, fonológicos e ortográficos: Teste de Escolha do Nome Escrito de Figuras. Em E. C. Macedo; M. J. Gonçalves; F. C. Capovilla; A. L. Sennyey (Orgs.), *Tecnologia em (re)habilitação cognitiva: Um novo olhar para avaliação e intervenção* (3ª. ed., pp. 243-258). São Paulo, SP: Sociedade Brasileira de Neuropsicologia, Edunisc.

Capovilla, F. C.; Viggiano, K. Q.; Mauricio, A. C.; Vilalba, M.; Capovilla, A. G. S. (2002a). Desenvolvimento de instrumentos para avaliar a escrita de crianças surdas no contexto de nomeação de figuras: Testes de Nomeação Escrita Aberta de Figuras em Português. Em E. C. Macedo; M. J. Gonçalves; F. C. Capovilla; A. L. Sennyey (Orgs.), *Tecnologia em (re)habilitação cognitiva: Um novo olhar para avaliação e intervenção* (3ª. ed., pp. 217-228). São Paulo, SP: Sociedade Brasileira de Neuropsicologia, Edunisc.

Capovilla, F. C.; Viggiano, K. Q.; Mauricio, A. C.; Vilalba, M.; Capovilla, A. G. S. (2002b). Instrumento para avaliar a relação entre leitura e sinal no surdo, e analisar processos quirêmicos, fonológicos e ortográficos: Teste de Escolha do Nome Escrito de Sinais da Libras. Em E. C. Macedo; M. J. Gonçalves; F. C. Capovilla; A. L. Sennyey (Orgs.), *Tecnologia em (re)habilitação cognitiva: Um novo olhar para avaliação e intervenção* (3ª. ed., pp. 229-242). São Paulo, SP: Sociedade Brasileira de Neuropsicologia, Edunisc.

Capovilla, F. C.; Viggiano, K. Q.; Raphael, W. D.; Bidá, M.; Capovilla, A. G. S.; Neves, M.; Mauricio, A. (2005). Como avaliar a competência de leitura em surdos do Ensino Fundamental ao Médio, e analisar processos quirêmicos e ortográficos: Versão 1.1 do Teste de Nomeação de Figuras por Escolha (TNF1.1-Escolha). Em F. Capovilla; W. Raphael (Orgs.), *Enciclopédia da Língua de Sinais Brasileira: O mundo do surdo em Libras, Vol. 4: Sinais de Libras e o universo da comunicação, eventos e religião, e Como avaliar a competência de leitura (processamento quirêmico e ortográfico) de escolares surdos do Ensino Fundamental ao Médio* (pp. 343-1004). São Paulo, SP: Edusp, Imprensa Oficial do Estado de São Paulo, Fundação Vitae, Capes, CNPq, e Fapesp. (ISBN: 85-314-0870-9).

Capovilla, F. C.; Viggiano, K. Q.; Raphael, W. D.; Neves, S. L. G.; Mauricio, A. C.; Vieira, R.; Sutton, V. (2001). A escrita visual direta de sinais *SignWriting* e seu lugar na educação da criança surda. Em F. C. Capovilla; W. D. Raphael (Orgs.), *Dicionário enciclopédico ilustrado trilíngue da Língua de Sinais Brasileira. Volume II: Sinais de M a Z* (Vol. 2, pp. 1491-1496). São Paulo, SP: Edusp, Fapesp, Fundação Vitae, Feneis, Brasil Telecom.

Capovilla, F. C.; Viggiano, K.; Bidá, M. C. P. R.; Capovilla, A. G. S.; Raphael, W. D.; Neves, M. V.; Mauricio, A. C. (2005). Como acompanhar o desenvolvimento da competência de leitura em surdos do ensino fundamental ao médio, e analisar processos quirêmicos e ortográficos: Versão 2.1 do Teste de Nomeação de Figuras por Escolha de Palavras (TNF2.1-Escolha). para controlar efeito de carreamento entre avaliações. Em F. Capovilla; W. Raphael (Orgs.), *Enciclopédia da Língua de Sinais Brasileira: O mundo do surdo em Libras, Vol. 8: Sinais de Libras e o mundo das palavras de função gramatical, e Como acompanhar o desenvolvimento da competência de leitura (processos quirêmicos e ortográficos) de escolares surdos do Ensino Fundamental ao Médio* (pp. 201-896). São Paulo, SP: Edusp, Fundação Vitae, Capes, CNPq, e Fapesp. (ISBN: 85-314-0902-0).

Capovilla, F. C.; Viggiano, O. K.; Raphael, W. D.; Neves, S. L. G.; Mauricio, A. C.; Vieira, R.; Sutton, V. (2006). A escrita visual direta de sinais SignWriting e seu lugar na educação da criança Surda. Em F. C. Capovilla; W. D. Raphael (Orgs.), *Dicionário enciclopédico ilustrado trilíngue da Língua de Sinais Brasileira. Vol. II: Sinais de M a Z* (3ª. ed., Vol. 2, pp. 1491-1496). São Paulo, SP: Edusp, Mec-FNDE. (ISBN: 85-314-0669-2).

Caramazza, A. (1995). *The cognitive neurosciences.* Cambridge, MA: Bradford MIT Press.

Cardoso-Martins, C.; Capovilla, F. C.; Gombert, J. E.; Oliveira, J. B. A.; Morais, J. C. J.; Adams, M. J.; Beard, R. B. (2003). *Alfabetização infantil: os novos caminhos*.

Brasília, DF: Comissão de Educação e Cultura da Câmara dos Deputados, Congresso Nacional.

Carvalho, O. L. S.; Marinho, M. L. (2007). Contribuições da lexicografia ao contexto educacional bilíngue de surdos. Em H. M. M. Lima-Salles (Org.), *Bilinguismo dos surdos: Questões linguísticas e educacionais* (pp. 119-142). Goiânia, GO: Cânone Editorial.

Casey, S. K. (2003). *Agreement in gesture and signed languages*. PhD Dissertation, University of California, San Diego, CA.

Catts, H. W.; Fey, M. E.; Tomblin, J. B.; Zhang, X. (2002). A longitudinal investigation of reading outcomes in children with language impairments. *Journal of Speech, Language and Hearing Disorders*, *45*(6), 1092-4388.

Catts, W.; Bridges, M.; Little, T.; Tomblin, B. (2008). Reading achievement growth in children with language impairments. *Journal of Speech, Language, and Hearing Research*, *51*, 1569-1579.

Chan-Vianna, A. C. (2003). *Aquisição do português por surdos: estruturas de posse*. Dissertação de Mestrado, Universidade de Brasília, Brasília, DF.

Charin, S.; Capovilla, F. C. (2000). Acesso ao computador por meio de acionadores eletrônicos. In M. J. Gonçalves; E. C. Macedo; A. L. Sennyey; F. C. Capovilla (Orgs.), *Tecnologia em (re)habilitação cognitiva 2000: A dinâmica clínica, teoria e pesquisa* (pp. 169-174). São Paulo, SP: Sociedade Brasileira de Neuropsicologia, Edunisc.

Chomsky, N. (1967). The general properties of language. In C. H. Millikan; F. L. Darley (Eds.), Brain mechanisms underlying speech and language (pp. 73-80). New York, NY: Grune and Stratton.

Clark, M. D.; Marschark, M.; Karchmer, M. (2001). (Eds.), *Context, cognition, and deafness*. Washington, DC: Gallaudet University Press.

Collins, S. (2004). Adverbial morphemes in American Sign Language. UMI Dissertation Services 2004. Doctoral Dissertation, Gallaudet University.

Connor, C.; Hieber, S.; Arts, A.; Zwolan, T. (200). Speech, vocabulary, and the education of children using cochlear implants: oral or total communication? *Journal of Speech, Language, and Hearing Research, 43*, 1185-1204.

Coplan, J.; Gleason, J. R.; Ryan, R.; Williams, M. L. (1982). Validation of an early language milestone scale in a high-risk population. *Pediatrics*, *70*, 677-683.

Cormier, K. (2007). Do all pronouns point? Indexicality of first person plural pronouns in LSB and ASL. In: P. Perniss; R. Pfau; M. Steinbach (Eds.), *Visible Variation: Comparative Studies on Sign Language Structure* (pp. 63-101). Berlin, Germany: Mouton de Gruyter.

Cormier, K. (2012). Pronouns. In: R. Pfau; M. Steinbach; B. Woll (Eds.), *Sign language: An international handbook* (pp. 227-244). Berlin, Germany: Mouton de Gruyter.

Cormier, K.; Fenlon, J.; Johnston, T.; Rentelis, R.; Schembri, A.; Rowley, K.; Adam, R.; Woll, B. (2012). From *corpus* to lexical database to online dictionary: issues in annotation of the LSB *corpus* and the development of LSB SignBank. In: O. Crasborn, O.; E. Efthimiou; E. Fotinea; T. Hanke; J. Kristoffersen; J. Mesch (Eds.), *Proceedings of the 5th Workshop on the Representation and Processing of Sign Languages: Interactions Between Corpus and Lexicon* [Workshop as part of 8th International Conference on Language Resources and Evaluation, Istanbul, Turkey]. European Language Resources Association, 7-12.

Cormier, K.; Fenlon, J.; Rentelis, R.; Schembri, A. (2011). Lexical frequency in British Sign Language conversations: a *corpus*-based approach. In: P. K. Austin; O. Bond; L. Marten; D. Nathan (Eds.), *Proceedings of the Conference on Language Documentation and Linguistic Theory 3*. School of Oriental and African Studies, 81-90.

Cormier, K.; Quinto-Pozos, D. (Eds.) (2002), *Modality and structure in signed and spoken languages* (pp. 1-25). Cambridge, MA: Cambridge University Press.

Cormier, K.; Quinto-Pozos, D.; Sevcikova, Z.; Schembri, A. (2012). Lexicalisation and de-lexicalisation processes in sign languages: comparing depicting constructions and viewpoint gestures. *Language and Communication*, *32*, 329-348.

Cormier, K.; Schembri, A.; Tyrone, M.E. (2008). One hand or two? Nativisation of fingerspelling in ASL and BALSNZ. *Sign Language and Linguistics*, *11*, 3-44.

Costello, E. (1994). *Random House American Sign Language dictionary*. New York, NY: Random House.

Cronbach, L. J. (1996). *Fundamentos da testagem psicológica* (5a. ed.). Porto Alegre, RS: Artes Médicas.

Cruz, C. R. (2008). *Proposta de instrumento de avaliação da consciência fonológica, parâmetro configuração de mão, para crianças surdas utentes da Língua de Sinais Brasileira*. Porto Alegre, RS: Programa de Pós-Graduação em Letras da Faculdade de Letras da Pontifícia Universidade Católica do Rio Grande do Sul.

Cui, Y.; Weng, J. (2000). Appearance-based hand sign recognition from intensity image sequences. *Computer Vision Image Understanding*, *78* (2), 157-176;

Cuxac, C. (1997). Iconicité et mouvement des signes en langue des signes française: Le mouvement. *Actes de la sixième Ecole d'Eté de l'Association pour la Recherche Cognitive (ARC)*, Paris, 205-218.

Cuxac, C. (2000). *La Langue des Signes Française: les voies de l'iconicité*. Paris, Editions Ophrys. (Bibliothèque de Faits de Langues, n. 15-16, 391 pp).

Cysouw, M. (2003). *The paradigmatic structure of person marking*. Oxford, UK: Oxford University Press.

Dabre, K.; Dholay, S. (2014). Machine Learning Model for Sign Language Interpretation using Webcam Images. *2014 International Conference on Circuits, Systems, Communication and Information Technology Applications (CSCITA).* Mumbai, India: IEE, pp. 317-321, DOI: 10.1109/CSCITA.2014.6839279.

Dale, E.; Reichert, D. (1957). *Bibliography of vocabulary studies*. Columbus, OH: Ohio State University Bureau of Educational Research.

Davis, F. B. (1944). Fundamental factors of comprehension in reading. *Psychometrika*, *9*, 185-197.

Davis, F. B. (1968). Research in comprehension in reading. *Reading Research Quarterly*, *3*, 499-545.

Dennis, J.E.; Schnabel, R.B. (1987). *Numerical methods for unconstrained optimization and nonlinear equations (classics in applied mathematics), Society for Industrial Mathematics*, Philadelphia, PA: SIAM, Society for Industrial and Applied Mathematics, 375. ISBN: 978-0-89871-364-0, doi.org/10.1137/1.9781611971200. Disponível em: http://epubs.siam.org/doi/book/10.1137/1.9781611971200

Deuchar, M. (1977). Sign language diglossia in a British deaf community. *Sign Language Studies*, *17*, 347-356.

Diessel, H. (2007). Frequency effects in language acquisition, language use, and diachronic change. *New Ideas in Psychology*, *25*, 108-127.

Ding, L.; Martinez, A. M. (2008). Precise detailed detection of faces and facial features. In *Proceedings of the IEEE Computer Vision and Pattern Recognition*. 1-7. Disponível em: https://scholar.google.com.br/citations?view_op=view_citation&hl=pt-BR&user=9uNzG-sAAAAJ&citation_for_view=9uNzG-sAAAAJ:YsMSGLbcyi4C

Ding, L.; Martinez, A. M. (2009). Modelling and recognition of the linguistic components in American Sign Language. *Image and Vision Computing*, *27*(12), 1826-1844. doi: 10.1016/j.imavis.2009.02.005. Disponível em:

http://www.sciencedirect.com/science/article/pii/S0262885609000213, consultado em 01/01/2016.

Ding, L.; Martinez, A.M. (2006). Three-dimensional shape and motion reconstruction for the analysis of American sign language. In *Proceedings of the Second IEEE Workshop on Vision for Human Computer Interaction*, *Anchorage, AK*. doi: 10.1109/CVPRW.2006.203. Disponível em: https://www.bu.edu/asllrp/bmvc_final.pdf; http://ieeexplore.ieee.org/xpl/articleDetails.jsp?arnumber=4587812&filter=AND(p_Publication_Number:4558014)

Downie, N. M.; Heath, R. W. (1979). *Basic statistical methods* (3rd. ed.). New York, NY: Harper Row.

Duduchi, M.; Capovilla, F. C. (2006). *BuscaSigno*: A Construção de uma Interface Computacional para o Acesso ao Léxico da Língua de Sinais Brasileira. Em IHC (Org.), *Fatores humanos em sistemas computacionais* (Vol. 7, pp. 21-30). Natal, RN: IHC.

Duduchi, M.; Capovilla, F. C.; Raphael, W. D.; Luz, R. D.; Rozados, D. (2000). Língua de Sinais Brasileira: Sistema computadorizado de busca morfológica de sinais (RastreaMorfos). Em M. J. Gonçalves; E. C. Macedo; A. L. Sennyey; F. C. Capovilla (Orgs.), *Tecnologia em (re)habilitação cognitiva 2000: A dinâmica clínica, teoria e pesquisa* (pp. 224-235). São Paulo, SP: Sociedade Brasileira de Neuropsicologia e Edunisc. (ISBN: 85-87121-02-2).

Dunn, L. M.; Capovilla, F. C.; Capovilla, A. G. S.; Dunn, D. (2004a). *Manual do examinador para o Teste de Vocabulário por Imagens Peabody*. São Paulo, SP: Casa do Psicólogo.

Dunn, L. M.; Capovilla, F. C.; Capovilla, A. G. S.; Dunn, D. (2004b). *Teste de Vocabulário por Imagens Peabody: Adaptação Brasileira*. São Paulo, SP: Casa do Psicólogo.

Dunn, L. M.; Dunn, L. M. (1981). *Peabody Picture Vocabulary Test – Revised*. Circle Pines, MN: American Guidance Service.

Dunn, L. M.; Padilla, E. R.; Lugo, D. E.; Dunn, L. M. (1986a). *Manual del examinador para el Test de Vocabulario en Imágenes Peabody*. Circle Pines, MN: American Guidance Service.

Dunn, L. M.; Padilla, E. R.; Lugo, D. E.; Dunn, L. M. (1986b). *Test de Vocabulario en Imágenes Peabody: Adaptación Hispanoamericana*. Circle Pines, MN: American Guidance Service.

Easterbrooks, S. R.; O'Rourke, C. M. (2001). Gender differences in response to auditory-verbal intervention in children who are deaf or hard of hearing. *American Annals of the Deaf*, *146*(4), 309-319.

Elliott, C. D. (1983). *The British ability scales. Manual 2: Technical and statistical information*. Windsor, UK: NFER-Nelson.

Ellis, N.C. (2002). Frequency effects in language processing. *Studies in Second Language Acquisition, 24*, 143-188.

Emmorey, K. (2002). *Language, cognition, and the brain: Insights from sign language research*. Mahwah, NJ: Lawrence Erlbaum Associates.

Emmorey, K. (2003). *Perspectives on classifier constructions in sign languages*. Mahwah, NJ: Erlbaum.

Emmorey, K.; Falgier, B. (2004). Conceptual locations and pronominal reference in American Sign Language. *Journal of Psycholinguistic Research*, *33* (4), 321-331.

Emmorey, K.; Reilly, J. (Eds.), (1999). *Language, Gesture, and Space*. Hillsdale, N.J: Lawrence Erlbaum.

Engberg-Pedersen, E. (1993). Space in Danish Sign Language: The semantics and morphosyntax of the use of space in a visual language. *Signum-Verlag*,

Hamburg, GE. *Nordic Journal of Linguistics*, *18*, 67-74. doi:10.1017/S0332586500003115. Disponível em: http://journals.cambridge.org/action/displayAbstract?fromPage=online&aid=2870416

Engberg-Pedersen, E. (2003). From pointing to reference and predication: pointing signs, eyegaze, and head and body orientation in Danish Sign Language. In: S. Kita, *(Ed.), Pointing: Where Language, Culture, and Cognition Meet* (pp. 269-292.) Mahwah, NJ: Lawrence Erlbaum Associates.

Ensminger, J. (1987). *Comunicando com as mãos*. Piracicaba, SP: Editora Shekinah.

Evans, N.; Levinson, S. (2009). The myth of language universals: language diversity and its importance for cognitive science. *Behavioural and Brain Sciences*, *32*, 429-448.

Eysenck, M. W.; Keane, M. T. (1990). *Cognitive psychology*: *A student's handbook*. New York, NY: Lawrence Erlbaum.

Fang, G.; Gao, W. (2002). A SRN/HMM system for signer-independent continuous sign language recognition. In: *Proceedings of the IEEE Automatic Face and Gesture Recognition*, Washington, DC, 21-21 May 2002, (pp. 312 – 317). IEEE. DOI: 10.1109/AFGR.2002.1004172. http://ieeexplore.ieee.org/xpl/login.jsp?tp=&arnumber=1004172&url=http%3A%2F%2Fieeexplore.ieee.org%2Fxpls%2Fabs_all.jsp%3Farnumber%3D1004172

Faulstich, E. (2006). Resenha do Dicionário enciclopédico ilustrado trilíngue da língua de sinais brasileira. *Perspectiva* (Florianópolis, SC), *24*, 197-201. Disponível em http://www.perspectiva.ufsc.br/perspectiva_2006_especial/ 10_Enilde.pdf.

Faulstich, E. (2007). Modalidade oral-auditiva versus modalidade vísuo-espacial sob a perspectiva de dicionários na área de surdez. Em. M. M. Lima-Salles (Org.), *Bilinguismo dos surdos: Questões linguísticas e educacionais* (pp. 142-157). Goiânia, GO: Cânone Editorial.

Felipe, T. A. (2001). *Libras em contexto: curso básico. Livro do estudante*. Brasília, DF: MEC-SEESP.

Felipe, T. A. (2002). Sistema de flexão verbal na Libras: os classificadores enquanto marcadores de flexão de gênero*. Anais do I Congresso Internacional do Ines: Surdez e Pós-Modernidade: Novos rumos para a educação brasileira* (pp. 37-58). Rio de Janeiro, RJ: Instituto Nacional de Educação e Integração de Surdos, Divisão de Estudos e Pesquisa.

Fenlon, J.; Schembri, A.; Rentelis, R.; Cormier, K. (2013). Variation in handshape and orientation in British Sign Language: the case of the '1' hand configuration. *Language and Communication*, *33*, 69-91.

Fenlon, J.; Schembri, A.; Rentelis, R.; Vinson, D.; Cormier, K. (2014). Using conversational data to determine lexical frequency in British Sign Language: The influence of text type. *Lingua*, *143*, May, 187-202. doi:10.1016/j.lingua.2014.02.003. Disponível em: http://www.sciencedirect.com/science/article/pii/S0024384114000333, consultado em 01/01/2016.

File-Muriel, R.J. (2010). Lexical frequency as a scalar variable in explaining variation. *Canadian Journal of Linguistics*, *55*, 1-25.

Finnau, R. (2004). *Os sinais de tempo e aspecto na Libras*. Tese de Doutorado. Universidade Federal do Paraná, Curitiba, PR.

Fischer, S. (1978). Sign language and creoles. In: P. Siple (Ed.), *Understanding sign language through sign language research* (pp. 309-331). New York, NY: Academic Press.

Fischer, S.; Osugi, Y. (2000). Thumbs up vs. giving the finger: indexical classifiers in NS and ASL. *Paper presented at the 7th International Conference on theoretical Issues in Sign Language Research*, July, Amsterdam NE.

Flood, C. M. (2002). *How do deaf and hard of hearing students experience learning to write using SignWriting: A way to read and write signs?* Unpublished Ph.D. Dissertation. University of New Mexico, New Mexico, USA.

Fok, Y. Y. A.; Bellugi, U.; Lillo-Martin, D. (1986). Remembering in Chinese signs and characters. In H. Kao; R. Hoosain (Eds.), *Linguistics, psychology and the Chinese Language* (pp. 336-362). Hong Kong, China: University of Hong Kong Press.

Forster, K.I.; Chambers, S.M. (1973). Lexical access and naming time. *Journal of Verbal Learning and Verbal Behavior*, *12*, 627-635.

Fournier, J.; Cord, M. (2002). Long-term similarity learning in content-based image retrieval. *Proceedings of the IEEE International Conference in Image Processing (ICIP'02)*, Rochester, NY: *International Visual Theatre (I.V.T.)*, Editions Ellipses, Paris, IEEE, pp. 441-444 doi: 10.1109/ICIP.2002.1038055, ISBN:0-7803-7622-6, ISSN :1522-4880. Consultado em 24/01/2016. Disponível em: http://ieeexplore.ieee.org/xpl/articleDetails.jsp?reload=true&arnumber=1038055

Francis, W.N.; Kucera, H. (1982). *Frequency analysis of English usage: Lexicon and grammar*. Boston, MA: Houghton Mifflin Company.

Frankel, M. A. (2002). Deaf-blind interpreting: Interpreters' use of negation in tactile American Sign Language. *Sign Language Studies*, *2*(2), 169-181. Gallaudet University Press. (E-ISSN: 1533-6263 Print ISSN: 0302-1475, DOI: 10.1353/sls.2002.0004).

Freitas, S. N. (2006). (Org.), *Diferentes contextos de educação especial e inclusão social*. Santa Maria, RS: Pallotti, Mec-Seesp-Capes.

Frishberg, N. C. (1975). Arbitrariness and iconicity: Historical change in American Sign Language. *Language*, *51*, 696-719.

Fromklin, V. (1973). Slips of the tongue. *Scientific American*, *229*,109-117.

Gerken, L.; Jusczyk, P. W.; Mandel, D. R. (1994). When prosody fails to cue syntactic structure: 9-month-olds' sensitivity to phonological versus syntactic phrases. *Cognition*, *51*(3), 237-265.

Gonçalves, M. J.; Capovilla, F. C.; Macedo, E. C.; Duduchi, M. (1997). Fatores relevantes à comunicação alternativa pictorial e semantográfica em paralisia cerebral. *Cadernos Faculdades Integradas São Camilo*, *3*(1), 3-16.

Gonçalves, M. J.; Macedo, E. C.; Sennyey, A. L.; Capovilla, F. C. (2000). (Orgs.), *Tecnologia em (re)habilitação cognitiva 2000: A dinâmica clínica, teoria e pesquisa*. São Paulo, SP: Sociedade Brasileira de Neuropsicologia, Edunisc.

Gorce, M.L.; Paragios, N.; Fleet, D.J. (2008). Model-based hand tracking with texture, shading and self-occlusions. In *Proceedings of the IEEE Computer Vision and Pattern Recognition*. Anchorage, AK, 23-28 June de 2008 (pp. 1-8). IEEE. DOI:10.1109/CVPR.2008.4587752. http://ieeexplore.ieee.org/xpl/login.jsp?tp=&arnumber=4587752&url=http%3A%2F%2Fieeexplore.ieee.org%2Fxpls%2Fabs_all.jsp%3Farnumber%3D4587752

Granier, D. (2002). Português-por-escrito para usuários de Libras. *Integração*, 14(24).

Graves, M. F.; Slater, W. H. (1991). A response to instructional texts rewritten by five expert teams. *Journal of Educational Psychology*, *83*, 147-148.

Greenberg, J.H. (1963). Some universals of grammar with particular reference to the order of meaningful elements. In: J.H. Greenberg (Ed.), *Universals of Language* (pp. 73-113). Cambridge, MA: MIT Press.

Greenberg, J.H. (1993). The second person is rightly so called. In: Eid, M.; Iverson, G. (Eds.), *Principles and prediction: The analysis of natural language* (pp. 9-24). Amsterdam, North Holland: Benjamins.

Gregg, V. (1976). Word frequency, recognition and recall. In: J. Brown (Ed.), *Recall and recognition* (pp. 183-216). Oxford, UK: John Wiley.

Grunert, J.A. (1841). Das Pothenotische Problem in erweiterter Gestalt nebst Über seine Anwendungen in der *Geodäsie. Grunerts Archiv für Mathematik und Physik*, Band, *1*, 238-248.

Guy, G.R. (2007). Lexical exceptions in variable phonology. *University of Pennsylvania Working Papers in Linguistics*, *13*, 109-119.

Hall, J.F. (1954). Learning as a function of word-frequency. *American Journal of Psychology*, *67*, 138-140.

Haralick, R.M.; Lee, C.; Ottenberg, K.; Nolle, M. (1994). Review and analysis of solutions of the three point perspective pose estimation problem. *International Journal of Computer Vision*, *13* (3), 331-356.

Hartley, R.; Zisserman, A. (2003). *Multiple View Geometry in Computer Vision,* New York, NY: Cambridge University Press. 655. ISBN: 0521540518. Disponível em: ftp://vista.eng.tau.ac.il/dropbox/aviad/Hartley,%20Zisserman%20-%20Multiple%20View%20Geometry%20in%20Computer%20Vision.pdf

Hernandez-Rebollar, J.L.; Kyriakopoulos, N.; Lindeman, R.W. (2004). A new instrumented approach for translating American sign language into sound and text. In *Proceedings of the IEEE Automatic Face and Gesture Recognition*. 547-552.

Hickok, G.; Bellugi, U.; Klima, E. S. (2001). Sign language in the brain. *Scientific American*, June, 43-49.

Hickok, G.; Love-Geffen, T.; Klima, E. S. (2002). Role of the left hemisphere in sign language comprehension. *Brain and Language*, *82*(2), 167-178.

Hoemann, H. W.; Oates, E.; Hoemann, S. A. (1981).*Linguagem de sinais do Brasil*. Mill Neck, NY: Mill Neck Foundation.

Howes, D.H. (1954). On the interpretation of word frequency as a variable affecting speed of recognition. *Journal of Experimental Psychology*, *48*, 106-112.

Howes, D.H.; Solomon, R.L. (1951). Visual duration threshold as a function of word-probability. *Journal of Experimental Psychology*, *41*, 401-410.

http://ieeexplore.ieee.org/xpl/articleDetails.jsp?reload=true&arnumber=1410463

Hurford, J.R. (2012). *The origins of grammar: Language in the light of evolution*. Oxford, UK: Oxford University Press.

Huttenlocher, J.; Smiley, P. (1987). Early word meanings: The case of object names. *Cognitive Psychology, 19*(1), 63-89.

Imagawa, K.; Matsuo, H.; Taniguchi, R.-i.; Arita, D.; Lu, S.; Igi, S. (2000) Recognition of local features for camera-based sign language recognition system. *Proceedings of the IEEE Pattern Recognition*, *4*, 849-853.

Jacobs D. W. (2001). Linear fitting with missing data for structure-from-motion computer. *Vision and Image Understanding*, *82* (1), 57-81. doi:10.1006/cviu.2001.0906

Jia, H.; Martinez, A.M. (2009). Low-rank matrix fitting based on subspace perturbation analysis with applications to structure from motion, *IEEE Transactions on Pattern Analysis and Machine Intelligence*, *31*(2), 841-854.

Johansson, S. (1985). Some observations on word frequencies in three *corpora* of present-day English texts. *ITL Review of Applied Linguistics*, *67-68*, 117-126.

Johnson, R. E. (2008). Aquisição inicial da ASL como uma possível influência no Bilinguismo. Em M. C. Moura; S. A. A. Vergamini; S. R. L. Campos (Orgs.), *Educação para Surdos: práticas e perspectivas* (pp. 61-77). São Paulo, SP: Editora Santos.

Johnston, T. (2003). LSB, Auslan and LSNZ: three signed languages or one*?* In: A. Baker; B. van den Bogaerde; O. Crasborn (Eds.), *Cross linguistic perspectives in sign language research: Selected papers from TISLR 2000* (pp. 47-69). Hamburg, Germany: Signum Verlag.

Johnston, T. (2010). From archive to *corpus*: transcription and annotation in the creation of signed language *corpora*. *International Journal of Corpus Linguistics*, *15*, 106-131.

Johnston, T. (2012). Lexical frequency in sign languages. *Journal of Deaf Studies and Education*, *17*, 163-193.

Johnston, T.; Schembri, A. (2006). Issues in the creation of a digital archive of a signed language. In L. Barwick; N. Thieberger (Eds.), *Sustainable data from digital fieldwork: Proceedings of the conference held at the University of Sydney, 4-6 December 2006* (pp. 7-16). Sydney, Australia: Sydney University Press.

Johnston, T.; Schembri, A. (2007). *Australian Sign Language: An introduction to sign language linguistics*. Cambridge, MA: Cambridge University Press.

Juliano, C.; Tanenhaus, M.K. (1993). Contingent frequency effects in syntactic ambiguity resolution. *Proceedings of the 15th Annual Conference of the Cognitive Science Society, COGSCI-94,* Boulder, CO, pp. 593-598.

Jurafsky, D. (1996). A probabilistic model of lexical and syntactic access and disambiguation. *Cognitive Science*, *20*, 137-194.

Jusczyk, P. W.; Friederici, A. D.; Wessels, J. M. I.; Svenkerud, V. Y.; Jusczyk, A. M. (1993). Infants' sensitivity to the sound patterns of native language words. *Journal of Memory and Language*, *32*, 402-420.

Just, M. A.; Carpenter, P. A. (1987). *The psychology of reading and language comprehension*. Boston, MA: Allyn and Bacon.

Keenan, E.; Comrie, B. (1977). Noun phrase accessibility and universal grammar. *Linguistic Inquiry*, *8*, 63-99.

Kidd, E.; Lieven, E.V.M.; Tomasello, M. (2010). Lexical frequency and exemplar-based learning effects in language acquisition: evidence from sentential complements. *Language Sciences*, *32*, 132-142.

Klima, E. S.; Bellugi, U. (1978). Poetry without sound. *Human Nature*, *1*(10), 74-83.

Klima, E. S.; Bellugi, U. (1979). *The signs of language*. Cambridge, MA: Harvard University Press.

Kluwin, T. N. (1994). The interaction of race, gender and social-class effects in the education of deaf students. *American Annals of the Deaf*, *139*(5), 465-471.

Kojima, C. K.; Segala, S. R. (2008). *Libras, Língua Brasileira de Sinais: a imagem do pensamento, Vols. 1 e 2*. São Paulo, SP: Editora Escala.

Kučera, H.; Francis, W.N. (1967). *Computational Analysis of Present-day American English*. Providence, RI: Brown University Press.

Kuhn, N.; Ciciliani, T.A.; Wilbur, R.B. (2006). Phonological parameters. *Croatian Sign Language, Sign Language & Linguistics*, *9* (1-2), 33-70.

Langacker, R.W. (2009). A dynamic view of usage and language acquisition. *Cognitive Linguistics*, *20*, 627-640.

Layton, H. (1985). *Carolina Picture Vocabulary Test*, CPVT.

Lederberg, A. R.; Spencer, P. E. (2001). Vocabulary development of deaf and hard of hearing children. In M. D. Clark; M. Marschark; M. Karchmer (Eds.), *Context, cognition, and deafness* (pp. 88-112). Washington, DC: Gallaudet University Press.

Leech, G.; Rayson, P.; Wilson, A. (2001). *Word frequencies in written and spoken English (based on the British national corpus)*. London, UK: Longman.

Lefebvre-Albaret, F.; Dalle, P. (2009). Analyse de vidéos en langue des signes - méthodes et stratégies. *ORASIS '09 - Congrès des jeunes chercheurs en vision par ordinateur,* Trégastel, France. Disponível em: https://hal.archives-ouvertes.fr/inria-00404651/document.

Liang, R.-H.; Ouhyoung, M. (1998). A real-time continuous gesture recognition system for sign languagem. In *Proceedings of the IEEE Automatic Face and Gesture Recognition*, 558-565.

Liberman, A. M. (1982). On finding that speech is special. *American Psychologist*, *37*(2), 148-167.

Lichtenauer, J.; Hendriks, E.; Reinders, M. (2008). Sign language recognition by combining statistical DTW and independent classification. *IEEE Transactions on Pattern Analysis and Machine Intelligence*, *30* (11), 2040-2046.

Liddell, S. (1984). Think and believe: Sequentiality in ASL. *Language*, *60*, 372-399.

Liddell, S. K. (2000a). Blended spaces and deixis in sign language discourse. In: McNeill, D. (Ed.), *Language and gesture: Window into thought and action* (pp. 331-357) Cambridge, MA: Cambridge University Press.

Liddell, S. K. (2000b). Indicating verbs and pronouns: pointing away from agreement. In: Emmorey, K.D.; Lane, H. (Eds.) *The signs of language revisited: An anthology to honor Ursula Bellugi and Edward Klimal* (pp. 303-320) Mahwah, NJ: Lawrence Erlbaum Associates

Liddell, S. K. (2003). *Grammar, gesture and meaning in American Sign Language*. Cambridge, MA: Cambridge University Press.

Liddell, S. K. (2003). *Grammar, gesture and meaning in American Sign Language*. Cambridge, MA: Cambridge University Press.

Liddell, S. K. (2003). *Grammar, gesture, and meaning in American Sign Language.* Cambridge, MA: Cambridge University Press.

Liddell, S.; Johnson, R. (1985). *American Sign Language: The phonological base.* Washington, DC: Gallaudet College. Unpublished.

Lillo-Martin, D. (2002). Where are all the modality effects? In: Meier, R.; Quinto-Pozos, D.; Cormier, K. (Eds.), *Modality and structure in signed and spoken languages* (pp. 241-262). Cambridge, MA: Cambridge University Press.

Lillo-Martin, D.; Klima, E. (1990). Pointing out differences: ASL pronouns in syntactic theory. In: Fischer, S.D.; Siple, P. (Eds.), *Theoretical issues in sign language research* (pp. 121-210). Chicago, IL:1. University of Chicago Press.

Lillo-Martin, D.; Meier, R.P. (2011). On the linguistic status of 'agreement' in sign languages. *Theoretical Linguistics*, *37* (3/4), 95-141.

Lima, J. L. P.; Macedo, E. C.; Capovilla, F. C.; Sazonov, G. C. (2000). Implantação e adaptação do sistema de comunicação NoteVox para uma pessoa com esclerose lateral amiotrófica: Um relato de caso. In M. J. Gonçalves; E. C. Macedo; A. L. Sennyey; F. C. Capovilla (Orgs.), *Tecnologia em (re)habilitação cognitiva 2000: A dinâmica clínica, teoria e pesquisa* (pp. 347-353). São Paulo, SP: Sociedade Brasileira de Neuropsicologia, Edunisc.

Lima-Salles, H. M. M. (2007) (Org.), *Bilinguismo dos surdos: Questões linguísticas e educacionais*. Goiânia, GO: Cânone Editorial.

Lira, G. A.; Felipe, T. A. (2005). *Dicionário digital da Língua Brasileira de Sinais*. Rio de Janeiro, RJ: Instituto Nacional de Educação de Surdos.

Lorenzetti, M. L. (2001). *A inclusão do aluno surdo no ensino regular: a voz das professoras.* Dissertação de Mestrado, Universidade Federal de Santa Catarina, Florianópolis, SC.

Lovett, M. W.; Palma, M.; Frijters, J.; Steinbach, K.; Temple, M.; Benson, N.,; Lacerenza, L. (2008). Interventions for reading difficulties: A comparison of response to intervention by ELL and EFL struggling readers. *Journal of learning disabilities,41*(4), 333-352.

Luchesi, M. R. C. (2003). *Educação de pessoas surdas: experiências vividas, histórias narradas*. Campinas, SP: Papirus.

Luz, R. D.; Raphael, W. D.; Capovilla, F. C. (2002). Manual semântico ilustrado trilíngue da Língua de Sinais Brasileira (Libras) em 18 volumes: O mundo do Surdo em Libras. Em Instituto Nacional de Educação de Surdos. (Org.), *Surdez e pós-modernidade: Novos runos para a educação brasileira* (pp. 99-106). Rio de Janeiro, RJ: Instituto Nacional de Educação de Surdos, Secretaria de

Educação Especial, Ministério da Educação.

Macedo, E. C.; Capovilla, F. C. (1998). Desenvolvimento de programas computacionas para (re)habilitação: Contribuições da ergonomia cognitiva. Em F. C. Capovilla; M. J. Gonçalves; E. C. Macedo (Orgs.), *Tecnologia em (re)habilitação cognitiva: Uma perspectiva multidisciplinar* (pp. 167-172). São Paulo, SP: Edunisc, Sociedade Brasileira de Neuropsicologia.

Macedo, E. C.; Capovilla, F. C. (2000a). Desenvolvimento de sistemas de acionamento de computador via voz para pessoas com distúrbios sensoriomotores. Em M. J. Gonçalves; E. C. Macedo; A. L. Sennyey; F. C. Capovilla (Orgs.), *Tecnologia em (re)habilitação cognitiva 2000: A dinâmica clínica, teoria e pesquisa* (pp. 141-145). São Paulo, SP: Sociedade Brasileira de Neuropsicologia, Edunisc.

Macedo, E. C.; Capovilla, F. C. (2000b). Possibilidades do uso da Internet: Integrando pacientes, auxiliando familiares e instrumentalizando profissionais. Em M. J. Gonçalves; E. C. Macedo; A. L. Sennyey; F. C. Capovilla (Orgs.), *Tecnologia em (re)habilitação cognitiva 2000: A dinâmica clínica, teoria e pesquisa* (pp. 396-400). São Paulo, SP: Edunisc, Sociedade Brasileira de Neuropsicologia.

Macedo, E. C.; Capovilla, F. C.; Charin, S.; Duduchi, M. (1998). Versões computadorizadas de testes neuropsicológicos: Teste Boston para Diagnóstico Diferencial das Afasias (Boston-Comp), Teste Boston de Nomeação (TBN-Comp), e Teste Token para Crianças (Token-Comp). Em F. C. Capovilla; M. J. Gonçalves; E. C. Macedo (Orgs.), *Tecnologia em (re)habilitação cognitiva: uma perspectiva multidisciplinar* (pp. 92-99). São Paulo, SP: Sociedade Brasileira de Neuropsicologia, Edunisc.

Macedo, E. C.; Capovilla, F. C.; Diana, C.; Covre, P. (2002). Desenvolvimento de instrumentos computadorizados de avaliação de funções cognitivas na WWW: O possível e o necessário. Em E. C. Macedo; M. J. Gonçalves; F. C. Capovilla; A. L. Sennyey (Orgs.), *Tecnologia em (re)habilitação cognitiva: Um novo olhar para avaliação e intervenção* (pp. 21-32). São Paulo, SP: Sociedade Brasileira de Neuropsicologia, Edunisc.

Macedo, E. C.; Capovilla, F. C.; Diana, C.; Orsati, F.; Nikaedo, C. (2004). Development of a test battery to assess deaf language skills via WWW. In M. G. Pimentel; E. G. Munson (Eds.), *Institute of Electronical and Electronics Engineers: WEBMIDIA LA-WEB2004*, (Vol. 1, pp. 118-124). Los Alamitos, CA: IEEE & IEE Computer Society. (ISBN: 0-7695-2237-8. Library of Congress: 2004110576).

Macedo, E. C.; Capovilla, F. C.; Duduchi, M.; Gonçalves, M. J. (1998). Análises de desempenho de usuários de sistemas computadorizados de comunicação alternativa: Implicações metodológicas e éticas. Em F. C. Capovilla; M. J. Gonçalves; E. C. Macedo (Orgs.), *Tecnologia em (re)habilitação cognitiva: Uma perspectiva multidisciplinar* (pp. 152-155). São Paulo, SP: Edunisc, Sociedade Brasileira de Neuropsicologia.

Macedo, E. C.; Capovilla, F. C.; Sazonov, G. C. (2000). Uso de bateria de testes e inventários informatizados na avaliação de pacientes institucionalizados. Em M. J. Gonçalves; E. C. Macedo; A. L. Sennyey; F. C. Capovilla (Orgs.), *Tecnologia em (re)habilitação cognitiva 2000: A dinâmica clínica, teoria e pesquisa* (pp. 163-168). São Paulo, SP: Sociedade Brasileira de Neuropsicologia, Edunisc.

Macedo, E. C.; Gonçalves, M. J.; Capovilla; F. C., Sennyey, A. L. (2002). (Orgs.), *Tecnologia em (re)habilitação cognitiva: Um novo olhar para avaliação e intervenção*. São Paulo, SP: Sociedade Brasileira de Neuropsicologia, Edunisc.

MacLaughlin, D. (1997). The structure of determiner phrases: Evidence from American Sign Language. Doctoral dissertation, Boston University, Boston, MA.

Marks, C. B.; Doctorow, M. J.; Wittrock, M. C. (1974). Word frequency and reading comprehension. *Journal of Educational Research*, *67*(6), 259-262.

Marschark, M.; Lukomski, J. (2001). Understanding language and learning in deaf children. In M. D. Clark; M. Marschark; M. Karchmer (Eds.), *Context, cognition, and deafness* (pp. 71-87). Washington, DC: Gallaudet University Press.

Martinez, A. M.; Wilbur, R.B.; Shay, R.; Kak, A.C. (2002). The Purdue ASL database for the recognition of american sign language. In *Proceedings of the IEEE Multimodal Interfaces*, Pittsburgh, PA, November. Disponível em: https://engineering.purdue.edu/RVL/Publications/Martinez02Purdue.pdf

Martinez, A. M.; Zhu, M. (2005). Where are linear feature extraction methods applicable? IEEE *Transactions on Pattern Analysis and Machine Intelligence*, *27* (12), 1934-1944.

Mathur, G. (2000). *The morphology-phonology interface in signed languages*. Doctoral dissertation, MIT, Cambridge, MA.

Mayberry, M.L.; Hall, M.L.; Zvaigzne, M. (2014). Subjective frequency ratings for 432 signs. *Behavior Research Methods*, *46* (2), 526-539.

McBurney, S.L. (2002). Pronominal reference in signed and spoken language: are grammatical categories modality-dependent? In: R.P. Meier; K.A Cormier; D. Quinto-Pozos (Eds.), *Modality and structure in signed and spoken language* (pp. 329-369). Cambridge, MA: Cambridge University Press.

McCleary, A.; Ide-Helvie, D.; Lotto, A.; Carney, A.; Higgins, M. (2007). Effects of elicitation task variables on speech production by children with cochlear implants. J*ournal of Speech, Language, and Hearing Research*, *50*, 83-96.

McCleary, L. E. (2003). Technologies of language and the embodied history of the deaf. *Sign Language Studies*, *3*(2), 104-124.

McCleary, L.; Viotti, E. (2007). Transcrição de dados de uma língua sinalizada: Um estudo piloto da transcrição de narrativas na Língua de Sinais Brasileira. Em H. M. M. Lima-Salles (Org.), *Bilinguismo dos surdos: Questões linguísticas e educacionais* (pp. 73-96). Goiânia, GO: Cânone Editorial

McEnery, T.; Wilson, A. (2001). *Corpus linguistics: An introduction* (2nd ed.). Edinburgh, UK: Edinburgh University Press.

McEnery, T.; Xiao, R. (2011). What *corpora* can offer in language teaching and learning. In: E. Hinkel (Ed.), *Handbook of research in second language teaching and learning* (pp. 364-380). New York, NY: Routledge.

McGann, R. (2005). A deaf-blind perspective. *Views*, *22*(11), 1-52.

McKee, D.; Kennedy, G. (2006). The distribution of signs in New Zealand Sign Language. *Sign Language Studies*, *6*, 372-390.

McKee, R.; Wallingford, S. (2011). So, well, whatever: discourse functions of palm-up in New Zealand Sign Language. *Sign Language and Linguistics*, *14*, 213-247.

McKeever, W. F.; Hoemann, H. W.; Florian, V. A.; Van Deventer, A. D. (1976). Evidence of miminal cerebral asymmetries for the processing of English words and American Sign Language stimuli in the congenitally deaf. *Neuropsychologia*, *14*, 413-423.

McKeon, M. G.; Beck, I. L.; Omanson, R. C.; Pople; M. T. (1985). Some effects of the nature and frequency of vocabulary instruction on the knowledge and use of words. *Reading Research Quarterly*, *20*(5), 522-535.

McNeil, D.; Duncan, S. D. (2005). Review of S. K. Liddell´s Grammar, gesture and meaning in American Sign Language*. Sign Language Studies, 5*(4), 506-523.

Meier, R. P. (1990). Person deixis in American Sign Language. In: S.D. Fischer; P. Siple, (Eds.), *Theoretical Issues in Sign Language Research* (pp. 175-190). Chicago, IL: University of Chicago Press.

Meier, R. P. (2002). Why different, why the same? Explaining effects and non-effects of modality upon linguistic structure in sign and speech. In: Meier, R.P.; *Modality*

and structure in signed and spoken language (pp. 1-25). Cambridge, MA: Cambridge University Press.

Meier, R. P.; Lillo-Martin, D. (2010). Does spatial make it special? On the grammar of pointing signs in American Sign Language. In: D.B. Gerdts; J.C. Moore; M. Polinsky, (Eds.), *Hypothesis A/Hypothesis B: Linguistic Explorations in Honor of David M. Perlmutter* (pp. 345-360) Cambridge, MA: MIT Press.

Meir, I. (1998). Syntactic-semantic interaction in Israeli Sign Language verbs: the case of backwards verbs. *Sign Language & Linguistics*, *1* (1), 3-37.

Mesch, J. (2001). Tactile sign language: turn taking and questions in signed conversations of deaf-blind people. In *International Studies on Sign Language and Communications of the Deaf*. Vol. 38. Hamburg: Signum.

Mesch, J. (2007). Variations in tactile signing, *ESRC workshop on atypical sign language and gesture*. Rome, Italy.

Messing, M. S.; Campbell, R. (1999). *Gesture, Speech, and Sign*, Oxford University Press.

Metzger, M. (1998). Eye gaze and pronominal reference in American Sign Language. In: C. Lucas (Ed.), *Pinky Extension & Eye Gaze: Language use in deaf communities* (pp. 170-182). Washington, DC: Gallaudet University Press.

Mezynski, K. (1983). Issues concerning the acquisition of knowledge: Effects of vocabulary training on reading comprehension. *Review of Educational Research*, *53*(2), 253-279.

Miller, P. (2004). Processing of written word and nonword visual information by individuals with prelingual deafness. *Journal of Speech, Language, and Hearing Research*, *47*, 990-1000.

Montiel, J. M.; Capovilla, F. C. (2009). (Orgs.), *Atualização em transtornos de aprendizagem*. São Paulo, SP: Artes Médicas. (ISBN 978-85-367-0108-0).

Moody, B. (1986). *La langue des signes - Tome 2: dictionnaire bilingue élémentaire*. Paris, France: Edition IVT .211.

Moody, B.; Vourc'h, A.; Girod-Michel, D. (1998). La langue des signes, Tome 1: Histoire et grammaire, Vincennes, France: I.V.T (International Visual Theatre). Diff. Ellipses. ISBN: 9782904641176

Moody, B.; Vourc'h, A.; Girod-Michel, D. (1998). La langue des signes - Tome 2: Dictionnaire bilingue LSF / Français; tome 2 : dictionnaire bilingue, Vincennes, France: I.V.T (International Visual Theatre). Diff. Ellipses. ISBN : 9782904641183

Moody, B.; Vourc'h, A.; Girod-Michel, D. (1998). La langue des signes - Tome 3. Vincennes, France: I.V.T (International Visual Theatre). Diff. Ellipses. ISBN : 9782904641190

Moore, B. C. J. (2001). Dead regions in the cochlea: Diagnosis, perceptual consequences, and implications for the fitting of hearing aids. *Trends in Amplification*, *5*, 1-34.

Moores, D. F.; Miller, M. S. (2001). Literacy publications: American Annals of the Deaf 1996 to 2000. *American Annals of the Deaf*, *146*(2), 77-80.

Morford, J.P.; MacFarlane, J. (2003). Frequency characteristics of American Sign Language. *Sign Language Studies*, *3*, 213-225.

Nagy, W. E.; Herman, P. A. (1987). Breadth and depth of vocabulary knowledge: Implications for acquisition and instruction. In M. McKeon; M. Curtis (Eds.), *The nature of vocabulary acquisition* (pp. 19-35). Hillsdale, NJ: Erlbaum Associates.

Narr, R. F. (2008). Phonological awareness and decoding in deaf/hard-of-hearing students who use phonics. *Journal of Deaf Studies and Deaf Education*, *13*(3), 405-416.

Nation, P. (2001). *Learning vocabulary in another language*. Cambridge, United Kingdom: Cambridge University Press.

Nayak, S.; Sarkar, S.; Loeding, B. (2009). Distribution-based dimensionality reduction applied to articulated motion recognition. *IEEE Transactions on Pattern Analysis and Machine Intelligence*, *31*(2), 795-810.

Neidle, C.; Kegl, J.; MacLaughlin, D.; Bahan, B.; Lee, R. (2000). *The Syntax of American Sign Language: Functional Categories and Hierarchical Structure*. Cambridge, MA: MIT Press, 229. doi: 10.1016/S1364-6613(00)01523-0

Nelson, K. (1973). Structure and strategy in learning to talk. *Monographs of the Society for Research in Child Development*, *38*, (1-2, Serial No. 149), 136.

Newkirk, D.; Klima, E. S.; Pedersen, C. C.; Bellugi, U. (1980). Linguistic evidence from slips of the hand. In V. A. Fromklin (Ed.), *Errors in linguistic performance* (pp. 165-197). New York, NY: Academic Press.

Nicholas, J.; Geers, A. (2007). Will they catch up? The role of age at cochlear implantation in the spoken language development of children with severe to profound hearing loss. *Journal of Speech, Language, and Hearing Research*, *50*, 1048-1062.

Nunes, L. R. O. P. (2003). (Org.), *Favorecendo o desenvolvimento da comunicação em crianças e jovens com necessidades educacionais especiais*. Rio de Janeiro, RJ: Dunya. (ISBN: 85-86558-22-2).

Oates, E. (1989). *Linguagem das mãos* (4ª. ed.). Aparecida, SP: Santuário.

Oliveira, W. G. S. (2013). Análise da estrutura *SematosÊmica ou SignumIcular* do *corpus* de 10.400 sinais da 2ª ed. do *Novo Deit Libras* via *BuscaSigno* 2. Dissertação de Mestrado. Universidade de São Paulo, São Paulo, SP.

Oliveira, W. G. S. (2014) Análise da estrutura *SematosÊmica* ou *SignumIcular* do *corpus* de 10.400 sinais da 2ª ed. do Novo Deit Libras via *BuscaSigno* 2. Dissertação de mestrado. Universidade de São Paulo, São Paulo, Brasil.

Ong, E.; Cooper, H.; Pugeault, N.; Bowden, R. (2012). Sign Language recognition using Sequential Pattern Trees. *2012 IEEE Conference on Computer Vision and Pattern Recognition (CVPR)*. Providence, RI: IEE, pp. 16-21, DOI: 10.1109/CVPR.2012.6247928, Print ISBN: 978-1-4673-1226-4, E-ISBN: 978-1-4673-1227-1.

Ong, S.C.W.; Ranganath, S. (2005). Automatic sign language analysis: a survey and the future beyond lexical meaning. *IEEE Transactions on Pattern Analysis and Machine Intelligence*, *27*(6), 873-891.

Padden, C.A. (1990). The relation between space and grammar in ASL verb morphology. In: C. Lucas (Ed.), *Sign Language Research: Theoretical Issues* (pp. 118-132). Washington, DC: Gallaudet University Press.

Parasnis, I.; Samar, V.; Berent, G. (2003). Deaf adults without attention deficit hyperactivity disorder display reduced perceptual sensitivity and elevated impulsivity on the test of variables of attention (T.O.V.A.). *Journal of Speech, Language, and Hearing Research*, *46*, 1166-1183.

Petitto, L. A.; Zatorre, R. J.; Gauna, K.; Nikelski, E. J.; Dostie, D.; Evans, A C. (2001). Speech-like cerebral activity in profoundly deaf people processing signed languages: Implications for the neural basis of human language. *PNAS*, *97*(25), 13961-13966.

Petronio, K.; Dively, V. (2006). Yes, no, visibility, and variation in asl and tactile ASL. *Sign Language Studies*, 7(1), 57-98. (E-ISSN: 1533-6263 Print ISSN: 0302-1475, DOI: 10.1353/sls.2006.0032).

Philips, B. (1984). Word frequency and the actuation of sound change. *Language*, *60*, 320-342.

Pizzuto, E.; Ardito, B.; Caselli, M. C.; Volterra, V. (2001). Cognition and language in Italian deaf preschoolers of deaf and hearing families. In M. D. Clark; M. Marschark; M. Karchmer (Eds.), *Context, cognition, and deafness* (pp. 49-70). Washington, DC: Gallaudet University Press.

Poizner, H.; Bellugi, U.; Tweney, R. D. (1981). Processing of formational, semantic and iconic information in American Sign Language. *Journal of Experimental Psychology: Human Perception Performance*, *7*, 1146-1159.

Poizner, H.; Klima, E. S.; Bellugi, U. (1987). *What the hands reveal about the brain*. Cambridge, MA: MIT Press.

Portugal, A. C.; Capovilla, F. C. (2002). Triagem audiológica na 1ª. série: Efeitos de perda auditiva sobre vocabulário, consciência fonológica, articulação da fala e nota escolar. *Cadernos de Psicopedagogia*, *1*(2), 60-97. (ISSN: 1676-1049).

Portugal, A. C.; Capovilla, F. C. (2002b). Triagem audiológica: Efeitos de perda auditiva sobre vocabulário, consciência fonológica, articulação da fala e nota escolar de escolares de primeira série. Em F. C. Capovilla (Org.), *Neuropsicologia e aprendizagem: Uma abordagem multidisciplinar* (pp. 87-110). São Paulo, SP: Scortecci, Sociedade Brasileira de Neuropsicologia.

Portugal, A. C.; Capovilla, F. C. (2004). Triagem audiológica: Efeitos de perda auditiva sobre vocabulário, consciência fonológica, articulação da fala e nota escolar de escolares de 1ª. série. Em F. C. Capovilla (Org.), *Neuropsicologia e aprendizagem: Uma abordagem multidisciplinar* (2ª. ed., pp. 84-107). São Paulo, SP: Memnon, Capes, e Sociedade Brasileira de Neuropsicologia. (ISBN: 85-85462-68-X).

Quadros, R. M.; Karnop, L. B. (2004). *Língua de Sinais Brasileira: Estudos linguísticos*. Porto Alegre, RS: Artes Médicas.

Quadros, R. M.; Pizzio, A. L. (2007). *Aquisição da Língua de Sinais Brasileira: Constituição e transcrição dos corpora*. Em H. M. M. Lima-Salles (Org.), *Bilinguismo dos surdos: Questões linguísticas e educacionais* (pp. 49-72). Goiânia, GO: Cânone Editorial.

Quigley, S. P.; Kretschmer, R. E. (1982). *The education of deaf children: Issues, theory and practice*. Baltimore, MD: University Park Press.

Rahaman, M. A.; Jasim, M.; Ali, M. H.; Hasanuzzaman, M. (2014). Real-time computer vision-based Bengali Sign Language recognition. *Proceedings of the 2014 17ª Conferência Internacional sobre Informática e Tecnologia da Informação (ICCIT) 22*-23, 192-197.

Raphael, W. D.; Luz, R. D.; Capovilla, F. C. (2002). Recurso para intervenção neuropsicológica com surdos: Enciclopédia da Língua de Sinais Brasileira (Libras) em 17 volumes semânticos. Em E. C. Macedo; M. J. Gonçalves; F. C. Capovilla; A. L. Sennyey (Orgs.), *Tecnologia em (re)habilitação cognitiva: Um novo olhar para avaliação e intervenção*. (3ª. ed., pp. 208-216). São Paulo, SP: Sociedade Brasileira de Neuropsicologia, Edunisc.

Rathmann, C.; Mathur, G. (2002). Is verb agreement the same crossmodally? In: R.P. Meier; K. Cormier; D. Quinto-Pozos (Eds.), *Modality and Structure in Signed and Spoken Languages* (pp. 370-404). Cambridge, UK: Cambridge University Press.

Rescorla, L. (1989). The Language Development Survey: A screening tool for delayed language in toddlers. *Journal of Speech and Hearing Disorders*, *54*(4), 587-599.

Resnick, T.; Allen, D. A.; Rapin, I. (1984). Disorders of language development: Diagnosis and intervention. *Pediatrics in Review*, *6*(3), 85-92.

Sá, N. R. L. (2002). *Cultura, poder e educação de surdos*. Manaus, AM: Editora da Universidade Federal do Amazonas. (300p).

Sá, N. R. L. (2011). (Org.), *Surdos: qual escola*? Manaus, AM: Editora da Universidade Federal do Amazonas.

Sallandre, M. A. (2010). *Acquisition d'une langue des signes comme langue première.* Amsterdan, North Holland: John Benjamins Publishing Company, 158.

Salles, H. (2003). *Ensino de língua portuguesa para surdos: Caminhos para a prática pedagógica*. Brasília, DF: Ministério da Educação, Secretaria de Educação Especial.

Sandefur, R. (2005). The dilemma of deaf-blind interpreting. *Views*, *22*(11), 20-21.

Sandler, W.; Lillo-Martin, D. (2006). *Sign Language and Linguistic Universals*. Cambridge, England: Cambridge University Press, 547.

Santiago, V. A. A. (2009). Material didático do curso de pós-graduação *lato sensu* em Libras: tradução interpretação e ensino de Libras. São Paulo, SP: Faculdade de Agudos, Agudos-SP. Disponível em: http://librasesaude.blogspot.com.

Santos, D. V. (2002). *Estudos de línguas de sinais: Um contexto para a análise da Língua Brasileira de Sinais (Libras).* Tese de Doutorado, Universidade Federal do Rio de Janeiro, Rio de Janeiro, RJ.

Santos, M. T. M.; Navas, A. L. P. (2002). (Orgs.), *Distúrbios de leitura e escrita: Teoria e prática*. São Paulo, SP: Manole.

Savin, H. (1963). Word-frequency effect and errors in the perception of speech. *Journal of Acoustical Society of America*, *35*, 200-206.

Schembri, A. (2003). Rethinking ‘‘classifiers’’ in signed langauges. In: K. Emmorey (Ed.), *Perspectives on classifier constructions in sign languages* (pp. 3-34). Mahwah, NJ: Lawrence Erlbaum Associates.

Schembri, A.; Fenlon, J.; Rentelis, R.; Cormier, K. (2011). *British Sign Language corpus project: A corpus of digital video data of British Sign Language 2008-2010*. London, London, UK: University College.

Schembri, A.; Fenlon, J.; Rentelis, R.; Reynolds, S.; Cormier, K. (2013). Building the British Sign Language *corpus*. *Language Documentation and Conservation*, *7*, 136-154.

Schembri, A.; McKee, D.; McKee, R.; Pivac, S.; Johnston, T.; Goswell, D. (2009). Phonological variation and change in Australian and New Zealand Sign Languages: The location variable. *Language Variation and Change*, *21*, 193-231.

Selfridge, O. G. (1959). Pandemonium: A paradigm for learning. In D. V. Blake & A. M. Uttley (Efs.), *Proceedings of the Symposium on Mechanisation of Thought Processes*, pages 511–529, London.

Senghas, A.; Coppola, M. (2011). Getting to the point: how a simple gesture became a linguistic element in Nicaraguan Signing. In: Napoli, D.J.; Mathur, G. (Eds.), *Deaf around the world: The impact of language* (pp. 127-143). Oxford, MI: Oxford University Press.

Sennyey, A. L.; Capovilla, F. C.; Montiel, J. M. (2008). (Orgs.), *Transtornos de aprendizagem: da avaliação à reabilitação*. São Paulo, SP: Artes Médicas (ISBN: 978-84-367-0082-3).

Sentidos (2002a). Racional: Lei 323/01 oficializa Libras no município de São Paulo, uma vitória da comunidade surda. Disponível em: *http://www.sentidos.com.br/canais/racional.asp?codpag= 1529&codtipo=&subcat=58&canal=racional*. Consultado em 19 de junho de 2002.

Sentidos (2002b). Racional: Libras Disponível em: *http://www.sentidos.com.br/canais/racional.asp?codpag= 1203&codtipo=&subcat=60&canal=racional*. Consultado em 19 de junho de 2002.

Silva, M. P. M. (2001). *A construção de sentidos na escrita do aluno surdo*. São Paulo, SP: Plexus.

Smith, M. K. (1941). Measurement of the size of general English vocabulary through the elementary grades and high school. *Genetic Psychological Monograph*, *24*, 311-345.

Snow, C. E.; Burns, M. S.; Griffin, P. (1998). *Preventing reading difficulties in young children*. Washington, DC: National Academy Press.

Stahl, S. A.; Fairbanks, M. M. (1986). The effects of vocabulary instruction: A model-

based meta-analysis. *Review of Educational Research*, *56*(1), 72-110.

Stanovich, K. E. (1988). Explaining the differences between the dyslexic and the garden-variety poor reader: The phonological-core variable-difference model. *Journal of Learning Disabilities*, *21*(10), 590-604.

Stanovich, K. E. (1991). Discrepancy definitions of reading disability: Has intelligence led us astray? *Reading Research Quarterly*, *26*(1), 7-29.

Stanovich, K. E. (1993). Does reading make you smarter? Literacy and the development of verbal intelligence. In H. Reese (Ed.), *Advances in child development and behavior*, *24* (pp. 133-180). San Diego, CA: Academic Press.

Starner, T.; Pentland, A. (1995). Real-time American Sign Language recognition from video using hidden Markov Models. *AAAI Technical Report TR-375*, 96-05.

Starner, T.; Pentland, A. (1998). Real-time American sign language recognition using desk and wearable computer based vídeo. *IEEE Transactions on Pattern Analysis and Machine Intelligence*, *20* (12), 1371-1375.

Sternberg, R. J. (1985). *Beyond I.Q.: A triarchic theory of human intelligence*. Cambridge, MA: Cambridge University Press.

Sternberg, R. J.; Grigorenko, E. L. (2003). *Crianças rotuladas: O que é necessário saber sobre as dificuldades de aprendizagem*. Porto Alegre, RS: Artes Médicas.

Stokoe, W. (2001). Deafness, cognition, and language. In M. D. Clark; M. Marschark; M. Karchmer (Eds.), *Context, cognition, and deafness* (pp. 6-13). Washington, DC: Gallaudet University Press.

Stokoe, W. C. (1960). Sign language structure*. Studies in Linguistics*, Occasional Papers 8. Department of Anthropology and Linguistics. New York, NY: University of Buffalo.

Stokoe, W. C. (2005). Sign language structure: An outline of the visual communication systems of the American deaf. *Journal of Deaf Studies and Deaf Education*, *10* (1), 3-37.

Stokoe, W. C.; Casterline, D.; Croneberg, C. (1965). *A Dictionary of American Sign Language.* Washington, DC: Gallaudet College Press.

Studdert-Kennedy, M. (1986). Sources of variabiity in early speech development. In J. S. Perkell; D. H. Klatt (Eds.), *Invariance and variability in speech processes*. Hillsdale, NJ: Erlbaum.

Studdert-Kennedy, M.; Lane, H. (1980). Clues from the differences between signed and spoken language. In U. Bellugi M. Studdert-Kennedy (Eds.), *Signed and spoken language: Biological constraints on linguistic form* (pp. 29-39). Weinham and Deerfield Beach, FL: Verlag Chemie.

Su, M.-C. (2000). A fuzzy rule-based approach to spatio-temporal hand gesture recognition *IEEE Transactions on Systems, Man, and Cybernetics*. Part C: Applications and Reviews, *30* (2) (2000), 276-281.

Supalla, T. (1982). *Structure and acquisition of verbs of motion and location in American Sign Language*. Ph.D. dissertation, Psychology Department, University of California, San Diego.

Supalla, T. (1985). The classifier system in ASL. In C. Craig (Ed.), *Noun classification and categorization*. Philadelphia, PA: Benjamin North America.

Sutton, V. (2011a). *SignWriting web site*. La Jolla, CA: Deaf Action Committee for *SignWriting*. Disponível em: http://www.SignWriting.org.

Sutton, V. (2011b). *SignWriting in Brazil*. La Jolla, CA: Deaf Action Committee for *SignWriting*. Disponível em: http://www.signwriting.org/brazil/NovoDeitLibras.html).

Sutton-Spence, R. (1994). *The role of the manual alphabet and fingerspelling in British Sign Language*. PhD thesis, University of Bristol, Bristol, UK.

Sutton-Spence, R.; Woll, B.; Allsop, L. (1990). Variation and recent change in fingerspelling in British Sign Language. *Language Variation and Change*, *2*, 313-330.

Tallal, P. (1988). Developmental language disorders. In J. F. Kavanagh; T. J. Truss Jr. (Eds.), *Learning disabilities: Proceedings of the National Conference*. Parkton, MD: York Press.

Tamura, S.; Kawasaki, S. (1988). Recognition of sign language motion images. *Pattern Recognition*, *21* (4), 343-353.

Tanibata, N.; Shimada, N.; Shirai, Y. (2002). Extraction of hand features for recognition of sign language words. In *Proceedings of the International Conference on Vision Interface*, 391-398.

Temoteo, J. G. (2008). *Diversidade linguístico-cultural da língua de sinais do Ceará: um estudo lexicológico das variações da Libras usada na comunidade de surdos do Sítio Caiçara*. Dissertação de Mestrado, Universidade Federal da Paraíba, CHLA, João Pessoa, PB.

Thompson, R .L.; Emmorey, K.; Kluender, R. (2009). Learning to look: The acquisition of eye gaze agreement during the production of ASL verbs. *Bilingualism: Language and Cognition*, *12* (4), 393-409.

Thompson, R. L.; Emmorey, K.; Gollan, T. (2005). Tip-of-the-fingers experiences by ASL signers: Insights into the organization of a sign-based lexicon. *Psychological Science*, *16* (11), 856-860.

Thompson, R. L.; Emmorey, K.; Kluender, R. (2006). The relationship of eye gaze and agreement morphology in ASL: An eye-tracking study. *Natural Language & Linguistic Theory*, *24*, 571-604.

Thompson, R. L.; Emmorey, K.; Kluender, R.; Langdon, C. (2013). The eyes don't point: Understanding language universals through person marking in American Signed Language. *Lingua*, *137*, December, 219-229. doi:10.1016/j.lingua.2013.10.002. Disponível em: http://www.sciencedirect.com/science/article/pii/S0024384113002192, consultado em 01/01/2016.

Thompson, R. L.; Vinson, D.P.; Vigliocco, G. (2010). The link between form and meaning in British Sign Language: Effects of iconicity for phonological decisions. *Journal of Experimental Psychology: Learning, Memory, and Cognition*, *36*, 1017-1027.

Thompson, R.; Vinson, D.; Woll, B.; Vigliocco, G. (2012). The road to language learning is iconic: Evidence from British Sign Language. *Psychological Science*, *23*, 1443-1448.

Todd, P. (2009). Does ASL really have just two grammatical persons? *Sign Language Studies*, *9* (2), 166-210.

Trezek, B.; Malmgreen, K. (2005). The efficacy of utilizing a phonics treatment package with middle school deaf and hard of hearing students. *Journal of Deaf Studies and Deaf Education*, *10*(3), 256-271.

Trezek, B.; Wang, Y. (2006). Implications of utilizing a phonics-based reading curriculum with children who are deaf and hard of hearing students. *Journal of Deaf Studies and Deaf Education*, *11*(2), 203-213.

Trezek, B.; Wang, Y.; Woods, D.; Gampp, T. L.; Paul, P. V. (2007). Using visual phonics to supplement beginning reading instructions for students who are deaf and hard of hearing students. *Journal of Deaf Studies and Deaf Education*, *12*(3), 373-384.

Trueswell, J.C. (1996). The role of lexical frequency in syntactic ambiguity resolution. *Journal of Memory and Language*, *35*, 566-585.

Tulving, E. (1995). Introduction. In M. S. Caramazza (Ed.), *The cognitive neurosciences* (pp. 751-754). Cambridge, MA: MIT Press.

Vamplew, P.; Adams, A. (2007). Recognition of sign language gestures using neural networks. *Neuropsychological Trends 1*, 31-41.

Vianna, A. C. (2003). *Aquisição de Português por surdos: estruturas de posse*. Dissertação de Mestrado, Universidade de Brasília, Brasília, DF.

Vinson, D. P.; Cormier, K.; Denmark, T.; Schembri, A.; Vigliocco, G. (2008). The British Sign Language (LSB) norms for age of acquisition, familiarity and iconicity. *Behavior Research Methods*, *40*, 1079-1087.

Vogler, C. (2003). American sign language recognition: reducing the complexity of the task with phoneme-based modeling and parallel hidden markov models. Ph.D. thesis, University of Pennsylvania, Philadelphia, PE.

Walley, A. C. (1993). The role of vocabulary development in children's spoken word recognition and segmentation ability. *Developmental Review*, *13*(3), 286-350.

Wang, J.; Athitsos, V.; Sclaroff, S.; Betke, M. (2008). Detecting objects of variable shape structure with hidden state shape models. *IEEE Transactions on Pattern Analysis and Machine Intelligence, 30* (3), 477-492.

White, A.; Tischler, S. (1999). Receptive sign vocabulary tests: Tests of single-word vocabulary or iconicity? *American Annals of the Deaf*, *144*(4), 334-338.

Wilbur, R.; Klima, E. S.; Bellugi, U. (1983). Roots: The search for origins of signs in ASL. In J. Richardson; M. Marks; A. Chukerman (Eds.), *The parasession on the interplay of phonology, morphology and syntax* (pp. 314-336). Chicago, IL: Chicago Linguistics Society.

Wilbur, R.B. (1987). *American Sign Language: Linguistic and Applied Dimensions* (2ª. ed.) Boston, MA, Little Brown.

Wilbur, R.B.; Martinez, A.M. (2002). Physical Correlates of Prosodic Structure. In *American Sign Language*, *38*, Chicago Linguistic Society.

Wilcox, P. (2002). *Metaphor in American Sign Language*. Washington, DC: Gallaudet University Press.

Yang, M.; Ahuja, N.; Tabb, M. (2002). Extraction of 2D motion trajectories and its application to hand gesture recognition. *IEEE Transactions on Pattern Analysis Machine Intelligence*, *24* (8), 1061-1074.

Yang, R.; Sarkar, S.; Loeding, B. (2007) Enhanced level building algorithm for the movement epenthesis problem in sign language recognition. In *Proceedings of the IEEE Conference on Computer Vision and Pattern Recognition.* Minneapolis, MN, 17-22 June 2007 (pp. 1-8), doi: 10.1109/CVPR.2007.383347. Disponível em: http://ieeexplore.ieee.org/xpl/articleDetails.jsp?arnumber=4270345&queryText=Enhanced%20level%20building%20algorithm%20for%20the%20movement%20epenthesis%20problem%20in%20sign%20language%20recognition&newsearch=true

Ye, J.; Yao, H.; Jiang, F. (2004). Based on HMM and SVM multilayer architecture classifier for chinese sign language recognition with large vocabular. In *Proceedings of the IEEE International Conference on Image and Graphicsa,* Hong Kong, China, 18-20 Dec. 2004, (pp. 377-380). doi:10.1109/ICIG.2004.44.

Zbakha, M.; Haddada, Z; Lopez-Krahea, J. (2014). Toward a reversed dictionary of French Sign Language (FSL) on the Web. *14th International Conference on Computers Helping People with Special Needs (ICCHP 2014)*, 423-430. Disponível em: http://www2.univ-paris8.fr/ingenierie-cognition/master-handi/etudiant/projets/site_lsf/dico_lsf/recherche.php (acessado em 25.09.15).

Zbakh, M.; Haddada, Z; Lopez-Krahea, J. (2015). An online reversed French Sign Language dictionary based on a learning approach for signs classification. *Pattern Recognition Letters*, *67*(1), December, 28-38. doi:10.1016/j.patrec.2015.07.041. Disponível em :

http://www.sciencedirect.com/science/article/pii/S0167865515002639, consultado em 01/01/2016.

Zbakh, M.; Haddada, Z; Lopez-Krahea, J. (2015*). Dico LSF* http://www2.univ-paris8.fr/ingenierie-cognition/master-handi/di/index.php consultado em 30/07/2018.

Zeshan, U. (2004). Interrogative constructions in signed languages: Crosslinguistic perspectives. *Language*, *80*, 7-39.

Zhu, M.; Martinez, A.M. (2008), Pruning noisy bases in discriminant analysis**.** *IEEE Transactions on Neural Networks*, *19* (1), 148-157.

Anexos

11.1 Anexo 1. Características técnicas do sistema de busca *BuscaSigno 1 e 2*

O Sistema computadorizado de busca de sinais *BuscaSigno* (Capovilla, Duduchi, Raphael, Luz, Rozados, Capovilla, & Macedo, 2003; Capovilla, Duduchi, Raphael, Luz, Rozados, & Macedo, 2006; Capovilla & Raphael, 2001a, 2001b; Duduchi & Capovilla, 2006) é um software para ambiente Windows desenvolvido em um ambiente de desenvolvimento integrado como ferramenta de programação visual Delphi desenvolvida pela Borland International Inc. (Cantù, 2002) que possui uma linguagem de programação totalmente orientada a objeto denominada Object Pascal (Cantù, 2002).

Este ambiente de desenvolvimento visual permitiu que parte do trabalho de criação do sistema fosse feito de forma automatizada sem a necessidade de criar manualmente todas as telas de interface com o usuário. Diversos componentes pré-definidos no Delphi foram utilizados como, por exemplo, as pastas, botões e caixas de texto.

O fato de o ambiente Delphi utilizar uma linguagem totalmente orientada a objetos permitiu fazer uso desta técnica de programação para a criação de novos componentes, o que facilitou o trabalho de programação do sistema e permitirá reaproveitar parte do código em aplicações futuras.

Outro fato importante é que Delphi permite criar aplicações por meio da compilação que gera código nativo, possibilitando ao sistema criado ser executado independentemente de bibliotecas on-line, o que proporciona um significativo aumento de velocidade de execução do programa.

Para armazenar todo o conjunto de dados do sistema foi utilizado o núcleo de acesso à base de dados interno de Delphi denominado Borland Database Engine (BDE). Com ele foi possível criar e gerenciar por meio de um banco de dados todas as informações do *BuscaSigno* por meio de um conjunto de tabelas.

A tabela principal que compõe o banco de dados do sistema é responsável pelo armazenamento dos sinais. Nesta tabela, para cada sinal armazenado, temos:

O nome do sinal;
A codificação sublexical do sinal, numa sequência alfanumérica de *SematosEmas-SignumÍculos* e seus níveis;
O nome do diretório onde se encontra o arquivo que contém a ilustração do significado do sinal;
O nome do arquivo que contém a ilustração do significado do sinal;
A ilustração do significado do sinal;
O nome do diretório onde se encontra o arquivo que contém a ilustração da forma do sinal;
O nome do arquivo que contém a ilustração da forma do sinal;
A ilustração da forma do sinal;
A descrição do sinal;
A indicação se o sinal foi selecionado ou não;

Dependendo do modo como o sistema é instalado, a tabela principal pode manter-se em CD ou ser copiada para o diretório destinado a armazenar os dados do sistema em disco rígido. A alimentação desta tabela é feita por meio do sistema de indexação sublexical já descrito.

Como a tabela principal armazena todos os componentes gráficos dos sinais do software e toda a descrição e codificação dos sinais, seu grande tamanho inviabiliza a sua utilização direta no processo de recuperação de sinais por meio de codificação alfanumérica de *SematosEmas-SignumÍculos* e seus níveis. Sendo assim, foi necessário construir uma outra tabela responsável pelo auxílio ao algoritmo de

recuperação de sinais Os campos desta outra tabela estão diretamente relacionados à recuperação dos sinais e ao algoritmo que realiza esta tarefa. No processo de instalação, esta tabela é colocada no diretório destinado a armazenar os dados do sistema em disco rígido em conjunto com outra tabela que armazena temporariamente os componentes sublexicais dos sinais escolhidos para a tarefa de recuperação, quando esta for solicitada, de forma a conseguir uma velocidade satisfatória no processo principal de seleção dos sinais.

Na versão em que os componentes sublexicais dos sinais são selecionados por meio de uma interface gráfica, foi preciso usar uma terceira tabela que armazena estes componentes gráficos e suas descrições. Esta tabela permite também organizar as diversas categorias em que os componentes sublexicais dos sinais são apresentados.

O principal algoritmo interno do sistema *BuscaSigno* é aquele que permite recuperar os sinais a partir da seleção de seus componentes sublexicais. A codificação deste algoritmo em Object Pascal é descrita a seguir. Nessa codificação, *table3* equivale a tabela auxiliar criada com os componentes sublexicais dos sinais selecionados, *table2* é a tabela auxiliar armazenada em disco rígido que possui a codificação dos componentes sublexicais que compõe cada sinal em disco, *query1* é uma seleção de campos da tabela principal feita por meio de um comando na linguagem SQL disponível, e *label6* é o rótulo que aparece na parte superior esquerda da pasta de sinais recuperados no sistema.

```
procedure TForm1.Button2Click(Sender: TObject);
var i,k,cttokens:integer;
  aceita:boolean;
   strproc:String[6];
   tokens: array [1..50] of string[6];
begin
 Screen.Cursor := crHourglass;
 TabbedNotebook1.ActivePage := 'Sinais';
 TabbedNotebook1.Refresh;
 dbgrid1.setfocus;
 Label6.caption:='preparando... ';
 Label6.refresh;
 cttokens:=0;
 table3.first;
 while (not table3.EOF) and (cttokens <= 50) do
 begin
  cttokens:=cttokens+1;
  tokens[cttokens]:=table3.fieldbyname('token').AsString;
  table3.next;
 end;
 if not table3.EOF then
 begin
  showmessage('Qtd. de itens > 50. Elimine itens e tente novamente.');
 end
 else
 begin
  Query1.Close;
  Label6.caption:='processando... ';
  Label6.refresh;
  table2.first;
  while not table2.EOF do
```

```
  begin
   aceita:=true;
   i:=1;
   while (i <= cttokens) and (aceita) do
   begin
    strproc:=tokens[i]+' ';
    aceita:=(pos(strproc,table2.FieldByName('codif').AsString)<>0);
    i:=i+1;
   end;
   table2.edit;
   if aceita then
   begin
    table2.FieldByName('sel').AsString:='s';
   end
   else
    table2.FieldByName('sel').AsString:='n';
   table2.next;
  end;
  Label6.caption:='selecionando...';
  Label6.refresh;
  Query1.ExecSQL;
  Label6.caption:='abrindo...   ';
  Label6.refresh;
  Query1.open;
  Label6.caption:='contando...  ';
  Label6.refresh;
  Label6.caption:=inttostr(Query1.recordcount);
 end;
 Screen.Cursor := crDefault;
end;
```

O algoritmo foi testado diversas vezes, sendo que em todas elas a velocidade de busca se mostrou satisfatória permitindo realizar a recuperação lexical de sinais com a especificação de até 50 unidades sublexicais (*SematosEmas-SignumÍculos*). Nesses testes de simulação, as buscas continuaram bem sucedidas mesmo após a expansão do léxico para 13.500 sinais.

11.2. Anexo 2. Parâmetros e *SematosEmas-SignumÍculos* dos sinais de Libras empregados em *BuscaSigno 3*

Esta seção expande o modelo inaugurado em Capovilla e Raphael (2001a, 2001b).

Lista 1. *SematosEmas-SignumÍculos* referentes ao parâmetro Mãos.

Parâmetro: 1: Mãos
***SematosEmas-SignumÍculos*: 1.1: Articulação da(s) Mão(s)**

1.1.1. AMD: Articulação da Mão Direita
AMD1: mão direita em **1**
AMD2: mão direita em **2**
AMD3: mão direita em **3**
AMD4: mão direita em **4**
AMD5: mão direita em **5**
AMD6: mão direita em **6**
AMD7: mão direita em **7**
AMD8: mão direita em **8**
AMD9: mão direita em **9**
AMD10: mão direita em **A**
AMD11: mão direita em **B**
AMD12: mão direita em **C**
AMD13: mão direita em **D**
AMD14: mão direita em **E**
AMD15: mão direita em **F**
AMD16: mão direita em **G**
AMD17: mão direita em **H**
AMD18: mão direita em **I**
AMD19: mão direita em **J**
AMD20: mão direita em **K**
AMD21: mão direita em **L**
AMD22: mão direita em **M**
AMD23: mão direita em **N**
AMD24: mão direita em **O**
AMD25: mão direita em **P**
AMD26: mão direita em **Q**
AMD27: mão direita em **R**
AMD28: mão direita em **S**
AMD29: mão direita em **T**
AMD30: mão direita em **U**
AMD31: mão direita em **V**
AMD32: mão direita em **W**
AMD33: mão direita em **X**
AMD34: mão direita em **Y**
AMD35: mão direita em **Z**
AMD36: mão direita aberta
AMD37: mão direita curvada
AMD38: mão direita fechada com polegar distendido
AMD39: mão direita aberta com dedos separados e curvados
AMD40: mão direita em **Ç**
AMD41: mão direita com pontas dos dedos unidas

AMD42: mão direita aberta com dedos flexionados e polegar distendido
AMD43: mão direita aberta com dedos flexionados e polegar paralelo
AMD44: mão direita fechada com indicador e polegar distendidos e paralelos
AMD45: mão direita aberta com dedos soltos
AMD46: mão direita aberta com dedos polegar e indicador unidas
AMD47: mão direita fechada com dedos polegar e indicador separados e curvados
AMD48: mão direita fechada com dedos polegar e indicador distendidos unidos pelas pontas
AMD49: mão direita aberta com dedos polegar e médio unidos pelas pontas
AMD50: mão direita fechada com dedos indicador e mínimo distendidos
AMD51: mão direita fechada com dedos indicador distendido e polegar e médio unidos pelas pontas
AMD52: mão direita aberta com dedos polegar e indicador paralelos
AMD53: mão direita fechada com polegar distendido e indicador e médio entrelaçados
AMD54: mão direita fechada com dedos polegar e indicador distendidos
AMD55: mão direita fechada com dedos polegar, indicador e médio distendidos
AMD56: mão direita fechada em I com polegar distendido na lateral
AMD57: mão fechada com indicador destacado
AMD58: mão em **1** com indicador dobrado
AMD59: mão aberta com polegar e anelar distendidos e tocando-se pelas pontas
AMD60: mão fechada com dedos indicador e mínimo distendidos e polegar, médio e anelar distendidos, tocando-se pelas pontas
AMD61: mão fechada com dedos polegar, indicador e mínimo distendidos.
AMD62: mão aberta com dedo médio curvado
AMD63: mão fechada com dedos polegar, indicador e médio distendidos e unidos.
AMD64: mão em **O** com dedo mínimo distendido
AMD65: mão fechada com dedos distendidos com ponta do dedo médio tocando unha do dedo indicador

1.1.2: AME: Articulação da Mão Esquerda
AME1: mão esquerda em **1**
AME2: mão esquerda em **2**
AME3: mão esquerda em **3**
AME4: mão esquerda em **4**
AME5: mão esquerda em **5**
AME6: mão esquerda em **6**
AME7: mão esquerda em **7**
AME8: mão esquerda em **8**
AME9: mão esquerda em **9**
AME10: mão esquerda em **A**
AME11: mão esquerda em **B**
AME12: mão esquerda em **C**
AME13: mão esquerda em **D**
AME14: mão esquerda em **E**
AME15: mão esquerda em **F**
AME16: mão esquerda em **G**
AME17: mão esquerda em **H**
AME18: mão esquerda em **I**
AME19: mão esquerda em **J**
AME20: mão esquerda em **K**
AME21: mão esquerda em **L**
AME22: mão esquerda em **M**

AME23: mão esquerda em **N**
AME24: mão esquerda em **O**
AME25: mão esquerda em **P**
AME26: mão esquerda em **Q**
AME27: mão esquerda em **R**
AME28: mão esquerda em **S**
AME29: mão esquerda em **T**
AME30: mão esquerda em **U**
AME31: mão esquerda em **V**
AME32: mão esquerda em **W**
AME33: mão esquerda em **X**
AME34: mão esquerda em **Y**
AME35: mão esquerda em **Z**
AME36: mão esquerda aberta
AME37: mão esquerda curvada
AME38: mão esquerda fechada com polegar distendido
AME39: mão esquerda aberta com dedos separados e curvados
AME40: mão esquerda em **Ç**
AME41: mão esquerda com pontas dos dedos unidas
AME42: mão esquerda aberta com dedos flexionados e polegar distendido
AME43: mão esquerda aberta com dedos flexionados e polegar paralelo
AME44: mão esquerda fechada com indicador e polegar distendidos e paralelos
AME45: mão esquerda aberta com dedos soltos
AME46: mão esquerda aberta com dedos polegar e indicador unidas
AME47: mão esquerda fechada com dedos polegar e indicador separados e curvados
AME48: mão esquerda fechada com dedos polegar e indicador distendidos unidos pelas pontas
AME49: mão esquerda aberta com dedos polegar e médio unidos pelas pontas
AME50: mão esquerda fechada com dedos indicador e mínimo distendidos
AME51: mão esquerda fechada com dedos indicador distendido e polegar e médio unidos pelas pontas
AME52: mão esquerda aberta com dedos polegar e indicador paralelos
AME53: mão esquerda fechada com polegar distendido e indicador e médio entrelaçados
AME54: mão esquerda fechada com dedos polegar e indicador distendidos
AME55: mão esquerda fechada com dedos polegar, indicador e médio distendidos
AME56: mão esquerda fechada em I com polegar distendido na lateral
AMD57: mão fechada com indicador destacado
AME58: mão em **1** com indicador dobrado
AME59: mão aberta com polegar e anelar distendidos e tocando-se pelas pontas
AME60: mão fechada com dedos indicador e mínimo distendidos e polegar, médio e anelar distendidos, tocando-se pelas pontas
AME61: mão fechada com dedos polegar, indicador e mínimo distendidos.
AME62: mão aberta com dedo médio curvado
AME63: mão fechada com dedos polegar, indicador e médio distendidos e unidos.
AME64: mão em **O** com dedo mínimo distendido
AME65: mão fechada com dedos distendidos com ponta do dedo médio tocando unha do dedo indicador

***SematosEma-SignumÍculo*: 1.2: Orientação da(s) Palma(s)**
1.2.1: OPD: Orientação da Palma Direita
OPD1: palma para baixo

OPD2: palma para cima
OPD3: palma para frente
OPD4: palma para trás
OPD5: palma para esquerda
OPD6: palma para direita
OPD7: palma inclinada

1.2.2: OPE: Orientação da Palma Esquerda
OPE1: palma para baixo
OPE2: palma para cima
OPE3: palma para frente
OPE4: palma para trás
OPE5: palma para esquerda
OPE6: palma para direita
OPE7: palma inclinada

***SematosEma-SignumÍculo*: 1.3: Orientação da(s) Mão(s)**
1.3.1: OMD: Orientação da Mão Direita
OMD1: mão direita aponta para direita
OMD2: mão direita aponta para esquerda
OMD3: mão direita aponta para frente
OMD4: mão direita aponta para trás
OMD5: mão direita aponta para cima
OMD6: mão direita aponta para baixo

1.3.2: OME: Orientação da Mão Esquerda
OME1: mão esquerda aponta para direita
OME2: mão esquerda aponta para esquerda
OME3: mão esquerda aponta para frente
OME4: mão esquerda aponta para trás
OME5: mão esquerda aponta para cima
OME6: mão esquerda aponta para baixo
***SematosEma-SignumÍculo*: 1.4: Relação entre Mãos**
RM1: mão direita sobre mão esquerda
RM2: mão esquerda sobre mão direita
RM3: mão direita à frente da mão esquerda
RM4: mão esquerda à frente da mão direita
RM5: mãos lado a lado
RM6: mãos cruzadas pelos dedos
RM7: mãos tocando palma(s)
RM8: mãos tocando dorso(s)
RM9: mãos tocando pulso(s)
RM10: mãos tocando dedo(s)
RM11: mãos cruzadas pelos pulsos
RM12: mãos tocando pulso e dedo
RM13: mãos entrelaçadas pelos dedos
RM14: mãos tocando laterais das mãos ou dedos
RM15: mãos tocando pontas dos dedos
RM16: mãos tocando entre dedos
RM17: mãos enganchadas pelos dedos
RM18: mãos tocando dorso e palma
RM19: mãos tocando unha
RM20: mãos tocando base da mão ou do dedo

RM21: mãos entrelaçadas dentro do C, dentro de O
RM22: mãos próximas
RM23: mãos afastadas
RM24: mãos unidas
RM25: mãos cruzadas pelos braços
RM26: palma a palma
RM27: segurando parte da outra mão entre os dedos

Lista 2. *SematosEmas-SignumÍculos* referentes ao parâmetro Dedos.
Parâmetro: 2: Dedos

***SematosEma-SignumÍculo*: 2.1: Que Dedos**

2.1.1: QDD: Que Dedo(s) Direito(s)
QDD1: polegar
QDD2: indicador
QDD3: médio
QDD4: anular
QDD5: mínimo
QDD6: polegar e indicador
QDD7: polegar e médio
QDD8: polegar, indicador e médio
QDD9: polegar, médio e anular
QDD10: polegar, indicador e mínimo
QDD11: indicador e mínimo
QDD12: indicador e médio

2.1.2: QDE: Que Dedo(s) Esquerdo(s)
QDE1: polegar
QDE2: indicador
QDE3: médio
QDE4: anular
QDE5: mínimo
QDE6: polegar e indicador
QDE7: polegar e médio
QDE8: polegar, indicador e médio
QDE9: polegar, médio e anular
QDE10: polegar, indicador e mínimo
QDE11: indicador e mínimo
QDE12: indicador e médio

***SematosEma-SignumÍculo*: 2.2: Articulação dos Dedos**

2.2.1: ADD: Articulação do(s) Dedo(s) Direito(s)
ADD1: dedo(s) direito(s) esticado(s), distendido(s)
ADD2: dedo(s) direito(s) curvado(s), flexionado(s), destacado(s)
ADD3: dedo(s) direito(s) unidos, distendidos e unidos
ADD4: dedo(s) direito(s) separados
ADD5: dedo(s) direito(s) com pontas unidas

2.2.2: ADE: Articulação do(s) Dedo(s) Esquerdo(s)
ADE1: dedo(s) esquerdos(s) esticado(s), distendido(s)
ADE2: dedo(s) esquerdos(s) curvado(s), flexionado(s), destacado(s)

ADE3: dedo(s) esquerdos(s) unidos, distendidos e unidos
ADE4: dedo(s) esquerdos(s) separados
ADE5: dedo(s) esquerdos(s) com pontas unidas

Lista 3. *SematosEmas-SignumÍculos* referentes ao parâmetro Local de articulação.

Parâmetro: 3: Local da Articulação
***SematosEma-SignumÍculo*: 3.1: Cabeça e Proximidade**
3.1.1: CP: Cabeça e Proximidade
CP1: acima da cabeça
CP2: tocando cabeça
CP3: cabeça, na altura da cabeça
CP4: laterais da cabeça, tocando laterais
CP5: lateral(is) do rosto
CP6: diante do rosto (face)
CP7: pescoço
CP8: tocando a(s) lateral(is) do pescoço
CP9: tocando nuca

***SematosEma-SignumÍculo*: 3.2: Rosto e Face**
3.2.1: RF: Rosto e Face
RF1: testa, tocando testa
RF2: tocando lateral(is) da testa, RF3: olho(s)
RF4: tocando abaixo ou canto do olho
RF5: orelha(s)
RF6: tocando orelha(s)
RF7: tocando nariz: (laterais ou ponta)
RF8: bochecha(s)
RF9: tocando bochecha(s)
RF10: boca
RF11: tocando boca
RF12: laterais da boca
RF13: tocando lábio(s)
RF14: lábio(s) (superior ou inferior)
RF15: tocando dente
RF16: tocando língua
RF17: tocando ponta da língua
RF18: queixo
RF19: tocando queixo
RF20: nariz
RF21: buço, tocando buço

***SematosEma-SignumÍculo*: 3.3: Tronco (Tórax e Abdome)**
3.3.1: TA: Tronco (Tórax e Abdome) *(*
TA1: lateral do corpo (esquerda ou direita)
TA2: à frente do corpo, distante do corpo
TA3: tocando costas
TA4: ombro(s)
TA5: tocando ombro(s), axilas
TA6: tocando peito
TA7: barriga
TA8: tocando barriga

TA9: cintura (esquerda ou direita)
TA10: abdome, na região pélvica
TA11: quadril(is), nádegas (esquerdo ou direito)

***SematosEma-SignumÍculo*: 3.4: Membros (Pernas e Braços)**
3.4.1: PB: Membros (Pernas e Braços)
PB1: braço
PB2: tocando antebraço
PB3: dobra do braço
PB4: parte interna do braço
PB5: tocando parte superior do braço
PB6: tocando cotovelo
PB7: coxa(s)(esquerda ou direita)
PB8: tocando joelho
PB9: braço dobrado vertical
PB10: braço dobrado horizontal
PB11: braço distendido vertical para baixo
PB12: braço distendido vertical para cima
PB13: braço distendido horizontal
PB14: braço inclinado
PB15: braço com cotovelo afastado do corpo
PB16: braço atrás da cabeça
Lista 4. *SematosEmas-SignumÍculos* referentes ao parâmetro Movimento

Parâmetro: 4: Movimento

***SematosEma-SignumÍculo*: 4.1: Movimento da(s) Mão(s)**

4.1.1: MMD: Movimento da Mão Direita
MMD1: balançar para cima e para baixo
MMD2: balançar para frente e para trás
MMD3: balançar para lados
MMD4: mover para direita
MMD5: mover para esquerda
MMD6: mover para frente
MMD7: mover para trás
MMD8: mover para cima
MMD9: mover para baixo
MMD10: mover para cima e para baixo (*vice-versa*)
MMD11: mover para frente e para trás (*vice-versa*)
MMD12: mover para lados
MMD13: mover para direita e frente
MMD14: mover para direita e trás
MMD15: mover para esquerda e frente
MMD16: mover para esquerda e trás
MMD17: mover para baixo e direita
MMD18: mover para baixo e esquerda
MMD19: mover para baixo e frente
MMD20: mover para baixo e trás
MMD21: mover para cima e frente
MMD22: mover para cima e direita
MMD23: mover para cima e esquerda
MMD24: mover para cima e trás

MMD25: círculo(s) para frente
MMD26: círculo(s) para trás
MMD27: círculo(s) para lados
MMD28: arco(s) para frente
MMD29: arco(s) para trás
MMD30: arco(s) para cima
MMD31: arco(s) para baixo
MMD32: arco(s) para lados
MMD33: abrir e fechar
MMD34: simular nó ou laço
MMD35: fazer quadrado ou retângulo
MMD36: fazer círculo
MMD37: fazer cruz
MMD38: girar pelo pulso
MMD39: dobrar pelo pulso
MMD40: bater palmas
MMD41: abrir mão
MMD42: fechar mão
MMD43: girar a mão ao redor de
MMD44: ir além de...
MMD45: aproximar
MMD46: afastar
MMD47: unir
MMD48: inclinar
MMD49: mover em sentido horário
MMD50: mover sentido anti-horário
MMD51: descruzar os braços ou as mãos
MMD52: esfregar
MMD53: tocar em várias partes do corpo ou lugares diferentes no espaço
MMD54: apontar para...
MMD55: bater na mão ou no braço

4.1.2: MME: Movimento da Mão Esquerda

MME1: balançar para cima e para baixo
MME2: balançar para frente e para trás
MME3: balançar para lados
MME4: mover para direita
MME5: mover para esquerda
MME6: mover para frente
MME7: mover para trás
MME8: mover para cima
MME9: mover para baixo
MME10: mover para cima e para baixo (*vice-versa*)
MME11: mover para frente e para trás (*vice-versa*)
MME12: mover para lados
MME13: mover para direita e frente
MME14: mover para direita e trás
MME15: mover para esquerda e frente
MME16: mover para esquerda e trás
MME17: mover para baixo e direita
MME18: mover para baixo e esquerda
MME19: mover para baixo e frente
MME20: mover para baixo e trás

MME21: mover para cima e frente
MME22: mover para cima e direita
MME23: mover para cima e esquerda
MME24: mover para cima e trás
MME25: círculo(s) para frente
MME26: círculo(s) para trás
MME27: círculo(s) para lados
MME28: arco(s) para frente
MME29: arco(s) para trás
MME30: arco(s) para cima
MME31: arco(s) para baixo
MME32: arco(s) para lados
MME33: abrir e fechar
MME34: simular nó ou laço
MME35: fazer quadrado ou retângulo
MME36: fazer círculo
MME37: fazer cruz
MME38: girar pelo pulso
MME39: dobrar pelo pulso
MME40: bater palmas
MME41: abrir mão
MME42: fechar mão
MME43: girar a mão ao redor de
MME44: ir além de...
MME45: aproximar
MME46: afastar
MME47: unir
MME48: inclinar
MME49: mover em sentido horário
MME50: mover sentido anti-horário
MME51: descruzar os braços ou as mãos
MME52: esfregar
MME53: tocar em várias partes do corpo ou lugares diferentes no espaço
MME54: apontar para...
MME55: bater na mão ou no braço

***SematosEma-SignumÍculo*: 4.2: Tipo de Movimento da(s) Mão(s)**

4.2.1: TMD: Tipo de Movimento da Mão Direita
TMD1: ondular
TMD2: espiralar
TMD3: tremular
TMD4: fazer movimento sinuoso
TMD5: fazer movimento em zigue-zague

Especificação: 4.2.2: TME: Tipo de Movimento da Mão Esquerda
TME1: ondular
TME2: espiralar
TME3: tremular
TME4: fazer movimento sinuoso
TME5: fazer movimento em zigue-zague

***SematosEma-SignumÍculo*: 4.3: Movimento do(s) Dedo(s)**

4.3.1: MDD: Movimento do(s) Dedo(s) Direito(s)
MDD1: oscilar
MDD2: balançar para cima e para baixo
MDD3: balançar para frente e para trás
MDD4: balançar para lados
MDD5: fechar
MDD6: abrir, distender
MDD7: curvar, flexionar
MDD8: unir pelas pontas
MDD9: aproximar e afastar, unir e separar
MDD10: estalar
MDD11: fechar um a um
MDD12: abrir um a um
MDD13: esfregar
MDD14: unir dedos
MDD15: separar dedos
MDD16: pinçar, segurar pelas pontas
MDD17: girar pelos dedos
MDD18: cruzar os dedos
MDD19: descruzar os dedos

4.3.2: MDE: Movimento do(s) Dedo(s) Esquerdo(s)
MDE1: oscilar
MDE2: balançar para cima e para baixo
MDE3: balançar para frente e para trás
MDE4: balançar para lados
MDE5: fechar
MDE6: abrir, distender
MDE7: curvar, flexionar
MDE8: unir pelas pontas
MDE9: aproximar e afastar, unir e separar
MDE10: estalar
MDE11: fechar um a um
MDE12: abrir um a um
MDE13: esfregar
MDE14: unir dedos
MDE15: separar dedos
MDE16: pinçar, segurar pelas pontas
MDE17: girar pelos dedos
MDE18: cruzar os dedos
MDE19: descruzar os dedos

***SematosEma-SignumÍculo*: 4.4: Frequência ou Intensidade do Movimento**
4.4.1: FI: Frequência ou Intensidade ou Amplitude do Movimento
FI1: alternado(s), alternadamente
FI2: com força
FI3: lenta, lentamente
FI4: rápida, rapidamente
FI5: repetir movimento, várias vezes
FI6: quase, sem completar totalmente
FI7: durante o movimento, simultaneamente

FI8: parando durante o movimento
FI9: ligeiramente
FI10: movimentos curtos

***SematosEma-SignumÍculo*: 4.5: Movimento do Corpo**
4.5.1: MC: Movimento do Corpo
MC1: baixar
MC2: inclinar para frente
MC3: inclinar para trás
MC4: inclinar para lados
MC5: inclinar para baixo
MC6: encolher ombros
MC7: balançar ombros
MC8: girar cabeça
MC9: inclinar cabeça para trás
MC10: inclinar cabeça para lado
MC11: flexionar (levantar a perna)
MC12: inclinar a cabeça para baixo
MC13: balançar a cabeça ou corpo
MC14: aproximar e afastar os cotovelos

Lista 5. *SematosEmas-SignumÍculos* referentes ao parâmetro Expressão Facial.

Parâmetro: 5: Expressão Facial

5.1: Sentimentos e Sen-sações Positivas

5.1.1: SSP: Sentimentos e Sensações Positivas
SSP1: sorridente, sorriso
SSP2: contente, contentamento
SSP3: alegre, alegria
SSP4: carinhoso, carinho
SSP5: amoroso, amor
SSP6: contemplativo, contemplação
SSP7: interessado, interesse
SSP8: desejoso, desejo
SSP9: tranquilo, tranquilidade
SSP10: aliviado, alívio
SSP11: admirado, admiração
SSP12: surpreso, surpresa (agradável)

5.2: Sentimentos e Sensações Negativas

5.2.1: SSN: Sentimentos e Sensações Negativas
SSN13: desconfortável, desconforto
SSN14: contraído, negativo
SSN15: aborrecido, aborrecimento
SSN16: tenso, tensão
SSN17: irritado, irritação
SSN18: indignado, indignação
SSN19: bravo, braveza
SSN20: raivoso, raiva
SSN21: com ódio

SSN22: apreensivo, apreensão
SSN23: aflito, angustiado, aflição, angústia
SSN24: desanimado, desânimo
SSN25: descontente, descontentamento
SSN26: triste, tristeza
SSN27: em dúvida, dúvida
SSN28: interrogativo, interrogação
SSN29: convicto, convicção
SSN30: distraído, distração
SSN31: displicente, displicência
SSN32: desdenhoso, desdém
SSN33: presunçoso, superioridade
SSN34: cansado, cansaço
SSN35: ofegante-exausto, exaustão
SSN36: bêbado-tonto, embriaguez- tontura
SSN37: nauseado, náusea
SSN38: sufocado, sufoco
SSN39: dolorido, dor
SSN40: surpreso-assustado, susto (desagradável)
SSN41: amedrontado, medo
SSN42: sério, seriedade
SSN43: enojado, nojo
SSN44: penalizado, pena
SSN45: arrependido, arrependimento
SSN46: malvado, maldade
SSN47: vergonha

***SematosEma-SignumÍculo*: 5.3: Estados e Movimentos da Face**
5.3.1: EMF: Estados e Movimentos da Face
EMF47: boca aberta
EMF48: boca semi-aberta
EMF49: lábios cerrados
EMF50: lábios protuberantes
EMF51: língua (ou ponta) para fora
EMF52: batendo língua entre lábios
EMF53: estalando lábios, beijar
EMF54: bochechas infladas
EMF55: bochechas sugadas
EMF56: bochecha distendida por ponta da língua
EMF57: dentes cerrados, mostrando dentes
EMF58: batendo dentes
EMF59: soltando ar, assoprar, expirar
EMF60: inspirando ar
EMF61: bocejando
EMF62: mexer boca abrindo e fechando, mastigar
EMF63: emitindo fala, barulho, som
EMF64: mordendo
EMF65: olhos arregalados
EMF66: olhos fechados
EMF67: olhos semi-abertos
EMF68: cabeça balançando negativamente
EMF69: sobrancelhas arqueadas
EMF70: testa franzida

EMF71: tossir
EMF72: olhar em direção à...
EMF73: boca com cantos rebaixados
EMF74: piscar os olhos
EMF75: cuspir
EMF76: mover o queixo para os lados

11.3. Anexo 3. Tabela de Taxonomia Descritiva das Línguas de Sinais

1: Mãos

Quadro 3.1. Termos baseados em morfemas gregos e latinos para mão protagonista *versus* antagonista.

Qual Mão (QM)	Grego	Latim
Mão Principal ou Protagonista ***versus*** **Mão Secundária ou Antagonista**	**Mão Principal ou Mão Protagonista**	
	ProtoQuiro πρώτος (*prótos*), πρώτο (*próto*): primeiro; χέρι (*queri*): mão.	***PrimusManus*** *primus*: primeiro, principal; *manus*: mão.
	Mão Secundária ou de apoio ou Mão Antagonista	
	AloQuiro άλλος (*álos*): outro; χέρι (*queri*): mão.	***AlterManus*** *alter*: outro, secundário; *manus*: mão.

Quadro 3.2. Termos baseados em morfemas gregos e latinos para mão direita *versus* esquerda.

Qual Mão (QM)	Grego	Latim
Mão Direita ***versus*** **Mão Esquerda**	**Mão Direita**	
	DexiQuiro δεξί (*dexi*): à direita; χέρι (*queri*): mão.	***DestraManus*** *destro*: lado direito; *manus*: mão.
	Mão Esquerda:	
	AristeroQuiro αριστερό (*aristeró*): esquerda; χέρι (*queri*): da mão.	***SinistraManus*** *sinistra*: lado esquerdo; *manus*: mão.

Quadro 3.3. Termos baseados em morfemas gregos e latinos para articulação da mão direita *versus* esquerda.

	Grego	Latim
Articulação de Mão(s)	***QuiriFormEma*** χέρι (*queri*): da mão; φόρμα (*forma*): forma; ημα: unidade mínima.	***ManusModusÍculo*** *manus*: da mão; *modus*: modo; *ículo*: unidade mínima.
Articulação da Mão Direita (AMD)	***DexiQuiriFormEma*** δεξί (dexi): à direita; χέρι (*queri*): da mão; φόρμα (*forma*): forma; ημα: unidade mínima.	***DestroManusModusÍculo*** *destro*: lado direito; *manus*, da mão; *modus*: modo, forma; *ículo*: unidade.
Articulação da Mão Esquerda (AME)	***AristeroQuiriFormEma*** αριστερό (*aristeró*): esquerda; χέρι (*queri*): da mão; φόρμα (*forma*): forma; ημα: unidade mínima.	***SinistraManusModusÍculo*** *sinistra*: lado esquerdo; *manus*: mão; *manus*: da mão; *modus*: modo, forma; *ículo*: unidade.

Quadro 3.4. Termos baseados em morfemas gregos e latinos para orientação da palma da mão direita *versus* esquerda.

	Grego	Latim
Orientação de Palma(s) (OP)	***QuiriTroposEma*** χέρι (*queri*): a mão, da mão; τρόπος (*trópos*): modo, maneira; τρόπου (*trópo*): do modo, da maneira; ημα: unidade.	***ManusDirectÍculo*** *manus*: mão; *manus*: da mão; *directio*: direção, alinhamento; *directionis*: da direção; *ículo*: unidade.
Orientação da Palma Direita (OPD)	***DexiQuiriTroposEma*** δεξί (*dexi*): a direita; χέρι (*queri*): a mão, da mão; τρόπος (*trópos*): modo, maneira; τρόπου (*trópo*): do modo, da maneira; ημα: unidade.	***DestroManusDirectÍculo*** *destro*: lado direito; *manus*: mão; *manus*: da mão; *directio*: direção, alinhamento; *directionis*: da direção; *ículo*: unidade.
Orientação da Palma Esquerda (OPE)	***AristeroQuiriTroposEma*** *αριστερό* (*aristeró*): esquerda; *χέρι* (*queri*): a mão, da mão; *τρόπος* (*trópos*): modo, maneira; *τρόπου* (*trópo*): do modo, da maneira; ημα: unidade.	***SinistraManusDirectÍculo*** *sinistra*: lado esquerdo; *manus*: mão; *manus*: da mão; *directio*: direção, alinhamento; *directionis*: da direção; *ículo*: unidade.

Quadro 3.5. Termos baseados em morfemas gregos e latinos para orientação de mão direita *versus* esquerda.

	Grego	Latim
Orientação de Mão(s) (OM)	***QuiriDeixisEma*** χέρι (*queri*): a mão, da mão; δείχνω (*deixno*): mostrar, indicar, apontar; ενδείξη (*endeixe*): indicação; ημα: unidade.	***ManusIndicarÍculo*** *manus*: mão; *manus*: da mão; *indicatio*: indicação; *indicationis*: de indicação; *ículo*: unidade.
Orientação da Mão Direita (OMD)	***DexiQuiriDeixisEma*** *δεξί* (*dexi*): a direita; *δεξί* (*dexi*): da direita; χέρι (*queri*): a mão, da mão; δείχνω (*deixno*): mostrar, indicar, apontar; *ενδείξη* (*endeixe*): indicação; ενδείξης (*endeixes*): da indicação; ημα: unidade.	***DestroManusIndicarÍculo*** *destro*: lado direito; *destri*: do lado direito, da direita; *manus*: mão; *manus*: da mão; *indicatio*: indicação *indicationis*: de indicação; *ículo*: unidade.
Orientação da Mão Esquerda (OME)	***AristeroQuiriDeixisEma*** αριστερό (*aristeró*): esquerda; αριστερά (*aristerá*): da esquerda; χέρι (*queri*): a mão, da mão; δείχνω (*deixno*): mostrar, indicar, apontar; ενδείξη (*endeixe*): indicação; ημα: unidade.	***SinistraManusIndicarÍculo*** *sinistra*: lado esquerdo; da esquerda; *manus*: mão; *manus*: da mão; *indicatio*: indicação; *indicationis*: de indicação; *ículo*: unidade.

Quadro 3.6. Termos baseados em morfemas gregos e latinos para relação entre mãos.

	Grego	Latim
Relação entre Mãos (RM)	***QuiriEsquetEma*** χέρι (*queri*): a mão, da mão; σχέση (*schéssi*), relação, trato, correlação; σχετικός (*schetikós*): relativo; ημα: unidade.	***ManusRelativÍculo*** *manus*: mão; *manus*: da mão; *relativus*: relativo; *relativum:* de relação; *ículo*: unidade.

2: Dedos

Quadro 3.7. Termos baseados em morfemas gregos e latinos para tipo de dedos direitos *versus* esquerdos.

	Grego	Latim
Que Dedos (QD)	***DactiloTiposEma*** δάχτυλο (*dactilo*): dedo; δαχτύλου (*dactilu*): do dedo; τύπος (*típos*): tipo; ημα: unidade.	***DigitiTiposÍculo*** *digitus*: dedo; *digiti*: do dedo; *typus*: tipo; *ículo*: unidade.
Que Dedo(s) da Mão Direita (QDD)	***DexiDactiloTiposEma*** δεξί (*dexi*): a direita; δεξί (*dexi*): da direita; δάχτυλο (*dactilo*): dedo; δαχτύλου (*dactilu*): do dedo; τύπος (*típos*): tipo; ημα: unidade.	***DestroDigitiTiposÍculo*** *destro*: lado direito; *destri*: do lado direito, da direita; *digitus*: dedo; *digiti*: do dedo; *typus*: tipo; *ículo*: unidade.
Que Dedo(s) da Mão Esquerda (QDE)	***AristeroDactiloTiposEma*** αριστερό (*aristeró*): esquerda; αριστερά (*aristerá*): da esquerda; δάχτυλο (*dactilo*): dedo; δαχτύλου (*dactilu*): do dedo; τύπος (*típos*): tipo; ημα: unidade.	***SinisterumDigitiTiposÍculo*** *sinistra*: lado esquerdo; *digitus*: dedo; *digiti*: do dedo; *typus*: tipo; *ículo*: unidade.

Quadro 3.8. Termos baseados em morfemas gregos e latinos para articulação de dedos direitos *versus* esquerdos.

	Grego	Latim
Articulação de Dedo(s) (AD)	***DactiloFormEma*** δάχτυλο (*dactilo*): dedo; δαχτύλου (*dactilu*): do dedo; φόρμα (*forma*): forma; φόρμας (*formas*): da forma; ημα: unidade.	***DigitiModusÍculo*** *digitus*: dedo; *digiti*: do dedo; *modus*: modo, maneira, regra, limite, medida, dimensão; *ículo*: unidade.
Articulação de Dedo(s) da Mão Direito (ADD)	***DexiDactiloFormEma*** δεξί (*dexi*): a direita; δεξί (*dexi*): da direita; δάχτυλο (*dactilo*): dedo; δαχτύλου (*dactilu*): do dedo; φόρμα (*forma*): forma; φόρμας (*formas*): da forma; ημα: unidade.	***DestroDigitiModusÍculo*** *destro*: lado direito, *destri*: do lado direito, da direita; *digitus*: dedo; *digiti*: do dedo; *modus*: modo, maneira, regra, limite, medida, dimensão; *ículo*: unidade.
Articulação de Dedo(s) da Mão Esquerdo (ADE)	***AristeroDactiloFormEma*** αριστερό (*aristeró*): esquerda; αριστερά (*aristerá*): da esquerda; δάχτυλο (*dactilo*): dedo; δαχτύλου (*dactilu*): do dedo; φόρμα (forma): forma; φόρμας (*formas*): da forma; ημα: unidade.	***SinisterumDigitiModusÍculo*** *sinistra*: lado esquerdo; *digitus*: dedo; *digiti*: do dedo; *modus*, : modo, maneira, regra, limite, medida, dimensão; *ículo*: unidade.

3: Local

Quadro 3.9. Termos baseados em morfemas gregos e latinos para local de articulação.

	Grego	Latim
Local de articulação	***ArtrotoToposEma*** άρθρωση (*ártrose*): articulação; αρθρωτός (*artrotós*): da articulação; τοπικός (*topicós*): local; τοπικού (*topicó*): do local; ημα: unidade.	***ArticulatiLocusÍculo*** *articulatus*: articulação; *locus*: local; *loci:* do lugar; *ículo*: unidade.
Cabeça e Proximidades (CP)	***CefaloPerifericoSematosEma*** κεφάλι (*cefáli*): cabeça; κεφάλιού (*cefalo*): da cabeça; περιφερειακός (*perifereiacós*): periférico, ao redor; σήμα (*sema*): sinal; σήματος (*sématos*): do sinal; ημα: unidade.	***CaputisCircumSignumÍculo*** *caput:* cabeça; *caputitis:* da cabeça; *circum*: ao redor; *signum*: sinal; *signi:* do sinal; *ículo:* unidade.
Rosto - Face e proximidades (RF)	***MascaraPerifericoSematosEma*** μάσκα (*masca*): máscara; μάσκας (*mascas*): da máscara; περιφερειακός (*periferiacós*): periférico, ao redor περιφερειακού*;* σήμα (*sema*): sinal; σήματος (*sématos*): do sinal; ημα: unidade.	***FacieCircumSignumÍculo*** *facies*: face, semblante, aspecto; *faciei:* da face; *circum*: ao redor; *signum*: sinal; *signi:* do sinal; *ículo:* unidade.
Tronco e Proximidades (TA)	***SomatoPerifericoSematosEma*** ***ToracicosPerifericoSematosEma*** σώμα (*soma*): corpo*;* σώματος (*somatós*): do corpo; περιφερειακός (*periferiacós*): periférico, ao redor; θωρακικό (*torakikó*): o tórax, toráxico; σήμα (*sema*): sinal; σήματος (*sématos*): do sinal; ημα: unidade.	***CorporisCircumSignumÍculo*** ***TroncusCircumSignumÍculo*** *corpus*: corpo; *corporis*: do corpo; *troncus*: tronco; *troncorum*: do tronco; *circum*: ao redor; *signum*: sinal; *signi:* do sinal; *ículo:* unidade.
Membros e proximidades (PB)	***MeliPerifericoSematosEma*** μέλη (*mele*): membros; μελών (*melón*): dos membros; περιφερειακός (*periferiacós*): periférico, ao redor; σήμα (*sema*): sinal; σήματος (*sématos*): do sinal; ημα: unidade.	***MembriCircumSignumÍculo*** *membrus*: membro; *membri*: do membro; *circum*: círculo; circunferência; *circi*: ao redor; *signum*: sinal; *signi*: do sinal; *ículo*: unidade.
Lado da Articulação	***DiplasArtrotosEma*** διπλό (*dipla*): ao lado;	***LatusArticulatusÍculo*** *latus*: lado*;*

(LA)	άρθρωση (*ártrose*): articulação; αρθρωτός (*artrotós*): da articulação; *ημα: unidade.*	*ículo: unidade.*
Lado da Articulação Direito (LAD)	***DexiDiplasArtrotosEma*** δεξί (*dexi*): a direita; διπλό (*dipla*): ao lado; άρθρωση (*ártrose*): articulação; αρθρωτός (*artrotós*): da articulação; *ημα: unidade.*	***DestroLatusArticulatusÍculo*** *destro*: lado direito, *latus*: lado; *articulatus*: articulação; *ículo: unidade.*
Lado da Articulação Esquerdo (LAE)	***AristeroDiplasArtrotosEma*** αριστερό (*aristeró*): esquerda; διπλό (*dipla*): ao lado; άρθρωση (*ártrose*): articulação; αρθρωτός (*artrotós*): da articulação; *ημα: unidade.*	***SinisterumLatusArticulatusÍculo*** *sinistra*: lado esquerdo, *latus*: lado; *articulatus*: articulação; *ículo: unidade.*

3.5: Lado da articulação do sinal (LD): *DiplasEmas - LatusÍculos*

O termo *DiplasEma* deriva dos radicais gregos: διπλό (*dipla*): ao lado; ήμα (*ema*): unidade mínima.

O termo *LatusÍculo* deriva dos radicais latinos: *Latus*: lado; *ículo*: unidade mínima.

O termo *DexaDiplasEma* deriva dos radicais gregos: δεξί (*dexi*): à direita;διπλό (*dipla*): ao lado; ήμα (*ema*): unidade mínima.

O termo *DestroLatusÍculo* deriva dos radicais latinos: *destro*: lado direito; *Latus*: lado; *ículo*: unidade mínima.

O termo *AristeraDiplasEma* deriva dos radicais gregos: αριστερό (*aristeró*): esquerda;διπλό (*dipla*): ao lado; ήμα (*ema*): unidade mínima.

O termo *SinistroLatusÍculo* deriva dos radicais latinos: *sinistra*: lado esquerdo; *Latus*: lado; *ículo*: unidade mínima.

4: Movimento

Quadro 3.10. Termos baseados em morfemas gregos e latinos para movimento da mão direita *versus* esquerda.

	Grego	**Latim**
Movimento de Mão(s) (MM)	***QuiriCinesEmas*** χέρι (*queri*): a mão, da mão; κίνηση (*cinese*): movimento; κίνησης (*cinesis*): do movimento; ημα: unidade.	***ManusMotusÍculo*** *manus*: mão; *manus*: da mão; *motus*: movimento, do movimento; *ículo*: unidade.
Movimento da Mão Direita (MMD)	***DexiQuiriCinesEma*** δεξί (*dexi*): a direita; δεξί (*dexi*): da direita; χέρι (*queri*): a mão, da mão;	***DestroManusMotusÍculo*** *destro*: lado direito; *destri*: do lado direito, da direita; *manus*: mão;

	κίνηση (*cinese*): movimento; κίνησης (*cinesis*): do movimento; ημα: unidade.	*manus*: da mão; *motus*: movimento, do movimento; *ículo*: unidade.
Movimento da Mão Esquerda (MME)	***AristeroQuiriCinesEma*** αριστερό (*aristeró*): esquerda*;* αριστερόυ (*aristeró*): da esquerda; χέρι (*queri*): a mão, da mão; κίνηση (*cinese*): movimento; κίνησης (*cinesis*): do movimento; ημα: unidade.	***SinistraManusMotusÍculo*** *sinistra*: lado esquerdo; *manus*: mão; *manus*: da mão; *motus*: movimento, do movimento; *ículo*: unidade.

Quadro 3.11. Termos baseados em morfemas gregos e latinos para tipo de movimento da mão direita *versus* esquerda.

	Grego	Latim
Tipo de Movimento de Mão(s) (TM)	***QuiriCineTiposEma*** χέρι (*queri*): a mão, da mão; κίνηση (*cinese*): movimento; κίνησης (*cineses*): do movimento; τύπος (*típos*): tipo; ημα: unidade.	***ManusMotusTipusÍculos*** *manus*: mão; *manus*: da mão; *motus*: movimento, do movimento; *typus*: tipo; *ículo*: unidade.
Tipo de Movimento da Mão Direita (TMD)	***DexiQuiriCineTiposEma*** δεξί (*dexi*): a direita; δεξί (*dexi*): da direita; χέρι (*queri*): a mão, da mão; κίνηση (*cinese*): movimento; κίνησης (*cineses*): do movimento; τύπος (*típos*): tipo; ημα: unidade.	***DestroManusMotumTipusÍculo*** *destro*: lado direito; *destri*: do lado direito, da direita; *manus*: mão; *manus*: da mão; *motus*: movimento, do movimento; *typus*: tipo; *ículo*: unidade.
Tipo de Movimento Mão Esquerda (TME)	***AristeroQuiriCineTiposEma*** αριστερό *(aristeró):* esquerda*;* αριστερά *(aristerá):* da esquerda; χέρι (*queri*): a mão, da mão; κίνηση (*cinese*): movimento; κίνησης (*cineses*): do movimento; τύπος (*típos*): tipo; ημα: unidade.	***SinistraManusMotumTipusÍculo*** *sinistra*: lado esquerdo; *manus*: mão; *manus*: da mão; *motus*: movimento, do movimento; *typus*: tipo; *ículo*: unidade.

Quadro 3.12. Termos baseados em morfemas gregos e latinos para movimento de dedos direitos *versus* esquerdos.

	Grego	**Latim**
Movimento de Dedo(s) (MD)	***DactiloCinesEma*** δάχτυλο (*dactilo*): dedo; δαχτύλου (*dactilu*): do dedo; κίνηση (*cinese*): movimento; κίνησης (*cineses*): do movimento; ημα: unidade.	***DigitiMotusÍculo*** *digitus*: dedo; *digiti*: do dedo; *motus*: movimento, do movimento; *ículo*: unidade.
Movimento de Dedo(s) da Mão Direita (MDD)	***DexiDactiloCinesEma*** δεξί (*dexi*): a direita; δεξί (*dexi*): da direita; δάχτυλο (*dáctilo*): dedo; δαχτύλου (*dactílu*): do dedo; κίνηση (*cínese*): movimento; κίνησης (*cíneses*): do movimento; ημα: unidade.	***DestroDigitiMotusÍculo*** *destro*: lado direito; *destri*: do lado direito, da direita; *digitus*: dedo; *digiti*: do dedo; *motus*: movimento, do movimento; *ículo*: unidade.
Movimento de Dedo(s) da Mão Esquerda (MDE)	***AristeroDactiloCinesEma*** αριστερό *(aristeró):* esquerda*;* αριστερά *(aristerá):* da esquerda; δάχτυλο (*dactilo*): dedo; δαχτύλου (*dactilu*): do dedo; κίνηση (*cinese*): movimento; κίνησης (*cineses*): do movimento; ημα: unidade.	***SinisterumDigitiMotusÍculo*** *sinistra*: lado esquerdo; *digitus*: dedo; *digiti*: do dedo; *motus*: movimento, do movimento; *ículo*: unidade.

Quadro 3.13. Termos baseados em morfemas gregos e latinos para frequência e intensidade de movimento.

	Grego	Latim
Frequência - Intensidade do Movimento (FI)	***CineMetronEma*** ***CinesEnfasEma*** κίνηση (*cínese*): movimento; κίνησης (*cíneses*): do movimento; μέτρηση (*métrese*): medição; μέτρησης (*métreses*): de medição; μέτρου *(métro*): de medição; ημα: unidade.	***MotusQuantusÍculo*** ***MotusMagnitudinÍculo*** *motus*: movimento, de movimento; *magnitudo*: magnitude, grandeza, volume, quantidade; *magnitudinis*: magnitudinal, de grandeza, de volume, de quantidade; *ículo*: unidade.
Movimento do Corpo (MC)	***SomatoCinesEma*** σώμα (*sóma*): corpo; σωματός (*somatós*): do corpo; κίνηση (*cínese*): movimento; κίνησης (*cíneses*): do movimento; ημα: unidade.	***CorporisMotusÍculo*** *corpus*: corpo, *corporis*: corpóreo, do corpo; *motus*: movimento, do movimento; *ículo*: unidade.

5: Expressão Facial

Quadro 3.14. Termos baseados em morfemas gregos e latinos para unidades de expressão facial.

	Grego	Latim
Unidades de Expressão Facial	***MascarEma*** μάσκα (*masca*): máscara; μάσκας (*mascas*): da máscara; ημα: unidade.	***PersonalÍculo*** *persona*: pessoa; *personae*: pessoal, da pessoa; *ículo*: unidade.
Expressões Faciais Positivas (SSP)	***EuMascarEma*** ***CaliMascarEma*** έυ *(ei):* bom; καλός (*calós*): bom; μάσκα (*masca*): máscara; μάσκας (*mascas*): da máscara; ημα: unidade.	***BonusPersonalÍculo*** ***BellusPersonalÍculo*** *bonus*: bom; *bellus*: belo; *persona*: pessoa; *personae*: pessoal, da pessoa; *ículo*: unidade.
Expressões Faciais Negativas (SSN)	***DisMascarEma*** ***CacoMascarEma*** δυσ (*dis*): ruim; κακός (*cacós*): mau; μάσκα (*masca*): máscara; *μάσκας* (*mascas*): da máscara; *ημα*: unidade.	***MalusPersonalÍculo*** ***DeformisPersonalÍculo*** *malus*: mau; *deformis*: disforme; *persona*: pessoa; *personae*: pessoal, da pessoa; *ículo*: unidade.
Expressões Faciais Neutras ou Estados e Movimentos da Face (EMF)	***MascaraCinesEma*** κίνηση (*cinese*): movimento; κίνησης (*cineses*): do movimento; μάσκα (*masca*): máscara; μάσκας (*mascas*): da máscara; ημα: unidade.	***PersonaMotusÍculo*** *motus*: movimento, do movimento; *persona*: pessoa; *personae*: pessoal, da pessoa; *ículo*: unidade.

11.4. Anexo 4. Exemplos da indexação *SematosÊmica-SignumIcular* de sinais de Libras empregada pelo *BuscaSigno 1*, interface gráfica

Esta seção é extraída de Capovilla e Raphael (2006a, 2006b). A Figura 4.1 mostra parte das entradas lexicais dos sinais ABANAR-SE e ABELHA do *Deit-Libras* (Capovilla & Raphael, 2001a, 2001b). Abaixo da ilustração do significado e da forma de cada sinal, aparece a descrição dessa forma em Português, bem como a sua versão para o código alfanumérico empregado por *BuscaSigno 1*. Assim, a sequência de células após cada verbete arrola os *SematosEmas-SignumÍculos* (codificados pelas letras) e seus respectivos níveis (codificados pelos números) que compõem cada sinal.

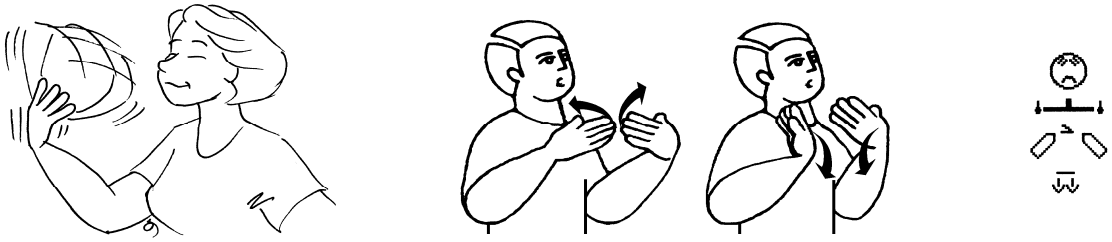

ABANAR-SE (1): Mãos horizontais abertas, palmas para dentro, dedos inclinados para cima, acima dos ombros. Balançar as mãos, pelos pulsos para frente e para trás, com o corpo e a cabeça inclinados para trás, e com expressão facial de desconforto.

Me36	Opd4	L27	Mme2	Mc3	E26	Md36	Ope4	Mmd2	Rm5

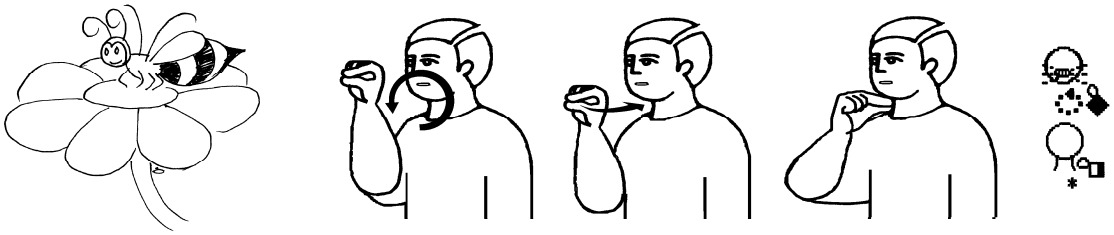

ABELHA: Mão Direita vertical fechada, palma para frente, indicador e polegar distendidos e unidos pelas pontas, soltando o ar por entre os dentes cerrados. Mover a mão em círculo diante do rosto e, então, tocar as pontas dos dedos no lado direito do pescoço.

Md28	Opd3	Dd6	Ad6	E21	L31	Mmd32	L52

Figura 4.1. Parte das entradas lexicais dos sinais ABANAR-SE e ABELHA do *Deit-Libras* (Capovilla & Raphael, 2001a, 2001b). Abaixo da ilustração do significado e da forma de cada sinal, aparece a descrição dessa forma em Português, bem como a sua versão para o código alfanumérico empregado por *BuscaSigno 1*. Assim, a sequência de células após cada verbete arrola os *SematosEmas-SignumÍculos* (codificados pelas letras) e seus respectivos níveis (codificados pelos números) que compõem cada sinal. (Figura de Capovilla & Raphael, 2006a, 2006b).

A Figura 4.2 ilustra parte das entradas lexicais dos sinais ABENÇOAR, ABORRECIDO e AMAZONAS do *Deit-Libras* (Capovilla & Raphael, 2001a, 2001b). Abaixo da ilustração do significado e da forma de cada sinal, aparece a descrição dessa forma em Português, e sua versão no código alfanumérico do *BuscaSigno 1*. Assim, a sequência de células após cada verbete arrola os *SematosEmas-SignumÍculos* (codificados pelas letras) e seus respectivos níveis (codificados pelos números) que compõem cada sinal.

ABENÇOAR: Mãos em **A** horizontal, palmas para baixo, unhas dos polegares tocando cada lado da boca. Mover as mãos em um arco para frente e para baixo, distendendo os dedos.

Me10	Ope1	De1	L16	Mmd33	Mde4
Md10	Opd1	Dd1	Mme33	Mdd4	Rm5

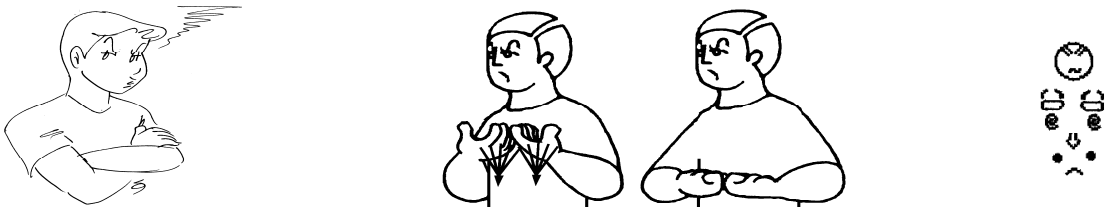

ABORRECIDO: Mãos em **C** horizontal, palmas para cima, lado a lado, mãos apontando uma para outra, tocando o peito. Movê-las rapidamente para baixo, fechando-as em **S** horizontal, palmas para cima. Expressão negativa.

Me12	Ope2	Rm5	L23	Mme9	FM5	Mde3
E24	Md12	Opd2	Mmd9	Mdd3	Ome1	Omd2

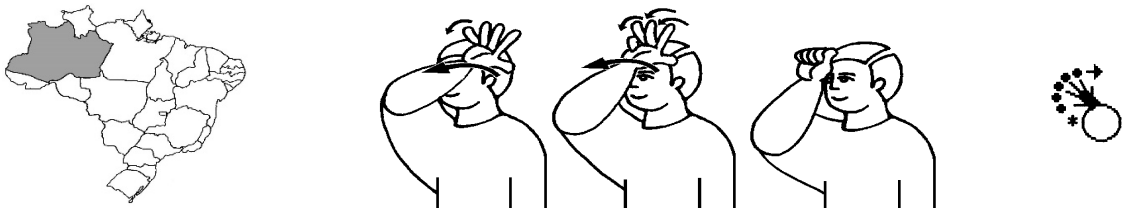

AMAZONAS: Mão Direita vertical aberta, palma para frente, dedos separados, dorso da mão tocando o lado esquerdo da testa. Mover a mão para o lado direito da testa, fechando os dedos um por um, iniciando pelo dedo mínimo.

Md36	Opd3	Ad5	L32	Mmd4	Mdd10

Figura 4.2. Parte das entradas lexicais dos sinais ABENÇOAR, ABORRECIDO e AMAZONAS do *Deit-Libras* (Capovilla & Raphael, 2001a, 2001b). Abaixo da ilustração do significado e da forma de cada sinal, aparece a descrição dessa forma em Português, e sua versão no código alfanumérico do *BuscaSigno 1*. Assim, a sequência de células após cada verbete arrola os *SematosEmas-SignumÍculos* (codificados pelas letras) e seus respectivos níveis (codificados pelos números) que compõem cada sinal. (Figura de Capovilla & Raphael, 2006a, 2006b).

A Figura 4.3 ilustra parte das entradas lexicais dos sinais BANANA, BRASIL-BRASILEIRO e CÉREBRO-CEREBRAL do *Deit-Libras* (Capovilla & Raphael, 2001a, 2001b). Abaixo da ilustração do significado e da forma de cada sinal, aparece a descrição

dessa forma em Português, e sua versão no código alfanumérico do *BuscaSigno 1*. Assim, a sequência de células após cada verbete arrola os *SematosEmas-SignumÍculos* (codificados pelas letras) e seus respectivos níveis (codificados pelos números) que compõem cada sinal.

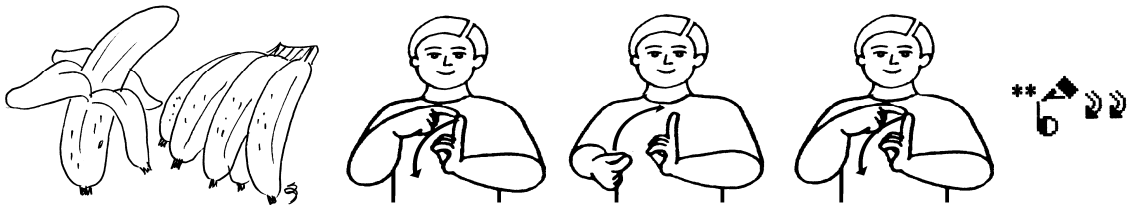

BANANA (1): Mão Esquerda em **D**, palma para a direita. Mão Direita horizontal fechada, palma para baixo, dedos indicador e polegar distendidos e unidos pelas pontas, tocando a ponta do indicador esquerdo. Mover a Mão Direita em um arco para a direita e para baixo, duas vezes.

Me13	Ope6	Md28	Opd1	Dd6	Ad6	Rm17	Mmd35	FM3	Rm5

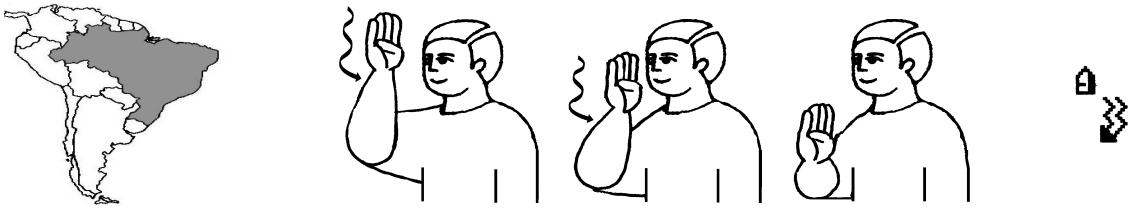

BRASIL, BRASILEIRO: Mão Direita em **B**, palma para a esquerda, diante da face. Movê-la para baixo com um movimento ondulatório para os lados.

Md11	Opd5	L31	Mmd9	Mmd3

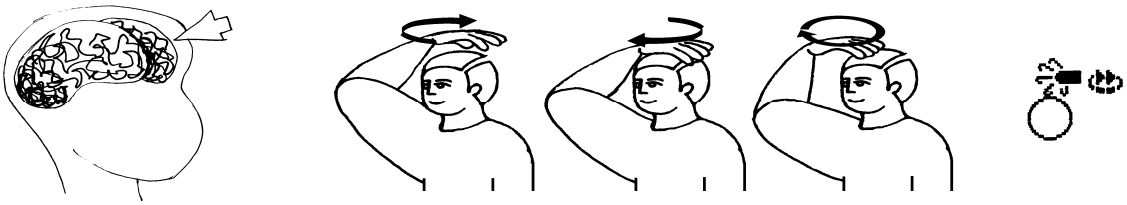

CÉREBRO, CEREBRAL: Mão Direita aberta, palma para baixo, dedos ligeiramente curvados, acima da cabeça. Mover a mão em círculos horizontais.

Md39	Opd1	L3	Mmd32

Figura 4.3. Parte das entradas lexicais dos sinais BANANA, BRASIL-BRASILEIRO e CÉREBRO-CEREBRAL do *Deit-Libras* (Capovilla & Raphael, 2001a, 2001b). Abaixo da ilustração do significado e da forma de cada sinal, aparece a descrição dessa forma em Português, e sua versão no código alfanumérico do *BuscaSigno 1*. Assim, a sequência de células após cada verbete arrola os *SematosEmas-SignumÍculos* (codificados pelas letras) e seus respectivos níveis (codificados pelos números) que compõem cada sinal. (Figura de Capovilla & Raphael, 2006a, 2006b).

A Figura 4.4 ilustra parte das entradas lexicais dos sinais CHAVEAR-CHAVE, CHINA-CHINÊS e COMER-COMIDA do *Deit-Libras* (Capovilla & Raphael, 2001a, 2001b). Abaixo da ilustração do significado e da forma de cada sinal, aparece a descrição dessa forma em Português, e sua versão no código alfanumérico do *BuscaSigno 1*. Assim, a sequência de células após cada verbete arrola os *SematosEmas-SignumÍculos* (codificados pelas letras) e seus respectivos níveis (codificados pelos números) que compõem cada sinal.

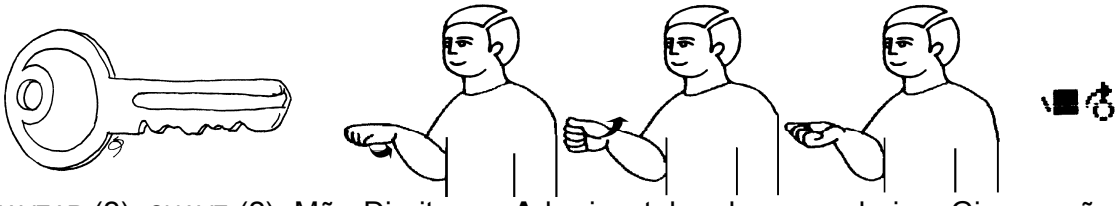

CHAVEAR (2), CHAVE (2): Mão Direita em **A** horizontal, palma para baixo. Girar a mão pelo pulso para a esquerda e para cima.

Md10	Opd1	Mmd50

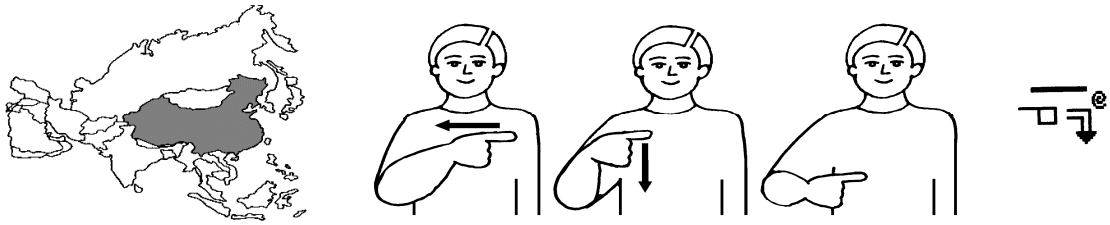

CHINA (sinal oficial do país), CHINÊS (CHINESA), CHINÊS: Mão Direita em **1** horizontal, palma para dentro, indicador apontando para a esquerda, tocando o lado esquerdo do peito. Movê-la para a direita, até o lado direito do peito, em seguida, baixá-la.

Md1	Opd4	Omd2	L23	Mmd4	Mmd9

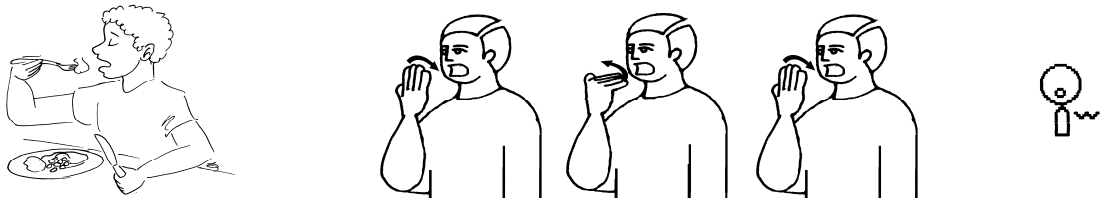

COMER, COMIDA: Mão Direita vertical aberta, palma para dentro, diante da boca. Flexionar os dedos duas vezes.

Md36	Opd4	Omd5	L15	Mdd5	FM3

Figura 4.4. Parte das entradas lexicais dos sinais CHAVEAR-CHAVE, CHINA-CHINÊS e COMER-COMIDA do *Deit-Libras* (Capovilla & Raphael, 2001a, 2001b). Abaixo da ilustração do significado e da forma de cada sinal, aparece a descrição dessa forma em Português, e sua versão no código alfanumérico do *BuscaSigno 1*. Assim, a sequência de células após cada verbete arrola os *SematosEmas-SignumÍculos* (codificados pelas letras) e seus respectivos níveis (codificados pelos números) que compõem cada sinal. (Figura de Capovilla & Raphael, 2006a, 2006b).

.

11.5. Anexo 5. Exemplos da indexação *SematosÊmica-SignumIcular* de sinais de Libras empregada por *BuscaSigno 2*, interface gráfica.

A Figura 5.1 ilustra parte da entrada lexical do sinal ABANAR-SE do *Novo Deit-Libras* (Capovilla, Raphael, & Mauricio, 2001a, 2001b). Abaixo da ilustração do significado e da forma do sinal, aparece a descrição dessa forma em Português, e sua versão no código alfanumérico do *BuscaSigno 2*. Assim, a sequência de células após cada verbete arrola os *SematosEmas-SignumÍculos* (codificados pelas letras) e seus respectivos níveis (codificados pelos números) que compõem cada sinal, conforme a sistematização feita no Anexo 2.

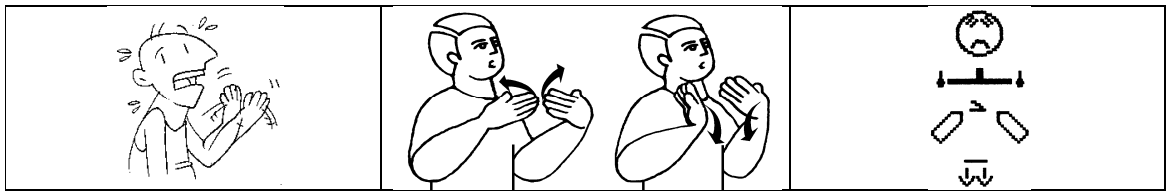

ABANAR-SE (1): (Mãos horizontais abertas, palmas para trás, acima dos ombros. Balançar as mãos para frente e para trás, com o corpo e a cabeça inclinados para trás, e com expressão facial de desconforto.)

AMD36	mãos abertas
OMD3	horizontais
OPD1	palmas para trás
CP7	acima dos ombros
MMD2	balançar as mãos para frente e para trás
MC3; MC9	com o corpo e a cabeça inclinados para trás
SSN13	e com expressão facial de desconforto

Figura 5.1. Parte da entrada lexical do sinal ABANAR-SE do *Novo Deit-Libras* (Capovilla, Raphael, & Mauricio, 2001a, 2001b). Abaixo da ilustração do significado e da forma do sinal, aparece a descrição dessa forma em Português, e sua versão no código alfanumérico do *BuscaSigno 2*. Assim, a sequência de células após cada verbete arrola os *SematosEmas-SignumÍculos* (codificados pelas letras) e seus respectivos níveis (codificados pelos números) que compõem cada sinal, conforme a sistematização feita no Anexo 2 (Figura de Capovilla & Raphael, 2006a, 2006b).

A Figura 5.2 ilustra parte da entrada lexical do sinal ABELHA do *Novo Deit-Libras* (Capovilla, Raphael, & Mauricio, 2001a, 2001b). Abaixo da ilustração do significado e da forma do sinal, aparece a descrição dessa forma em Português, e sua versão no código alfanumérico do *BuscaSigno 2*. Assim, a sequência de células após cada verbete arrola os *SematosEmas-SignumÍculos* (codificados pelas letras) e seus respectivos níveis (codificados pelos números) que compõem cada sinal, conforme a sistematização feita no Anexo 2.

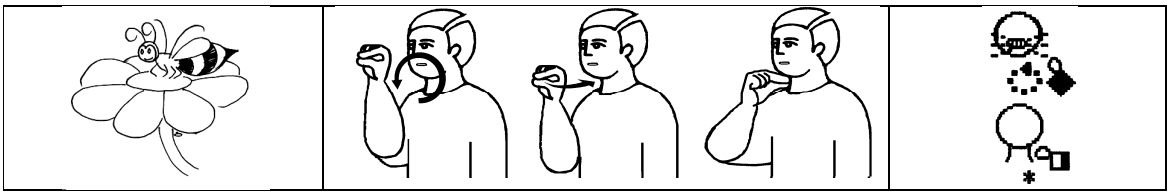

ABELHA (1): (Mão vertical fechada, palma para frente, indicador e polegar distendidos e unidos pelas pontas. Mover a mão em um círculo vertical para a esquerda (sentido anti-horário) diante do rosto soltando o ar por entre os dentes cerrados, e então tocar as pontas dos dedos no lado direito do pescoço.)

AMD48; AMD28; AMD8	Mão fechada
AMD5	vertical
OPD3	palma para frente,
QDD6; ADD3; ADD5	indicador e polegar distendidos e unidos pelas pontas.
MMD27; MMD50	mover a mão em um círculo vertical para a esquerda (sentido anti-horário)
CP6; CP7	diante do rosto, e do pescoço.)
EMF59; EMF57	soltando o ar por entre os dentes cerrados
CP8	então tocar as pontas dos dedos no lado direito do pescoço
MMD16	(adicional) pinçar os dedos

Figura 5.2. Parte da entrada lexical do sinal ABELHA do *Novo Deit-Libras* (Capovilla, Raphael, & Mauricio, 2001a, 2001b). Abaixo da ilustração do significado e da forma do sinal, aparece a descrição dessa forma em Português, e sua versão no código alfanumérico do *BuscaSigno 2*. Assim, a sequência de células após cada verbete arrola os *SematosEmas-SignumÍculos* (codificados pelas letras) e seus respectivos níveis (codificados pelos números) que compõem cada sinal, conforme a sistematização feita no Anexo 2 (Figura de Capovilla & Raphael, 2006a, 2006b).

A Figura 5.3 ilustra parte da entrada lexical do sinal ABENÇOAR do *Novo Deit-Libras* (Capovilla, Raphael, & Mauricio, 2001a, 2001b). Abaixo da ilustração do significado e da forma do sinal, aparece a descrição dessa forma em Português, e sua versão no código alfanumérico do *BuscaSigno 2*. Assim, a sequência de células após cada verbete arrola os *SematosEmas-SignumÍculos* (codificados pelas letras) e seus respectivos níveis (codificados pelos números) que compõem cada sinal, conforme a sistematização feita no Anexo 2.

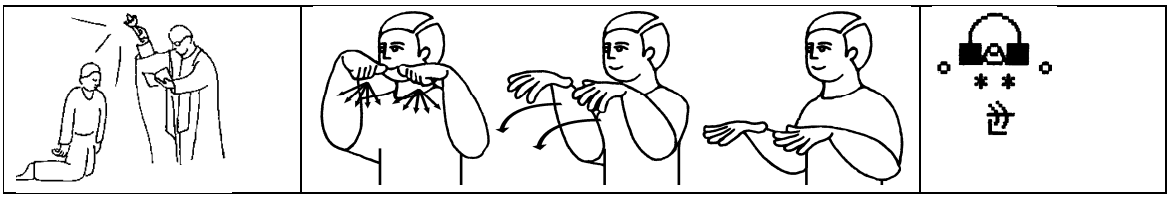

ABENÇOAR (1): (Mãos em A, palmas para baixo, unhas dos polegares tocando cada lado da boca. Mover as mãos para frente e para baixo, distendendo os dedos.)

AMD10; AME10; AMD28; AME28; AMD8; AME8	Mãos em A
OMD3; OME3	(adicional) Mão Direita para frente mão Esquerda para frente
OPD1; OPE1	palmas para baixo
QDD1; QDE1; RF11; RF12; RM19	unhas dos polegares tocando cada lado da boca
MMD19; MME19; MMD6; MME6; MMD9; MME9	mover as mãos para frente e para baixo
MMD41; MME41; MDD6; MDE6	distendendo os dedos

Figura 5.3. Parte da entrada lexical do sinal ABENÇOAR do *Novo Deit-Libras* (Capovilla, Raphael, & Mauricio, 2001a, 2001b). Abaixo da ilustração do significado e da forma do sinal, aparece a descrição dessa forma em Português, e sua versão no código alfanumérico do *BuscaSigno 2*. Assim, a sequência de células após cada verbete arrola os *SematosEmas-SignumÍculos* (codificados pelas letras) e seus respectivos níveis (codificados pelos números) que compõem cada sinal, conforme a sistematização feita no *Anexo 2* (Figura de Capovilla & Raphael, 2006a, 2006b).

A Figura 5.4 ilustra parte da entrada lexical do sinal ABORRECIDO do *Novo Deit-Libras* (Capovilla, Raphael, & Mauricio, 2001a, 2001b). Abaixo da ilustração do significado e da forma do sinal, aparece a descrição dessa forma em Português, e sua versão no código alfanumérico do *BuscaSigno 2*. Assim, a sequência de células após cada verbete arrola os *SematosEmas-SignumÍculos* (codificados pelas letras) e seus respectivos níveis (codificados pelos números) que compõem cada sinal, conforme a sistematização feita no Anexo 2.

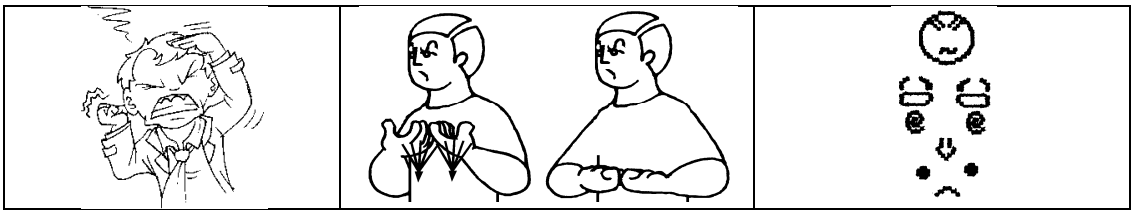

ABORRECIDO (1): (Mãos em **C** horizontal, palmas para cima, lado a lado, mãos apontando uma para outra, tocando o peito. Movê-las rapidamente para baixo, fechando-as em **S**, com expressão negativa.)

AMD12; AME12	mãos em **C**
OMD2;	mão Direita para esquerda
OME1	mão Esquerda para direita
OPD2; OPE2	palmas para cima
RM5; OMD2; OME1	lado a lado mãos apontando uma para outra
TA6	tocando o peito.
MMD9; MME9; FI4	movê-las rapidamente para baixo
MMD42; MME42; AMD28; AME28; AMD8; AME8	fechando-as em **S**
SSN14; SSN15; SSN16; SSN17; SSN18; SSN19; SSN20	expressão negativa. é de raiva

Figura 5.4. Parte da entrada lexical do sinal ABORRECIDO do *Novo Deit-Libras* (Capovilla, Raphael, & Mauricio, 2001a, 2001b). Abaixo da ilustração do significado e da forma do sinal, aparece a descrição dessa forma em Português, e sua versão no código alfanumérico do *BuscaSigno 2*. Assim, a sequência de células após cada verbete arrola os *SematosEmas-SignumÍculos* (codificados pelas letras) e seus respectivos níveis (codificados pelos números) que compõem cada sinal, conforme a sistematização feita no Anexo 2 (Figura de Capovilla & Raphael, 2006a, 2006b).

A Figura 5.5 ilustra parte da entrada lexical do sinal AMAZONAS do *Novo Deit-Libras* (Capovilla, Raphael, & Mauricio, 2001a, 2001b). Abaixo da ilustração do significado e da forma do sinal, aparece a descrição dessa forma em Português, e sua versão no código alfanumérico do *BuscaSigno 2*. Assim, a sequência de células após cada verbete arrola os *SematosEmas-SignumÍculos* (codificados pelas letras) e seus respectivos níveis (codificados pelos números) que compõem cada sinal, conforme a sistematização feita no Anexo 2.

AMAZONAS: (Mão vertical aberta, palma para frente, dedos separados, dorso da mão tocando o lado esquerdo da testa. Mover a mão para o lado direito da testa, fechando os dedos um por um, iniciando pelo mínimo.)

AMD36	mão aberta
OMD5	vertical
OPD3	palma para frente,
ADD4	dedos separados
RF1; CP2; CP3	tocando o lado esquerdo da testa
MMD4; RF2	mover a mão para o lado direito da testa,
MMD11; QDD13	fechando os dedos um por um, iniciando pelo mínimo

Figura 5.5. Parte da entrada lexical do sinal AMAZONAS do *Novo Deit-Libras* (Capovilla, Raphael, & Mauricio, 2001a, 2001b). Abaixo da ilustração do significado e da forma do sinal, aparece a descrição dessa forma em Português, e sua versão no código alfanumérico do *BuscaSigno 2*. Assim, a sequência de células após cada verbete arrola os *SematosEmas-SignumÍculos* (codificados pelas letras) e seus respectivos níveis (codificados pelos números) que compõem cada sinal, conforme a sistematização feita no Anexo 2 (Figura de Capovilla & Raphael, 2006a, 2006b).

A Figura 5.6 ilustra parte da entrada lexical do sinal ÍNDIO-INDÍGENA do *Novo Deit-Libras* (Capovilla, Raphael, & Mauricio, 2001a, 2001b). Abaixo da ilustração do significado e da forma do sinal, aparece a descrição dessa forma em Português, e sua versão no código alfanumérico do *BuscaSigno 2*. Assim, a sequência de células após cada verbete arrola os *SematosEmas-SignumÍculos* (codificados pelas letras) e seus respectivos níveis (codificados pelos números) que compõem cada sinal, conforme a sistematização feita no Anexo 2.

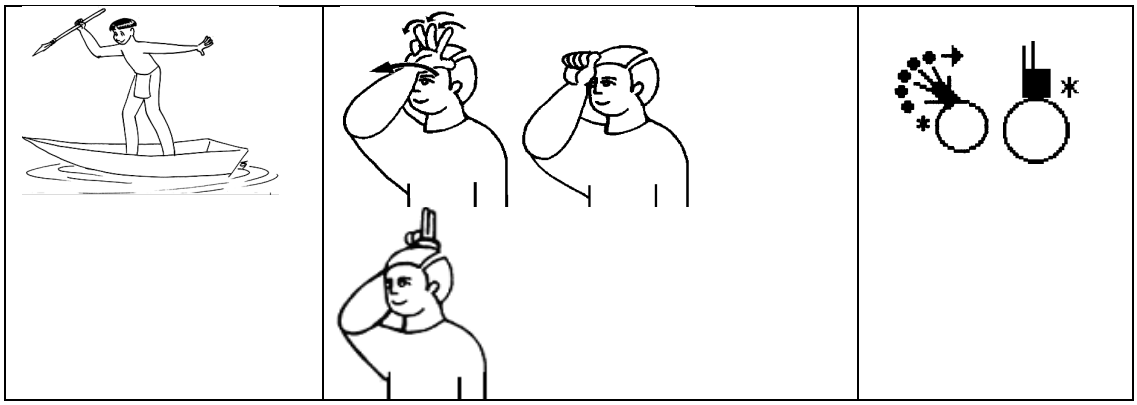

ÍNDIO, INDÍGENA: (Fazer este sinal AMAZONAS: Mão vertical aberta, palma para frente, dedos separados, dorso da mão tocando o lado esquerdo da testa. Mover a mão para o lado direito da testa, fechando os dedos um por um, iniciando pelo mínimo. Em seguida, mão em **U**, palma para frente, tocando a parte posterior da cabeça.)

AMD36	mão aberta
OMD5	mão Direita para cima
OPD3	palma para frente,
ADD4	dedos separados
RM8; RF1; CP2; CP3	dorso da mão tocando o lado esquerdo da testa
MMD4; RF2	mover a mão para o lado direito da testa,
MMD11; QDD13	fechando os dedos um por um, iniciando pelo mínimo
AMD30	mão em **U**,
OMD5	(adicional) Mão Direita para cima
OPD3	palma para frente
CP9	tocando a parte posterior da cabeça

Figura 5.6. Parte da entrada lexical do sinal ÍNDIO-INDÍGENA do *Novo Deit-Libras* (Capovilla, Raphael, & Mauricio, 2001a, 2001b). Abaixo da ilustração do significado e da forma do sinal, aparece a descrição dessa forma em Português, e sua versão no código alfanumérico do *BuscaSigno 2*. Assim, a sequência de células após cada verbete arrola os *SematosEmas-SignumÍculos* (codificados pelas letras) e seus respectivos níveis (codificados pelos números) que compõem cada sinal, conforme a sistematização feita no Anexo 2 (Figura de Capovilla & Raphael, 2006a, 2006b).

A Figura 5.7 ilustra parte da entrada lexical do sinal BANANA do *Novo Deit-Libras* (Capovilla, Raphael, & Mauricio, 2001a, 2001b). Abaixo da ilustração do significado e da forma do sinal, aparece a descrição dessa forma em Português, e sua versão no código alfanumérico do BuscaSigno 2. Assim, a sequência de células após cada verbete arrola os *SematosEmas-SignumÍculos* (codificados pelas letras) e seus respectivos níveis (codificados pelos números) que compõem cada sinal, conforme a sistematização feita no Anexo 2.

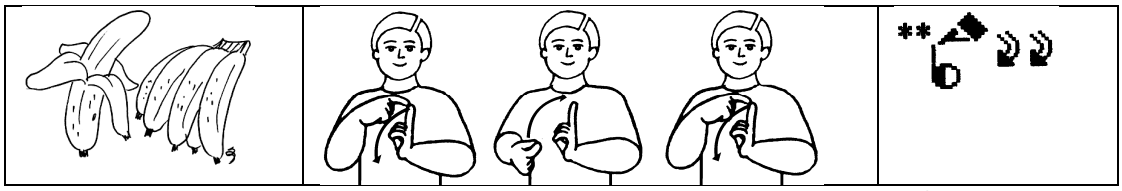

BANANA (1): (Mão Esquerda em **D**, palma para a direita; Mão Direita fechada, palma para baixo, dedos indicador e polegar distendidos e unidos pelas pontas, tocando a ponta do indicador esquerdo. Mover a Mão Direita para baixo afastando-se do indicador esquerdo, duas vezes.)

AME13; AME1	mão Esquerda em **D**
OME5	(adicional): Mão Esquerda para cima
OPE6	palma para a direita
AMD28; AMD8; AMD44	mão Direita fechada
OMD2	adicional) Mão Direita para esquerda
OPD1	palma para a direita
QDD6; ADD5	dedos indicador e polegar distendidos e unidos pelas pontas
QDE2; RM15	tocando a ponta do indicador esquerdo
MMD17; MMD46	mover mão dir. para baixo afastando-se do indicador esquerdo
FI5	duas vezes

Figura 5.7. Parte da entrada lexical do sinal BANANA do *Novo Deit-Libras* (Capovilla, Raphael, & Mauricio, 2001a, 2001b). Abaixo da ilustração do significado e da forma do sinal, aparece a descrição dessa forma em Português, e sua versão no código alfanumérico do *BuscaSigno 2*. Assim, a sequência de células após cada verbete arrola os *SematosEmas-SignumÍculos* (codificados pelas letras) e seus respectivos níveis (codificados pelos números) que compõem cada sinal, conforme a sistematização feita no Anexo 2. (Figura de Capovilla & Raphael, 2006a, 2006b).

A Figura 5.8 ilustra parte da entrada lexical do sinal BRASIL-BRASILEIRO do *Novo Deit-Libras* (Capovilla, Raphael, & Mauricio, 2001a, 2001b). Abaixo da ilustração do significado e da forma do sinal, aparece a descrição dessa forma em Português, e sua versão no código alfanumérico do *BuscaSigno 2.* Assim, a sequência de células após cada verbete arrola os *SematosEmas-SignumÍculos* (codificados pelas letras) e seus respectivos níveis (codificados pelos números) que compõem cada sinal, conforme a sistematização feita no Anexo 2.

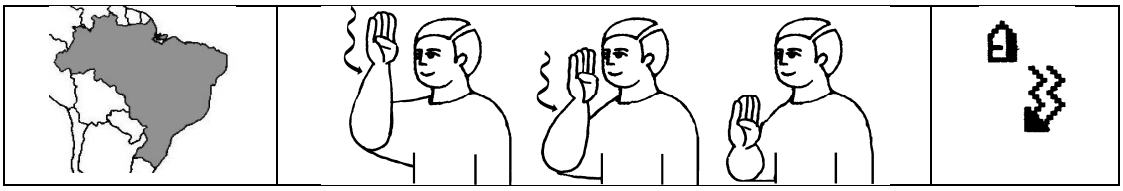

BRASIL, BRASILEIRO: (Mão em **B**, palma para a esquerda, na altura da cabeça. Movê-la para baixo com movimentos ondulatórios.)

AMD11	mão em **B**
OMD5	(adicional) Mão Direita para cima
OPD5	palma para a esquerda
CP3	altura da cabeça.
MMD9	movê-la para baixo
TM1	com movimentos ondulatórios.

Figura 5.8. Parte da entrada lexical do sinal BRASIL-BRASILEIRO do *Novo Deit-Libras* (Capovilla, Raphael, & Mauricio, 2001a, 2001b). Abaixo da ilustração do significado e da forma do sinal, aparece a descrição dessa forma em Português, e sua versão no código alfanumérico do *BuscaSigno 2*. Assim, a sequência de células após cada verbete arrola os *SematosEmas-SignumÍculos* (codificados pelas letras) e seus respectivos níveis (codificados pelos números) que compõem cada sinal, conforme a sistematização feita no Anexo 2 (Figura de Capovilla & Raphael, 2006a, 2006b).

A Figura 5.9 ilustra parte da entrada lexical do sinal CÉREBRO do *Novo Deit-Libras* (Capovilla, Raphael, & Mauricio, 2001a, 2001b). Abaixo da ilustração do significado e da forma do sinal, aparece a descrição dessa forma em Português, e sua versão no código alfanumérico do *BuscaSigno 2*. Assim, a sequência de células após cada verbete arrola os *SematosEmas-SignumÍculos* (codificados pelas letras) e seus respectivos níveis (codificados pelos números) que compõem cada sinal, conforme a sistematização feita no Anexo 2.

CÉREBRO (1), CEREBRAL: (Mão aberta, palma para baixo, dedos ligeiramente curvados, acima da cabeça. Mover a mão em círculos horizontais para a direita (sentido horário).

AMD36	mão aberta
OMD2	(adicional) Mão Direita para esquerda
OPD1	palma para baixo
ADD2; FI9	dedos ligeiramente curvados
CP1	acima da cabeça.
MMD27; MD49	mover a mão em círculos horizontais para a direita (sentido horário

Figura 5.9. Parte da entrada lexical do sinal CÉREBRO do *Novo Deit-Libras* (Capovilla, Raphael, & Mauricio, 2001a, 2001b). Abaixo da ilustração do significado e da forma do sinal, aparece a descrição dessa forma em Português, e sua versão no código alfanumérico do *BuscaSigno 2*. Assim, a sequência de células após cada verbete arrola os *SematosEmas-SignumÍculos* (codificados pelas letras) e seus respectivos níveis (codificados pelos números) que compõem cada sinal, conforme a sistematização feita no Anexo 2 (Figura de Capovilla & Raphael, 2006a, 2006b).

A Figura 5.10 ilustra parte da entrada lexical dos sinais CHAVE DE FENDA e CHINA do *Novo Deit-Libras* (Capovilla, Raphael, & Mauricio, 2001a, 2001b). Abaixo da ilustração do significado e da forma do sinal, aparece a descrição dessa forma em Português, e sua versão no código alfanumérico do *BuscaSigno 2*. Assim, a sequência de células após cada verbete arrola os *SematosEmas-SignumÍculos* (codificados pelas letras) e seus respectivos níveis (codificados pelos números) que compõem cada sinal, conforme a sistematização feita no Anexo 2.

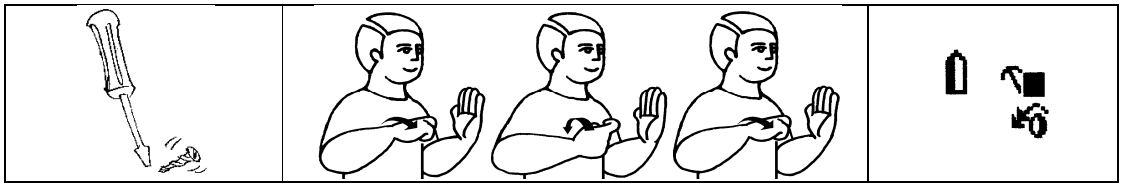

CHAVE DE FENDA (1), CHAVE DE PARAFUSO (1): (Mão Esquerda vertical aberta, palma para a direita; Mão Direita em **A**, palma para baixo, indicador destacado, próximo a Palma Esquerda. Girar a Mão Direita pelo pulso para trás, duas vezes.)

AME36	mão Esquerda aberta
OME5	vertical
OPE6	palma para a direita
AMD10	mão Direita em **A**
OMD2	(adicional) Mão Direita para esquerda
OPD1	palma para baixo
QDD1; ADD1	indicador destacado
RM22	próximo a Palma Esquerda
MMD38; OPD2	girar a Mão Direita pelo pulso para trás
FI5	duas vezes

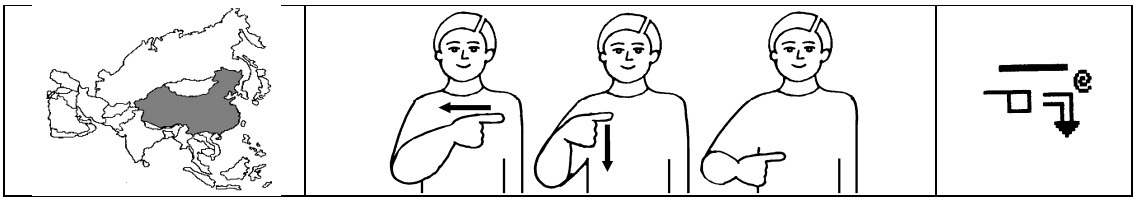

CHINA (SINAL OFICIAL DO PAÍS), CHINÊS (CHINESA), CHINÊS: (Mão em **1** horizontal, palma para trás, indicador apontando para a esquerda, tocando o lado esquerdo do peito. Movê-la para a direita, até o lado direito do peito, em seguida, baixá-la (Sinal oficial do país faz alusão ao uniforme chinês adotado após a Revolução Cultural).)

AMD1; AMD13	mão em **1**
OMD2	horizontal indicador apontando para a esquerda
OPD4	palma para trás
TA6	tocando o lado esquerdo do peito
MMD4	movê-la para a direita até o lado direito do peito
MMD9	em seguida, baixá-la

Figura 5.10. Parte da entrada lexical dos sinais CHAVE DE FENDA e CHINA do *Novo Deit-Libras* (Capovilla, Raphael, & Mauricio, 2001a, 2001b). Abaixo da ilustração do significado e da forma do sinal, aparece a descrição dessa forma em Português, e sua versão no código alfanumérico do *BuscaSigno 2*. Assim, a sequência de células após cada verbete arrola os *SematosEmas-SignumÍculos* (codificados pelas letras) e seus respectivos níveis (codificados pelos números) que compõem cada sinal, conforme a sistematização feita no Anexo 2 (Figura de Capovilla & Raphael, 2006a, 2006b).

A Figura 5.11 ilustra parte da entrada lexical dos sinais COMER-COMIDA e CRER-CRENÇA do *Novo Deit-Libras* (Capovilla, Raphael, & Mauricio, 2001a, 2001b). Abaixo da ilustração do significado e da forma do sinal, aparece a descrição dessa forma em Português, e sua versão no código alfanumérico do *BuscaSigno 2*. Assim, a sequência de células após cada verbete arrola os *SematosEmas-SignumÍculos*

(codificados pelas letras) e seus respectivos níveis (codificados pelos números) que compõem cada sinal, conforme a sistematização feita no Anexo 2.

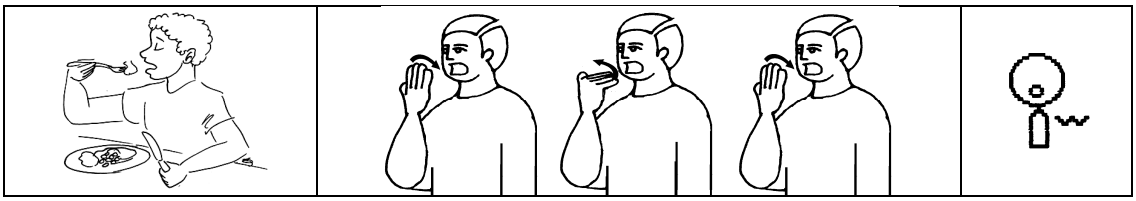

COMER, COMIDA: (Mão vertical aberta, palma para trás, diante da boca. Flexionar os dedos duas vezes.)

AMD36	mão aberta
OMD5	vertical
OPD4	palma para trás
RF10	diante da boca
MDD2; MDD7	flexionar os dedos
FI5	duas vezes
EMF47	(adicional) boca aberta

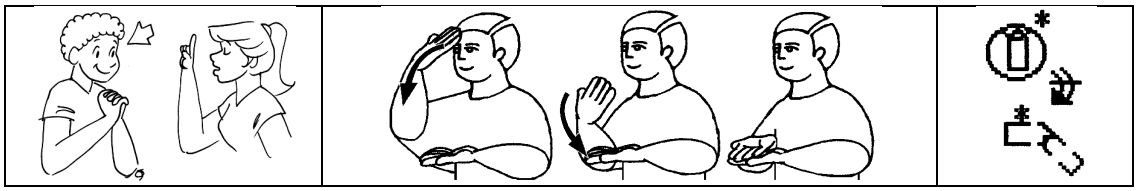

CRER, CRENÇA: (Fazer este sinal ACREDITAR: Mão vertical aberta, palma para trás, pontas dos dedos tocando a testa. Mover a mão para baixo, e bater o dorso dos dedos sobre a Palma Esquerda.)

AMD36	mão aberta
OMD5	vertical
OPD4	palma para trás
RF1; CP3	pontas dos dedos tocando a testa
MMD19; MMD9	mover a mão para baixo
RM18	bater o dorso dos dedos sobre a Palma Esquerda
AME36	(adicional) Mão Esquerda aberta
OME3	(adicional) Mão Esquerda para frente
OPE2	(adicional) Palma Esquerda para cima

Figura 5.11. Parte da entrada lexical dos sinais COMER-COMIDA e CRER-CRENÇA do *Novo Deit-Libras* (Capovilla, Raphael, & Mauricio, 2001a, 2001b). Abaixo da ilustração do significado e da forma do sinal, aparece a descrição dessa forma em Português, e sua versão no código alfanumérico do *BuscaSigno 2*. Assim, a sequência de células após cada verbete arrola os *SematosEmas-SignumÍculos* (codificados pelas letras) e seus respectivos níveis (codificados pelos números) que compõem cada sinal, conforme a sistematização feita no Anexo 2 (Figura de Capovilla & Raphael, 2006a, 2006b).

11.6. Anexo 6. O estudo experimental de Duduchi e Capovilla (2006): Análise do resgate de sinais lexicais de Libras a partir de sistema de busca baseado em menus *SematosÊmicos-SignumIculares* indexadores da estrutura sublexical dos sinais.

1.1: Objetivos e arrazoado

Em todo o mundo, os dicionários das línguas de sinais das diversas comunidades surdas trazem os sinais indexados pela ordem alfabética dos verbetes correspondentes a esses sinais na língua escrita do país em que vivem essas comunidades surdas. Isto significa que, para resgatar um determinado sinal, é preciso, sempre, antes, recorrer ao verbete que corresponde a esse sinal na língua escrita dos ouvintes do país em que vive o surdo. Tal estratégia de indexação dos sinais pela ordenação alfabética dos verbetes faz com que a língua escrita do país em que vive uma determinada comunidade surda (i.e., o Português escrito, o Inglês escrito, o Francês escrito) tenha de ser usada como ponte para poder fazer acesso à língua de sinais dessa comunidade. Tal estratégia pode ser adequada para um ouvinte que deseje encontrar qual é o sinal que corresponde a um determinado verbete em sua língua escrita. Assim, do ponto de vista desse ouvinte, para ser capaz de encontrar um determinado sinal desejado, basta simplesmente procurar no dicionário de sinais a palavra escrita cujo sinal ele pretende descobrir. Por outro lado, essa estratégia de indexação dos sinais pela ordenação alfabética dos verbetes correspondentes não é nada funcional para os membros da comunidade surda, já que requer que esses surdos usem um sistema de escrita que lhes é estrangeiro (já que transcreve a língua dos ouvintes, como o Português escrito, o Inglês escrito, o Francês escrito) como ponte para sua própria língua nativa. Em consequência, quando o surdo precisar consultar o dicionário para se certificar da precisão da articulação da forma ou do significado de um determinado sinal em que está pensando, ele se perceberá inteiramente incapaz de resgatar o sinal desejado para consulta sempre que desconhecer a palavra correspondente a esse sinal.

Tal dificuldade de obter acesso direto aos sinais do léxico das línguas de sinais pode ser completamente resolvida por meio do sistema computadorizado *BuscaSigno* com interface gráfica. Trata-se de um sistema de busca *SematosÊmica-SignumIcular* de sinais da Língua de Sinais Brasileira (Libras) que permite resgatar os sinais diretamente do léxico de Libras (i.e., banco de sinais), sem a necessidade de conhecer os verbetes do Português correspondentes aos sinais, sendo que esse resgate é feito selecionando diretamente com o mouse os parâmetros, *SematosEmas-SignumÍculos* e seus níveis do sinal alvo desejado. O presente estudo forneceu uma primeira avaliação preliminar da utilidade desse sistema para permitir resgatar os sinais de Libras. Para tanto, o estudo analisou o comportamento de recuperação lexical de sinais por parte de um usuário de *BuscaSigno* de modo a compreender o funcionamento desse sistema e as estratégias empregadas por parte desse usuário ingênuo, confrontado com mais de uma centena de sinais, para conseguir recuperar eficazmente esses sinais diretamente a partir do léxico de Libras.

O experimento objetivou avaliar preliminarmente a utilidade de *BuscaSigno*, com interface gráfica, como sistema de recuperação dos sinais da Língua de Sinais Brasileira, ou seja, como ferramenta de consulta direta ao léxico de sinais de Libras, sem a mediação do Português. A utilidade de *BuscaSigno* em permitir resgatar os sinais de Libras foi avaliada preliminarmente por meio da análise do comportamento de recuperação lexical de sinais por parte de um ouvinte ingênuo em relação à Libras, quando confrontado com a tarefa de resgatar uma série de sinais de Libras

que lhe são articulados ao vivo por um sinalizador fluente. Essa análise foi conduzida para compreender algumas variáveis de que esse comportamento de resgate lexical pode ser função. A tarefa do ouvinte ingênuo em relação à Libras constituía em observar uma série de sinais de Libras articulados ao vivo e usar *BuscaSigno* para recuperar o maior número possível desses sinais fazendo-o aparecer isoladamente na tela do computador. Foram selecionados 140 sinais para busca, que se distinguiam uns dos outros em termos do grau de dificuldade de recuperação lexical, tal como concebido conforme uma série de diferentes modelos teóricos. Assim, os sinais eram articulados ao vivo pelo experimentador, e deviam ser resgatados pelo participante a partir do banco de sinais da enciclopédia digital de Libras por meio do sistema de recuperação lexical de sinais *BuscaSigno* equipado com interface gráfica.

Portanto, para esse experimento, foi preparada uma sequência de 140 sinais de Libras, os quais foram articulados ao vivo, um a um, por um sinalizador fluente em Libras, e observados por um participante ingênuo em relação à Libras, cuja tarefa era, usando *BuscaSigno*, resgatar esses sinais do banco eletrônico de sinais de Libras, fazendo-o aparecer na tela do computador. Os sinais foram selecionados a partir do *Dicionário enciclopédico ilustrado da Língua de Sinais Brasileira* (F. Capovilla & Raphael, 2001b, 2001c), de acordo com a ordenação alfabética dos verbetes correspondentes. Nessa seleção, a partir do início do Dicionário (i.e., a partir dos sinais com verbetes iniciados pela letra A), foram selecionados os cinco primeiros sinais para compor um primeiro bloco; depois outros cinco sinais para compor um segundo bloco; depois ainda outros cinco sinais para compor um terceiro bloco, e assim por diante, até chegar a 140 sinais. Cada um dos cinco sinais de cada um dos blocos tinha um diferente nível de complexidade (i.e., de 1 a 5) de acordo com um modelo fenomenológico do grau de dificuldade experimentado pelo experimentador em descrever a estrutura sublexical *SematosÊmica-SignumIcular* de cada sinal. Durante a seleção dos 140 sinais para o experimento, todos os sinais do Dicionário foram examinados um a um, de modo que acabou sendo selecionado apenas o sinal que satisfizesse o critério de seleção do momento. Consequentemente, durante essa seleção, um grande número de sinais acabaram sendo frequentemente saltados. Por exemplo, após selecionar um sinal ilustrativo do nível de complexidade 1, buscava-se um sinal ilustrativo do nível de complexidade 2 para incluir como o próximo da lista, sendo que os sinais ilustrativos de todos os demais níveis de complexidade (i.e., 1, 3, 4 e 5) eram ignorados. Em seguida, encontrado esse sinal ilustrativo do nível de complexidade 2 que se estava buscando, era então buscado um sinal ilustrativo do nível de complexidade 3, sendo que, novamente, todos os sinais ilustrativos dos demais níveis de complexidade (i.e., 1, 2, 4 e 5) eram ignorados. E assim por diante. Isto explica a ordenação alfabética dos verbetes dos sinais 1 a 140 e, ao mesmo tempo, a ausência de uma série de sinais presentes no Dicionário com as letras iniciais selecionadas.

O estudo testou três modelos ou sistemas classificatórios de grau de dificuldade de recuperação lexical de sinais:

1: Um modelo mais fenomenológico, qualitativo e subjetivo, baseado na forma visível do sinal e na dificuldade experimentada em descrever a sua estrutura *SematosÊmica-SignumIcular;*

2: Um modelo aritmético operacional e objetivo baseado no índice aritmético de generalidade do sinal (média aritmética dos sinais evocados pelos *SematosEmas-SignumÍculos* que compõem o sinal);

3: Um modelo logarítmico operacional e objetivo baseado no índice logarítmico de generalidade do sinal (10 elevado à seguinte potência: soma dos logaritmos do número de sinais evocados pelos *SematosEmas-SignumÍculos*

que compõem o sinal dividida pelo número de níveis de *SematosEmas-SignumÍculos* que compõem esse sinal).

Os três modelos ou sistemas classificatórios de grau de dificuldade de recuperação lexical de sinais podem ser assim descritos:

2: Os modelos

2.1: O modelo fenomenológico baseado no aspecto geral do sinal

O *modelo fenomenológico* de dificuldade de recuperação lexical foi estabelecido a partir da dificuldade experimentada pelo programador de *BuscaSigno* durante a descrição e análise dos sinais para a sua indexação *SematosÊmica-SignumIcular,* quando da elaboração e programação de *BuscaSigno*. Esse modelo classifica os sinais em cinco categorias ou níveis de complexidade progressivos, proporcionais à dificuldade experimentada quando da descrição, e que estão relacionados a aspectos fenomenológicos do sinal. Os cinco níveis são os seguintes:

Os cinco níveis de complexidade são os seguintes:

Nível 1: O sinal envolve apenas uma mão, mas sem movimento, ou apenas com movimento simples;

Nível 2: O sinal envolve as duas mãos e o movimento delas é simétrico;

Nível 3: O sinal envolve as duas mãos, sendo que a Mão Direita é ativa e a Mão Esquerda é de apoio à direita;

Nível 4: O sinal é composto por dois sinais mais simples;

Nível 5: O sinal envolve quaisquer dos seguintes parâmetros:

5.1: Configuração de mão descrita com artifícios;

5.2: Movimento complexo da mão ou do corpo;

5.3: Expressão facial associada;

5.4: Relação entre mãos é complexa.

A expectativa experimental era de que quanto maior o nível de complexidade do sinal (i.e., estabelecido por meio dos aspectos fenomenológicos arrolados), tanto maior o grau de dificuldade de recuperação lexical desse sinal, que pode ser medido em termos do tempo e do número de toques despendidos na busca do sinal até a sua recuperação lexical efetiva.

2.2: O modelo operacional aritmético

O *modelo operacional aritmético* foi estabelecido a partir dos dados já constantes do sistema de indexação e do sistema de busca, e baseia-se no índice de generalidade dos sinais, que pode ser obtido objetivamente por qualquer pesquisador que tenha acesso aos sistemas de indexação e de busca *SematosÊmica-SignumIcular* de sinais (F. Capovilla, Duduchi, & Rozados, 2003a, 2003b). Para obter esse índice de generalidade de um dado sinal, basta proceder à seguinte sequência de operações:

2.1: Usando o sistema de indexação de sinais, digitar o nome do sinal e obter a sequência de níveis de *SematosEmas-SignumÍculos* que compõem a sua estrutura sublexical;

2.2: Usando o sistema de busca de sinais, selecionar cada um dos níveis de *SematosEma-SignumÍculo* componentes do sinal e anotar o número de sinais competidores que esse nível de *SematosEma-SignumÍculo* evoca ao lado do sinal alvo;

2.3: Somar o número de sinais competidores evocados por nível de *SematosEma-SignumÍculo* e dividir pelo número de níveis de *SematosEma-SignumÍculo*.

A expectativa experimental é de que quanto maior o índice de generalidade do sinal (i.e., quanto maior a média aritmética das frequências dos sinais evocados pelos *SematosEmas-SignumÍculos* componentes desse sinal), tanto maior o grau de dificuldade de recuperação lexical desse sinal, que pode ser medido em termos do tempo e do número de níveis de *SematosEmas-SignumÍculos* selecionados durante a busca do sinal, desde a sua articulação pelo examinador até a sua recuperação efetiva na tela de *BuscaSigno* pelo participante.

2.3: O modelo operacional logarítmico

O *modelo operacional logarítmico* foi estabelecido a partir do modelo aritmético. Contudo, em vez de simplesmente somar os valores brutos do número de sinais competidores evocados por nível de *SematosEma-SignumÍculo* e dividir essa soma pelo número de níveis de *SematosEma-SignumÍculo*, são primeiro extraídos os logaritmos desses valores brutos, e então essa soma dos logaritmos é dividida pelo número de níveis de *SematosEma-SignumÍculo*. A operação de extrair os logaritmos dos valores faz com que aumente o peso dos valores menores em relação aos maiores, o que é adequado, uma vez que se espera que os níveis de *SematosEma-SignumÍculo* que evocam poucos competidores tenham maior poder discriminativo e, portanto, maior utilidade em facilitar o resgate de sinais, ao passo que os níveis de *SematosEma-SignumÍculo* que evocam muitos competidores tenham menor poder discriminativo dentre sinais e, assim, menor importância para o resgate de sinais. Assim, espera-se que o poder preditivo do modelo logarítmico seja ainda melhor que o do modelo aritmético. Uma vez extraídos os logaritmos dos números de sinais evocados por nível de *SematosEma-SignumÍculo*, uma vez obtida a soma desses logaritmos e a divisão dessa soma pelo número de níveis de *SematosEma-SignumÍculo*, é então feito o caminho oposto ao da extração do logaritmo, com o retorno à escala aritmética (i.e., o valor resultante é tomado como expoente da potência à qual é elevado o número 10).

Novamente, a expectativa experimental é que quanto maior a média aritmética dos logaritmos das frequências dos sinais evocados pelos *SematosEmas-SignumÍculos* componentes de um determinado sinal, tanto maior o grau de dificuldade de recuperação lexical desse sinal, que pode ser medido em termos do tempo e do número de toques despendidos na busca do sinal desde a sua articulação pelo examinador até a sua recuperação efetiva na tela de *BuscaSigno* pelo participante.

O experimento contrastou os três modelos de grau de dificuldade em termos de seu poder preditivo da recuperação lexical de sinais, em termos de tempo despendido até a recuperação do sinal almejado e da frequência de toques (cliques com o mouse) despendidos até a recuperação do sinal almejado. Assim, essas duas *variáveis comportamentais*: (o tempo despendido, e a frequência de toques despendidos) foram analisadas como função das duas *variáveis independentes:* o nível de complexidade do sinal (i.e., modelo 1), e o índice de generalidade do sinal (i.e., modelo 2).

Para tanto foram feitas análises de regressão do tempo despendido e da frequência de toques despendidos sobre o nível de complexidade do sinal e o índice de generalidade do sinal. Além disso os índices de generalidade foram agrupados por faixas de generalidade, e foram conduzidas análises de variância e de covariância bifatorial com medidas repetidas, seguidas de análises de contrastes.

O experimento contrastou os três modelos de grau de dificuldade em termos de seu poder preditivo da recuperação lexical de sinais, em termos de tempo despendido até a recuperação do sinal almejado e da frequência de toques (cliques com o mouse) despendidos até a recuperação do sinal almejado. Assim, essas duas variáveis comportamentais (i.e., tempo despendido e frequência de toques despendidos) foram analisadas como função do modelo de nível de complexidade do sinal (i.e., modelo 1), do modelo aritmético de índice de generalidade do sinal (i.e., modelo 2), e do modelo logarítmico de grau de dificuldade (i.e., modelo 3).

Esses três modelos de grau de dificuldade (i.e., o fenomenológico, o aritmético e o logarítmico) propostos nesta tese e testados no experimento descrito propõem que quanto maior o nível de complexidade e o índice de generalidade do sinal, tanto maior o grau de dificuldade de recuperação lexical desse sinal, em termos do tempo despendido até a recuperação do sinal almejado e da frequência de toques (cliques com o mouse) despendidos na busca do sinal até a sua recuperação lexical efetiva na tela de *BuscaSigno* pelo participante. Para tanto foram conduzidas análises de regressão do tempo despendido e da frequência de toques despendidos sobre o nível de complexidade do sinal e o índice de generalidade do sinal. Espera-se que o modelo logarítmico seja superior ao aritmético, e que esse modelo aritmético seja superior ao modelo fenomenológico.

O arrazoado lógico é que se o modelo fenomenológico fracassasse isto significaria que não há qualquer correlação entre a dificuldade de descrever a estrutura *SematosÊmica-SignumIcular* dos sinais e a de recuperar esses sinais. Por outro lado, se o modelo aritmético tivesse sucesso, isto significaria que a dificuldade em evocar um dado sinal é diretamente proporcional ao número médio de sinais competidores que são evocados pelos níveis de *SematosEma-SignumÍculo* que compõem esse sinal. Ainda mais importante é que se o modelo logarítmico tivesse ainda maior sucesso, isto significaria que, dentre os níveis de *SematosEma-SignumÍculo* que compõem um determinado sinal, aqueles que evocam poucos sinais competidores são os mais importantes para permitir o resgate desse sinal. Como o modelo logarítmico confere um maior o peso aos níveis de *SematosEma-SignumÍculo* que evocam poucos competidores em relação aos níveis de *SematosEma-SignumÍculo* que evocam muitos competidores, se esses níveis de *SematosEma-SignumÍculo* pouco populares (i.e., que evocam poucos sinais competidores) fossem, mesmo, mais importantes em facilitar a recuperação lexical dos sinais que os demais níveis de *SematosEma-SignumÍculo*, então o modelo logarítmico deveria mostrar-se mais preditivo do grau de dificuldade de recuperação lexical dos sinais do que o aritmético.

No experimento, o experimentador articulava um sinal de Libras e a tarefa do usuário era fazer uso de *BuscaSigno* para fazer a recuperação lexical do sinal, isto é, para resgatar esse sinal do banco de dados da Enciclopédia Digital de Libras. O arrazoado lógico dos dois modelos objetivos baseados no índice de generalidade é simples. Antes de fazer uso de *BuscaSigno* para resgatar um dado sinal alvo observado, o usuário primeiro inspecionaria a forma (i.e., estrutura *SematosÊmica-SignumIcular* ou sublexical) dos sinais alvo buscando níveis de *SematosEma-SignumÍculo* nos quais basear a busca. Uma vez identificados elementos sublexicais a partir dos quais se pode iniciar a busca, o usuário começaria a selecionar na tela de *BuscaSigno* alguns desses níveis de *SematosEma-SignumÍculo* componentes do sinal como critérios de busca. Quanto maior a frequência de um dado nível de *SematosEma-SignumÍculo* na composição dos sinais de Libras, tanto maior o número de sinais competidores que aparecem na tela quando esse nível de *SematosEma-SignumÍculo* for selecionado. Inversamente, quanto mais rara for a ocorrência de um

dado nível de *SematosEma-SignumÍculo* no banco de sinais de Libras (i.e., quanto menor for a frequência desse nível de *SematosEma-SignumÍculo* na composição dos sinais de Libras), tanto menor o número de sinais competidores que aparecem na tela do sistema de busca quando esse nível de *SematosEma-SignumÍculo* for selecionado como critério de busca. Considerando todos os níveis de *SematosEma-SignumÍculo* que compõem um determinado sinal, quanto maior a frequência de ocorrência desses níveis de *SematosEma-SignumÍculo* na composição da estrutura lexical dos sinais de Libras, tanto menor o seu poder de resolução entre sinais, isto é, seu poder de distinguir entre o sinal alvo que se busca encontrar e os sinais competidores que se tenta eliminar ao longo da busca.

Assim, esses modelos se baseiam na generalidade de todos os níveis de *SematosEma-SignumÍculo* que compõem um dado sinal, que é medida pelo *índice de generalidade* desse sinal. O índice de generalidade de um sinal é diretamente proporcional à frequência de ocorrência dos níveis de *SematosEma-SignumÍculo* que compõem esse sinal no léxico documentado de Libras. No modelo aritmético simples, esse índice de generalidade de um sinal corresponde simplesmente à média aritmética das frequências de evocação de sinais competidores (i.e., à soma de todas as frequências de sinais evocados por todos os níveis de *SematosEma-SignumÍculo* componentes do sinal dividida pelo número desses níveis de *SematosEma-SignumÍculo* componentes de um dado sinal). Por outro lado, no modelo logarítmico, o índice de generalidade de um sinal corresponde à média aritmética dos logaritmos das frequências de evocação de sinais competidores (i.e., à soma de todos os logaritmos das frequências de sinais evocados por todos os níveis de *SematosEma-SignumÍculo* componentes do sinal dividida pelo número desses níveis de *SematosEma-SignumÍculo* componentes de um dado sinal).

De acordo com os modelos objetivos operacionais (i.e., o aritmético e o logarítmico), quanto maior o índice de generalidade do sinal (i.e., quanto menor a singularidade desse sinal), tanto maior deve ser o grau de dificuldade de sua recuperação lexical, que pode ser medido em termos do tempo de busca do sinal ou do número de toques despendidos nessa busca.

Esses modelos fazem uso de dados já constantes do banco dos sistemas de indexação e busca *SematosÊmica-SignumIcular* de sinais de Libras, e são baseados na análise fina dos níveis de *SematosEma-SignumÍculo* componentes da estrutura sublexical do sinal e no cômputo da frequência de sinais alternativos competidores que são evocados pela seleção de cada um desses níveis de *SematosEma-SignumÍculo*. Quanto maior essa frequência de sinais alternativos evocados por um dado nível de *SematosEma-SignumÍculo* componente, tanto maior a frequência de sinais que competem com o sinal alvo que se busca resgatar e, assim, tanto menor a utilidade desse nível de *SematosEma-SignumÍculo* em resgatar o sinal específico que se busca. Espera-se que o modelo logarítmico seja ainda mais sensível que o modelo aritmético, uma vez que a correção logarítmica reduz o peso dos níveis de *SematosEma-SignumÍculo* que evocam frequências elevadas de sinais competidores e aumenta o peso dos níveis de *SematosEma-SignumÍculo* que evocam frequências baixas de sinais competidores.

Os modelos objetivos baseados no índice de generalidade consideram toda a composição de níveis de *SematosEma-SignumÍculo* de cada um dos sinais, computam o número de sinais competidores que surgem na tela quando cada um desses níveis de *SematosEma-SignumÍculo* é selecionado, e obtêm a frequência média de competidores de cada sinal, que corresponde ao índice de generalidade desse sinal. No modelo aritmético, o grau de dificuldade de recuperação lexical de um determinado sinal corresponde ao índice de generalidade desse sinal, que equivale à frequência média de sinais competidores evocados, que consiste simplesmente na soma das frequências de competidores dos níveis de

SematosEma-SignumÍculo dividida pelo número de níveis de *SematosEma-SignumÍculo* envolvidos. Assim, no modelo aritmético, o índice de generalidade de um determinado sinal corresponde à média aritmética das frequências de competidores dos níveis de *SematosEma-SignumÍculo* envolvidos nesse sinal (i.e., à soma das frequências de sinais competidores evocados pelos níveis de *SematosEma-SignumÍculo* dividida pelo número de níveis de *SematosEma-SignumÍculo* que compõem o sinal). Já no modelo logarítmico, o grau de dificuldade de recuperação lexical de um determinado sinal corresponde ao índice de generalidade desse sinal, que equivale à média dos logaritmos das frequências de sinais competidores evocados, que consiste simplesmente na soma dos logaritmos das frequências de competidores dos níveis de *SematosEma-SignumÍculo* dividida pelo número de níveis de *SematosEma-SignumÍculo* envolvidos.

Nos dois modelos, é preciso obter a frequência de sinais competidores evocados para cada um dos níveis de *SematosEma-SignumÍculo* que compõem cada um dos sinais. Para tanto, antes de tudo, é preciso obter a sequência de níveis de *SematosEma-SignumÍculo* que constitui cada sinal e, então, substituir cada um dos níveis de *SematosEma-SignumÍculo* da sequência pela frequência de sinais competidores que aquele nível de *SematosEma-SignumÍculo* evoca. Feito isso, para obter a frequência média de sinais competidores evocados, no modelo aritmético, basta obter a soma das n frequências evocadas pelos n níveis de *SematosEma-SignumÍculo* que compõem o sinal e, então, dividir por esse número de níveis de v que compõem o sinal. Já no modelo logarítmico, é preciso primeiro obter o logaritmo de cada uma das frequências evocadas pelos *n* níveis de *SematosEma-SignumÍculo* e, então, somar esses n logaritmos e dividir pelo número de níveis de *SematosEma-SignumÍculo*.

Para obter a sequência de níveis de *SematosEma-SignumÍculo* que compõem um determinado sinal, basta consultar o sistema de indexação de sinais (F. Capovilla, Duduchi & Rozados, 2003a, 2003b), que já contém todos os sinais do léxico de Libras (compilado no *Dicionário enciclopédico ilustrado trilíngue da Língua de Sinais Brasileira*) já devidamente analisados em sua composição sublexical. No sistema de indexação, basta digitar o nome do sinal para obter a sequência alfanumérica correspondente, em que cada letra representa um *SematosEma-SignumÍculo* e cada número representa o nível de *SematosEma-SignumÍculo* correspondente a esse *SematosEma-SignumÍculo*. Para obter a frequência de sinais competidores que cada um dos níveis de *SematosEma-SignumÍculo* que compõem a estrutura sublexical dos sinais evoca, basta consultar o sistema de busca de sinais *BuscaSigno*. Nesse sistema, ao selecionar cada um dos níveis de *SematosEma-SignumÍculo* componentes de um determinado sinal, obtém-se o número de sinais competidores ao qual aquele determinado nível de *SematosEma-SignumÍculo* se aplica.

Este trabalho já foi feito, e o número de sinais competidores evocados por todos os níveis de *SematosEma-SignumÍculo* de Libras se encontra descrito no Anexo 2. Nesse anexo, ao lado de cada nível de *SematosEma-SignumÍculo* aparece um número seguido da abreviatura "compet." Por exemplo, ao lado do nível de *SematosEma-SignumÍculo* AMD1 (i.e., articulação da Mão Direita em **1**) aparece a observação: "418 comp." que significa que esse nível de *SematosEma-SignumÍculo* AMD1 evoca 418 sinais, isto é, que esse nível de *SematosEma-SignumÍculo* se aplica a 418 sinais. Do mesmo modo, conforme o mesmo Anexo 2 o nível de *SematosEma-SignumÍculo* AMD2 (i.e., articulação da Mão Direita em **2**) evoca 65 sinais, e o nível de *SematosEma-SignumÍculo* AMD3 evoca 27 sinais. Assim, o teor resolutivo do nível de *SematosEma-SignumÍculo* AMD3 é duas vezes maior que o de AMD2, e 15 vezes maior que o de AMD1. De acordo com esse modelo, espera-se que o grau de dificuldade de busca de um dado sinal seja diretamente proporcional à

frequência média de sinais competidores correspondentes à sequência de níveis de *SematosEma-SignumÍculo* que constitui cada sinal. Assim, a frequência média de competidores de um sinal composto dos níveis de *SematosEma-SignumÍculo* AMD2 e AMD3 é de 242 (i.e., [418 + 65]/2), ao passo que aquela de um sinal composto dos níveis de *SematosEma-SignumÍculo* AMD2 e AMD3 é de 64 (i.e., [65 + 27]/2). De acordo com o modelo, deveria ser mais difícil recuperar o primeiro sinal do que o segundo.

Esse estudo testou esse modelo e o contrastou com os outros dois modelos de grau de dificuldade: o logarítmico e o fenomenológico. Conforme o Anexo 2, cada um dos níveis de *SematosEma-SignumÍculo* de *BuscaSigno* foi selecionado e o número de sinais aos quais aquele nível de *SematosEma-SignumÍculo* se aplica foi registrado na célula descritiva de cada nível de *SematosEma-SignumÍculo*. Além disso, cada um dos 140 sinais selecionados para busca foi analisado em termos de sua composição *SematosÊmica-SignumIcular.* Para tanto, a partir do sistema de indexação *SematosÊmica-SignumIcular* dos sinais de Libras, foi recuperada a sequência alfanumérica de *SematosEmas-SignumÍculos* (representados na sequência por letras) e níveis de *SematosEma-SignumÍculo* (representados na sequência por números) que descreve a estrutura sublexical de cada sinal de Libras a ser buscado. Finalmente, foi obtido o índice de generalidade de cada sinal, que corresponde à média aritmética das frequências de sinais competidores evocados para cada um dos níveis de *SematosEma-SignumÍculo* componentes desse sinal.

A partir dos dados coletados com a condução do experimento foi possível conduzir as análises estatísticas inferenciais necessárias à avaliação da eficácia diferencial dos três modelos (i.e., o fenomenológico, o aritmético, e o logarítmico). Tais análises consistem em análise de regressão do tempo despendido na recuperação lexical de cada sinal e do número de níveis de *SematosEma-SignumÍculo* selecionados durante a recuperação lexical de cada sinal como função da classificação desses sinais em cada um dos três modelos (i.e., do nível de complexidade de 1 a 5 do modelo fenomenológico, do índice de generalidade de 400 a 1400 do modelo aritmético, e do índice de generalidade de 180 a 1180 do modelo logarítmico). O objetivo de selecionar um participante ingênuo em relação à Libras foi o de controlar o efeito do grau de familiaridade com os sinais, ou da frequência de ocorrência dos sinais no léxico *SematosÊmico* (ou vocabulário *SignumIcular*) do usuário. Como o participante era ingênuo em relação à Libras, todos os sinais tinham frequência de ocorrência nula em seu léxico *SematosÊmico* (ou vocabulário *SignumIcular*), portanto, o comportamento de recuperação lexical de sinais não foi afetado por essa frequência ou familiaridade do sinal.

Contudo, dada a novidade da situação para o participante, tanto em termos dos sinais que lhe eram desconhecidos quanto do sistema de busca que lhe era também completamente desconhecido, era esperado um período de adaptação à situação experimental, ou de constituição do *learning set*, em que o participante estava aprendendo a manejar o sistema e a responder eficientemente à situação experimental.

Foram conduzidas análises de regressão do tempo de busca e da frequência de toques de busca sobre o grau de dificuldade de acordo com os três modelos (i.e., o nível de complexidade dos sinais do modelo fenomenológico, o índice de generalidade dos sinais do modelo aritmético, e o nível de dificuldade do modelo logarítmico).

3: Conclusões do estudo

Este estudo considerou a dificuldade de recuperação lexical de sinais de Libras por parte de um usuário do sistema *BuscaSigno* como sendo proporcional a qualquer uma de duas medidas:

1: o tempo despendido na recuperação dos sinais (i.e., o tempo desde a articulação ao vivo do sinal pelo experimentador até o resgate efetivo desse sinal na tela do computador por parte do participante), e

2: a frequência de níveis de *SematosEma-SignumÍculo* selecionados até a recuperação lexical efetiva (i.e., o número de características que o participante selecionava até conseguir resgatar efetivamente o sinal na tela do computador).

Tomando essas duas medidas objetivas do grau de dificuldade de recuperação lexical dos sinais de Libras, este estudo testou o poder preditivo de três modelos de grau de dificuldade (i.e., os modelos fenomenológico, aritmético e logarítmico), e contrastou o poder preditivo dos três modelos.

O modelo fenomenológico concebe o grau de dificuldade de recuperação lexical dos sinais como sendo proporcional ao nível de complexidade envolvida na descrição da estrutura sublexical *SematosÊmica-SignumIcular* dos sinais. Conforme esse modelo, os sinais cuja descrição é mais simples (i.e., nível de complexidade 1) são aqueles que envolvem apenas uma mão, mas sem movimento, ou apenas com movimento simples. Os sinais com descrição um pouco menos simples (i.e., nível de complexidade 2) são aqueles que envolvem as duas mãos e o movimento delas é simétrico. Os sinais com descrição de complexidade intermediária (i.e., nível de complexidade 3) são aqueles que envolvem as duas mãos, sendo que a Mão Direita é ativa e a Mão Esquerda é de apoio à direita. Os sinais com descrição de complexidade um pouco maior (i.e., nível de complexidade 4: são aqueles compostos por dois sinais mais simples. Finalmente, os sinais cuja descrição é a mais difícil de todas (i.e., nível de complexidade 5) são aqueles que envolvem qualquer um dos seguintes parâmetros: Configuração de mão descrita com artifícios; movimento complexo da mão ou do corpo; expressão facial associada; relação entre mãos é complexa. O poder preditivo do modelo fenomenológico foi testado por meio de duas análises de regressão. Na primeira, foi feita a regressão do tempo despendido na recuperação dos sinais sobre o nível de complexidade desses sinais; na segunda, foi feita a regressão da frequência de níveis de *SematosEma-SignumÍculo* selecionados até a recuperação lexical efetiva dos sinais sobre o nível de complexidade desses sinais. Se o modelo fenomenológico funcionasse, então qualquer uma dessas análises teria produzido efeitos significativos, de preferência, ambas as análises. Contudo, os resultados revelaram que nenhuma das duas análises produziu efeito significativo. Tal ausência de evidência de que o modelo fenomenológico tenha qualquer valor preditivo significa que, aparentemente, não há relação entre o grau de dificuldade experimentado pela equipe de pesquisa em descrever a estrutura sublexical *SematosÊmica-SignumIcular* dos sinais e a dificuldade, experimentada por um participante ingênuo quanto à Libras, em resgatar esses sinais.

O modelo aritmético concebe o grau de dificuldade na recuperação lexical de um determinado sinal como sendo proporcional à média aritmética das frequências dos sinais evocados pelos níveis de *SematosEma-SignumÍculo* que compõem esse sinal. Ou seja, considerando que qualquer sinal é composto por um determinado número de níveis de *SematosEma-SignumÍculo*, e que cada nível de *SematosEma-SignumÍculo* evoca um determinado número de sinais competidores, quanto maior a frequência média de sinais competidores evocados pelos níveis de *SematosEma-SignumÍculo* que compõem um determinado sinal, tanto maior o índice de generalidade desse sinal e, portanto, tanto maior a dificuldade de sua recuperação lexical usando um sistema de busca. De acordo com esse modelo aritmético, o índice de generalidade de um determinado sinal equivale à frequência média de sinais competidores evocados pelos níveis de *SematosEma-SignumÍculo* que compõem

esse sinal. Tal frequência média de sinais competidores evocados pelos níveis de *SematosEma-SignumÍculo* componentes de um sinal é calculada da seguinte forma: primeiramente, todos os níveis de *SematosEma-SignumÍculo* que compõem um determinado sinal são registrados; em seguida, a frequência de sinais competidores que cada um desses níveis de *SematosEma-SignumÍculo* evoca é obtida; por último, todas essas frequências são somadas, e essa soma é dividida pelo número de níveis de *SematosEma-SignumÍculo*.

O poder preditivo do modelo aritmético foi testado por meio de duas análises de regressão. Na primeira, foi feita a regressão do tempo despendido na recuperação dos sinais sobre o nível de complexidade desses sinais; na segunda, foi feita a regressão da frequência de níveis de *SematosEma-SignumÍculo* selecionados até a recuperação lexical efetiva dos sinais sobre o nível de complexidade desses sinais. Se o modelo aritmético funcionasse, então qualquer uma dessas análises teria produzido efeitos significativos, de preferência, ambas as análises. De fato, os resultados revelaram que ambas as análises produziram efeitos significativos, sendo que o modelo aritmético é capaz de predizer tanto o tempo despendido durante a busca de sinais quanto o número de níveis de *SematosEma-SignumÍculo* selecionados nessa busca até a recuperação efetiva dos sinais. Tais dados significam que o grau de dificuldade de recuperação lexical de um determinado sinal é diretamente proporcional ao índice de generalidade desse sinal, o qual pode ser obtido simplesmente calculando a frequência média de sinais competidores evocados pelos níveis de *SematosEma-SignumÍculo* que compõem esse sinal. A análise da estrutura sublexical dos sinais que compõem o léxico de Libras permite obter a frequência de ocorrência de cada um dos níveis de *SematosEma-SignumÍculo* no léxico de sinais de Libras; sendo que o poder de resolução de um determinado nível de *SematosEma-SignumÍculo* em propiciar a recuperação lexical dos sinais é inversamente proporcional à frequência de ocorrência desse nível de *SematosEma-SignumÍculo* no léxico de Libras. Assim, quanto menor a frequência de ocorrência de um determinado nível de *SematosEma-SignumÍculo* no léxico de sinais de Libras (i.e., quanto mais raro o nível de *SematosEma-SignumÍculo*), tanto maior é a sua utilidade de sua seleção como recurso de recuperação lexical dos sinais; e, reciprocamente, quanto maior a frequência de ocorrência (i.e., quanto mais comum o nível de *SematosEma-SignumÍculo*), tanto menor a sua utilidade.

11.7. Anexo 7. Sinais que ilustram a estrutura *SematosÊmica-SignumIcular* de Libras com todos os 535 *SematosEmas-SignumÍculos*, com incidência geral.

Parâmetro 1: Mão(s): *Quirós-Manus*. Níveis:
1.1: AM: Articulação da(s) Mão(s). Subníveis:
1.1.1: AMD: Articulação da Mão Direita
(*DexiQuiriFormEmas-DestroManusFormÍculos*)

Houve 65 *DexiQuiriFormEmas-DestroManusFormÍculos*, dos quais 18 canônicos (acima da média) e 47 não canônicos (abaixo da média).

As Tabelas 7.1 a 7.3 apresentam ilustrações de sinais que contêm os 18 *DexiQuiriFormEmas-DestroManusFormÍculos* canônicos, com incidência acima da média de 364 no *corpus* de 13.500 sinais de Libras.

As Tabelas 7.4 a 7.11 apresentam ilustrações de sinais que contêm os 47 *DexiQuiriFormEmas-DestroManusFormÍculos* não canônicos, com incidência abaixo da média de 364 no *corpus* de 13.500 sinais de Libras.

Esses *MascarasCinesEmas-PersonaMotusÍculos* e respectivos sinais ilustrativos são:

1: *Mão aberta*, ilustrada no sinal À FRENTE;
2: *Mão em **S**, fechada*, ilustrada em ABORTAR;
3: *Mão* em ***8***, ilustrada em AGREDIR;
4: *Mão* em ***1***, ilustrada em ACENTO GRAVE;
5*: Mão* em ***D***, ilustrada em ADIVINHAR;
6: *Mão* em ***A***, ilustrada em ADÃO;
7: *Mão aberta com os dedos separados e curvados*, ilustrada em ABASTADO;
8: *Mão* em ***L***, ilustrada em ALEMÃO;
9: *Mão* em ***2***, ilustrada em ANDAR (a pé);
10: *Mão* em ***V***, ilustrada em ANTENA;
11: *Mão com pontas dos dedos unidas*, ilustrada em AFILHADO;
12: em ***C***, ilustrada em AQUECER;
13: *Mão fechada com indicador e polegar distendidos e paralelos*, ilustrada em ADORMECER;
14: *Mão* em ***U***, ilustrada em CIRURGIA;
15: *Mão fechada com dedos polegar e indicador distendidos unidos pelas pontas*, ilustrada em CAPITAL (financeiro);
16: *Mão aberta com dedos polegar e indicador unidas*, ilustrada em CABELO;
17: *Mão* em ***B*** ilustrada em DOCE;
18: *Mão* em ***N***, ilustrada em A NORTE.

Tabela 7.1. Sinais que contêm os 18 *DexiQuiriFormEmas-DestroManusFormÍculos* canônicos, com incidência acima da média de 432 no *corpus* de 13.500 sinais de Libras. Parte 1: *DexiQuiriFormEmas-DestroManusFormÍculos* 1º ao 6º. Ordem e Incidência Absoluta de cada *SematosEma* de Articulação de Mão Direita no *corpus*.

Ord e IA	***DexiQuiriFormEmas-DestroManusFormÍculos***	**Sinal exemplo**
1º 5232	 AMD36: mão aberta	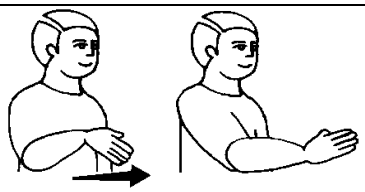 À FRENTE
2º 2633	 AMD28: mão em **S**, fechada	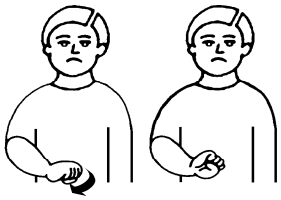 ABORTAR (provocado), ABORTO
3º 2343	 AMD8: mão em **8**	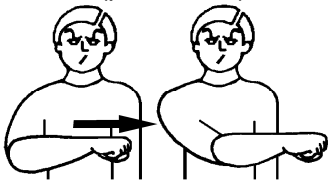 AGREDIR
4º 1823	 AMD1: mão em **1**	 ACENTO GRAVE (sinal diacrítico)
5º 1630	 AMD13: mão em **D**	 ADIVINHAR
6º 1189	 AMD10: mão em **A**	 ADÃO (religião)

Tabela 7.2. Sinais que contêm os 18 *DexiQuiriFormEmas-DestroManusFormÍculos* canônicos, com incidência acima da média de 432no *corpus* de 13.500 sinais de Libras. Parte 2: *DexiQuiriFormEmas-DestroManusFormÍculos* 7º ao 12º. Ordem e Incidência Absoluta de cada *SematosEma* de Articulação de Mão Direita no *corpus*.

Ord e IA	***DexiQuiriFormEmas-DestroManusFormÍculos***	**Sinal exemplo**
7º 801	 AMD39: mão aberta com os dedos separados e curvados	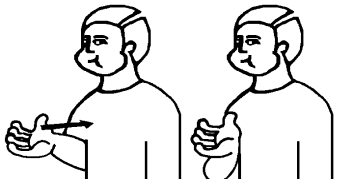 ABASTADO
8º 797	 AMD21: mão em **L**	 ALEMANHA, ALEMÃO (alemã), ALEMÃO
9º 712	 AMD2: mão em **2**	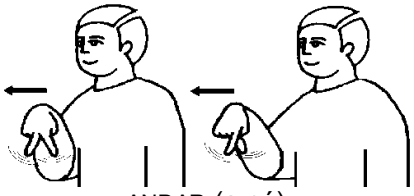 ANDAR (a pé)
10º 711	 AMD31: mão em **V**	 ANTENA (inseto)
11º 656	 AMD41: mão com pontas dos dedos unidas	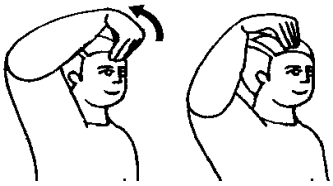 AFILHADO
12º 652	 AMD12: mão em **C**	 AQUECER

Tabela 7.3. Sinais que contêm os 18 *DexiQuiriFormEmas-DestroManusFormÍculos* canônicos, com incidência acima da média de 432no *corpus* de 13.500 sinais de Libras. Parte 3: *DexiQuiriFormEmas-DestroManusFormÍculos* 13º ao 18º. Ordem e Incidência Absoluta de cada *SematosEma* de Articulação de Mão Direita no *corpus*.

Ord e IA	***DexiQuiriFormEmas-DestroManusFormÍculos***	**Sinal exemplo**
13º 582	 AMD44: mão fechada com indicador e polegar distendidos e paralelos	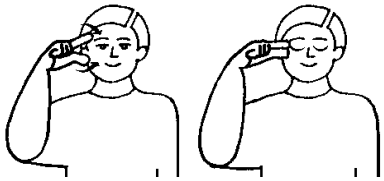 ADORMECER
14º 531	 AMD30: mão em U	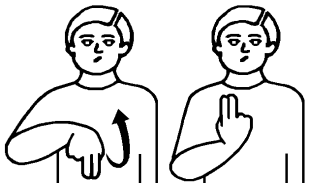 CIRURGIA
15º 518	 AMD48: mão fechada com dedos polegar e indicador distendidos unidos pelas pontas	 CAPITAL (financeiro)
16º 485	 AMD46: mão aberta com dedos polegar e indicador unidas	 CABELO
17º 484	 AMD11: em **B**	 DOCE
18º 452	 AMD23: em **N**	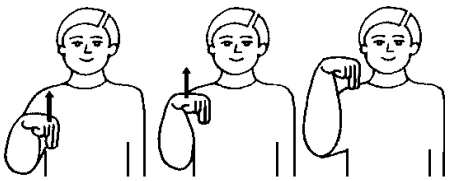 A NORTE

As Tabelas 7.4 a 7.11 apresentam as ilustrações dos sinais que contêm os 47 *DexiQuiriFormEmas-DestroManusFormÍculos* não canônicos, com incidência abaixo da média de 432 no *corpus* de 13.500 sinais de Libras.

Tabela 7.4. Sinais que contêm os 47 *DexiQuiriFormEmas-DestroManusFormÍculos* não canônicos, com incidência abaixo da média de 432 no *corpus* de 13.500 sinais de Libras. Parte 4: *DexiQuiriFormEmas-DestroManusFormÍculos* 19º ao 24º. Ordem e Incidência Absoluta de cada *SematosEma* de Articulação de Mão Direita no *corpus*.

Ord e IA	***DexiQuiriFormEmas-DestroManusFormÍculos***	**Sinal exemplo**
19º 417	 AMD5: em **5**	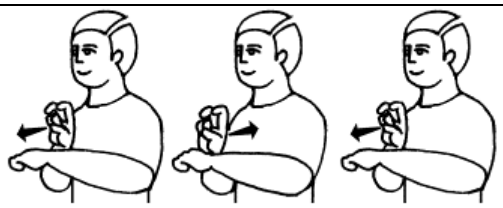 ARÁBIA SAUDITA, ÁRABE
20º 394	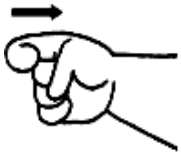 AMD33: em **X**	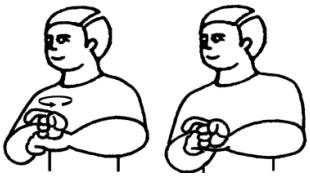 ADJETIVO
21º 365	 AMD24: em **O**	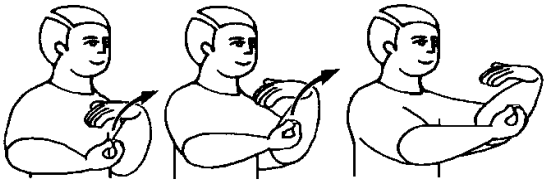 AERÓSTATO
22º 365	 AMD34: em **Y**	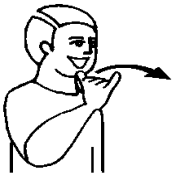 ACONSELHAR (*falar*, *recomendar*
23º 338	 AMD25: em **P**	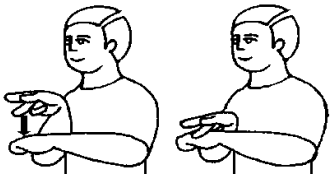 PRATA
24º 304	 AMD38: fechada com polegar distendido	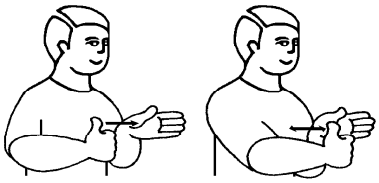 TACHINHA

Tabela 7.5. Sinais que contêm os 47 *DexiQuiriFormEmas-DestroManusFormÍculos* não canônicos, com incidência abaixo da média de 432 no *corpus* de 13.500 sinais de Libras. Parte 5: *DexiQuiriFormEmas-DestroManusFormÍculos* 25º ao 30º. Ordem e Incidência Absoluta de cada *SematosEma* de Articulação de Mão Direita no *corpus*.

Ord e IA	***DexiQuiriFormEmas-DestroManusFormÍculos***	**Sinal exemplo**
25º 302	 AMD18: em **I**	 IBIRAPUERA
26º 294	 AMD47: mão fechada com dedos polegar e indicador separados e curvados	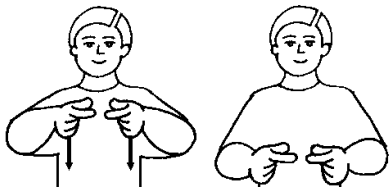 LOCAL, LOCALIDADE, LOCALIZAÇÃO
27º 251	 AMD27: em **R**	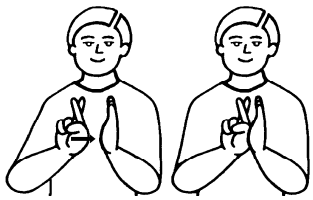 REGIMENTO
28º 241	 AMD37: curvada	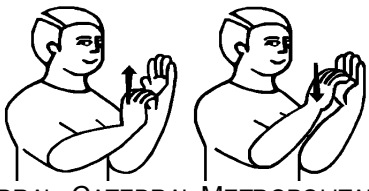 CATEDRAL, CATEDRAL METROPOLITANA DE FORTALEZA
29º 220	 AMD15: em **F**	 FEDERAÇÃO
30º 214	 AMD54: mão fechada com dedos polegar e indicador distendidos	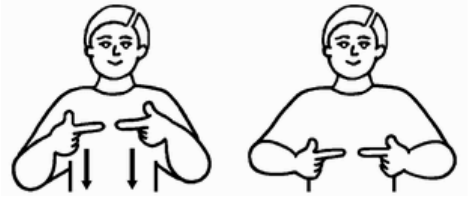 ASSEIO PESSOAL (higiene)

Tabela 7.6. Sinais que contêm os 47 *DexiQuiriFormEmas-DestroManusFormÍculos* não canônicos, com incidência abaixo da média de 432 no *corpus* de 13.500 sinais de Libras. Parte 6: *DexiQuiriFormEmas-DestroManusFormÍculos* 31º ao 36º. Ordem e Incidência Absoluta de cada *SematosEma* de Articulação de Mão Direita no *corpus*.

Ord e IA	***DexiQuiriFormEmas-DestroManusFormÍculos***	**Sinal exemplo**
31º 190	 AMD22: em **M**	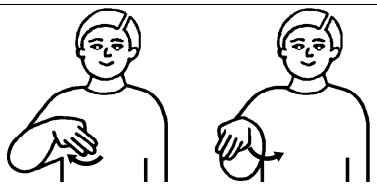 MONITOR (*assistente*)
32º 173	 AMD4: em **4**	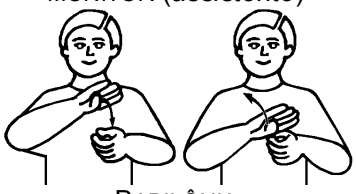 BABILÔNIA
33º 171	 AMD49: mão aberta com dedos polegar e médio unidos pelas pontas	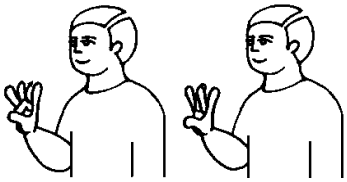 SÓ
34º 167	 AMD3: em **3**	 CAPITÃO (exército)
35º 165	 AMD14: em **E**	 EQUADOR, EQUATORIANO
36º 157	 AMD42: aberta com dedos flexionados e polegar distendido	 OBEDECER, OBEDIÊNCIA

Tabela 7.7. Sinais que contêm os 47 *DexiQuiriFormEmas-DestroManusFormÍculos* não canônicos, com incidência abaixo da média de 432 no *corpus* de 13.500 sinais de Libras. Parte 7: *DexiQuiriFormEmas-DestroManusFormÍculos* 37º ao 42º. Ordem e Incidência Absoluta de cada *SematosEma* de Articulação de Mão Direita no *corpus*.

Ord e IA	***DexiQuiriFormEmas-DestroManusFormÍculos***	**Sinal exemplo**
37º 111	 AMD29: em **T**	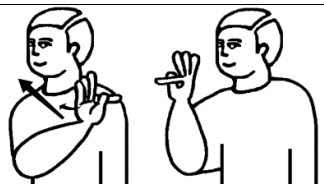 TEOLOGIA
38º 108	 AMD43: aberta com dedos flexionados e polegar paralelo	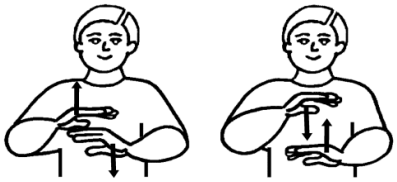 MOLA
39º 103	 AMD16: em **G**	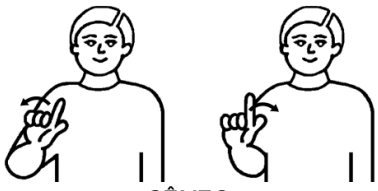 GÊMEO
40º 99	 AMD55: mão fechada com dedos polegar e indicador e médio distendidos	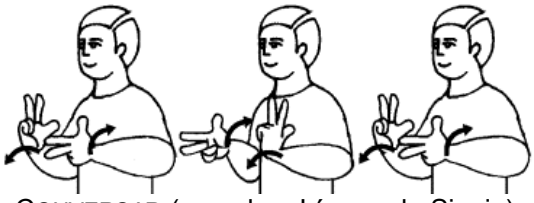 CONVERSAR (usando a Língua de Sinais), CONVERSA, CONVERSAÇÃO, CONVERSADO
41º 92	 AMD19: em **J**	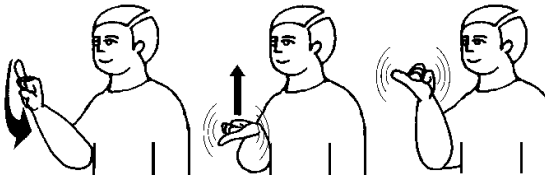 JUROS
42º 92	 AMD50: mão fechada com dedos indicador e mínimo distendidos	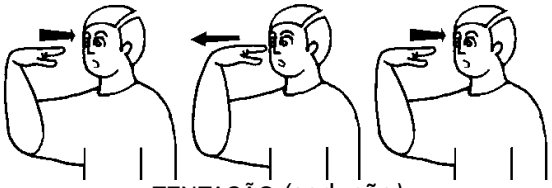 TENTAÇÃO (sedução)

Tabela 7.8. Sinais que contêm os 47 *DexiQuiriFormEmas-DestroManusFormÍculos* não canônicos, com incidência abaixo da média de 432 no *corpus* de 13.500 sinais de Libras. Parte 8: *DexiQuiriFormEmas-DestroManusFormÍculos* 43º ao 49º. Ordem e Incidência Absoluta de cada *SematosEma* de Articulação de Mão Direita no *corpus*.

Ord e IA	***DexiQuiriFormEmas-DestroManusFormÍculos***	**Sinal exemplo**
43º 56	 AMD32: em **W**	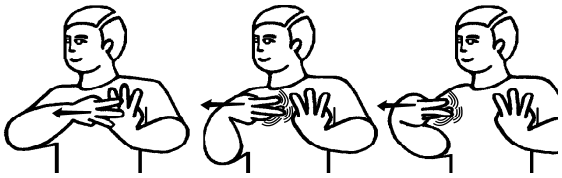 WINDOWS
44º 56	 AMD45: mão aberta com dedos soltos	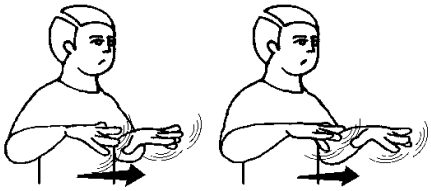 MOVIMENTO (pessoas)
45º 55	 AMD26: em **Q**	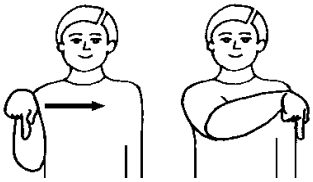 QUÍMICA
46º 47	 AMD9: em **9**	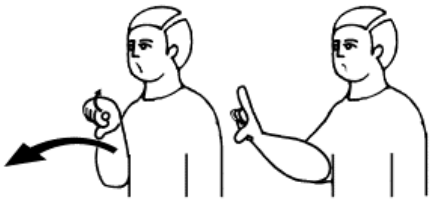 OFENDER, OFENSA
47º 46	 AMD6: em **6**	 SEXTA-FEIRA
48º 33	 AMD17: em **H**	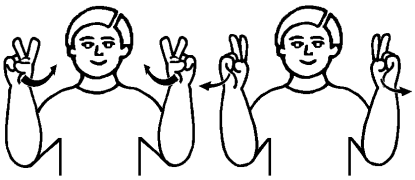 HIPPIE (moda)
49º 30	 AMD35: em Z	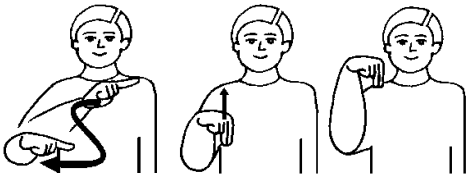 Zona Norte

Tabela 7.9. Sinais que contêm os 47 *DexiQuiriFormEmas-DestroManusFormÍculos* não canônicos, com incidência abaixo da média de 432 no *corpus* de 13.500 sinais de Libras. Parte 9: *DexiQuiriFormEmas-DestroManusFormÍculos* 50º ao 55º. Ordem e Incidência Absoluta de cada *SematosEma* de Articulação de Mão Direita no *corpus*.

Ord e IA	***DexiQuiriFormEmas-DestroManusFormÍculos***	**Sinal exemplo**
50º 27	 AMD7: em **7**	 NÚMERO SETE
51º 26	 AMD57: mão fechada com indicador destacado	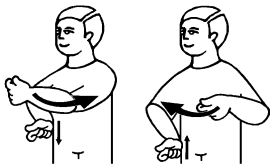 PULVERIZADOR
52º 18	 AMD20: em **K**	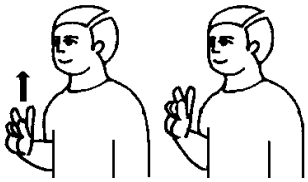 QUILO, QUILOGRAMA
53º 16	 AMD52: mão aberta com polegar e indicador distendidos e paralelos	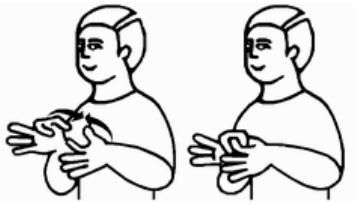 INTEGRAR, INTEGRAR-SE
54º 16	 AMD53: mão fechada com dedo polegar distendido e indicador e médio entrelaçados	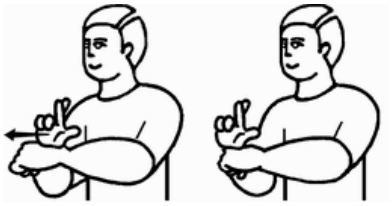 LOJAS RIACHUELO
55º 13	 AMD40: em Ç	 RAÇA

Tabela 7.10. Sinais que contêm os 47 *DexiQuiriFormEmas-DestroManusFormÍculos* não canônicos, com incidência abaixo da média de 432 no *corpus* de 13.500 sinais de Libras. Parte 10: *DexiQuiriFormEmas-DestroManusFormÍculos* 56º ao 59º. Ordem e Incidência Absoluta de cada *SematosEma* de Articulação de Mão Direita no *corpus*.

Ord e IA	***DexiQuiriFormEmas-DestroManusFormÍculos***	**Sinal exemplo**
56º 12	 AMD61: mão fechada com dedos polegar, indicador e mínimo distendidos	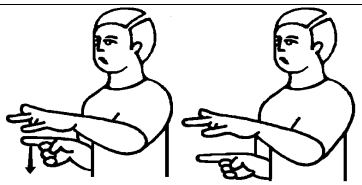 BOMBARDEAR
57º 10	 AMD63: mão fechada com dedos polegar, indicador e médio distendidos e unidos.	 ASSOCIAÇÃO DE SURDOS DE PATOS
57º 10	 AMD51: mão fechada com dedo indicador distendido e polegar e médio unidos pelas pontas	 DURAR
58º 8	 AMD56: mão fechada em **I** com polegar distendido na lateral	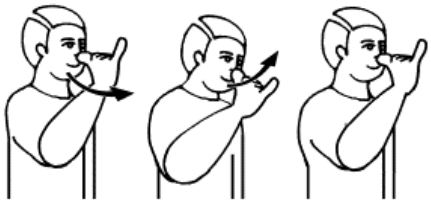 RINOCERONTE
59º 6	 AMD59: mão aberta com polegar e anelar distendidos e tocando-se pelas pontas	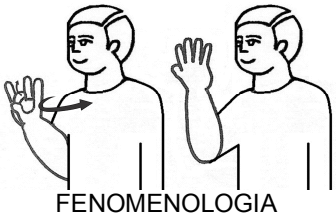 FENOMENOLOGIA

Tabela 7.11. Sinais que contêm os 47 *DexiQuiriFormEmas-DestroManusFormÍculos* não canônicos, com incidência abaixo da média de 432 no *corpus* de 13.500 sinais de Libras. Parte 11: *DexiQuiriFormEmas-DestroManusFormÍculos* 60º ao 62º. Ordem e Incidência Absoluta de cada *SematosEma* de Articulação de Mão Direita no *corpus*. Incidência total de *SematosEmas* AMD: soma de todas as ocorrências de AMD no *corpus*. Total de tipos de *SematosEmas* AMD. Incidência média de cada tipo de *SematosEma* AMD: Incidência total (de *SematosEmas* AMD) dividida pelo total de tipos de AMD.

Ord e IA	***DexiQuiriFormEmas-DestroManusFormÍculos***	**Sinal exemplo**
60º 5	 AMD62: mão aberta com dedo médio curvado	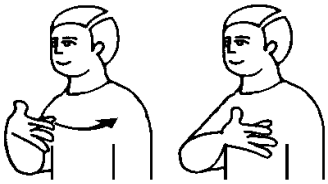 SAÚDE
61º 4	 AMD58: mão em **1** com indicador dobrado	 APITAR
62º 1	 AMD60: mão fechada com dedos indicador e mínimo distendidos e polegar, médio e anelar distendidos, tocando-se pelas pontas	 BOLÍVIA
62º 1	 AMD64: mão em **O** com dedo mínimo distendido	 ANDROID
62º 1	 AMD65: mão fechada com dedos distendidos com ponta do dedo médio tocando unha do dedo indicador	 ESPIAR
	Incidência total de *SematosEmas* AMD	28.064
	Total de tipos de *SematosEmas* AMD	65
	Incidência média de cada tipo de *SematosEma* AMD	432

1.1.2: AME: Articulação da Mão Esquerda (*AristeroQuiriFormEmas-SinistraManusFormÍculos*)

Houve 65 *AristeroQuiriFormEmas-SinisteraManusFormÍculos*, dos quais 12 canônicos (acima da média) e 53 não canônicos (abaixo da média).

As Tabelas 7.12 e 7.13 apresentam as ilustrações dos sinais que contêm os 12 *AristeroQuiriFormEmas-SinisteraManusFormÍculos* canônicos, com incidência acima da média de 208 no *corpus* de 13.500 sinais de Libras. Esses *AristeroQuiriFormEmas-SinisteraManusFormÍculos* e respectivos sinais ilustrativos são:

1: *Mão aberta*, ilustrada no sinal À VISTA;
2: *Mão em **S**, fechada*, ilustrada no sinal ABACAXI;
3: *Mão em **8***, ilustrada no sinal ANDAR (a cavalo);
4: *Mão em **1***, ilustrada no sinal VELA;
5: *Mão em **D***, ilustrada no sinal AIDS (Síndrome da Imunodeficiência Adquirida);
6: *Mão de apoio aberta com os dedos separados e curvados*, ilustrada no sinal CAULE;
7: *Mão de apoio em C*, ilustrada no sinal ABSTRATO;
8: *Mão em **A***, ilustrada no sinal AMÉM;
9: *Mão de apoio em **L***, ilustrada no sinal FILMAR.
10: *Mão em **5**,* ilustrada no sinal AGRICULTURA;
11: *Mão aberta com dedos polegar e indicador unido pelas pontas*, ilustrada no sinal ALTURA e
12: *Mão fechada com dedos polegar e indicador separados e curvados*, ilustrada no sinal ALVO (MIRA).

Tabela 7.12. Sinais que contêm os 12 *AristeroQuiriFormEmas-SinisteraManusFormÍculos* canônicos, com incidência acima da média de 208 no *corpus* de 13.500 sinais de Libras. Parte 1: *AristeroQuiriFormEmas-SinistraManusFormÍculos* 1º ao 6º. Ordem e Incidência Absoluta de cada *SematosEma* de Articulação de Mão Esquerda no *corpus*.

Ord e IA	***AristeroQuiriFormEmas - SinistraManusFormÍculos***	**Sinal exemplo**
1º 4330	 AME36: mão de apoio aberta	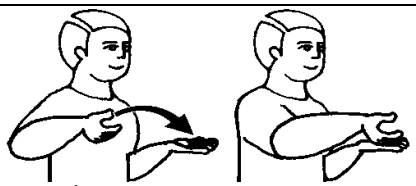 À VISTA (pagar à vista)
2º 1582	 AME28: mão de apoio em **S**, fechada	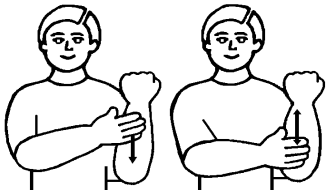 ABACAXI
3º 1448	 AME8: mão de apoio em **8**	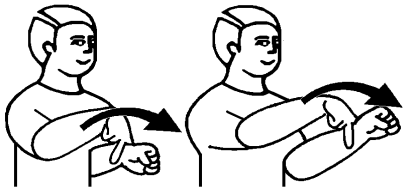 ANDAR (a cavalo)
4º 790	 AME1: mão de apoio em **1**	 VELA
5º 684	 AME13: mão de apoio em **D**	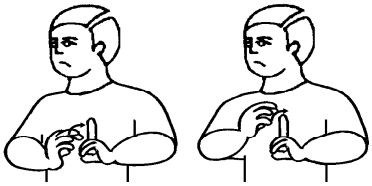 AIDS (Síndrome da Imunodeficiência Adquirida)
6º 433	 AME39: mão de apoio aberta com os dedos separados e curvados	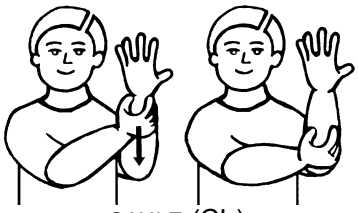 CAULE (CL)

Tabela 7.13. Sinais que contêm os 12 *AristeroQuiriFormEmas-SinisteraManusFormÍculos* canônicos, com incidência acima da média de 208 no *corpus* de 13.500 sinais de Libras. Parte 2: *AristeroQuiriFormEmas-SinistraManusFormÍculos* 7º ao 12º. Ordem e Incidência Absoluta de cada *SematosEma* de Articulação de Mão Esquerda no *corpus*.

Ord e IA	***AristeroQuiriFormEmas - SinistraManusFormÍculos***	**Sinal exemplo**
7º 404	 AME12: mão de apoio em **C**	 ABSTRATO
8º 403	 AME10: mão de apoio em **A**	 AMÉM
9º 291	 AME21: mão de apoio em **L**	 FILMAR (CL)
10º 232	 AME5: em **5**	 AGRICULTURA
11º 221	 AME46: mão aberta com dedos polegar e indicador unidas	 ALTURA
12º 215	 AME47: mão fechada com dedos polegar e indicador separados e curvados	 ALVO (mira)

As Tabelas 7.14 a 7.23 apresentam as ilustrações dos sinais que contêm os 53 *AristeroQuiriFormEmas-SinisteraManusFormÍculos-SinisteraManusFormÍculos* não-canônicos, com incidência incidência abaixo da média de 208 no *corpus* de 13.500 sinais de Libras.

Tabela 7.14. Sinais que contêm os 53 *AristeroQuiriFormEmas-SinisteraManusFormÍculos-SinisteraManusFormÍculos* não-canônicos, com incidência abaixo da média de 208 no *corpus* de 13.500 sinais de Libras. Parte 3: *AristeroQuiriFormEmas-SinistraManusFormÍculos* 13º ao 17º. Ordem e Incidência Absoluta de cada *SematosEma* de Articulação de Mão Esquerda no *corpus*.

Ord e IA	***AristeroQuiriFormEmas - SinistraManusFormÍculos***	**Sinal exemplo**
13º 197	 AME41: com pontas dos dedos unidas	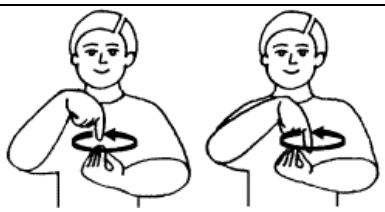 AO REDOR DE
14º 169	 AME24: em **O**	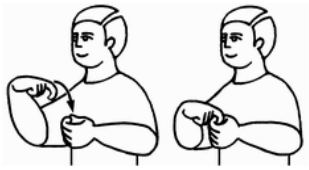 ASSOCIAR-SE (tornar-se sócio em negócios)
15º 160	 AME44: fechada com dedos indicador e polegar distendidos e paralelos	 AMBIÇÃO
16º 158	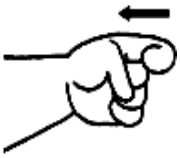 AME33: em **X**	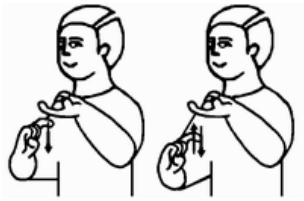 BALANÇA (peixeira)
17º 150	 AME31: em **V**	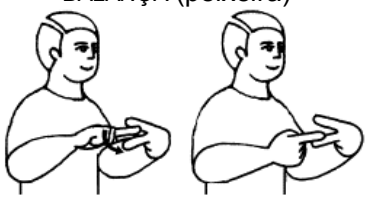 ÂNGULO

Tabela 7.15. Sinais que contêm os 53 *AristeroQuiriFormEmas-SinisteraManusFormÍculos-SinisteraManusFormÍculos* não-canônicos, com incidência abaixo da média de 208 no *corpus* de 13.500 sinais de Libras. Parte 4: *AristeroQuiriFormEmas-SinistraManusFormÍculos* 18º ao 23º. Ordem e Incidência Absoluta de cada *SematosEma* de Articulação de Mão Esquerda no *corpus*.

Ord e IA	***AristeroQuiriFormEmas - SinistraManusFormÍculos***	**Sinal exemplo**
18º 146	 AME2: em **2**	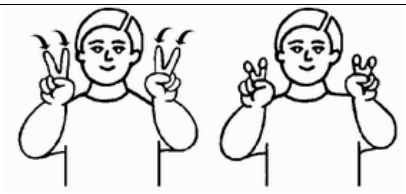 ASPAS
19º 142	 AME30: em **U**	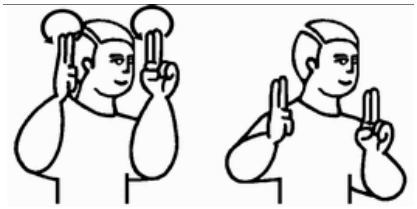 CARNEIRO
20º 131	 AME37: curvada	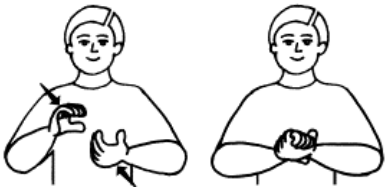 CASAL
21º 106	 AME38: fechada com polegar distendido	 AJUDAR
22º 105	 AME11: em **B**	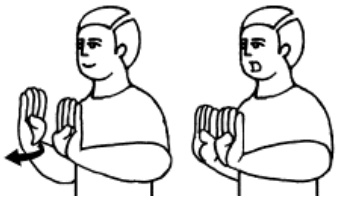 BATER (porta)
23º 98	 AME34: em **Y**	 BÚFALO

Tabela 7.16. Sinais que contêm os 53 *AristeroQuiriFormEmas-SinisteraManusFormÍculos-SinisteraManusFormÍculos* não-canônicos, com incidência abaixo da média de 208 no *corpus* de 13.500 sinais de Libras. Parte 5: *AristeroQuiriFormEmas-SinistraManusFormÍculos* 24º ao 29º. Ordem e Incidência Absoluta de cada *SematosEma* de Articulação de Mão Esquerda no *corpus*.

Ord e IA	***AristeroQuiriFormEmas - SinistraManusFormÍculos***	**Sinal exemplo**
24º 94	 AME23: em **N**	 CADEIRA
25º 88	 AME48: mão fechada com dedos polegar e indicador distendidos unidos pelas pontas	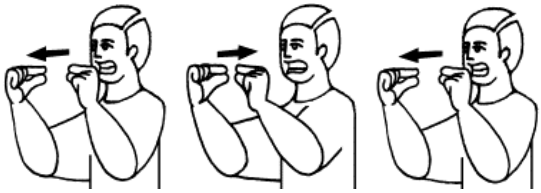 FIO DENTAL, FITA DENTAL
26º 74	 AME54: mão fechada com dedos polegar e indicador distendidos	 CÂMARA FOTOGRÁFICA
27º 72	 AME49: mão aberta com dedos polegar e médio unidos pelas pontas	 CONEXÃO (vínculo)
28º 60	 AME42: aberta com dedos flexionados e polegar distendido	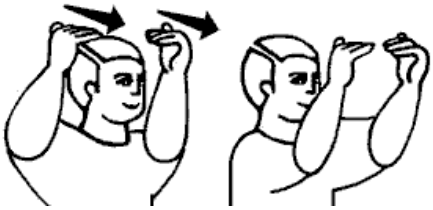 ABRIGO (cobertura, teto)
29º 59	 AME4: em **4**	 CARTAS (baralho)

Tabela 7.17. Sinais que contêm os 53 *AristeroQuiriFormEmas-SinisteraManusFormÍculos-SinisteraManusFormÍculos* não-canônicos, com incidência abaixo da média de 208 no *corpus* de 13.500 sinais de Libras. Parte 6: *AristeroQuiriFormEmas-SinistraManusFormÍculos* 30º ao 33º. Ordem e Incidência Absoluta de cada *SematosEma* de Articulação de Mão Esquerda no *corpus*.

Ord e IA	***AristeroQuiriFormEmas - SinistraManusFormÍculos***	**Sinal exemplo**
30º 50	 AME25: em **P**	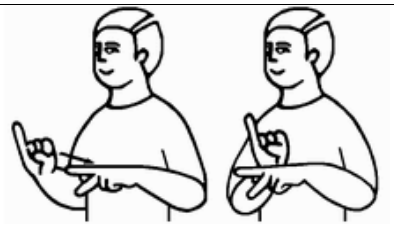 ITAIM PAULISTA (bairro de São Paulo, SP)
30º 50	 AME45: mão aberta com dedos soltos	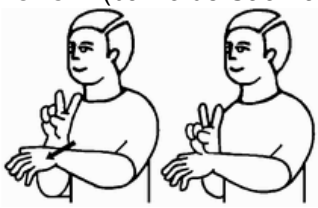 INTERINO (provisório)
31º 48	 AME43: aberta com dedos flexionados e polegar paralelo	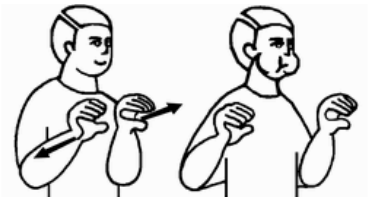 CAMADA
32º 39	 AME18: em **I**	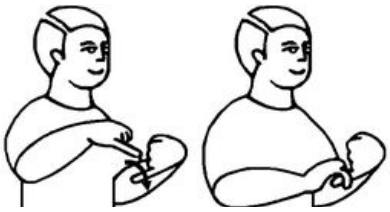 AMANTE
33º 32	 AME3: em **3**	 MAMÃO
33º 32	 AME27: em **R**	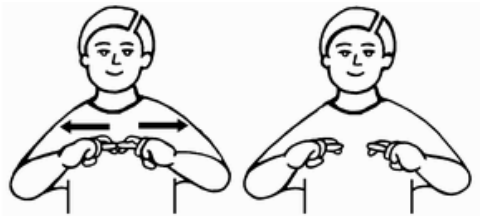 BARBANTE

Tabela 7.18. Sinais que contêm os 53 *AristeroQuiriFormEmas-SinisteraManusFormÍculos-SinisteraManusFormÍculos* não-canônicos, com incidência abaixo da média de 208 no *corpus* de 13.500 sinais de Libras. Parte 7: *AristeroQuiriFormEmas-SinistraManusFormÍculos* 34º ao 39º. Ordem e Incidência Absoluta de cada *SematosEma* de Articulação de Mão Esquerda no *corpus*.

Ord e IA	***AristeroQuiriFormEmas - SinistraManusFormÍculos***	**Sinal exemplo**
34º 31	 AME50: mão fechada com dedos indicador e mínimo distendidos	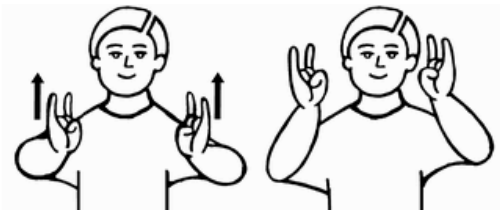 APARTAMENTO
35º 29	 AME15: em **F**	 FRUTAS
36º 27	 AME55: mão fechada com dedos polegar e indicador e médio distendidos	 CONVERSAR (usando a língua de sinais), CONVERSA, CONVERSAÇÃO, CONVERSADO
37º 19	 AME14: em **E**	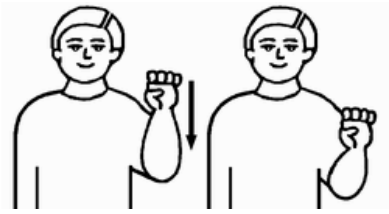 LADO ESQUERDO
38º 18	 AME22: em **M**	 MUSEU
39º 12	 AME16: em **G**	 GÊMEO

Tabela 7.19. Sinais que contêm os 53 *AristeroQuiriFormEmas-SinisteraManusFormÍculos-SinisteraManusFormÍculos* não-canônicos, com incidência abaixo da média de 208 no *corpus* de 13.500 sinais de Libras. Parte 8: *AristeroQuiriFormEmas-SinistraManusFormÍculos* 40º ao 44º. Ordem e Incidência Absoluta de cada *SematosEma* de Articulação de Mão Esquerda no *corpus*.

Ord e IA	***AristeroQuiriFormEmas - SinistraManusFormÍculos***	**Sinal exemplo**
40º 11	 AME32: em **W**	 WINDOWS (informática)
41º 9	 AME52: mão aberta com polegar e indicador distendidos e paralelos	 CABO (extremidade pela qual se segura um instrumento)
42º 8	 AME26: em **Q**	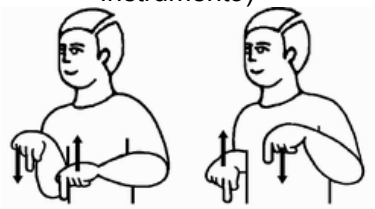 QUÍMICA
43º 7	 AME29: em **T**	 TEMPLO
43º 7	 AME53: mão fechada com dedo polegar distendido e indicador e médio entrelaçados	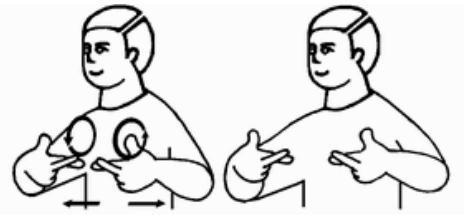 ESPAGUETE
44º 6	 AME6: em **6**	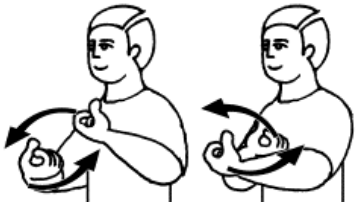 SEMESTRE, SEMESTRAL

Tabela 7.20. Sinais que contêm os 53 *AristeroQuiriFormEmas-SinisteraManusFormÍculos-SinisteraManusFormÍculos* não-canônicos, com incidência abaixo da média de 208 no *corpus* de 13.500 sinais de Libras. Parte 9: *AristeroQuiriFormEmas-SinistraManusFormÍculos* 45º ao 47º. Ordem e Incidência Absoluta de cada *SematosEma* de Articulação de Mão Esquerda no *corpus*.

Ord e IA	***AristeroQuiriFormEmas - SinistraManusFormÍculos***	**Sinal exemplo**
45º 5	 AME9: em **9**	 BUDA, BUDISMO
46º 4	 AME7: em **7**	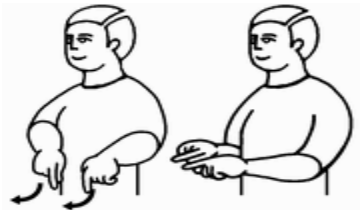 GÊMEO
46º 4	 AME57: mão fechada com indicador destacado	 CARROÇA
46º 4	 AME62: mão aberta com dedo médio curvado	 ABANDONAR
47º 3	 AME17: em **H**	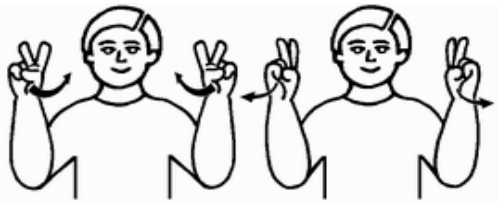 HIPPIE (moda)

Tabela 7.21. Sinais que contêm os 53 *AristeroQuiriFormEmas-SinisteraManusFormÍculos-SinisteraManusFormÍculos* não-canônicos, com incidência abaixo da média de 208 no *corpus* de 13.500 sinais de Libras. Parte 10: *AristeroQuiriFormEmas-SinistraManusFormÍculos* 48º ao 49º. Ordem e Incidência Absoluta de cada *SematosEma* de Articulação de Mão Esquerda no *corpus*.

Ord e IA	***AristeroQuiriFormEmas - SinistraManusFormÍculos***	**Sinal exemplo**
48º 2	 AME56: mão fechada em **I** com polegar distendido na lateral	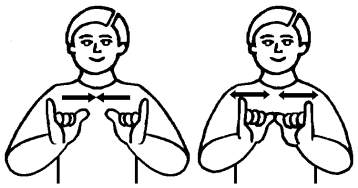 CONFECCIONAR
49º 1	 AME19: em **J**	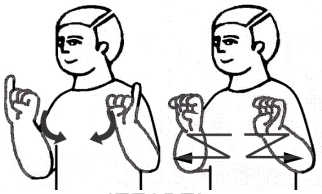 JEZABEL
49º 1	 AME51: mão fechada com dedo indic. distendido e polegar e médio unidos pelas pontas	 VENDER
49º 1	 AME61: mão fechada com dedos polegar, indicador e mínimo distendidos	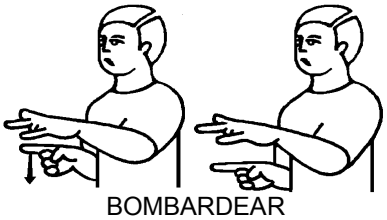 BOMBARDEAR
49º 1	 AME63: mão fechada com dedos polegar, indicador e médio distendidos e unidos.	 ASSOCIAÇÃO DE SURDOS DE PATOS

Tabela 7.22. Sinais que contêm os 53 *AristeroQuiriFormEmas-SinisteraManusFormÍculos-SinisteraManusFormÍculos* não-canônicos, com incidência abaixo da média de 208 no *corpus* de 13.500 sinais de Libras. Parte 11: *AristeroQuiriFormEmas-SinistraManusFormÍculos* da posição 50º. Ordem e Incidência Absoluta de cada *SematosEma* de Articulação de Mão Esquerda no *corpus*.

Ord e IA	***AristeroQuiriFormEmas - SinistraManusFormÍculos***	**Sinal exemplo**
50º 0	 AME65: mão fechada com dedos distendidos com ponta do dedo médio tocando unha do dedo indicador	
50º 0	 AME20: mão direita em **K**	
50º 0	 AME35: mão direita em **Z**	
50º 0	 AME40: mão direita em **Ç**	
50º 0	 AME58: mão em **1** com indicador dobrado	
50º 0	 AME59: mão aberta com polegar e anelar distendidos e tocando-se pelas pontas	

Tabela 7.23. Sinais que contêm os 53 *AristeroQuiriFormEmas-SinisteraManusFormÍculos-SinisteraManusFormÍculos* não-canônicos, com incidência abaixo da média de 208 no *corpus* de 13.500 sinais de Libras. Parte 11: *AristeroQuiriFormEmas-SinistraManusFormÍculos* da posição 50º. Ordem e Incidência Absoluta de cada *SematosEma* de Articulação de Mão Esquerda no *corpus*. Total de tipos de *SematosEmas* AME. Incidência média de cada tipo de *SematosEma* AME: Incidência total (de *SematosEmas* AME) dividida pelo total de tipos de AME.

50º 0	 AME60: mão fechada com dedos indicador e mínimo distendidos e polegar, médio e anelar distendidos, tocando-se pelas pontas	
50º 0	 AME64:mão em **O** com dedo mínimo distendido	
	Incidência total de *SematosEmas* AME	13.503
	Total de tipos de *SematosEmas* AME	65
	Incidência média de cada tipo de *SematosEma* AME	208

1.2: OP: Orientação da(s) Palma(s). Subníveis:
1.2.1: OPD: Orientação da Palma Direita
(*DexiQuiriTroposEmas-DestroManusDirectÍculos*)

Houve 7 *DexiQuiriTroposEmas-DestroManusDirectÍculos*, dos quais 4 canônicos (acima da média) e 3 não canônicos (abaixo da média).

A Tabela 7.24 apresenta as ilustrações dos sinais que contêm os 4 *DexiQuiriTroposEmas-DestroManusDirectÍculos* canônicos, com incidência acima da média de 2076 no *corpus* de 13.500 sinais de Libras. Esses *DexiQuiriTroposEmas-DestroManusDirectÍculos* e respectivos sinais ilustrativos são:

1: *Palma para esquerda*, ilustrada no sinal ABANO;
2: *Palma para trás*, ilustrada no sinal UNIDADE;
3: *Palma para baixo*, ilustrada no sinal CHÁ;
4: *Palma para frente*, ilustrada no sinal PERCENTAGEM.

Tabela 7.24. Sinais que contêm os 4 *DexiQuiriTroposEmas-DestroManusDirectÍculos* canônicos, com incidência acima da média de 2.973 no *corpus* de 13.500 sinais de Libras. Parte 1: *DexiQuiriTroposEmas-DestroManusDirectÍculos* 1º ao 4º. Ordem e Incidência Absoluta de cada *SematosEma* de Orientação da Palma Direita no *corpus*.

Ord e IA	***DexiQuiriTroposEmas-DestroManusDirectÍculos***	**Sinal exemplo**
1º 5591	 OPD5: mão com Palma para esquerda	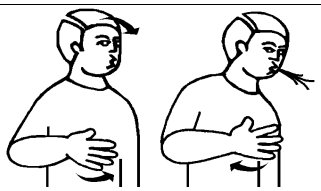 ABANO
2º 4854	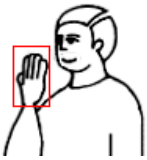 OPD4:mão com Palma para trás	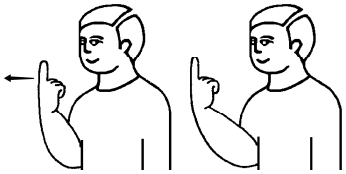 UNIDADE
3º 4368	 OPD1: mão com Palma para baixo	 CHÁ
4º 3574	 OPD3: mão com Palma para frente	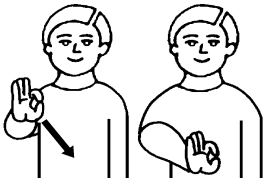 PERCENTAGEM

A Tabela 7.25 apresenta as ilustrações dos sinais que contêm os 3 *DexiQuiriTroposEmas-DestroManusDirectÍculos* não canônicos, com incidência abaixo da média de 2.973 no *corpus* de 13.500 sinais de Libras.

Tabela 7.25. Sinais que contêm os 3 *DexiQuiriTroposEmas-DestroManusDirectÍculos* não canônicos, com incidência abaixo da média de 2.973 no *corpus* de 13.500 sinais de Libras. Parte 2: *DexiQuiriTroposEmas-DestroManusDirectÍculos* 5º ao 7º. Ordem e Incidência Absoluta de cada *SematosEma* de Orientação da Palma Direita no *corpus*. Total de tipos de *SematosEmas* OPD. Incidência média de cada tipo de *SematosEma* OPD: Incidência total (de *SematosEmas* OPD) dividida pelo total de tipos de OPD.

Ord e IA	***DexiQuiriTroposEmas-DestroManusDirectÍculos***	**Sinal exemplo**
5º 1480	 OPD2: palma para cima	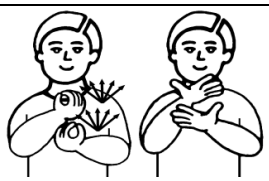 CONFISSÃO (revelação)
6º 647	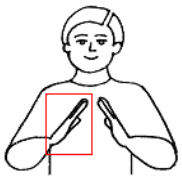 OPD7: palma inclinada	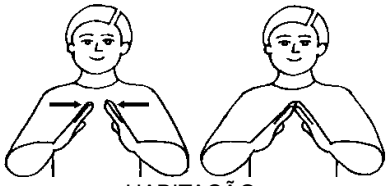 HABITAÇÃO
7º 291	 OPD6: palma para direita	 RECEBER BRONCA (ser repreendido)
	Incidência total de *SematosEmas* OPD Total de tipos de *SematosEmas* OPD Incidência média de cada tipo de *SematosEma* OPD	20.805 7 2.973

1.2.2: OPE: Orientação da Palma Esquerda (*AristeroQuiriTroposEmas-SinistraManusDirectÍculos*)

Houve 7 *AristeroQuiriTroposEmas-SinisteraManusDirectÍculos*, dos quais 3 canônicos (acima da média) e 4 não canônicos (abaixo da média).

A Tabela 7.26 apresenta as ilustrações dos sinais que contêm os 4 *AristeroQuiriTroposEmas-SinisteraManusDirectÍculos* canônicos, com incidência acima da média de 1121 no *corpus* de 13.500 sinais de Libras. Esses *AristeroQuiriTroposEmas-SinisteraManusDirectÍculos* e respectivos sinais ilustrativos são:

1: *Palma para direita*, ilustrada no sinal BATER (À PORTA);
2: *Palma para baixo*, ilustrada no sinal ABACAXI; e
3: *Palma para trás*, ilustrada no sinal ABÓBORA.

Tabela 7.26. Sinais que contêm os 3 (*AristeroQuiriTroposEmas-SinisteraManusDirectÍculos* canônicos, com incidência acima da média de 1.528 no *corpus* de 13.500 sinais de Libras. Parte 1: *AristeroQuiriTroposEmas-SinistraManusDirectÍculos*. 1º ao 3º. Ordem e Incidência Absoluta de cada *SematosEma* de Orientação da Palma Esquerda no *corpus*.

Ord, IA	*AristeroQuiriTroposEmas-SinistraManusDirectÍculos*	Sinal exemplo
1º 2963	 OPE6: mão com Palma para direita	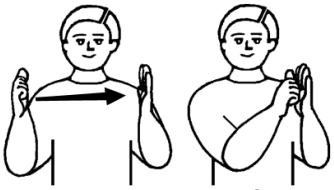 BATER (à porta) (CL)
2º 2491	 OPE1: mão com Palma para baixo	 ABACAXI
3º 2038	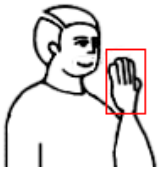 OPE4: mão com Palma para trás	 ABÓBORA

A Tabela 7.27 apresenta as ilustrações dos sinais que contêm os 3 (*AristeroQuiriTroposEmas-SinisteraManusDirectÍculos* não canônicos, com incidência abaixo da média de 1.528 no *corpus* de 13.500 sinais de Libras.

Tabela 7.27. Sinais que contêm os 3 *AristeroQuiriTroposEmas-SinisteraManusDirectÍculos* não canônicos, com incidência abaixo da média de 1.528 no *corpus* de 13.500 sinais de Libras. Parte 2: *AristeroQuiriTroposEmas-SinistraManusDirectÍculos* 4º ao 7º. Ordem e Incidência Absoluta de cada *SematosEma* de Orientação da Palma Esquerda no *corpus*. Total de tipos de *SematosEmas* OPE. Incidência média de cada tipo de *SematosEma* OPE: Incidência total (de *SematosEmas* OPE) dividida pelo total de tipos de OPE.

Ord, IA	***AristeroQuiriTroposEmas-SinistraManusDirectÍculos***	**Sinal exemplo**
4º 1476	 OPE2: mão com Palma para cima	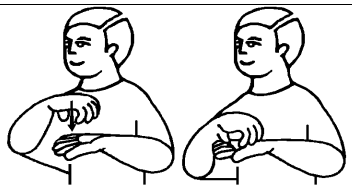 ABAFADOR
5º 1023	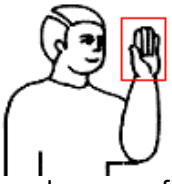 OPE3: palma para frente	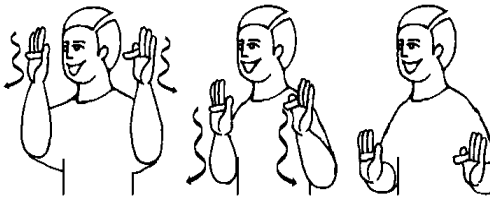 FELIZ, FELICIDADE
6º 484	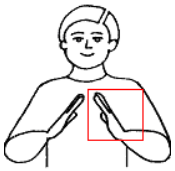 OPE7: palma inclinada	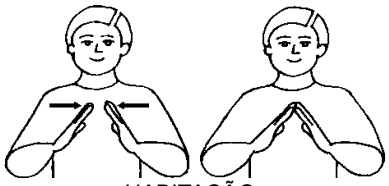 HABITAÇÃO
7º 218	 OPE5: palma para esquerda	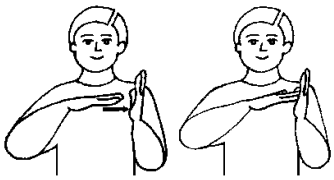 ÚLTIMO
	Incidência total de *SematosEmas* OPE	7845
	Total de tipos de *SematosEmas* OPE	7
	Incidência média de cada tipo de *SematosEma* OPE	1121

1.3: OM: Orientação da(s) Mão(s). Subníveis:
1.3.1: OMD: Orientação da Mão Direita
(*DexiQuiriDeixisEmas-DestroManusIndicarÍculos*)

Houve 6 *DexiQuiriDeixisEmas-DestroManusIndicarÍculos* dos quais 3 canônicos (acima da média) e 3 não canônicos (abaixo da média).

A Tabela 7.28 apresenta as ilustrações dos sinais que contêm os 3 *DexiQuiriDeixisEmas-DestroManusIndicarÍculos* canônicos, com incidência acima da média de 364 no *corpus* de 13.500 sinais de Libras. Esses *DexiQuiriDeixisEmas-DestroManusIndicarÍculos* e respectivos sinais ilustrativos são:

1: *Aponta para cima*, ilustrada no sinal ABANDONAR-ME, ABANDONADO;
2: *Aponta para frente*, ilustrada no sinal VÍRGULA;
3: *Aponta para esquerda, ilustrada* no sinal ABSURDO.

Tabela 7.28. Sinais que contêm os 3 *DexiQuiriDeixisEmas-DestroManusIndicarÍculos* canônicos, com incidência acima da média de 3.094 no *corpus* de 13.500 sinais de Libras. Parte 1: *DexiQuiriDeixisEmas-DestroManusIndicarÍculos* 1º ao 3º. Ordem e Incidência Absoluta de cada *SematosEma* de Orientação da Mão Direita no *corpus*.

Ord e IA	***DexiQuiriDeixisEmas-DestroManusIndicarÍculos***	**Sinal exemplo**
1º 7646	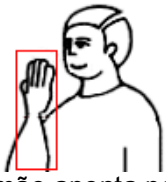 OMD5: mão aponta para cima	 ABANDONAR-ME, ABANDONADO,
2º 4778	 OMD3: mão aponta para frente	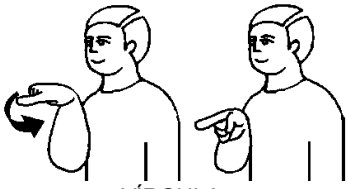 VÍRGULA
3º 4665	 OMD2: mão aponta para esquerda	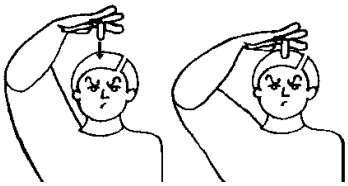 ABSURDO!

A Tabela 7.29 apresenta as ilustrações dos sinais que contêm os 3 (*AristeroQuiriTroposEmas-SinisteraManusDirectÍculos* não canônicos, com incidência abaixo da média de 3.094 no *corpus* de 13.500 sinais de Libras.

Tabela 7.29. Sinais que contêm os 3 (*AristeroQuiriTroposEmas-SinisteraManusDirectÍculos* não canônicos, com incidência abaixo da média de 3.094 no *corpus* de 13.500 sinais de Libras. Parte 2: *DexiQuiriDeixisEmas-DestroManusIndicarÍculos* 4º ao 6º. Ordem e Incidência Absoluta de cada *SematosEma* de Orientação da Mão Direita no *corpus*. Total de tipos de *SematosEmas* OMD. Incidência média de cada tipo de *SematosEma* OMD: Incidência total (de *SematosEmas* OMD) dividida pelo total de tipos de OMD.

Ord e IA	***DexiQuiriDeixisEmas-DestroManusIndicarÍculos***	**Sinal exemplo**
4º 946	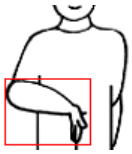 OMD6: aponta para baixo	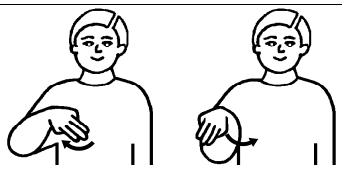 MONITOR, ASSISTENTE
5º 343	 OMD4: aponta para trás	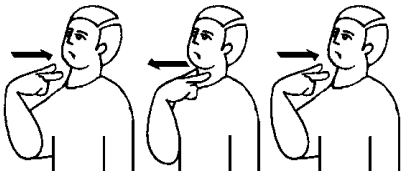 OCUPADO
6º 186	 OMD1: aponta para direita	 ASA (aves)
	Incidência total de *SematosEmas* OMD	18.564
	Total de tipos de *SematosEmas* OMD	6
	Incidência média de cada tipo de *SematosEma* OMD	3.094

1.3.2: OME: Orientação da Mão Esquerda (*AristeroQuiriDeixisEmas-SinistraManusIndicarÍculos*)

Houve 6 *AristeroQuiriDeixisEmas-SinisteraManusDirectÍculos* dos quais 3 canônicos (acima da média) e 3 não canônicos (abaixo da média).

A Tabela 7.30 apresenta as ilustrações dos sinais que contêm os 3 (*AristeroQuiriDeixisEmas-SinisteraManusDirectÍculos* canônicos, com incidência acima da média de 1.661 no *corpus* de 13.500 sinais de Libras. Esses (*AristeroQuiriDeixisEmas-SinisteraManusDirectÍculos* e respectivos sinais ilustrativos são:

1: *Aponta para direita*, ilustrada no sinal VALSA;
2: *Aponta para frente*, ilustrada no sinal TRANSPOR (ATRAVESSAR, IR EM FRENTE); e
3: *Aponta para cima*, ilustrada no sinal ADMITIR.

Tabela 7.30. Sinais que contêm os 3 *AristeroQuiriDeixisEmas-SinistraManusIndicarÍculos* canônicos, com incidência acima da média de 1.661 no *corpus* de 13.500 sinais de Libras. Parte 1: *AristeroQuiriDeixisEmas-SinistraManusIndicarÍculos* 1º ao 3º. Ordem e Incidência Absoluta de cada *SematosEma* de Orientação da Mão Esquerda no *corpus*.

Ord e IA	***AristeroQuiriDeixisEmas-SinistraManusIndicarÍculos***	**Sinal exemplo**
1º 3453	 OME1: mão Aponta para direita	 VALSA
2º 3246	 OME3: mão Aponta para frente	 TRANSPOR (atravessar, ir em frente) (CL)
3º 2857	 OME5: mão Aponta para cima	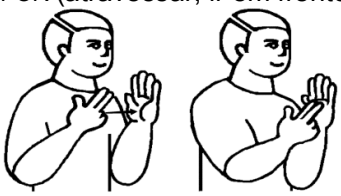 ADMITIR

A Tabela 7.31 apresenta as ilustrações dos sinais que contêm os 3 *AristeroQuiriDeixisEmas-SinisteraManusDirectÍculos* não canônicos, com incidência abaixo da média de 1.661 no *corpus* de 13.500 sinais de Libras.

Tabela 7.31. Sinais que contêm os 3 *AristeroQuiriDeixisEmas-SinisteraManusDirectÍculos* não canônicos, com incidência abaixo da média de 1.661 no *corpus* de 13.500 sinais de Libras. Parte 2: *AristeroQuiriDeixisEmas-SinisteraManusDirectÍculos* 4º ao 6º. Ordem e Incidência Absoluta de cada *SematosEma* de Orientação da Mão Esquerda no *corpus*. Total de tipos de *SematosEmas* OME. Incidência média de cada tipo de *SematosEma* OME: Incidência total (de *SematosEmas* OME) dividida pelo total de tipos de OME.

Ord e IA	***AristeroQuiriDeixisEmas-SinistraManusIndicarÍculos***	**Sinal exemplo**
4º 243	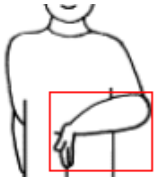 OME6: aponta para baixo	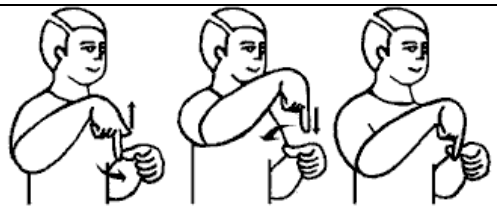 ABRIDOR DE LATAS AUTOMÁTICO
5º 124	 OME2: aponta para a esquerda	 ASA (aves)
6º 43	 OME4: aponta para trás	 ABACATE
	Incidência total de *SematosEmas* OME	9.966
	Total de tipos de *SematosEmas* OME	6
	Incidência média de cada tipo de *SematosEma* OME	1.661

1.4: RM: Relação entre Mãos
(*QuiriAlelEmas-ManiRelativÍculos*)

Houve 27 *QuiriAlelEmas-ManusRelativÍculos* dos quais 7 canônicos (acima da média) e 20 não canônicos (abaixo da média).

A Tabela 7.32 apresenta as ilustrações dos sinais que contêm os 7 *QuiriAlelEmas-ManusRelativÍculos* canônicos, com incidência acima da média de 473 no *corpus* de 13.500 sinais de Libras. Esses *QuiriAlelEmas-ManusRelativÍculos* e respectivos sinais ilustrativos são:

1: *Tocando palma(s),* ilustrada no sinal ADESIVO;
2: *Tocando pontas dos dedos*, ilustrada no sinal ABOCANHAR;
3: *Lado a lado*, ilustrada no sinal ADIAR, ADIADO, ADIAMENTO;
4: *Direita sobre esquerda*, ilustrada no sinal ACHAR (CONSEGUIR);
5: *Tocando dedo(s)*, ilustrada no sinal ADVERTIR (censurar, repreender);
6: *Tocando laterais das mãos ou dedos*, ilustrada no sinal MESMA COISA; e
7: *Tocando dorso(s)*, ilustrada no sinal APERTADO (constrangido).

Tabela 7.32. Sinais que contêm os 7 *QuiriAlelEmas-ManusRelativÍculos* canônicos, com incidência acima da média de 473 no *corpus* de 13.500 sinais de Libras. Parte 1: *QuiriAlelEmas-ManusRelativÍculos* 1º ao 7º. Ordem e Incidência Absoluta de cada *SematosEma* de Relação entre Mãos no *corpus*.

Ord e IA	*QuiriAlelEmas-ManiRelativÍculos*	Sinal exemplo
1º 1651	 RM7: tocando palma(s)	 ADESIVO (CL)
2º 1494	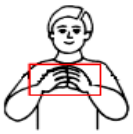 RM15: tocando pontas dos dedos	 ABOCANHAR
3º 1341	 RM5: mão(s) Lado a lado	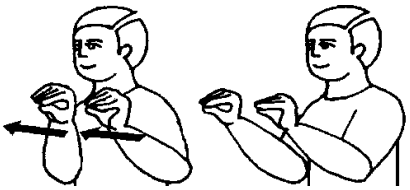 ADIAR, ADIADO, ADIAMENTO
4º 1309	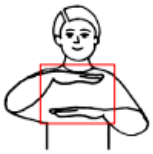 RM1: mão Direita sobre esquerda	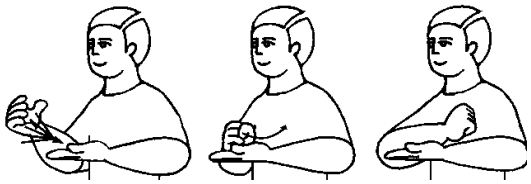 ACHAR (conseguir)
5º 1208	 RM10: mão(s) tocando dedo(s)	 ADVERTIR (censurar, repreender)
6º 1068	 RM14: mão tocando laterais das mãos ou dedos	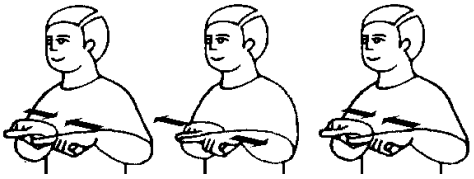 a MESMA COISA
7º 880	 RM8: mão tocando dorso(s)	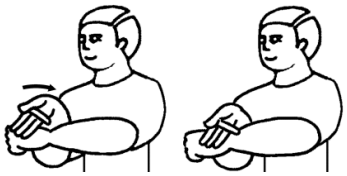 APERTADO (constrangido)

As Tabelas 7.33 a 7.36 apresentam as ilustrações dos sinais que contêm os 20 *QuiriAlelEmas-ManusRelativÍculos* não canônicos, com incidência abaixo da média de 473 no *corpus* de 13.500 sinais de Libras.

Tabela 7.33. Sinais que contêm os 20 *QuiriAlelEmas-ManusRelativÍculos* não canônicos, com incidência abaixo da média de 473 no *corpus* de 13.500 sinais de Libras. Parte 2: *QuiriAlelEmas-ManusRelativÍculos* 8º ao 12º. Ordem e Incidência Absoluta de cada *SematosEma* de Relação entre Mãos no *corpus*.

Ord e IA	*QuiriAlelEmas-ManiRelativÍculos*	Sinal exemplo
8º 453	 RM4: esquerda à frente da direita	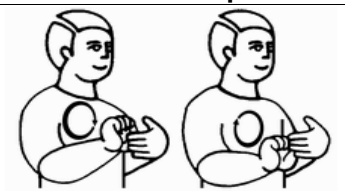 APAGAR (lousa)
8º 453	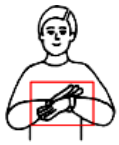 RM9: tocando pulso(s)	 ADOECER
9º 388	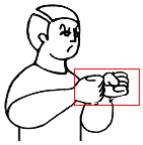 RM22: próximas	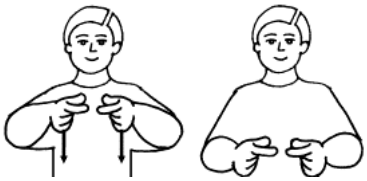 BAIRRO
10º 366	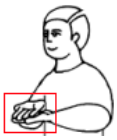 RM18: tocando dorso e palma	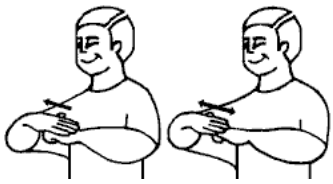 ACARICIAR
11º 266	 RM20: tocando base da mão ou do dedo	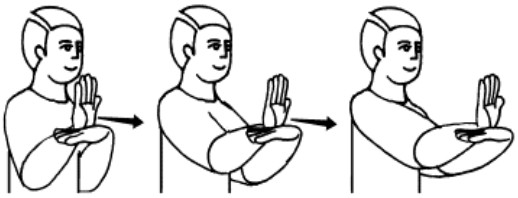 AJUDAR, AJUDA
12º 246	 RM26: palma a palma	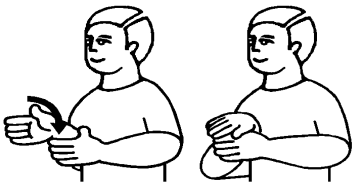 VEDAR

Tabela 7.34. Sinais que contêm os 20 *QuiriAlelEmas-ManusRelativÍculos* não canônicos, com incidência abaixo da média de 473 no *corpus* de 13.500 sinais de Libras. Parte 3: *QuiriAlelEmas-ManusRelativÍculos* 13º ao 18º. Ordem e Incidência Absoluta de cada *SematosEma* de Relação entre Mãos no *corpus*.

Ord e IA	***QuiriAlelEmas-ManiRelativÍculos***	**Sinal exemplo**
13º 240	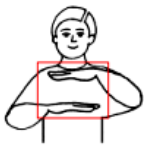 RM2: esquerda sobre direita	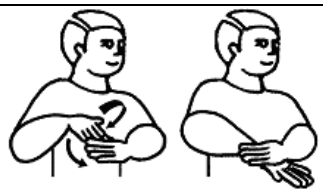 ACOSTUMAR, ACOSTUMAR-SE ACOSTUMAR, ACOSTUMAR-SE
14º 206	 RM3: direita à frente da esquerda	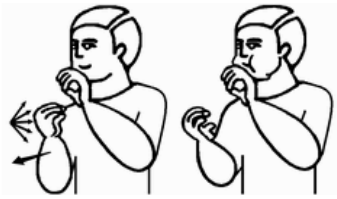 BALÃO (bexiga)
15º 204	 RM21: entrelaçadas dentro do C	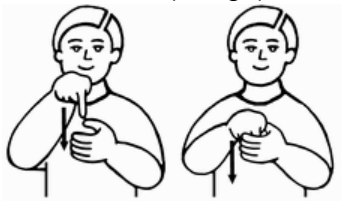 AFUNDAR
16º 163	 RM16: tocando entre dedos	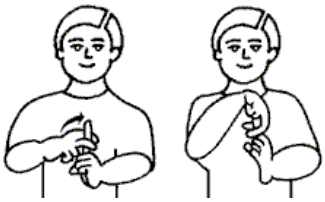 ABRIR GARRAFA
17º 132	 RM12: tocando pulso e dedo	 ANTENA (parabólica)
18º 123	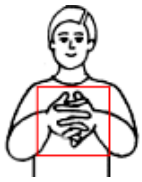 RM13: entrelaçadas pelos dedos	 CAMINHÃO

Tabela 7.35. Sinais que contêm os 20 *QuiriAlelEmas-ManusRelativÍculos* não canônicos, com incidência abaixo da média de 473 no *corpus* de 13.500 sinais de Libras. Parte 4: *QuiriAlelEmas-ManusRelativÍculos* 19º ao 23º. Ordem e Incidência Absoluta de cada *SematosEma* de Relação entre Mãos no *corpus*.

Ord e IA	***QuiriAlelEmas-ManiRelativÍculos***	**Sinal exemplo**
19º 116	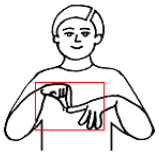 RM19: tocando unha	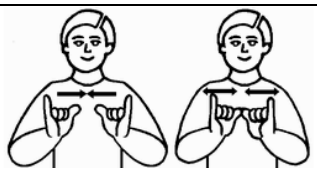 CONFECCIONAR (fazer)
20º 109	 RM11: cruzadas pelos pulsos	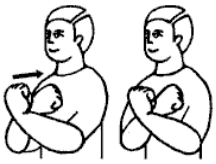 ABRAÇAR, ABRAÇAR-SE, ABRAÇO
21º 105	 RM25: cruzadas pelos braços	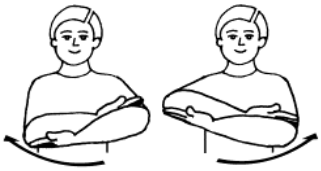 BEBÊ
22º 104	 RM6: cruzadas pelos dedos	 CADEIA
23º 81	 RM17: enganchadas pelos dedos	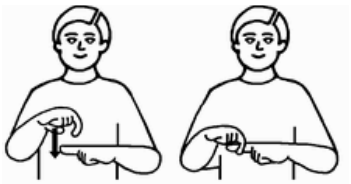 CABIDE

Tabela 7.36. Sinais que contêm os 20 *QuiriAlelEmas-ManusRelativÍculos* não canônicos, com incidência abaixo da média de 473 no *corpus* de 13.500 sinais de Libras. Parte 5: *QuiriAlelEmas-ManusRelativÍculos* 24º ao 26º. Ordem e Incidência Absoluta de cada *SematosEma* de Relação entre Mãos no *corpus*. Total de tipos de *SematosEmas* RM. Incidência média de cada tipo de *SematosEma* RM: Incidência total (de *SematosEmas* RM) dividida pelo total de tipos de RM.

Ord e IA	***QuiriAlelEmas-ManiRelativÍculos***	**Sinal exemplo**
24º 64	 RM24: unidas	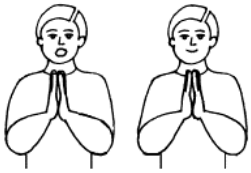 AMÉM
25º 15	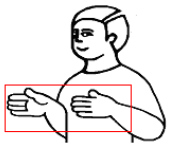 RM23: afastadas	 FUTEBOL
26º 2	 RM27: segurando parte da outra mão entre os dedos	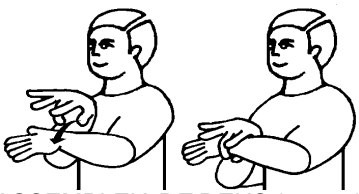 ASSEMBLEIA DE DEUS (IGREJA)
	Incidência total de *SematosEmas* RM	12.760
	Total de tipos de *SematosEmas* RM	27
	Incidência média de cada tipo de *SematosEma* RM	473

Parâmetro 2: Dedo(s) (*Dactilo-Digitum*). Níveis:
2.1: QD: Que Dedo(s)
(*DactiloTiposEmas-DigitiTiposÍculos*)
2.1: QD: Que Dedos. Subníveis:
2.1.1: QDD: Que Dedo(s) Direito(s)
(*DexiDactiloTiposEmas-DestroDigitiTiposÍculos*)

Houve 12 *DexiDactiloTiposEmas-DestroDigitiTiposÍculos* dos quais 4 canônicos (acima da média) e 8 não canônicos (abaixo da média).

A Tabela 7.37 apresenta as ilustrações dos sinais que contêm os 4 *DexiDactiloTiposEmas-DestroDigitiTiposÍculos* canônicos, com incidência acima da média de 701 no *corpus* de 13.500 sinais de Libras. Esses *DexiDactiloTiposEmas-DestroDigitiTiposÍculos* e respectivos sinais ilustrativos são:

1: *Indicador*, ilustrada no sinal ADIVINHAR;
2: Polegar, ilustrada no sinal ACOMODADO;
3: Polegar e indicador, ilustrada no sinal APERTADO; e
4: Médio, ilustrada no sinal ADULTO.

Tabela 7.37. Sinais que contêm os 4 *DexiDactiloTiposEmas-DestroDigitiTiposÍculos* canônicos, com incidência acima da média de 701 no *corpus* de 13.500 sinais de Libras. Parte 1: *QuiriAlelEmas-ManiRelativÍculos* 1º ao 4º. Ordem e Incidência Absoluta de cada *SematosEma* de Que Tipo de Dedo(s) Direito no *corpus*.

Ord e IA	***DexiDactiloTiposEmas-DestroDigitiTiposÍculos***	**Sinal exemplo**
1º 2445	 QDD2: indicador	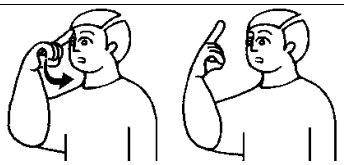 ADIVINHAR
2º 2041	 QDD1: polegar	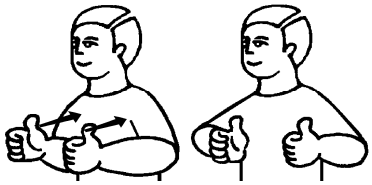 ACOMODADO (quieto, conformado)
3º 1427	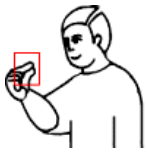 QDD6: polegar e indicador	 APERTADO (sem espaço), aperto
4º 811	 QDD3: médio	 ADULTO (maduro)

As Tabelas 7.38 e 7.39 apresentam as ilustrações dos sinais que contêm os 8 *DexiDactiloTiposEmas-DestroDigitiTiposÍculos* não canônicos, com incidência abaixo da média de 701 no *corpus* de 13.500 sinais de Libras.

Tabela 7.38. Sinais que contêm os 8 *DexiDactiloTiposEmas-DestroDigitiTiposÍculos* não canônicos, com incidência abaixo da média de 701 no *corpus* de 13.500 sinais de Libras. Parte 2: *QuiriAlelEmas-ManiRelativÍculos* 5º ao 10º. Ordem e Incidência Absoluta de cada *SematosEma* de Que Tipo de Dedo(s) Direito no *corpus*.

Ord e IA	***DexiDactiloTiposEmas-DestroDigitiTiposÍculos***	**Sinal exemplo**
5º 639	 QDD5: mínimo	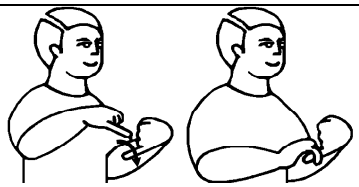 AMANTE
6º 314	 QDD12: indicador e médio	 ANTENA (inseto)
7º 241	 QDD4: anelar	 NOIVO
8º 212	 QDD7: polegar e médio	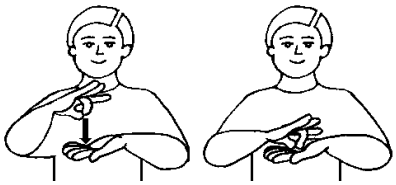 AUTÊNTICO (oficial, original)
9º 168	 QDD8: polegar, indicador e médio	 BELÉM (bairro)
10º 105	 QDD11: indicador e mínimo	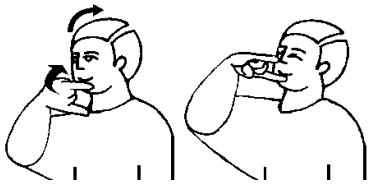 AGUARDENTE

Tabela 7.39. Sinais que contêm os 8 *DexiDactiloTiposEmas-DestroDigitiTiposÍculos* não canônicos, com incidência abaixo da média de 701 no *corpus* de 13.500 sinais de Libras. Parte 3: *QuiriAlelEmas-ManiRelativÍculos* 11º ao 12º. Ordem e Incidência Absoluta de cada *SematosEma* de Que Tipo de Dedo(s) Direito no *corpus*. Total de tipos de *SematosEmas* QDD. Incidência média de cada tipo de *SematosEma* QDD: Incidência total (de *SematosEmas* QDD) dividida pelo total de tipos de QDD.

Ord e IA	***DexiDactiloTiposEmas-DestroDigitiTiposÍculos***	**Sinal exemplo**
11º 6	 QDD9: polegar, médio e anelar	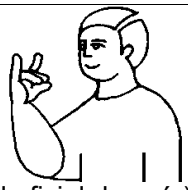 BOLÍVIA (sinal oficial do país), BOLIVIANO
12º 2	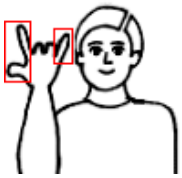 QDD10: polegar, indicador e mínimo	 **ASSOCIAÇÃO DOS AMIGOS E PAIS DE PESSOAS ESPECIAIS (AAPPE)**
	Incidência total de *SematosEmas* QDD	8.411
	Total de tipos de *SematosEmas* QDD	12
	Incidência média de cada tipo de *SematosEma* QDD	701

2.1.2: QDE: Que Dedo(s) Esquerdo(s) (*AristeroDactiloTiposEmas-SinisterumDigitiTiposÍculos*)

Houve 12 *AristeroDactiloTiposEmas-SinisterumDigitiTiposÍculos* dos quais 4 canônicos (acima da média) e 8 não canônicos (abaixo da média).

A Tabela 7.40 apresenta as ilustrações dos sinais que contêm os 4 *AristeroDactiloTiposEmas-SinisterumDigitiTiposÍculos* canônicos, com incidência acima da média de 225 no *corpus* de 13.500 sinais de Libras. Esses *AristeroDactiloTiposEmas-SinisterumDigitiTiposÍculos* e respectivos sinais ilustrativos são:

1: *Indicador*, ilustrada no sinal VELA;
2: *Polegar*, ilustrada no sinal ALTERAR;
3: *Polegar e Indicador*, ilustrada no sinal AUTÊNTICO;
4: *Mínimo*, ilustrada no sinal CABO ELÉTRICO.

Tabela 7.40. Sinais que contêm os 4 *AristeroDactiloTiposEmas-SinisterumDigitiTiposÍculos* canônicos, com incidência acima da média de 225 no *corpus* de 13.500 sinais de Libras. Parte 1: *AristeroDactiloTiposEmas-SinisterumDigitiTiposÍculos* 1º ao 4º. Ordem e Incidência Absoluta de cada *SematosEma* de Que tipo de Dedo(s) Esquerdo(s) no *corpus*.

Ord e IA	***AristeroDactiloTiposEmas-SinisterumDigitiTiposÍculos***	**Sinal exemplo**
1º 861	 QDE2: indicador	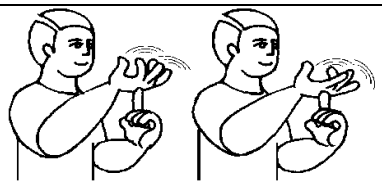 VELA
2º 616	 QDE1: polegar	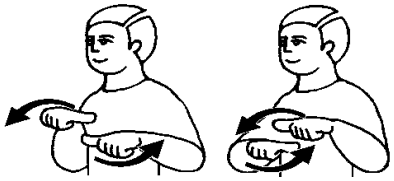 ALTERAR, ALTERAR-SE, ALTERAÇÃO
3º 461	 QDE6: polegar e indicador	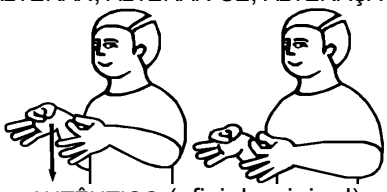 AUTÊNTICO (oficial, original)
4º 230	 QDE5: mínimo	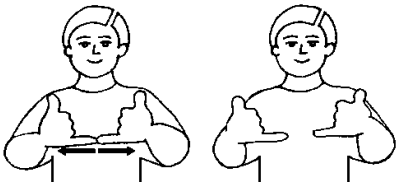 CABO ELÉTRICO (fio elétrico)

As Tabelas 7.41 e 7.42 apresentam as ilustrações dos sinais que contêm os 8 *AristeroDactiloTiposEmas-SinisterumDigitiTiposÍculos* não canônicos, com incidência abaixo da média de 225 no *corpus* de 13.500 sinais de Libras.

Tabela 7.41. Sinais que contêm os 8 *AristeroDactiloTiposEmas-SinisterumDigitiTiposÍculos* não canônicos, com incidência abaixo da média de 225 no *corpus* de 13.500 sinais de Libras. Parte 2: *AristeroDactiloTiposEmas-SinisterumDigitiTiposÍculos* 5º ao 10º. Ordem e Incidência Absoluta de cada *SematosEma* de Que tipo de Dedo(s) Esquerdo(s) no *corpus*.

Ord e IA	***AristeroDactiloTiposEmas-SinisterumDigiti TiposÍculos***	**Sinal exemplo**
5º 186	 QDE3: médio	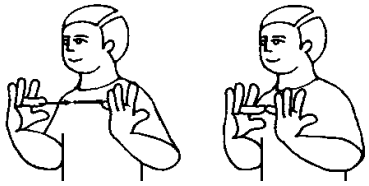 FAZER CONTATO
6º 120	 QDE7: polegar e médio	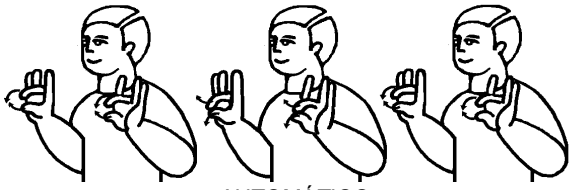 AUTOMÁTICO
7º 67	 QDE12: indicador e médio	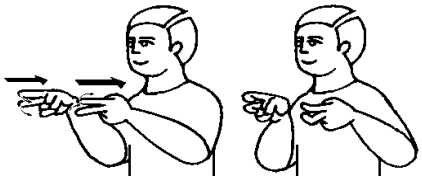 APREENDER
8º 61	 QDE4: anelar	 ANJO
9º 49	 QDE8: polegar, indicador e médio	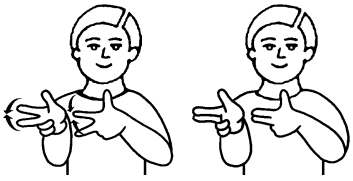 ADORMECER
10º 37	 QDE11: indicador e mínimo	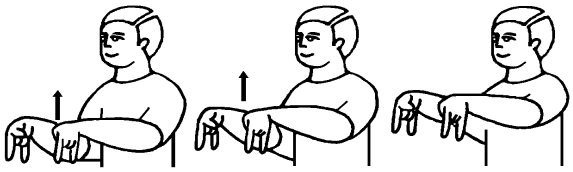 ANDAIME

Tabela 7.42. Sinais que contêm os 8 *AristeroDactiloTiposEmas-SinisterumDigitiTiposÍculos* não canônicos, com incidência abaixo da média de 225 no *corpus* de 13.500 sinais de Libras. Parte 3: *AristeroDactiloTiposEmas-SinisterumDigitiTiposÍculos* 11º ao 12º. Ordem e Incidência Absoluta de cada *SematosEma* de Que tipo de Dedo(s) Esquerdo(s) no *corpus*. Total de tipos de *SematosEmas* QDE. Incidência média de cada tipo de *SematosEma* QDE: Incidência total (de *SematosEmas* QDE) dividida pelo total de tipos de QDE.

Ord e IA	***AristeroDactiloTiposEmas-SinisterumDigiti TiposÍculos***	**Sinal exemplo**
11º 2	 QDE10: polegar, indicador e mínimo	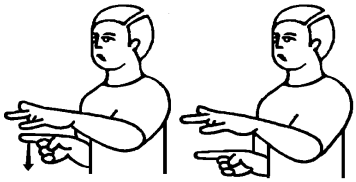 BOMBARDEAR
12º 1	 QDE9: polegar, médio e anelar	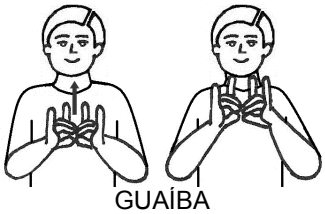 GUAÍBA
	Incidência total de *SematosEmas* QDE Total de tipos de *SematosEmas* QDE Incidência média de cada tipo de *SematosEma* QDE	2.691 12 225

2.2: AD: Articulação dos Dedos
DactiloFormEmas-DigitiModusÍculos
2.2.1: ADD: Articulação do(s) Dedo(s) Direito(s)
(*DexiDactiloFormEmas-DestroDigitiModusÍculos*)

Houve 5 *DexiDactiloFormEmas-DestroDigitiModusÍculos* dos quais 3 canônicos (acima da média) e 2 não canônicos (abaixo da média).

A Tabela 7.43 apresenta as ilustrações dos sinais que contêm os 3 *DexiDactiloFormEmas-DestroDigitiModusÍculos* canônicos, com incidência acima da média de 940 no *corpus* de 13.500 sinais de Libras. Esses *DexiDactiloFormEmas-DestroDigitiModusÍculos* e respectivos sinais ilustrativos são:

1: *Curvado(s)*, *flexionado(s), destacado(s)*, ilustrado no sinal APAGAR;
2: *Esticado(s), distendido(s)*, ilustrado no sinal À TOA; e
3: *Pontas unidas*, ilustrado no sinal APITAR.

Tabela 7.43. Sinais que contêm os 3 *DexiDactiloFormEmas-DestroDigitiModusÍculos* canônicos, com incidência acima da média de 940 no *corpus* de 13.500 sinais de Libras. Parte 1: *AristeroDactiloTiposEmas-SinisterumDigitiTiposÍculos* 1º ao 3º. Ordem e Incidência Absoluta de cada *SematosEma* de Articulação do(s) Dedo(s) Direito(s)no *corpus*.

Ord e IA	***DexiDactiloFormEmas-DestroDigitiModusÍculos***	**Sinal exemplo**
1º 1445	 ADD2: dedo(s) Curvado(s), flexionado(s), destacado(s)	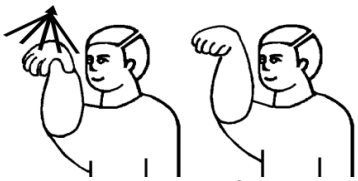 APAGAR (luz, fogo)
2º 1191	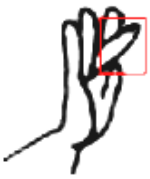 ADD1: dedo(s) esticado(s), distendido(s)	 À TOA
3º 971	 ADD5: dedo(s) com pontas unidas	 APITAR, APITO

A Tabela 7.44 apresenta as ilustrações dos sinais que contêm os 2 *DexiDactiloFormEmas-DestroDigitiModusÍculos* não canônicos, com incidência abaixo da média de 940 no *corpus* de 13.500 sinais de Libras.

Tabela 7.44. Sinais que contêm os 2 *DexiDactiloFormEmas-DestroDigitiModusÍculos* não canônicos, com incidência abaixo da média de 940 no *corpus* de 13.500 sinais de Libras. Parte 2: *AristeroDactiloTiposEmas-SinisterumDigitiTiposÍculos* 4º ao 5º. Ordem e Incidência Absoluta de cada *SematosEma* de Articulação do(s) Dedo(s) Direito(s)no *corpus*. Total de tipos de *SematosEmas* ADD. Incidência média de cada tipo de *SematosEma* ADD: Incidência total (de *SematosEmas* ADD) dividida pelo total de tipos de ADD.

Ord e IA	***DexiDactiloFormEmas-DestroDigitiModusÍculos***	**Sinal exemplo**
4º 810	 ADD4: separados	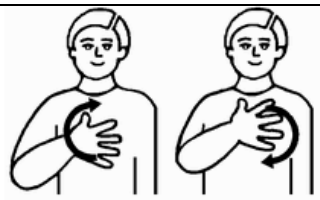 ALEGRE
5º 279	 ADD3: unidos e distendidos	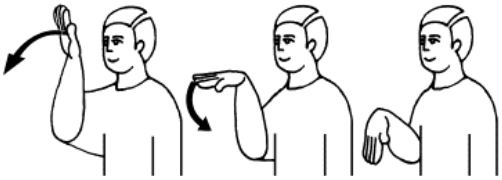 CHAMAR (alguém ausente)
	Incidência total de *SematosEmas* ADD Total de tipos de *SematosEmas* ADD Incidência média de cada tipo de *SematosEma* ADD	4.696 5 940

2.2.2: ADE: Articulação do(s) Dedo(s) Esquerdo(s) (*AristeroDactiloFormEmas-SinisterumDigitiModusÍculos*)

Houve 5 *AristeroDactiloFormEmas-SinisterumDigitiModusÍculos* dos quais 2 canônicos (acima da média) e 3 não canônicos (abaixo da média).

A Tabela 7.45 apresenta as ilustrações dos sinais que contêm os 2 *AristeroDactiloFormEmas-SinisterumDigitiModusÍculos* canônicos, com incidência acima da média de 319 no *corpus* de 13.500 sinais de Libras, posições 1º a 2º. Esses *AristeroDactiloFormEmas-SinisterumDigitiModusÍculos* e respectivos sinais ilustrativos são:

1: *Curvado(s), flexionado(s), destacado(s)*, ilustrado no sinal CABO ELÉTRICO (fio elétrico); e

2: *Separados*, ilustrado no sinal ALCE.

Tabela 7.45. Sinais que contêm os 2 *AristeroDactiloFormEmas-SinisterumDigitiModusÍculos* canônicos, com incidência acima da média de 319 no *corpus* de 13.500 sinais de Libras, posições 1º a 2º. Ordem e Incidência Absoluta de cada *SematosEma* de Articulação do(s) Dedo(s) Esquerdo(s)no *corpus*.

Ord e IA	***AristeroDactiloFormEmas-SinisterumDigitiModusÍculos***	**Sinal exemplo**
1º 504	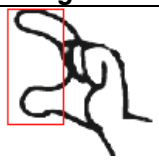 ADE2: dedo(s) curvado(s), flexionado(s), destacado(s)	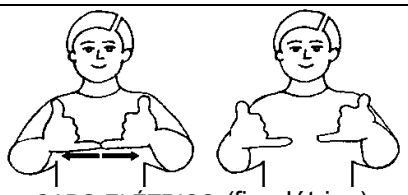 CABO ELÉTRICO (fio elétrico)
2º 353	 ADE4: dedo(s) separados	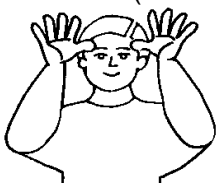 ALCE

Tabela 7.46 apresenta as ilustrações dos sinais que contêm os 3 *AristeroDactiloFormEmas-SinisterumDigitiModusÍculos* não canônicos, com incidência abaixo da média de 319 no *corpus* de 13.500 sinais de Libras, posições 3º a 5º.

Tabela 7.46. Sinais que contêm os 2 *AristeroDactiloFormEmas-SinisterumDigitiModusÍculos* não canônicos, com incidência abaixo da média de 940 no *corpus* de 13.500 sinais de Libras. Parte 2: *AristeroDactiloFormEmas-SinisterumDigitiModusÍculos*, posições 3º a 5º. Ordem e Incidência Absoluta de cada *SematosEma* de Articulação do(s) Dedo(s) Esquerdo(s) no *corpus*. Total de tipos de *SematosEmas* ADE. Incidência média de cada tipo de *SematosEma* ADE: Incidência total (de *SematosEmas* ADE) dividida pelo total de tipos de ADE.

Ord e IA	***AristeroDactiloFormEmas-SinisterumDigitiModusÍculos***	**Sinal exemplo**
3º 315	 ADE1: esticado(s), distendido(s)	 CAMA
4º 276	 ADE5: pontas unidas	 ALFINETE
5º 147	 ADE3: unidos e distendidos	 PINTAR, PINTAR-SE (rosto)
	Incidência total de *SematosEmas* ADE Total de tipos de *SematosEmas* ADE Incidência média de cada tipo de *SematosEma* ADE	1.595 5 319

Parâmetro 3: Local da Articulação (*ArtronToposEmas-ArticulatiLocusÍculos*)
Níveis:
3.1: CP: Cabeça e Proximidades
(*CefaloiPeriSematosEmas-CapitisCircumSignumÍculos*)

Houve 9 *CefaloPeriSematosEmas-CapitisCircumSignumÍculos* dos quais três canônicos (acima da média) e 6 não canônicos (abaixo da média).

A Tabela 7.47 apresenta as ilustrações dos sinais que contêm os três *CefaloPeriSematosEmas-CapitisCircumSignumÍculos* canônicos, com incidência acima da média de 416 no *corpus* de 13.500 sinais de Libras. Esses 3 *CefaloPeriSematosEmas-CapitisCircumSignumÍculos* e respectivos sinais ilustrativos são:

1: *Cabeça, na altura da cabeça*, ilustrado no sinal ABATIDO;
2: *Laterais da cabeça, tocando laterais*, ilustrado no sinal QUINTA-FEIRA;
3: *Diante do rosto (face)*, ilustrado no sinal ADMIRAR.

Tabela 7.47. Sinais que contêm os 3 *CefaloPeriSematosEmas-CapitisCircumSignumÍculos* canônicos, com incidência acima da média de 416 no *corpus* de 13.500 sinais de Libras. Parte 1: *CefaloiPeriSematosEmas-CapitisCircumSignumÍculos*, posições 1º a 3º. Ordem e Incidência Absoluta de cada *SematosEma* de Cabeça e Proximidades no *corpus*.

Ord e IA	*CefaloiPeriSematosEmas-CapitisCircumSignumÍculos*	Sinal exemplo
1º 1323	 CP3: na cabeça, na altura da cabeça	 ABATIDO
2º 742	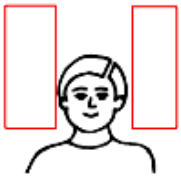 CP4: na(s) lateral (is) da cabeça, tocando laterais	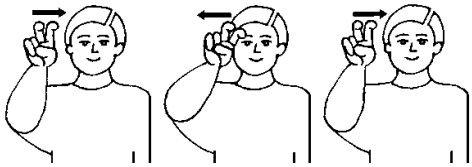 QUINTA-FEIRA
3º 663	 CP6: diante do rosto (face)	 ADMIRAR (apreciar), ADMIRADO

A Tabela 7.48 apresenta as ilustrações dos sinais que contêm os 6 *CefaloPeriSematosEmas-CapitisCircumSignumÍculos* não canônicos, com incidência abaixo da média de 416 no *corpus* de 13.500 sinais de Libras.

Tabela 7.48. Sinais que contêm os 6 *CefaloPeriSematosEmas-CapitisCircumSignumÍculos* não canônicos, com incidência abaixo da média de 416 no *corpus* de 13.500 sinais de Libras. Parte 2: *CefaloiPeriSematosEmas-CapitisCircumSignumÍculos*, posições 4º a 9º. Ordem e Incidência Absoluta de cada *SematosEma* de Cabeça e Proximidades no *corpus*. Total de tipos de *SematosEmas* CP. Incidência média de cada tipo de *SematosEma* CP: Incidência total (de *SematosEmas* CP) dividida pelo total de tipos de CP.

Ord e IA	***CefaloiPeriSematosEmas-CapitisCircumSignumÍculos***	**Sinal exemplo**
4º 285	 CP2: tocando a cabeça	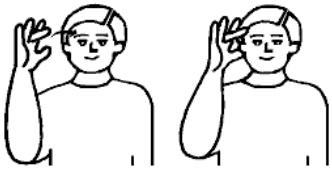 ACHAR, ACHAR-SE
5º 235	 CP1: acima da cabeça	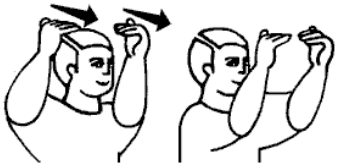 ABRIGO
6º 176	 CP5: lateral(is) do rosto	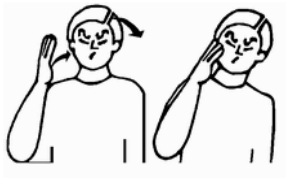 BOFETADA
7º 163	 CP8: tocando a(s) lateral(is) do pescoço	 ACUAR
8º 142	 CP7: pescoço, na altura do pescoço	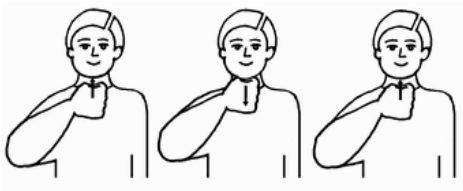 AVÔ (avó)
9º 15	 CP9: tocando nuca	 MENINGITE
	Incidência total de *SematosEmas* CP Total de tipos de *SematosEmas* CP Incidência média de cada tipo de *SematosEma* CP	3.744 9 416

3.2: RF: Rosto - Face e proximidades (*MascarasPeriSematosEmas-FacieCircumSignumÍculos*)

Houve 21 *MascarasPeriSematosEmas-FacieCircumSignumÍculos* dos quais 6 canônicos (acima da média) e 15 não canônicos (abaixo da média).

As Tabelas 7.49 e 7.50 apresentam as ilustrações dos sinais que contêm os 6 *MascarasPeriSematosEmas-FacieCircumSignumÍculos* canônicos, com incidência acima da média de 215 no *corpus* de 13.500 sinais de Libras. Esses *MascarasPeriSematosEmas-FacieCircumSignumÍculos* e respectivos sinais ilustrativos são:

1: *Proximidade da Boca*, ilustrada no sinal AÇÚCAR;
2: *Testa, tocando testa*, ilustrado no sinal CORNO;
3: *Tocando queixo*, ilustrado no sinal PEDIR DESCULPAS;
4: *Tocando lateral(is) da testa*, ilustrado no sinal BOI;
5: *Tocando nariz: (laterais ou ponta)*, ilustrado no sinal AMARELO;
6: *Tocando bochecha(s),* ilustrado no sinal MENINA.

Tabela 7.49. Sinais que contêm os 6 *MascarasPeriSematosEmas-FacieCircumSignumÍculos* canônicos, com incidência acima da média de 215 no *corpus* de 13.500 sinais de Libras. Parte 1: *MascarasPeriSematosEmas-FacieCircumSignumÍculos* , posições 1º a 4º. Ordem e Incidência Absoluta de cada *SematosEma* de Rosto - Face e proximidades no *corpus*.

Ord e IA	*MascarasPeriSematosEmas-FacieCircumSignumÍculos*	Sinal exemplo
1º 865	RF10: perto da Boca	AÇÚCAR
2º 557	RF1: perto da Testa, tocando testa	CORNO (chifre de animal)
3º 411	RF19: tocando queixo	PEDIR DESCULPAS (desculpar-se)
4º 372	RF2: tocando lateral(is) da testa	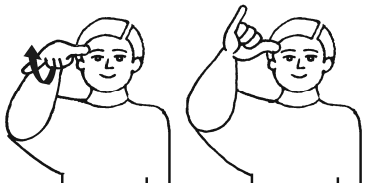 BOI

As Tabelas 7.50 (Linha 4 em diante), 7.51 e 7.52 apresentam as ilustrações dos sinais que contêm os 15 *MascarasPeriSematosEmas-FacieCircumSignumÍculos* não canônicos, com incidência abaixo da média de 215 no *corpus* de 13.500 sinais de Libras.

Tabela 7.50. Sinais que contêm os 2 *MascarasPeriSematosEmas-FacieCircumSignumÍculos* canônicos, com incidência acima da média de 215 no *corpus* de 13.500 sinais de Libras e sinais que contêm 4 *MascarasPeriSematosEmas-FacieCircumSignumÍculos* não canônicos, com incidência abaixo da média de 215 no *corpus* de 13.500 sinais de Libras. Parte 2: *MascarasPeriSematosEmas-FacieCircumSignumÍculos*, posições 5º a 10º. Ordem e Incidência Absoluta de cada *SematosEma* de Rosto - Face e proximidades no *corpus*.

Ord e IA	***MascarasPeriSematosEmas-FacieCircumSignumÍculos***	**Sinal exemplo**
5º 337	 RF7: tocando nariz: (laterais ou ponta)	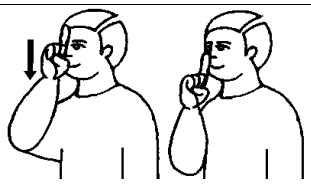 AMARELO
6º 290	 RF9: tocando bochecha(s)	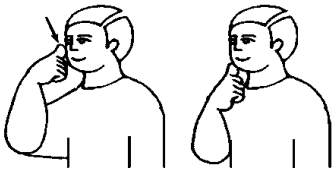 MENINA
7º 212	 RF11: tocando boca	 DENTUÇO (CL)
8º 204	 RF18: queixo	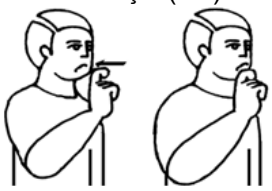 GELAR, GELADO
9º 187	 RF4: tocando abaixo ou canto do olho	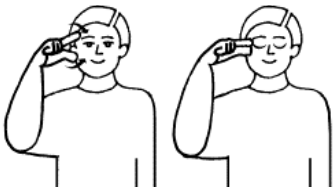 ADORMECER
10º 172	 RF13: tocando lábio(s)	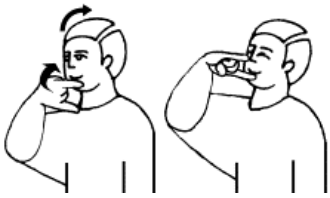 AGUARDENTE

Tabela 7.51. Sinais que contêm os 15 *MascarasPeriSematosEmas-FacieCircumSignumÍculos* não canônicos, com incidência abaixo da média de 215 no *corpus* de 13.500 sinais de Libras. Parte 3: *MascarasPeriSematosEmas-FacieCircumSignumÍculos*, posições 11º a 16º. Ordem e Incidência Absoluta de cada *SematosEma* de Rosto - Face e proximidades no *corpus*.

Ord e IA	***MascarasPeriSematosEmas-FacieCircumSignumÍculos***	**Sinal exemplo**
11º 158	 RF3: olho(s)	 CEGO, CEGUEIRA
12º 148	 RF12: laterais da boca	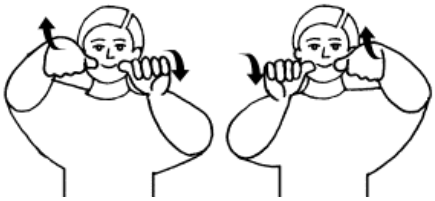 BOMBOM (chocolate)
13º 148	 RF14: lábio(s) (superior ou inferior)	 CAMPINAS (município de SP)
14º 89	 RF8: bochecha(s)	 BESOURO
15º 86	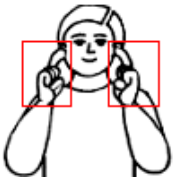 RF6: tocando orelha(s)	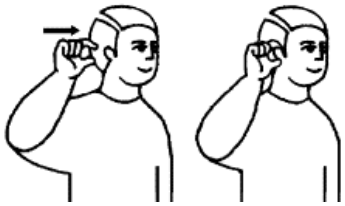 APARELHO AUDITIVO
16º 82	 RF5: orelha(s)	 ASSISTIR (TV, filme)

Tabela 7.52. Sinais que contêm os 15 *MascarasPeriSematosEmas-FacieCircumSignumÍculos* não canônicos, com incidência abaixo da média de 215 no *corpus* de 13.500 sinais de Libras. Parte 4: *MascarasPeriSematosEmas-FacieCircumSignumÍculos*, posições 17º a 21º. Ordem e Incidência Absoluta de cada *SematosEma* de Rosto - Face e proximidades no *corpus*. Total de tipos de *SematosEmas* RF. Incidência média de cada tipo de *SematosEma* RF: Incidência total (de *SematosEmas* RF) dividida pelo total de tipos de RF.

Ord e IA	***MascarasPeriSematosEmas-FacieCircumSignumÍculos***	**Sinal exemplo**
17º 75	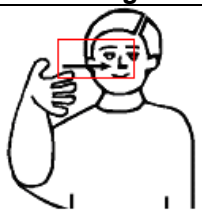 RF20: nariz	 ACAUTELAR-SE (prevenir-se)
18º 28	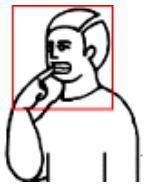 RF15: tocando dente	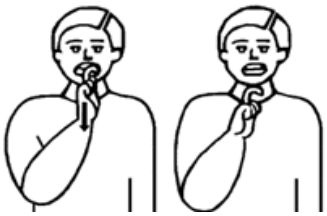 EXTRAIR (dente)
19º 59	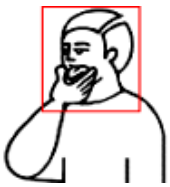 RF16: tocando língua	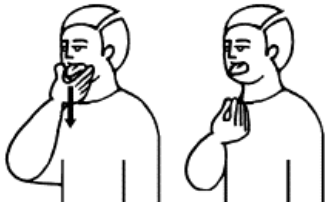 BABAR, BABAR-SE, BABA
20º 18	 RF17: tocando ponta da língua	 CARTA
21º 11	 RF21: buço, tocando buço	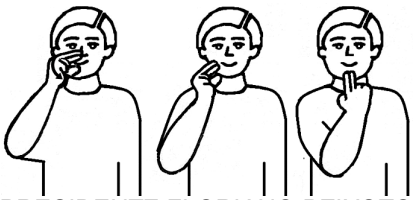 PRESIDENTE FLORIANO PEIXOTO
	Incidência total de *SematosEmas* RF Total de tipos de *SematosEmas* RF Incidência média de cada tipo de *SematosEma* RF	4.502 21 215

3.3: TA: Tronco e proximidades (Tórax e Abdome) (*SomasPeriSematosEmas-CorpiCircumSignumÍculos*) ou (*ToracicoiPeriSematosEmas-TronciCircumSignumÍculos)*

Houve 11 *SomasPeriSematosEmas-CorporisCircumSignumÍculos*, dos quais 4 canônicos (acima da média) e 7 não canônicos (abaixo da média).

A Tabela 7.53. apresenta as ilustrações dos sinais que contêm os 4 *SomasPeriSematosEmas-CorporisCircumSignumÍculos* ou *ToracicosPeriSematosEmas-TroncusCircumSignumÍculos* canônicos, com incidência acima da média de 297 no *corpus* de 13.500 sinais de Libras. Esses *MascarasCinesEmas-PersonaMotusÍculos* e respectivos sinais ilustrativos são:

1: *Tocando peito*, ilustrado no sinal ABRAÇAR;
2: *Ombro(s)*, ilustrado no sinal APOSENTADORIA;
3: *À frente do corpo, distante do corpo*, ilustrado no sinal UNIDADE; e
4: *Lateral do corpo (esquerda ou direita)*, ilustrado no sinal CADEIRA DE RODAS.

Tabela 7.53. Sinais que contêm os 4 *SomasPeriSematosEmas-CorporisCircumSignumÍculos* canônicos, com incidência acima da média de 297 no *corpus* de 13.500 sinais de Libras. Parte 1: *SomasPeriSematosEmas-CorpiCircumSignumÍculos*, posições 1º a 4º.

Ord e IA	*ToracicoiPeriSematosEmas-TronciCircumSignumÍculos*	Sinal exemplo
1º 889	 TA6: tocando peito	 ABRAÇAR, ABRAÇAR-SE, ABRAÇO
2º 724	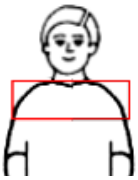 TA4: perto do(s) Ombro(s)	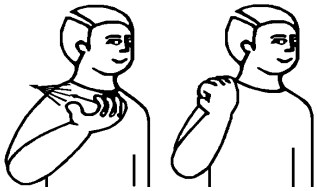 APOSENTADORIA
3º 599	 TA2: à frente do corpo, distante do corpo	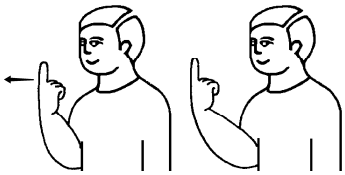 UNIDADE
4º 368	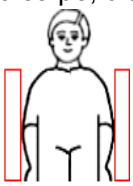 TA1: na(s) lateral(is) do corpo (esquerda e-ou direita)	 CADEIRA DE RODAS

As Tabelas 7.54. e 7.55. apresentam as ilustrações dos sinais que contêm os 7 *MascarasPeriSematosEmas-FacieCircumSignumÍculos* não canônicos, com incidência abaixo da média de 215 no *corpus* de 13.500 sinais de Libras.

Tabela 7.54. Sinais que contêm os 7 *SomasPeriSematosEmas-CorporisCircumSignumÍculos* não canônicos, com incidência abaixo da média de 297 no *corpus* de 13.500 sinais de Libras. Parte 2: *SomasPeriSematosEmas-CorporisCircumSignumÍculos*, posições 5º a 9º. Ordem e Incidência Absoluta de cada *SematosEma* de Tronco e proximidades no *corpus*.

Ord	***ToracicoiPeriSematosEmas-TronciCircumSignumÍculos***	**Sinal exemplo**
5º 203	 TA5: tocando ombro(s), axilas	 BOA-VIDA
6º 184	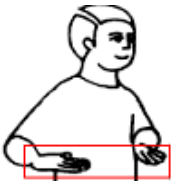 TA9: cintura (esquerda ou direita)	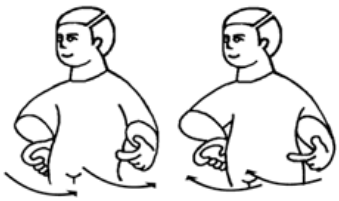 BAMBOLÊ
7º 100	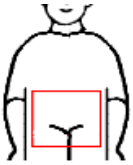 TA10: abdome, na região pélvica	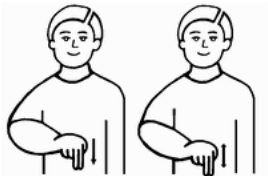 NOVEMBRO
8º 86	 TA8: tocando barriga	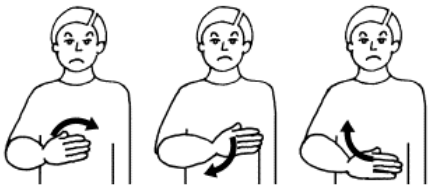 DISPEPSIA
9º 59	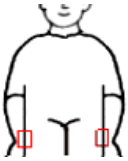 TA11: quadril(is), nádegas (esquerdo ou direito)	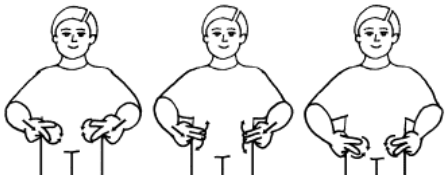 LAQUEADURA DE TROMPAS

Tabela 7.55. Sinais que contêm os 7 *SomasPeriSematosEmas-CorporisCircumSignumÍculos* não canônicos, com incidência abaixo da média de 297 no *corpus* de 13.500 sinais de Libras . Parte 3: *SomasPeriSematosEmas-CorporisCircumSignumÍculos*, posições 10º a 11º. Ordem e Incidência Absoluta de cada *SematosEma* de Tronco e proximidades no *corpus*. Total de tipos de *SematosEmas* TA. Incidência média de cada tipo de *SematosEma* TA: Incidência total (de *SematosEmas* TA) dividida pelo total de tipos de TA.

Ord	***ToracicoiPeriSematosEmas-TronciCircumSignumÍculos***	**Sinal exemplo**
10º 34	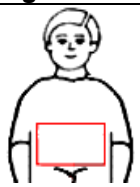 TA7: barriga	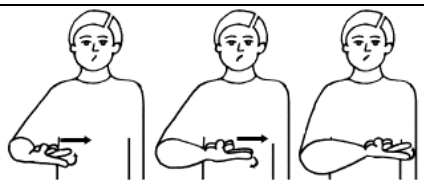 CIRURGIA, CIRÚRGICO
11º 21	 TA3: tocando costas	 PNEUMONIA
	Incidência total de *SematosEmas* TA	3.267
	Total de tipos de *SematosEmas* TA	11
	Incidência média de cada tipo de *SematosEma* TA	297

3.4: PB: Membros e proximidades (Pernas e Braços) (*MeloiPeriSematosEmas-MembriCircumSignumÍculos*)

Houve 16 *MeliPeriSematosEmas-MembriCircumSignumÍculos*, dos quais 6 canônicos (acima da média) e 10 não canônicos (abaixo da média).

A Tabela 7.56 apresenta as ilustrações dos sinais que contêm os 6 *MeliPeriSematosEmas-MembriCircumSignumÍculos* canônicos, com incidência acima da média de 122 no *corpus* de 13.500 sinais de Libras. Esses *MeliPeriSematosEmas-MembriCircumSignumÍculos* e respectivos sinais ilustrativos são:

1: *Braço dobrado horizontal*, ilustrada no sinal ALPENDRE;
2: *Tocando antebraço* no sinal ANTEBRAÇO;
3: *Braço dobrado vertical*, ilustrado no sinal ATÉ QUE ENFIM;
4: *Tocando cotovelo*, ilustrado no sinal ALTO;
5: *Braço*, ilustrado no sinal BRAÇO.
6: *Braço distendido horizonta*, ilustrado no sinal ATENÇÃO.

Tabela 7.56. Sinais que contêm os 6 *MeliPeriSematosEmas-MembriCircumSignumÍculos* canônicos, com incidência acima da média de 122 no *corpus* de 13.500 sinais de Libras. Parte 1: *MeloiPeriSematosEmas-MembriCircumSignumÍculos*, posições 1º a 5º. Ordem e Incidência Absoluta de cada *SematosEma* de Membros e proximidades (Pernas e Braços) no *corpus*.

Ord e IA	***MeloiPeriSematosEmas-MembriCircumSignumÍculos***	**Sinal exemplo**
1º 289	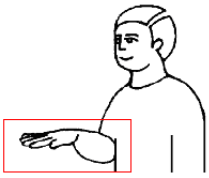 PB10: perto do Braço dobrado horizontal	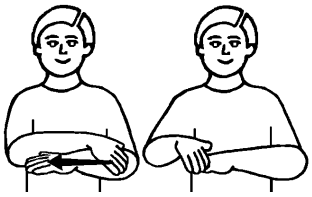 ALPENDRE
1º 289	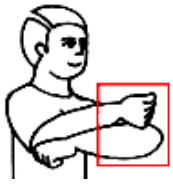 PB2: tocando antebraço	 ANTEBRAÇO
2º 150	 PB9: braço dobrado vertical	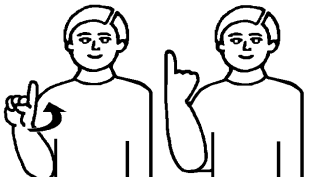 ATÉ QUE ENFIM! (finalmente)
3º 126	 PB6: tocando cotovelo	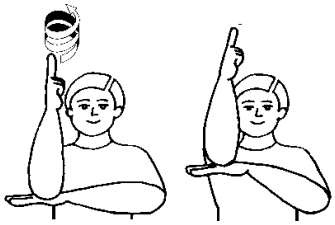 ALTO (estatura)
4º 157	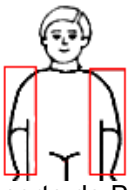 PB1: perto do Braço	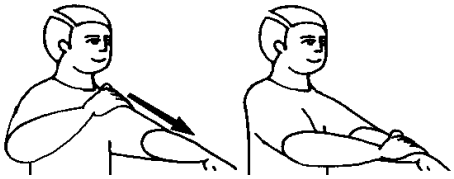 BRAÇO
5º 147	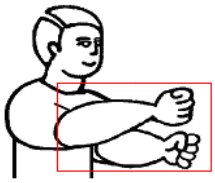 PB13: perto do Braço distendido horizontal	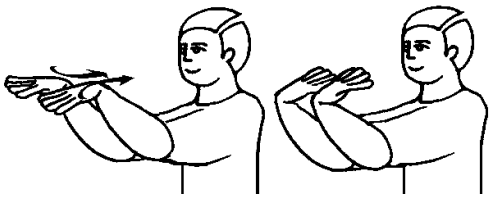 ATENÇÃO

As Tabelas 7.57 e 7.58 apresentam as ilustrações dos sinais que contêm os 10 *MeliPeriSematosEmas-MembriCircumSignumÍculos* não canônicos, com incidência abaixo da média de 122 no *corpus* de 13.500 sinais de Libras.

Tabela 7.57. Sinais que contêm os 10 *MeliPeriSematosEmas-MembriCircumSignumÍculos* não canônicos, com incidência abaixo da média de 122 no *corpus* de 13.500 sinais de Libras. Parte 2: *MeloiPeriSematosEmas-MembriCircumSignumÍculos*, posições 6º a 10º. Ordem e Incidência Absoluta de cada *SematosEma* de Membros e proximidades (Pernas e Braços) no *corpus*.

Ord e IA	***MeloiPeriSematosEmas-MembriCircumSignumÍculos***	**Sinal exemplo**
6º 72	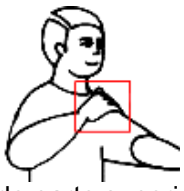 PB5: tocando parte superior do braço	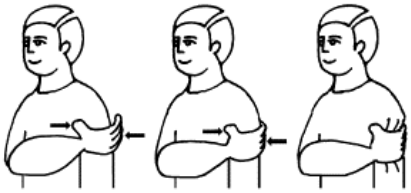 APERTAR
7º 57	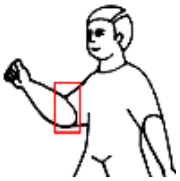 PB3: dobra do braço	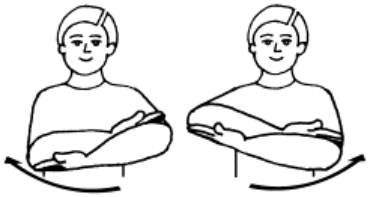 BEBÊ
8º 42	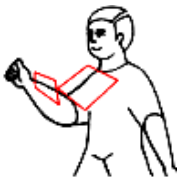 PB4: parte interna do braço	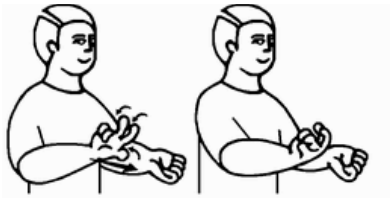 EXAME DE SANGUE
9º 38	 PB15: braço com cotovelo afastado do corpo	 CADEIRA DE RODAS
10º 32	 PB11: braço distendido vertical para baixo	 BOLICHE

Tabela 7.58. Sinais que contêm os 10 *MeliPeriSematosEmas-MembriCircumSignumÍculos* não canônicos, com incidência abaixo da média de 122 no *corpus* de 13.500 sinais de Libras. Parte 3: *MeloiPeriSematosEmas-MembriCircumSignumÍculos*, posições 11º a 14º. Ordem e Incidência Absoluta de cada *SematosEma* de Membros e proximidades (Pernas e Braços) no *corpus*. Total de tipos de *SematosEmas* PB. Incidência média de cada tipo de *SematosEma* PB: Incidência total (de *SematosEmas* PB) dividida pelo total de tipos de PB.

Ord e IA	***MeloiPeriSematosEmas-MembriCircumSignumÍculos***	**Sinal exemplo**
11º 28	 PB14: braço inclinado	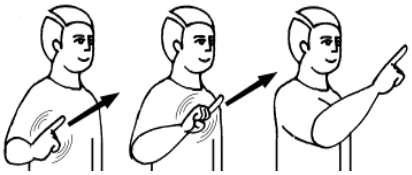 ALTITUDE
12º 23	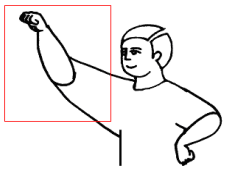 PB12: braço distendido vertical para cima	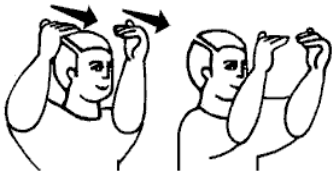 ABRIGO (cobertura, teto)
13º 21	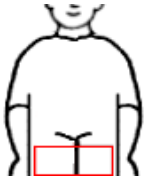 PB7: coxa(s) (esquerda ou direita)	 CULPA, CULPADO
14º 5	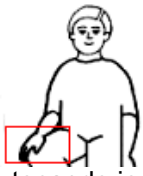 PB8: tocando joelho	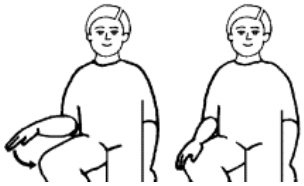 JOELHO
14º 5	 PB16: braço atrás da cabeça	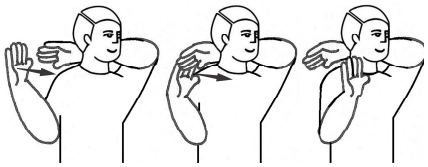 JUMENTO
	Incidência total de *SematosEmas* PB	1.951
	Total de tipos de *SematosEmas* PB	16
	Incidência média de cada tipo de *SematosEma* PB	122

3.5: LA: Lado da Articulação do Sinal (*DexaDiplasEma - DestroLatusÍculo*)

Tabela 7.59. Incidência Absoluta (IA) em ordem decrescente das 2 unidades de sinalização referentes aos 97 casos (média de 48) de Lado da Articulação do sinal (*DiplasEmas – LatusÍculos*): à direita (*DexaDiplasEma - DestroLatusÍculo*) ou à esquerda (*AristeraDiplasEma - SinistroLatusÍculos*) observadas no *corpus* de 13.500 sinais do *Dic-Brasil*. Os dois *SematosEmas* encontram-se tabelados. Total de tipos de *SematosEmas* LA. Incidência média de cada tipo de *SematosEma* LA: Incidência total (de *SematosEmas* LA) dividida pelo total de tipos de LA.

Ord.	*DexaDiplasEma - DestroLatusÍculo*	Sinal exemplo
1º 66	LA2: lado da articulação do sinal: à esquerda	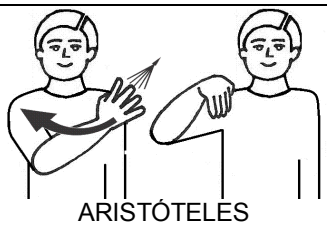 ARISTÓTELES
2º 31	LA1: lado da articulação do sinal: à direita	PARALISIA FACIAL
	Incidência total de *SematosEmas* LA	97
	Total de tipos de *SematosEmas* LA	2
	Incidência média de cada tipo de *SematosEma* LA	48

O sinal **ARISTÓTELES** é um exemplo em que deve ser tocado o lado esquerdo do peito e depois lado direito. Os *SematosEmas* mais próximos para a seleção poderiam ser “Tocando peito” (TA6) e “Repetir o movimento” (FI5). A seleção desses *SematosEmas* via *BuscaSigno 3* resultaria em 292 sinais. A seleção do *SematosEmas* “Lado direito do corpo” (LA1) reduz o número de sinais alternativos a 30 no menu de busca.

Parâmetro 4: Movimento (*Cinese-Motus*)
4.1: MM: Movimento da(s) Mão(s)
(*QuiriCineEmas-ManusMotusÍculos*)
4.1.1: MMD: Movimento da Mão Direita
(*DexiQuiroCinesEmas-DestroManusMotusÍculos*)

Houve 55 *DexiQuiroCinesEmas-DestroManusMotusÍculos*, dos quais 18 canônicos (acima da média) e 37 não canônicos (abaixo da média).

As Tabelas 7.60 a 7.62 apresentam as ilustrações dos sinais que contêm os 18 *DexiQuiroCinesEmas-DestroManusMotusÍculos* canônicos, com incidência acima da média de 401 no *corpus* de 13.500 sinais de Libras. Esses *DexiQuiroCinesEmas-DestroManusMotusÍculos* e respectivos sinais ilustrativos são:

1: *Para baixo*, ilustrado no sinal A SUL;
2: *Para frente*, ilustrado no sinal ACESSO (ingresso, alcance, entrada);
3: *Para a direita*, ilustrado no sinal À DIREITA, À DIREITA DE;
4: *Girar pelo pulso,* ilustrada no sinal RELIGIÃO;
5: *Para a esquerda*, ilustrado no sinal À ESQUERDA, À ESQUERDA DE;
6: *Para cima*, ilustrado no sinal ABSORVER (líquido);
7: *Mover sentido horário*, ilustrado no sinal ADVOGADO;
8: *Para trás*, ilustrado no sinal PARTIR (dividir ao meio);
9: *Círculo(s) para lados a*, ilustrado no sinal ABDÔMEN; e
10: *Afastar*, ilustrado no sinal ABRIR JANELA;
11: *Aproximar*, ilustrado no sinal ACASALAR, ACASALAMENTO.
12: *Balançar para cima e para baixo*, ilustrado no sinal ADVERTIR (censurar, repreender);
13: *Mover sentido anti-horário*, ilustrado no sinal ADOÇAR;
14: *Círculo(s) para frente*, ilustrado no sinal ADVOGADO;
15: *Abrir mão*, ilustrado no sinal ABENÇOAR;
16: *Para cima e para baixo (vice-versa)*, ilustrado no sinal COMBUSTÍVEL;
17: *Fechar mão*, ilustrado no sinal ABORTAR (provocado) ABORTO; e
18: *Balançar para os lados*, ilustrado no sinal ABANO.

Tabela 7.60. Sinais que contêm os 18 *DexiQuiroCinesEmas-DestroManusMotusÍculos* canônicos, com incidência acima da média de 401 no *corpus* de 13.500 sinais de Libras. Parte 1: *DexiQuiroCinesEmas-DestroManusMotusÍculos*, posições 1º a 6º. Ordem e Incidência Absoluta de cada *SematosEma* de Movimento da Mão Direita no *corpus*.

Ord e IA	***DexiQuiroCinesEmas-DestroManusMotusÍculos***	**Sinal exemplo**
1º 2225	 MMD9: movimento da mão para baixo	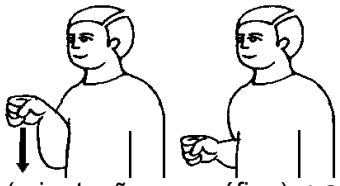 A SUL (orientação geográfica), A SUL DE
2º 2204	 MMD6: movimento da mão para frente	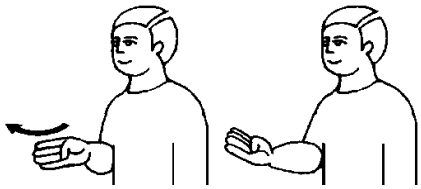 ACESSO (ingresso, alcance, entrada)
3º 2057	 MMD4: movimento da mão para a direita	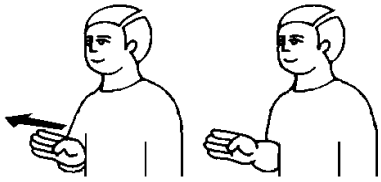 À DIREITA, À DIREITA DE
4º 1566	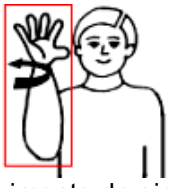 MMD38: movimento de girar pelo pulso	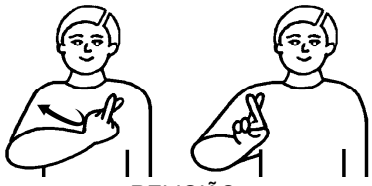 RELIGIÃO
5º 1185	 MMD5: movimento da mão para a esquerda	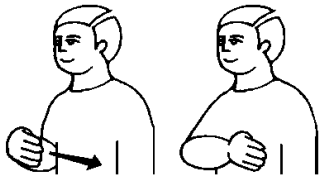 À ESQUERDA, À ESQUERDA DE
6º 1044	 MMD8: movimento da mão para cima	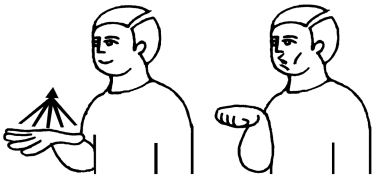 ABSORVER (líquido)

Tabela 7.61. Sinais que contêm os 18 *DexiQuiroCinesEmas-DestroManusMotusÍculos* canônicos, com incidência acima da média de 401 no *corpus* de 13.500 sinais de Libras. Parte 2: *DexiQuiroCinesEmas-DestroManusMotusÍculos*, posições 7º a 11º. Ordem e Incidência Absoluta de cada *SematosEma* de Movimento da Mão Direita no *corpus*.

Ord e IA	***DexiQuiroCinesEmas-DestroManusMotusÍculos***	**Sinal exemplo**
7º 809	 MMD49: mover sentido horário	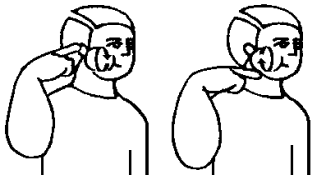 ADVOGADO
8º 801	 MMD7: movimento da(s) mão(s) para trás	 PARTIR (dividir ao meio)
9º 750	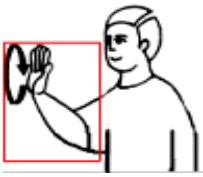 MMD27: movimento da mão em Círculo(s) para lados	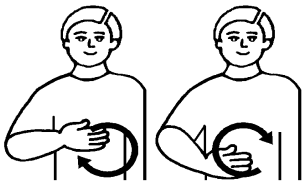 ABDÔME
10º 636	 MMD46: movimento de afastar a(s) mão(s)	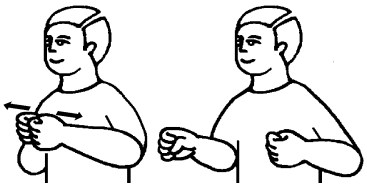 ABRIR JANELA
11º 534	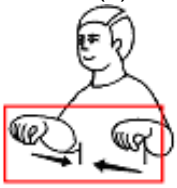 MMD45: movimento de Aproximar	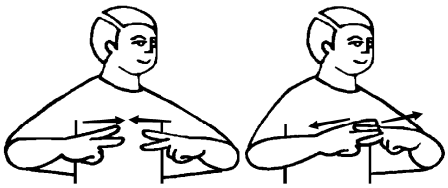 ACASALAR, ACASALAMENTO
11º 534	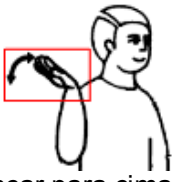 MMD1: balançar para cima e para baixo	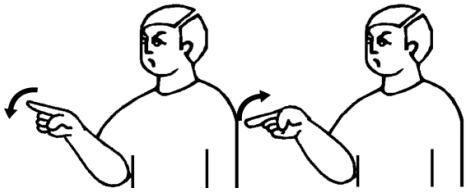 ADVERTIR (censurar, repreender)

Tabela 7.62. Sinais que contêm os 18 *DexiQuiroCinesEmas-DestroManusMotusÍculos* canônicos, com incidência acima da média de 401 no *corpus* de 13.500 sinais de Libras. Parte 3: *DexiQuiroCinesEmas-DestroManusMotusÍculos*, posições 12º a 17º. Ordem e Incidência Absoluta de cada *SematosEma* de Movimento da Mão Direita no *corpus*.

Ord e IA	***DexiQuiroCinesEmas-DestroManusMotusÍculos***	**Sinal exemplo**
12º 525	 MMD50: mover sentido anti-horário	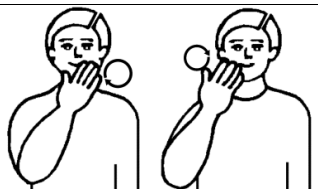 ADOÇAR
13º 516	 MMD25: movimento da mão em Círculo(s) para frente	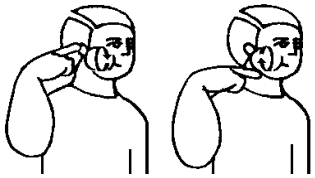 ADVOGADO
14º 457	 MMD41: abrir mão	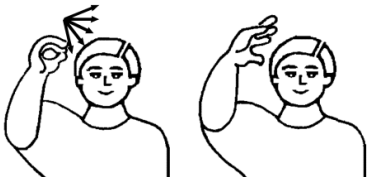 ABENÇOAR
15º 427	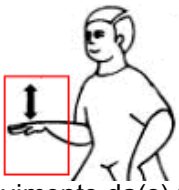 MMD10: movimento da(s) mão(s) para cima e para baixo (*vice-versa*)	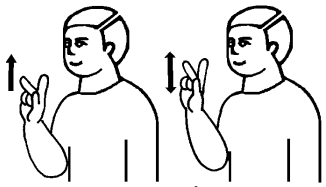 COMBUSTÍVEL
16º 419	 MMD42: fechar mão	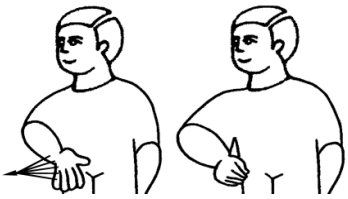 ABORTAR ABORTO
17º 416	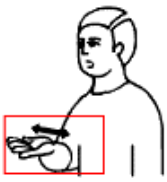 MMD3: balançar para os lados	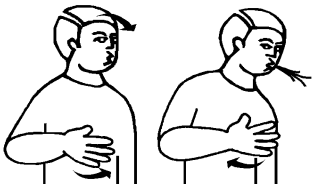 ABANO

As Tabelas 7.63 a 7.68 apresentam as ilustrações dos sinais que contêm os 37 *DexiQuiroCinesEmas-DestroManusMotusÍculos* não canônicos, com incidência abaixo da média de 401 no *corpus* de 13.500 sinais de Libras.

Tabela 7.63. Sinais que contêm os 37 *DexiQuiroCinesEmas-DestroManusMotusÍculos* não canônicos, com incidência abaixo da média de 401 no *corpus* de 13.500 sinais de Libras. Parte 4: *DexiQuiroCinesEmas-DestroManusMotusÍculos*, posições 18º a 23º. Ordem e Incidência Absoluta de cada *SematosEma* de Movimento da Mão Direita no *corpus*.

Ord e IA	***DexiQuiroCinesEmas-DestroManusMotusÍculos***	**Sinal exemplo**
18º 371	 MMD11: para frente e para trás (*vice-versa*)	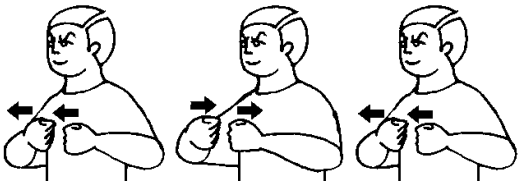 FORTE (ROBUSTO)
19º 343	 MMD39: dobrar pelo pulso	 ASA (AVES)
20º 332	 MMD2: balançar para frente e para trás	 APELIDO
21º 325	 MMD32: arco(s) para lados	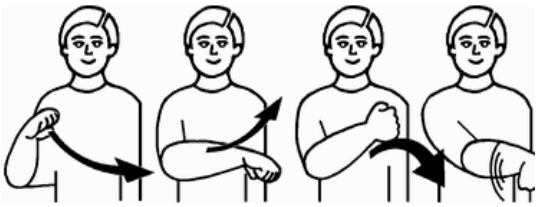 MEDIDA (concha)
22º 323	 MMD12: para lados	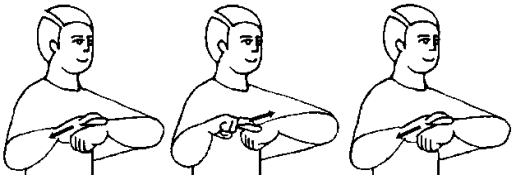 ROXO
23º 291	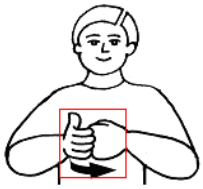 MMD43: girar a mão ao redor	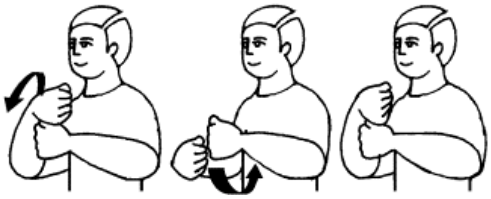 ANO

Tabela 7.64. Sinais que contêm os 37 *DexiQuiroCinesEmas-DestroManusMotusÍculos* não canônicos, com incidência abaixo da média de 401 no *corpus* de 13.500 sinais de Libras. Parte 5: *DexiQuiroCinesEmas-DestroManusMotusÍculos*, posições 24º a 29º. Ordem e Incidência Absoluta de cada *SematosEma* de Movimento da Mão Direita no *corpus*.

Ord e IA	***DexiQuiroCinesEmas-DestroManusMotusÍculos***	**Sinal exemplo**
24º 290	 MMD18: para baixo e esquerda	 ALIQUOTA
25º 281	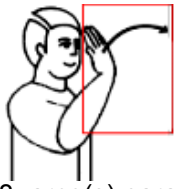 MMD28: arco(s) para frente	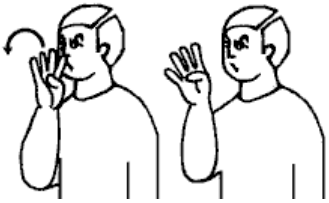 ABSURDO!
26º 235	 MMD48: inclinar	 APROXIMADAMENTE
27º 210	 MMD19: para baixo e frente	 ACELERAR (veículos)
28º 201	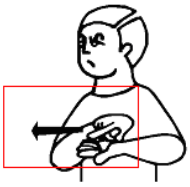 MMD44: ir além de	 APROFUNDAR-SE
29º 188	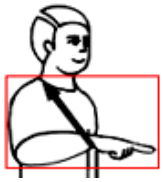 MMD22: para cima e direita	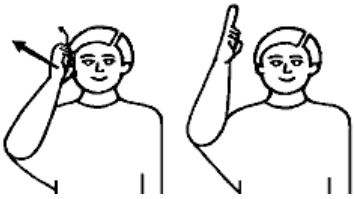 ADIVINHAR

Tabela 7.65. Sinais que contêm os 37 *DexiQuiroCinesEmas-DestroManusMotusÍculos* não canônicos, com incidência abaixo da média de 401 no *corpus* de 13.500 sinais de Libras. Parte 6: *DexiQuiroCinesEmas-DestroManusMotusÍculos*, posições 29º a 34º. Ordem e Incidência Absoluta de cada *SematosEma* de Movimento da Mão Direita no *corpus*.

Ord e IA	***DexiQuiroCinesEmas-DestroManusMotusÍculos***	**Sinal exemplo**
29º 188	 MMD31: arco(s) para baixo	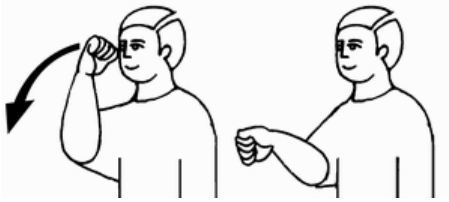 PESCADOR
30º 162	 MMD17: para baixo e direita	 BARULHO
31º 145	 MMD30: arco(s) para cima	 BICHO-PREGUIÇA (preguiça)
32º 114	 MMD21: para cima e frente	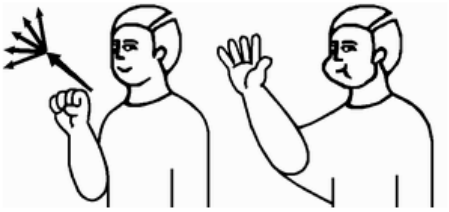 ESGUICHAR
33º 85	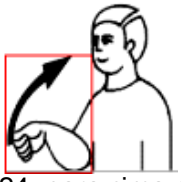 MMD24: para cima e trás	 CARECA
34º 84	 MMD47: unir	 ESPOSO, ESPOSA

Tabela 7.66. Sinais que contêm os 37 *DexiQuiroCinesEmas-DestroManusMotusÍculos* não canônicos, com incidência abaixo da média de 401 no *corpus* de 13.500 sinais de Libras. Parte 7: *DexiQuiroCinesEmas-DestroManusMotusÍculos*, posições 35º a 41º. Ordem e Incidência Absoluta de cada *SematosEma* de Movimento da Mão Direita no *corpus*.

Ord	***DexiQuiroCinesEmas-DestroManusMotusÍculos***	**Sinal exemplo**
35º 80	 MMD52: esfregar as mãos	 LAVAR (roupas e utensílios em geral)
36º 76	 MMD13: para direita e frente	 SONHAR, SONHO
37º 75	 MMD29: arco(s) para trás	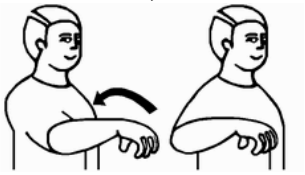 REGIÃO DO CARIRI
38º 71	 MMD23: para cima e esquerda	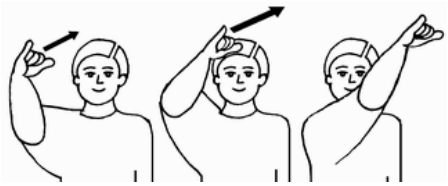 AVIÃO
39º 68	 MMD36: fazer círculo	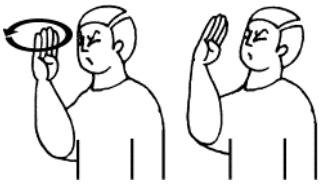 VERTIGEM
40º 62	 MMD26: círculo(s) para trás	 CARNEIRO
41º 51	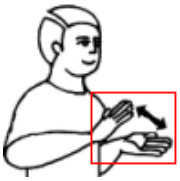 MMD40:bater palmas	 ELOGIAR

Tabela 7.67. Sinais que contêm os 37 *DexiQuiroCinesEmas-DestroManusMotusÍculos* não canônicos, com incidência abaixo da média de 401 no *corpus* de 13.500 sinais de Libras. Parte 8: *DexiQuiroCinesEmas-DestroManusMotusÍculos*, posições 42º ao 47º. Ordem e Incidência Absoluta de cada *SematosEma* de Movimento da Mão Direita no *corpus*.

Ord	***DexiQuiroCinesEmas-DestroManusMotusÍculos***	**Sinal exemplo**
42º 45	 MMD37:fazer cruz	 JURAR, JURA
43º 43	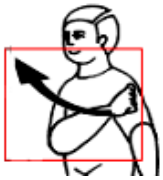 MMD15:para esquerda e frente	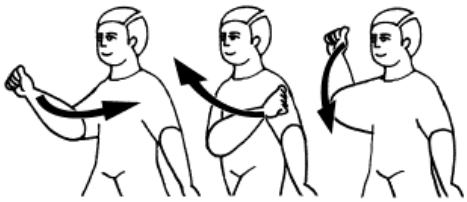 JOGAR (tênis)
44º 41	 MMD54: apontar para...	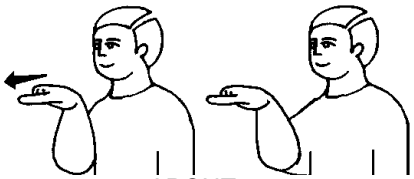 APONTAR
45º 34	 MMD53: tocando em várias partes do corpo ou lugares diferentes	 CATAPORA
46º 32	 MMD33: abrir e fechar	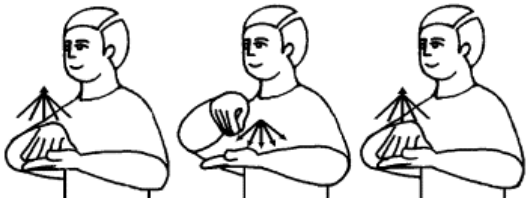 XEROCAR, XEROX, XEROCÓPIA
47º 23	 MMD14: para direita e trás	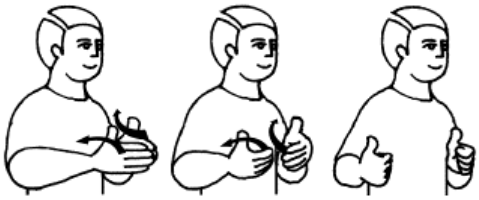 PEDIR

Tabela 7.68. Sinais que contêm os 37 *DexiQuiroCinesEmas-DestroManusMotusÍculos* não canônicos, com incidência abaixo da média de 401 no *corpus* de 13.500 sinais de Libras. Parte 9: *DexiQuiroCinesEmas-DestroManusMotusÍculos*, posições 48º a 53º. Ordem e Incidência Absoluta de cada *SematosEma* de Movimento da Mão Direita no *corpus*. Total de tipos de *SematosEmas* MMD. Incidência média de cada tipo de *SematosEma* MMD: Incidência total (de *SematosEmas* MMD) dividida pelo total de tipos de MMD.

Ord	***DexiQuiroCinesEmas-DestroManusMotusÍculos***	**Sinal exemplo**
48º 21	 MMD16: para esquerda e trás	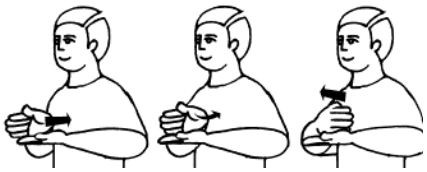 PARTE (pedaço)
49º 21	 MMD35:fazer quadrado ou retângulo	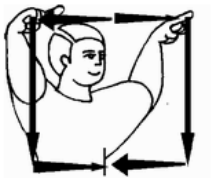 PAINEL
50º 20	 MMD20:para baixo e trás	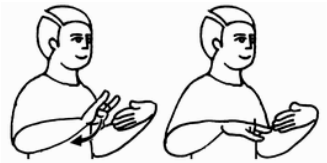 ATESTADO
51º 17	 MMD55: bater na mão ou no braço	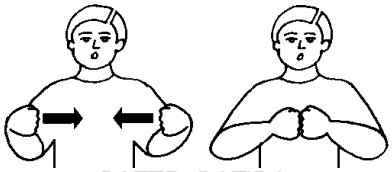 BATER, BATIDA
52º 14	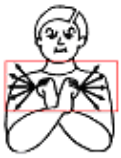 MMD51: descruzar os braços	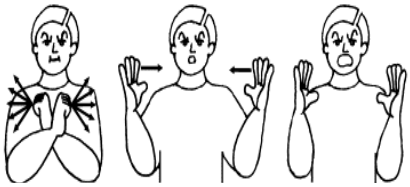 EXPLODIR, EXPLOSÃO
53º 2	 MMD34: simular nó ou laço	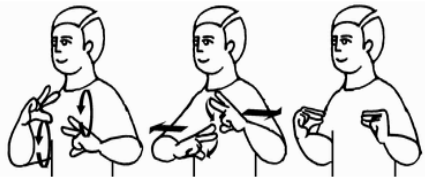 PRESENTE (objeto doado)
	Incidência total de *SematosEmas* MMD Total de tipos de *SematosEmas* MMD Incidência média de cada tipo de *SematosEma* MMD	22.069 55 401

4.1.2: MME: Movimento da Mão Esquerda (*AristeroQuiriCinesEmas-SinistraManusMotusÍculos*)

Houve 51 *AristeroQuiriCinesEmas-SinisteraManusMotusÍculos*, dos quais 16 canônicos (acima da média) e 39 não canônicos (abaixo da média).

As Tabelas 7.69 a 7.71 apresentam as ilustrações dos sinais que contêm os 16 *AristeroQuiriCinesEmas-SinisteraManusMotusÍculos* canônicos, com incidência acima da média de 116 no *corpus* de 13.500 sinais de Libras. Esses *AristeroQuiriCinesEmas-SinisteraManusMotusÍculos* e respectivos sinais ilustrativos são:

1: *Para a esquerda*, ilustrado no sinal TERMINAR;
2: *Para frente*, ilustrada no sinal MÁQUINA DE COSTURA;
3: *Para baixo*, ILUSTRADA no sinal EXAUSTO;
4: *Afastar*, ILUSTRADA no sinal ABRIR JANELA;
5: *Para a direita*, ilustrado no sinal ADIAR, ADIADO, ADIAMENTO;
6: *Girar pelo pulso*, ilustrada no sinal AJUSTAR-SE (AO TAMANHO, CABER);
7: *Para cima*, ilustrada no sinal ORGULHO (sentido positivo);
8: *Aproximar*, ilustrado no sinal ABREVIAR, ABREVIATURA;
9: *Para trás a*, ilustrada no sinal AMAR, AMAR-SE; e
10: *Para cima e para baixo (vice-versa)*, ilustrado no sinal ARROZ;
11: *Círculo(s) para frente*, ilustrada no sinal ADULAR;
12: *Balançar para cima e para baixo* ÀS VEZES;
13: *Abrir mão*, ilustrado no sinal ABAJUR;
14: *Mover sentido horário,* ilustrado no sinal AGRICULTURA;
15: *Para frente e para trás (vice-versa)*, ilustrado no sinal ANSIEDADE (agitação), ANSIOSO; e
16: *círculo(s) para lados*, ilustrado no sinal ARRUMAR (organizar).

Tabela 7.69. Sinais que contêm os 16 *AristeroQuiriCinesEmas-SinistraManusMotusÍculos* canônicos, com incidência acima da média de 153 no *corpus* de 13.500 sinais de Libras. Parte 1: *AristeroQuiriCinesEmas-SinistraManusMotusÍculos*, posições 1º a 6º. Ordem e Incidência Absoluta de cada *SematosEma* de Movimento da Mão Esquerda no *corpus*.

Ord e IA	***AristeroQuiriCinesEmas-SinistraManusMotusÍculos***	**Sinal exemplo**
1º 968	 MME5: movimento da mão para a esquerda	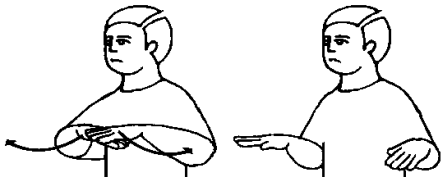 TERMINAR
2º 709	 MME6: movimento da mão para frente	 MÁQUINA DE COSTURA
3º 595	 MME9: movimento da mão para baixo	 EXAUSTO
4º 590	 MME46: movimento de afastar a mão	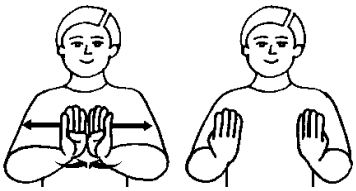 ABRIR JANELA
5º 522	 MME4: movimento da mão para a direita	 ADIAR, ADIADO, ADIAMENTO
6º 479	 MME38: girar pelo pulso	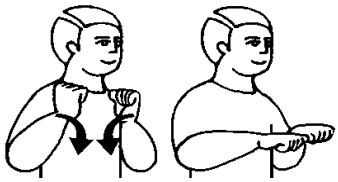 AJUSTAR-SE (ao tamanho, caber)

Tabela 7.70. Sinais que contêm os 16 *AristeroQuiriCinesEmas-SinistraManusMotusÍculos* canônicos, com incidência acima da média de 153 no *corpus* de 13.500 sinais de Libras. Parte 2: *AristeroQuiriCinesEmas-SinistraManusMotusÍculos*, posições 7º ao 12º. Ordem e Incidência Absoluta de cada *SematosEma* de Movimento da Mão Esquerda no *corpus*.

Ord e IA	***AristeroQuiriCinesEmas-SinistraManusMotusÍculos***	**Sinal exemplo**
7º 361	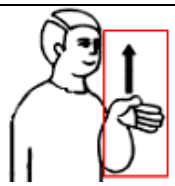 MME8: movimento da mão para cima	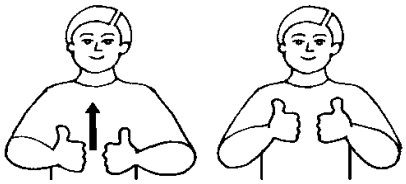 ORGULHO
8º 345	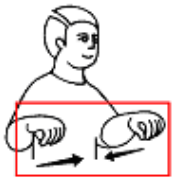 MME45: movimento de aproximar a mão	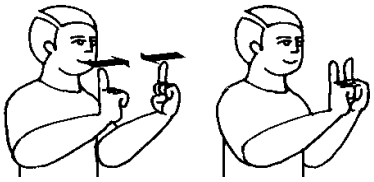 ABREVIAR, ABREVIATURA
9º 261	 MME7: movimento da mão para trás	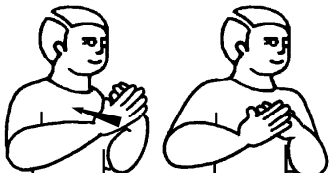 AMAR, AMAR-SE
10º 218	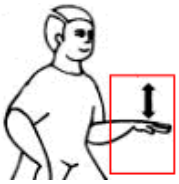 MME10: movimento da mão para cima e para baixo (*vice-versa*)	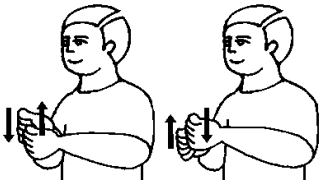 ARROZ
11º 216	 MME25: movimento da mão em círculo(s) para frente	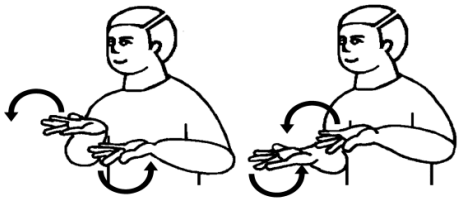 ADULAR
12º 189	 MME1: balançar para cima e para baixo	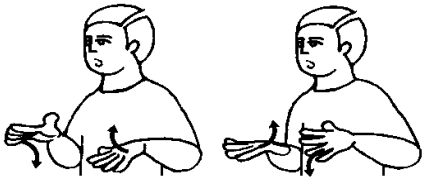 ÀS VEZES

Tabela 7.71. Sinais que contêm os 16 *AristeroQuiriCinesEmas-SinistraManusMotusÍculos* canônicos, com incidência acima da média de 153 no *corpus* de 13.500 sinais de Libras. Parte 3: *AristeroQuiriCinesEmas-SinistraManusMotusÍculos*, posições 13º a 16º. Ordem e Incidência Absoluta de cada *SematosEma* de Movimento da Mão Esquerda no *corpus*.

Ord e IA	***AristeroQuiriCinesEmas-SinistraManusMotusÍculos***	**Sinal exemplo**
13º 182	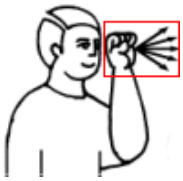 MME41: abrir mão	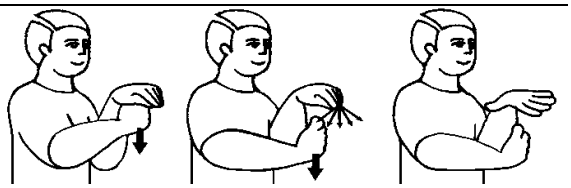 ABAJUR
14º 167	 MME49: mover sentido horário	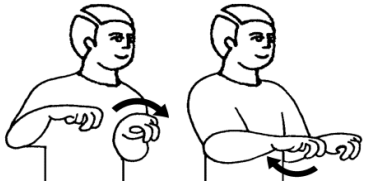 AGRICULTURA
15º 149	 MME11: movimento da mão para frente e para trás (*vice-versa*)	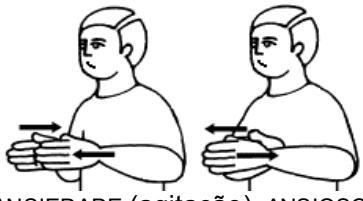 ANSIEDADE (agitação), ANSIOSO
16º 147	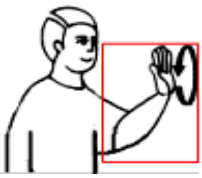 MME27: círculo(s) para lados	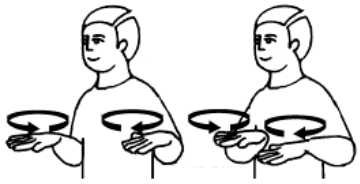 ARRUMAR (organizar)

As Tabelas 7.72 a 7.78 apresentam as ilustrações dos sinais que contêm os 39 *AristeroQuiriCinesEmas-SinisteraManusMotusÍculos* não canônicos, com incidência abaixo da média de 153 no *corpus* de 13.500 sinais de Libras.

Tabela 7.72. Sinais que contêm os 39 *AristeroQuiriCinesEmas-SinistraManusMotusÍculos* canônicos, com incidência abaixo da média de 153 no *corpus* de 13.500 sinais de Libras. Parte 4: *AristeroQuiriCinesEmas-SinistraManusMotusÍculos*, posições 17º a 21º. Ordem e Incidência Absoluta de cada *SematosEma* de Movimento da Mão Esquerda no *corpus*.

Ord e IA	***AristeroQuiriCinesEmas-SinistraManusMotusÍculos***	**Sinal exemplo**
17º 142	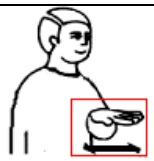 MME12: movimento da mão para lados	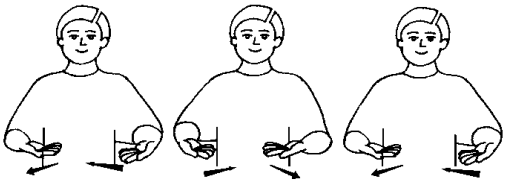 FUNCIONÁRIO
18º 134	 MME42: fechar mão	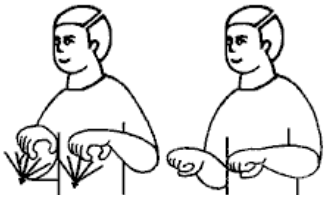 AÇAÍ
19º 109	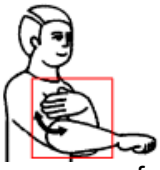 MME2: balançar para frente e para trás	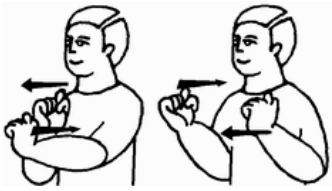 CONSERVAR
20º 108	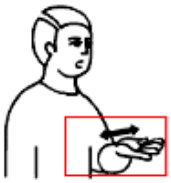 MME3: balançar para os lados	 CAPRICHAR, CAPRICHOSO
21º 99	 MME18: para baixo e esquerda	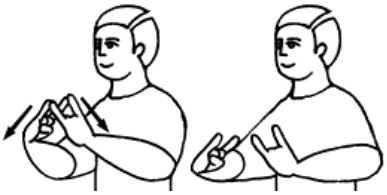 ACAMPAR, ACAMPAR-SE, ACAMPAMENTO
21º 99	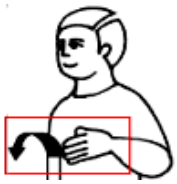 MME32: arco(s) para lados	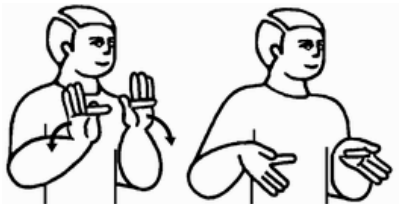 HUMILDE

Tabela 7.73. Sinais que contêm os 39 *AristeroQuiriCinesEmas-SinistraManusMotusÍculos* canônicos, com incidência abaixo da média de 153 no *corpus* de 13.500 sinais de Libras. Parte 5: *AristeroQuiriCinesEmas-SinistraManusMotusÍculos*, posições 21º a 26º. Ordem e Incidência Absoluta de cada *SematosEma* de Movimento da Mão Esquerda no *corpus*.

Ord e IA	***AristeroQuiriCinesEmas-SinistraManusMotusÍculos***	**Sinal exemplo**
21º 99	 MME39: dobrar pelo pulso	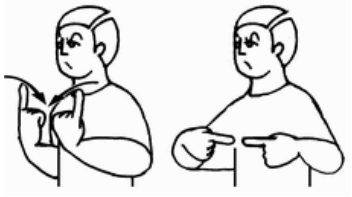 APOSTAR, APOSTA
22º 87	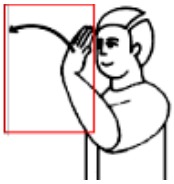 MME28: arco(s) para frente	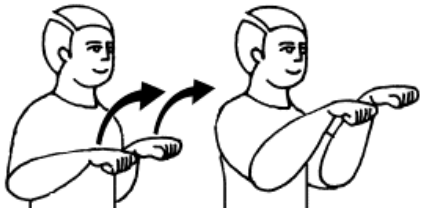 COBRIR, COBERTO
23º 71	 MME50: mover sentido anti-horário	 DEPRESSÃO
24º 69	 MME17: para baixo e direita	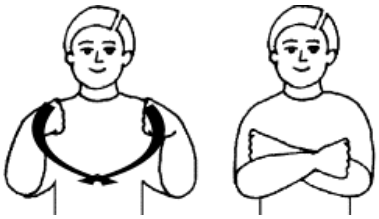 CASACO
25º 67	 MME22: para cima e direita	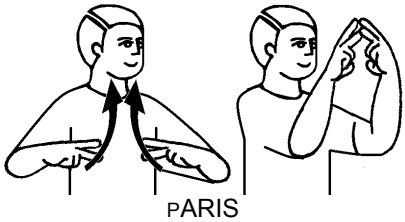 PARIS
26º 65	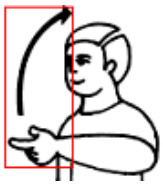 MME30: arco(s) para cima	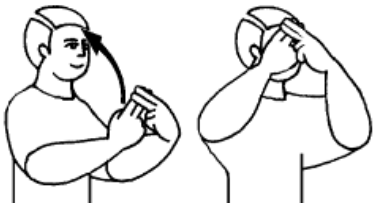 TRAUMATIZAR, TRAUMATISMO, TRAUMA, TRAUMATIZADO, TRAUMATIZANTE

Tabela 7.74. Sinais que contêm os 39 *AristeroQuiriCinesEmas-SinistraManusMotusÍculos* canônicos, com incidência abaixo da média de 153 no *corpus* de 13.500 sinais de Libras. Parte 6: *AristeroQuiriCinesEmas-SinistraManusMotusÍculos*, posições 27º a 32º. Ordem e Incidência Absoluta de cada *SematosEma* de Movimento da Mão Esquerda no *corpus*.

.

Ord e IA	***AristeroQuiriCinesEmas-SinistraManusMotusÍculos***	**Sinal exemplo**
27º 61	 MME48: inclinar	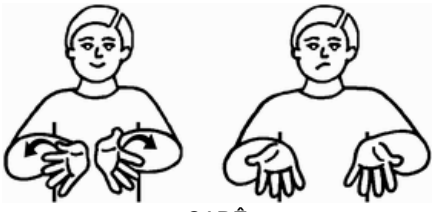 CADÊ
28º 60	 MME31: arco(s) para baixo	 ABANDONAR
29º 59	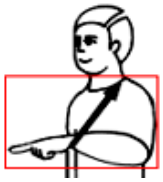 MME23: para cima e esquerda	 ALVORADA, ALVORECER
30º 58	 MME19: para baixo e frente	 ACELERAR (veículos)
31º 53	 MME47: unir	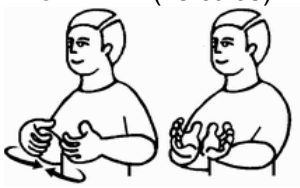 AGRUPAR, AGRUPAR-SE
32º 44	 MME26: círculo(s) para trás	 ANCESTRAIS

Tabela 7.75. Sinais que contêm os 39 *AristeroQuiriCinesEmas-SinistraManusMotusÍculos* canônicos, com incidência abaixo da média de 153 no *corpus* de 13.500 sinais de Libras. Parte 7: *AristeroQuiriCinesEmas-SinistraManusMotusÍculos*, posições 33º a 38º. Ordem e Incidência Absoluta de cada *SematosEma* de Movimento da Mão Esquerda no *corpus*.

Ord e IA	***AristeroQuiriCinesEmas-SinistraManusMotusÍculos***	**Sinal exemplo**
33º 41	 MME52: esfregar as mãos	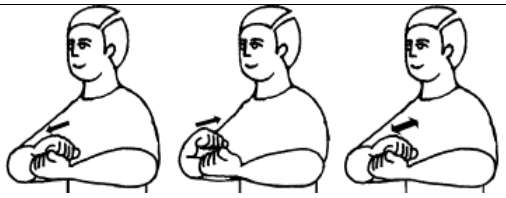 LAVAR (roupas e utensílios em geral)
34º 33	 MME15: para esquerda e frente	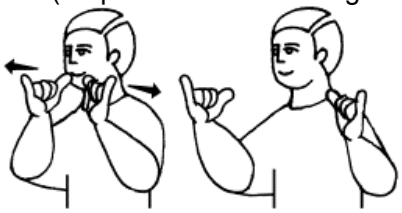 ANUNCIAR, ANÚNCIO
35º 32	 MME29: arco(s) para trás	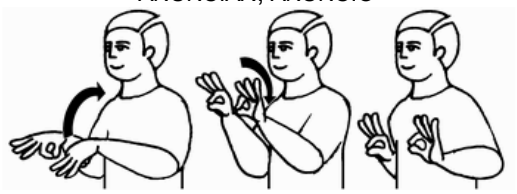 ARRUMAR
36º 28	 MME21: para cima e frente	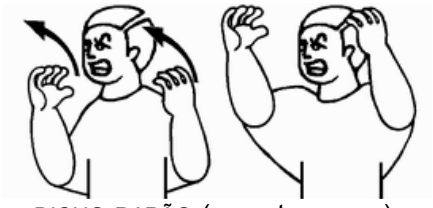 BICHO-PAPÃO (monstro, cuca)
37º 24	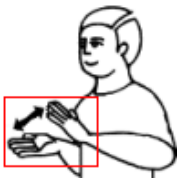 MME40: bater palmas	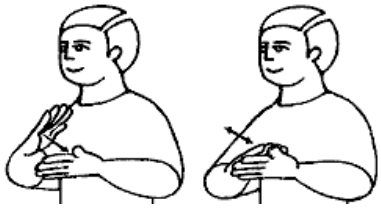 ACLAMAR, ACLAMAÇÃO
38º 17	 MME24: para cima e trás	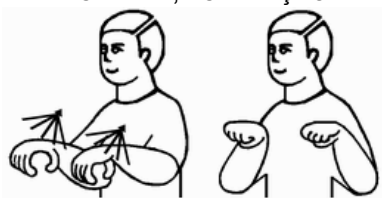 FORMAR-SE

Tabela 7.76. Sinais que contêm os 39 *AristeroQuiriCinesEmas-SinistraManusMotusÍculos* canônicos, com incidência abaixo da média de 153 no *corpus* de 13.500 sinais de Libras. Parte 8: *AristeroQuiriCinesEmas-SinistraManusMotusÍculos*, posições 39º a 43º. Ordem e Incidência Absoluta de cada *SematosEma* de Movimento da Mão Esquerda no *corpus*.

Ord e IA	***AristeroQuiriCinesEmas-SinistraManusMotusÍculos***	**Sinal exemplo**
39º 15	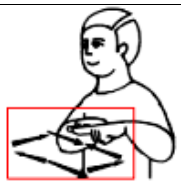 MME35: fazer quadrado ou retângulo	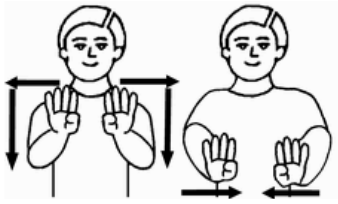 CERCA
39º 15	 MME36: fazer círculo	 BATEDEIRA
40º 14	 MME16: para esquerda e trás	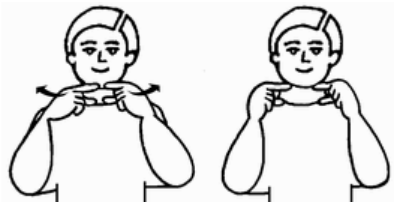 CACHECOL
41º 10	 MME37: fazer cruz	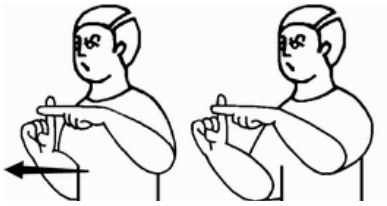 NUNCA MAIS!
42º 9	 MME51: descruzar os braços	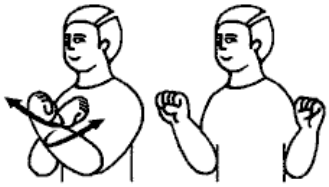 ABOLIÇÃO DOS ESCRAVOS
43º 8	 MME13: para direita e frente	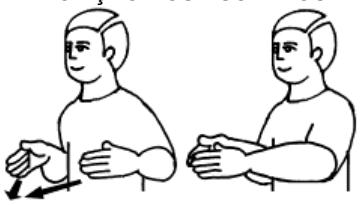 COINCIDIR, COINCIDÊNCIA

Tabela 7.77. Sinais que contêm os 39 *AristeroQuiriCinesEmas-SinistraManusMotusÍculos* canônicos, com incidência abaixo da média de 153 no *corpus* de 13.500 sinais de Libras. Parte 9: *AristeroQuiriCinesEmas-SinistraManusMotusÍculos*, posições 44º a 46º. Ordem e Incidência Absoluta de cada *SematosEma* de Movimento da Mão Esquerda no *corpus*.

Ord e IA	***AristeroQuiriCinesEmas-SinistraManusMotusÍculos***	**Sinal exemplo**
44º 3	 MME20: para baixo e trás	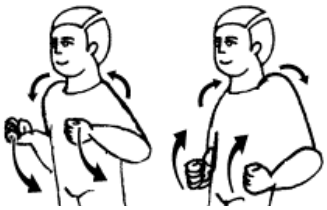 ESQUIAR, ESQUI
44º 3	 MME33: abrir e fechar	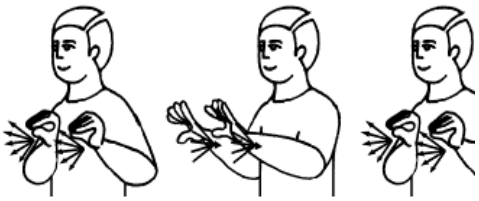 INSTRUIR
44º 3	 MME53: tocando em várias partes do corpo ou lugares diferentes	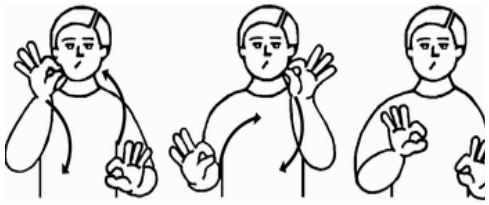 CATAPORA (CL)
45º 2	 MME34: simular nó ou laço	 TÊNIS (calçado)
45º 2	 MME55: bater na mão ou no braço	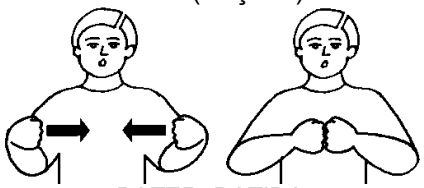 BATER, BATIDA
46º 0	 MME14: para direita e trás	

Tabela 7.78. Sinais que contêm os 39 *AristeroQuiriCinesEmas-SinistraManusMotusÍculos* canônicos, com incidência abaixo da média de 153 no *corpus* de 13.500 sinais de Libras. Parte 9: *AristeroQuiriCinesEmas-SinistraManusMotusÍculos*, posição 46º. Ordem e Incidência Absoluta de cada *SematosEma* de Movimento da Mão Esquerda no *corpus*. Total de tipos de *SematosEmas* MME. Incidência média de cada tipo de *SematosEma* MME: Incidência total (de *SematosEmas* MME) dividida pelo total de tipos de MME.

46º 0	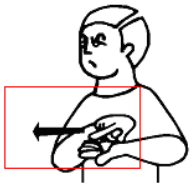 MME44: ir além de	
46º 0	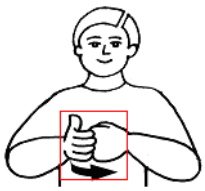 MME43: girar a mão ao redor de	
46º 0	 MME54: apontar para...	
	Incidência total de *SematosEmas* MME	7.865
	Total de tipos de *SematosEmas* MME	55
	Incidência média de cada tipo de *SematosEma* MME	143

4.2: TM: Tipo de Movimento da(s) Mão(s)
(*QuiriCineTiposEmas-ManusMotumTipusÍculos*)
4.2.1: TMD: Tipo de Movimento da Mão Direita
(*DexiQuiriCineTiposEmas-DestroManusMotumTipusÍculos*)

Houve 5 *DexiQuiriCineTiposEmas-DestroManusMotumTipusÍculos*, dos quais 2 canônicos (acima da média) e 3 não canônicos (abaixo da média).

A Tabela 7.79 apresenta as ilustrações dos sinais que contêm os 2 *DexiQuiriCineTiposEmas-DestroManusMotumTipusÍculos* canônicos, com incidência acima da média de 76 no *corpus* de 13.500 sinais de Libras, posições 1º a 5º. Esses *DexiQuiriCineTiposEmas-DestroManusMotumTipusÍculos* e respectivos sinais ilustrativos são:

1: *Ondular*, ilustrado no sinal ANDAR (à toa); e
2: *Tremular*, ilustrado no sinal FEVEREIRO.

A Tabela 7.79 apresenta as ilustrações dos sinais que contêm os 2 *DexiQuiriCineTiposEmas-DestroManusMotumTipusÍculos* canônicos, com incidência acima da média de 76 no *corpus* de 13.500 sinais de Libras e os 3 *DexiQuiriCineTiposEmas-DestroManusMotumTipusÍculos* não canônicos, com incidência abaixo da média de 76 no *corpus* de 13.500. Ordem e Incidência Absoluta de cada *SematosEma* de Tipo de Movimento da Mão Direita no *corpus*. Total de tipos de *SematosEmas* TMD. Incidência média de cada tipo de *SematosEma* TMD: Incidência total (de *SematosEmas* TMD) dividida pelo total de tipos de TMD.

Tabela 7.79. Sinais de Libras ilustrativos dos cinco Movimentos referentes a Tipo de Movimento da Mão Direita (*DexiQuiriCineTiposEmas-DestroManusMotumTipusÍculos*), posições 1º a 5º..

Ord e IA	***DexiQuiriCineTiposEmas-DestroManusMotumTipusÍculos***	**Sinal exemplo**
1º 133	 TMD1: movimento da mão Ondulando	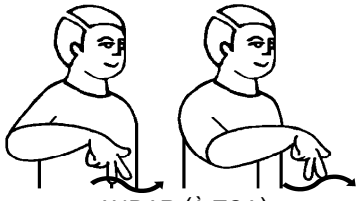 ANDAR (À TOA)
2º 114	 TMD3: movimento da mão Tremulando	 FEVEREIRO
3º 71	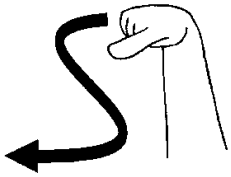 TMD5: movimento em zigue-zague	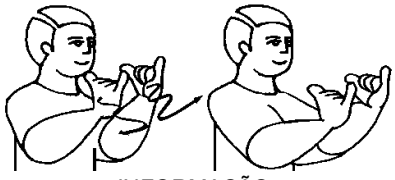 INFORMAÇÃO
4º 48	 TMD4: movimentos sinuosos	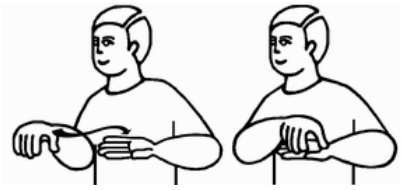 CARRINHO (BRINQUEDO)
5º 14	 TMD2: espiralar	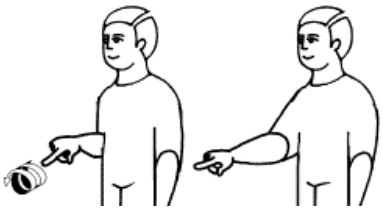 ETERNO
	Incidência total de *SematosEmas* TMD	380
	Total de tipos de *SematosEmas* TMD	5
	Incidência média de cada tipo de *SematosEma* TMD	76

4.2.2: TME: Tipo de Movimento da Mão Esquerda (*AristeroQuiriCineTiposEmas-SinistraManusMotumTipusÍculos*)

Houve 5 *AristeroQuiriCineTiposEmas-SinistraManusMotumTipusÍculos*, dos quais 2 canônicos (acima da média) e 3 não canônicos (abaixo da média).

A Tabela 7.80 apresenta as ilustrações dos sinais que contêm os 2 *AristeroQuiriCineTiposEmas-SinisteraManusMotumTipusÍculos* canônicos, com incidência acima da média de 11 no *corpus* de 13.500 sinais de Libras, posições 1º a 5º. Esses *AristeroQuiriCineTiposEmas-SinisteraManusMotumTipusÍculos* e respectivos sinais ilustrativos são:

1: *Tremular*, ilustrado no sinal TERREMOTO; e

2: *Ondular*, ilustrado no sinal MAIÔ.

Tabela 7.80 apresenta as ilustrações dos sinais que contêm os 2 *DexiQuiriCineTiposEmas-DestroManusMotumTipusÍculos* canônicos, com incidência acima da média de 17 no *corpus* de 13.500 sinais de Libras e os 3 *DexiQuiriCineTiposEmas-DestroManusMotumTipusÍculos* não canônicos, com incidência abaixo da média de 17 no *corpus* de 13.500. Ordem e Incidência Absoluta de cada *SematosEma* de Tipo de Movimento da Mão Esquerda no *corpus*. Total de tipos de *SematosEmas* TME. Incidência média de cada tipo de *SematosEma* TME: Incidência total (de *SematosEmas* TME) dividida pelo total de tipos de TME.

Tabela 7.80. Sinais de Libras ilustrativos dos cinco Movimentos referentes a Tipo de Movimento da Mão Esquerda (*TiposEmas-DestroManusMotumTipusÍculos*), posições 1º a 5º.

Ord e IA	***AristeroQuiriCineTiposEmas-SinistraManusMotumTipusÍculos***	**Sinal exemplo**
1º 30	 TME3: movimento da mão tremulando	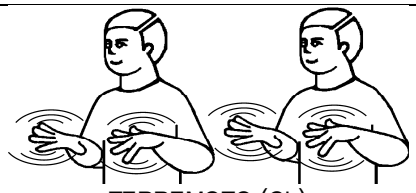 TERREMOTO (CL)
2º 27	 TME1: movimento da mão, ondulando	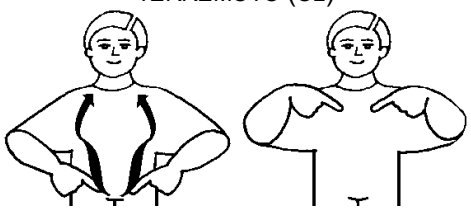 MAIÔ
3º 16	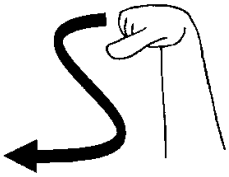 TME5: movimento em zigue-zague	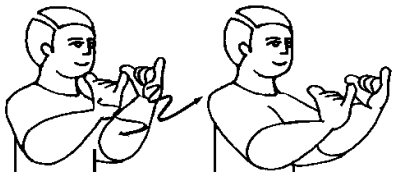 INFORMAÇÃO
4º 7	 TME4: movimentos sinuosos	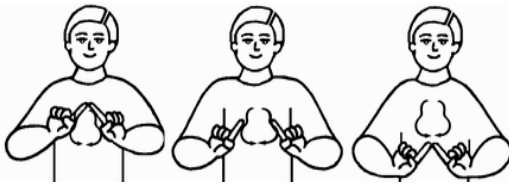 PÊRA
5º 1	 TME2: espiralar	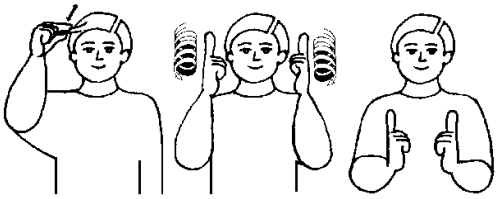 CABELO CACHEADO
Incidência total de *SematosEmas* TME		81
Total de tipos de *SematosEmas* TME		5
Incidência média de cada tipo de *SematosEma* TME		17

4.3: MD: Movimento do(s) Dedo(s)
(*DactilosCinesEmas-DigitiMotusÍculos*)
4.3.1: MDD: Movimento do(s) Dedo(s) Direito(s)
(*DexiDactilosCinesEmas-DestroDigitiMotusÍculos*)

Houve 19 *DexiDactilosCinesEmas-DestroDigitiMotusÍculos*, dos quais 6 canônicos (acima da média) e 13 não canônicos (abaixo da média).

A Tabela 7.81 apresenta as ilustrações dos sinais que contêm os 6 *DexiDactilosCinesEmas-DestroDigitiMotusÍculos* canônicos, com incidência acima da média de 182 no *corpus* de 13.500 sinais de Libras. Esses *DexiDactilosCinesEmas-DestroDigitiMotusÍculos* e respectivos sinais ilustrativos são:

1: *Abrir, distender*, ilustrado no sinal ALHURES;
2: *Curvar, flexionar*, ilustrado no sinal FEDOR
3: *Unir pelas pontas*, ilustrado no sinal BAIRRO SUMARÉ;
4: *Oscilar,* ILUSTRADA no sinal ARANHA;
5: *Aproximar e afastar, unir e separar*, ilustrado no sinal ADOÇANTE; e
6:*Pinçar, segurar pelas pontas dos dedos*, ilustrado no sinal BLUSA.

Tabela 7.81 apresenta ilustrações dos sinais que contêm os 6 *DexiDactilosCinesEmas-DestroDigitiMotusÍculos* canônicos, com incidência acima da média de 182 no *corpus* de 13.500 sinais de Libras, posições 1º a 6º.

Tabela 7.81. Sinais que contêm os 6 (*DexiDactilosCinesEmas-DestroDigitiMotusÍculos*). não canônicos, com incidência acima da média de 182 no *corpus* de 13.500 sinais de Libras. Parte 1: *DexiDactilosCinesEmas-DestroDigitiMotusÍculos*, posições 1º a 6º. Ordem e Incidência Absoluta de cada *SematosEma* de Movimento do(s) Dedo(s) Direito(s) no *corpus*.

Ord e IA	***DexiDactilosCinesEmas-DestroDigitiMotusÍculos***	**Sinal exemplo**
1º 608	 MDD6: abrir-distender dedo(s)	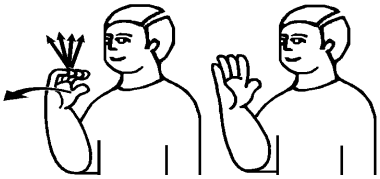 ALHURES (em outro lugar)
2º 437	 MDD7: curvar, flexionar os dedo(s)	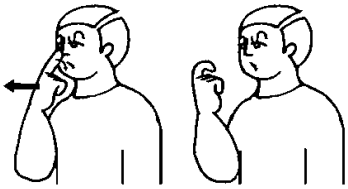 FEDOR
3º 404	 MDD8: unir pelas pontas dos dedo(s)	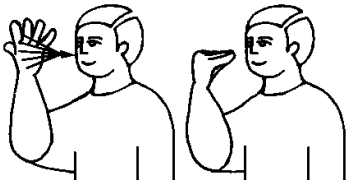 BAIRRO SUMARÉ (São Paulo, SP)
4º 391	 MDD1: oscilar o(s) dedo(s)	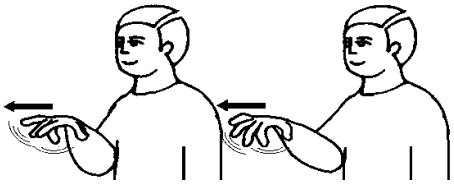 ARANHA
5º 337	 MDD9: aproximar e afastar dedo(s), unir e separar dedo(s)	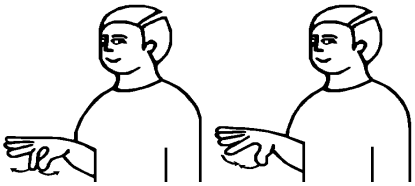 ADOÇANTE
6º 192	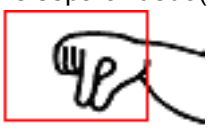 MDD16: pinçar, segurar pelas pontas dos dedos	 BLUSA (CL)

As Tabelas 7.82 a 7.84 apresentam as ilustrações dos sinais que contêm os 13 *DexiDactilosCinesEmas-DestroDigitiMotusÍculos* não canônicos, com incidência abaixo da média de 182 no *corpus* de 13.500 sinais de Libras.

Tabela 7.82. Sinais que contêm os 13 *DexiDactilosCinesEmas-DestroDigitiMotusÍculos* não canônicos, com incidência abaixo da média de 182 no *corpus* de 13.500 sinais de Libras. Parte 2: *DexiDactilosCinesEmas-DestroDigitiMotusÍculos*, posições 7º a 11º. Ordem e Incidência Absoluta de cada *SematosEma* de Movimento do(s) Dedo(s) Direito(s) no *corpus*.

Ord e IA	***DexiDactilosCinesEmas-DestroDigitiMotusÍculos***	**Sinal exemplo**
7º 177	 MDD13: esfregar	 CAPITAL (financeiro)
8º 147	 MDD14: unir dedos	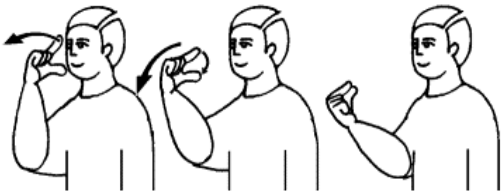 TUCANO (ave)
9º 142	 MDD2: balançar para cima e para baixo	 ACLIMAÇÃO (bairro de São Paulo, SP)
10º 128	 MDD3: balançar para frente e para trás	 SONHAR, SONHO
11º 101	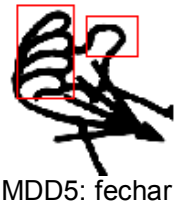 MDD5: fechar	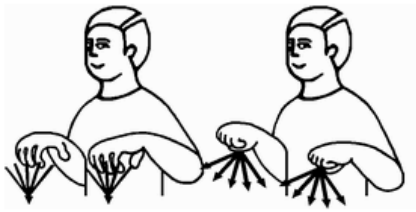 MASSA (comestível)

Tabela 7.83. Sinais que contêm os 13 *DexiDactilosCinesEmas-DestroDigitiMotusÍculos* não canônicos, com incidência abaixo da média de 182 no *corpus* de 13.500 sinais de Libras. Parte 3: *DexiDactilosCinesEmas-DestroDigitiMotusÍculos*, posições 12º ao 16º. Ordem e Incidência Absoluta de cada *SematosEma* de Movimento do(s) Dedo(s) Direito(s) no *corpus*.

Ord e IA	***DexiDactilosCinesEmas-DestroDigitiMotusÍculos***	**Sinal exemplo**
12º 99	 MDD4: balançar para lados	 ÁGUA
13º 94	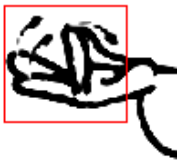 MDD11: fechar um a um	 GUARANÁ
13º 94	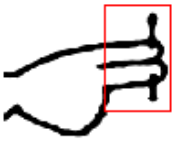 MDD15: separar dedos	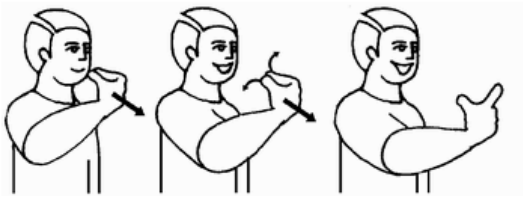 ANEDOTA
14º 40	 MDD17: girar pelos dedos	 GLOBO TERRESTRE
15º 35	 MDD12: abrir um a um	 ALGUM (alguma)
16º 16	 MDD10: estalar	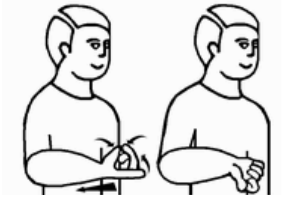 SAÍDA (partida)

Tabela 7.84. Sinais que contêm os 13 *DexiDactilosCinesEmas-DestroDigitiMotusÍculos* não canônicos, com incidência abaixo da média de 182 no *corpus* de 13.500 sinais de Libras. Parte 4: *DexiDactilosCinesEmas-DestroDigitiMotusÍculos*, posições 17º a 18º. Ordem e Incidência Absoluta de cada *SematosEma* de Movimento do(s) Dedo(s) Direito(s) no *corpus*. Total de tipos de *SematosEmas* MDD. Incidência média de cada tipo de *SematosEma* MDD: Incidência total (de *SematosEmas* MDD) dividida pelo total de tipos de MDD.

Ord e IA	***DexiDactilosCinesEmas-DestroDigitiMotusÍculos***	**Sinal exemplo**
17º 3	 MDD18: cruzar os dedos	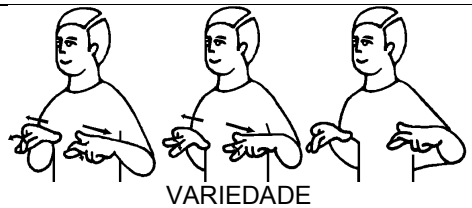 VARIEDADE
18º 2	 MDD19: descruzar os dedos	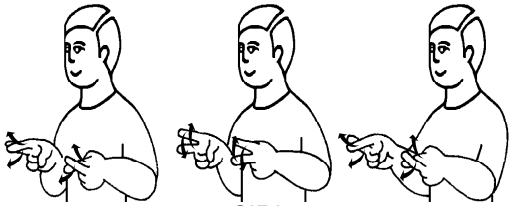 SIRI
	Incidência total de *SematosEmas* MDD	3.447
	Total de tipos de *SematosEmas* MDD	19
	Incidência média de cada tipo de *SematosEma* MDD	182

4.3.2: MDE: Movimento do(s) Dedo(s) Esquerdo(s) (*AristeroDactilosCinesEmas-SinisterumDigitiMotusÍculos*)

Houve 19 *AristeroDactilosCinesEmas-SinisterumDigitiMotusÍculos*, dos quais 6 canônicos (acima da média) e 13 não canônicos (abaixo da média).

A Tabela 7.85 apresenta as ilustrações dos sinais que contêm os 5 *AristeroDactilosCinesEmas-SinisterumDigitiMotusÍculos* canônicos, com incidência acima da média de 59 no *corpus* de 13.500 sinais de Libras. Esses *AristeroDactilosCinesEmas-SinisterumDigitiMotusÍculos* e respectivos sinais ilustrativos são:

1: *Abrir, distender*, ilustrado no sinal COUVE-FLOR;
2: *Oscilar*, ilustrado no sinal ANJO;
3: *Unir pelas pontas*, ilustrada no sinal BIGODE;
4: *Curvar, flexionar*, ilustrado no sinal APREENDER;
5: *Aproximar e afastar, unir e separar*, ilustrado no sinal AUDIOMETRIA.
6: *Esfregar*, ilustrado no sinal FARINHA.

A Tabela 7.85. apresenta as ilustrações dos sinais que contêm os 6 *AristeroDactilosCinesEmas-SinisterumDigitiMotusÍculos* canônicos, com incidência acima da média de 59 no *corpus* de 13.500 sinais de Libras, posições 1º a 6º.

Tabela 7.85. Sinais que contêm os 6 *AristeroDactilosCinesEmas-SinisterumDigitiMotusÍculos* canônicos, com incidência aciama da média de 59 no *corpus* de 13.500 sinais de Libras. Parte 1: *AristeroDactilosCinesEmas-SinisterumDigitiMotusÍculos*, posições 1º a 6º. Ordem e Incidência Absoluta de cada *SematosEma* de Movimento do(s) Dedo(s) Esquerdo(s) no *corpus*.

Ord e IA	***AristeroDactilosCinesEmas - SinisterumDigitiMotusÍculos***	**Sinal exemplo**
1º 178	 MDE6: abrir-distender dedo(s)	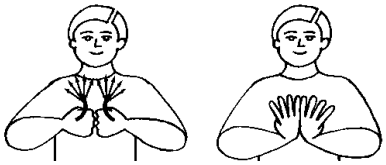 COUVE-FLOR
2º 162	 MDE1: oscilar dedo(s)	 ANJO
3º 139	 MDE8: unir dedo(s) pelas pontas	 BIGODE (CL)
4º 122	 MDE7: curvar-flexionar dedo(s)	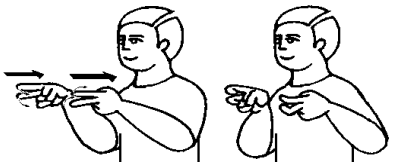 APREENDER (perceber)
5º 108	 MDE9: aproximar e afastar dedo(s), unir e separar dedo(s)	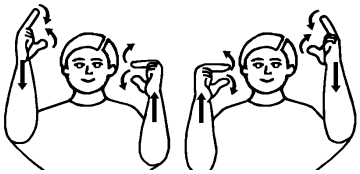 AUDIOMETRIA
6º 60	 MDE13: esfregar	 FARINHA

As Tabelas 7.86 a 7.88 apresentam as ilustrações dos sinais que contêm os 13 *AristeroDactilosCinesEmas-SinisterumDigitiMotusÍculos* não canônicos, com incidência abaixo da média de 59 no *corpus* de 13.500 sinais de Libras.

Tabela 7.86. Sinais que contêm os 13 *AristeroDactilosCinesEmas-SinisterumDigitiMotusÍculos* não canônicos, com incidência abaixo da média de 59 no *corpus* de 13.500 sinais de Libras. Parte 2: *AristeroDactilosCinesEmas-SinisterumDigitiMotusÍculos*, posições 7º a 11º. Ordem e Incidência Absoluta de cada *SematosEma* de Movimento do(s) Dedo(s) Esquerdo(s) no *corpus*.

Ord e IA	***AristeroDactilosCinesEmas - SinisterumDigitiMotusÍculos***	**Sinal exemplo**
7º 57	 MDE16: pinçar, segurar pelas pontas dos dedos	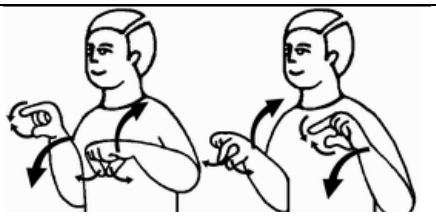 ELEIÇÃO (escolha, seleção)
8º 53	 MDE11: fechar um a um	 INTERNACIONAL
9º 50	 MDE3: balançar para frente e para trás	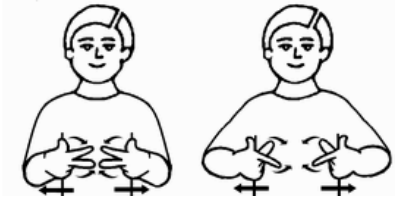 COISAS
10º 47	 MDE2: balançar para cima e para baixo	 COELHO
11º 42	 MDE14: unir dedos	 DORMIR

Tabela 7.87. Sinais que contêm os 13 *AristeroDactilosCinesEmas-SinisterumDigitiMotusÍculos* não canônicos, com incidência abaixo da média de 59 no *corpus* de 13.500 sinais de Libras. Parte 3: *AristeroDactilosCinesEmas-SinisterumDigitiMotusÍculos*, posições 12º a 17º. Ordem e Incidência Absoluta de cada *SematosEma* de Movimento do(s) Dedo(s) Esquerdo(s) no *corpus*.

Ord e IA	***AristeroDactilosCinesEmas - SinisterumDigitiMotusÍculos***	**Sinal exemplo**
12º 29	 MDE5: fechar	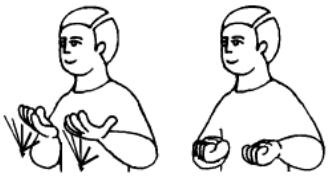 ESTIAGEM
13º 25	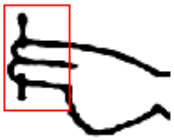 MDE15: separar dedos	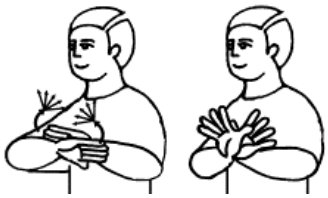 PAVÃO
14º 20	 MDE17: girar pelos dedos	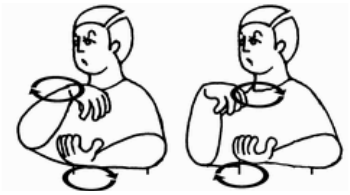 GREVE
15º 8	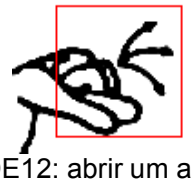 MDE12: abrir um a um	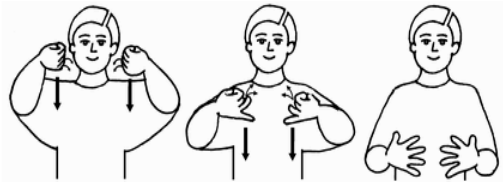 ESCLARECER (explanar, explicar)
16º 7	 MDE4: balançar para lados	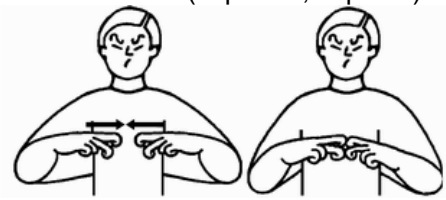 CHOCAR, CHOCAR-SE (colidir)
17º 2	 MDE10: estalar	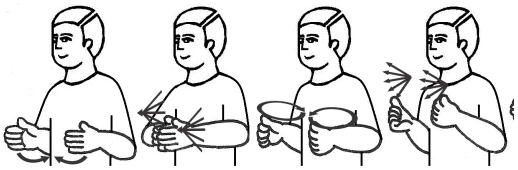 ALELUIA (Igreja Batista)

Tabela 7.88. Sinais que contêm os 13 *AristeroDactilosCinesEmas-SinisterumDigitiMotusÍculos* não canônicos, com incidência abaixo da média de 59 no *corpus* de 13.500 sinais de Libras. Parte 4: *AristeroDactilosCinesEmas-SinisterumDigitiMotusÍculos*, posição 17º. Ordem e Incidência Absoluta de cada *SematosEma* de Movimento do(s) Dedo(s) Esquerdo(s) no *corpus*. Total de tipos de *SematosEmas* MDE. Incidência média de cada tipo de *SematosEma* MDE: Incidência total (de *SematosEmas* MDE) dividida pelo total de tipos de MDE.

Ord e IA	**AristeroDactilosCinesEmas - SinisterumDigitiMotusÍculos**	**Sinal exemplo**
17º 2	 MDE18: cruzar os dedos	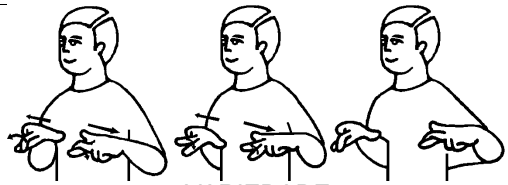 VARIEDADE
17º 2	 MDE19: descruzar os dedos	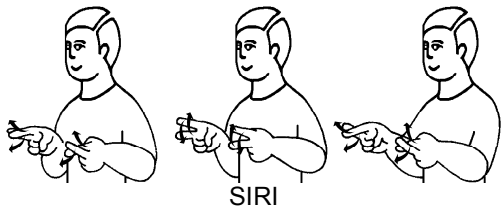 SIRI
	Incidência total de *SematosEmas* MDE	1.111
	Total de tipos de *SematosEmas* MDE	19
	Incidência média de cada tipo de *SematosEma* MDE	59

4.4: FI: Frequência ou Intensidade do Movimento (*CineMetronEmas-MotumQuantÍculos)* ou (*CinesEntasEmas-MotumMagnitudÍculos*)

Houve 10 *CineMetronEmas-MotumQuantusÍculos* ou *CinesEnfasEmas-MotumMagnitudinÍculos*, dos quais 3 canônicos (acima da média) e 7 não canônicos (abaixo da média).

A Tabela 7.89 apresenta as ilustrações dos sinais que contêm os 3 *CineMetronEmas-MotumQuantusÍculos* ou *CinesEnfasEmas-MotumMagnitudinÍculos* canônicos, com incidência acima da média de 661 no *corpus* de 13.500 sinais de Libras. Esses *CineMetronEmas-MotumQuantusÍculos* ou *CinesEnfasEmas-MotumMagnitudinÍculos* e respectivos sinais ilustrativos são:

1: *Repetir movimento, várias vezes*, ilustrado no sinal ACLAMAR, ACLAMAÇÃO;
2: *Ligeiramente*, ilustrada no sinal XADREZ; e
3: *Alternado(s) alternadamente*, ilustrado no sinal ADMINISTRAÇÃO.

Tabela 7.89. Sinais que contêm os 3 *CineMetronEmas-MotumQuantÍculos* canônicos, com incidência aciama da média de 661 no *corpus* de 13.500 sinais de Libras. Parte 1: *CineMetronEmas-MotumQuantÍculos*, posições 1º a 3º. Ordem e Incidência Absoluta de cada *SematosEma* de Frequência ou Intensidade do Movimento no *corpus*.

Ord e IA	*CinesEntasEmas-MotumMagnitudÍculos*	Sinal exemplo
1º 3606	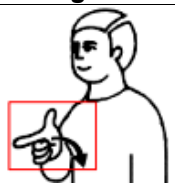 FI5: repetir movimento, várias vezes	ACLAMAR, ACLAMAÇÃO
2º 1029	FI9: mover Ligeiramente	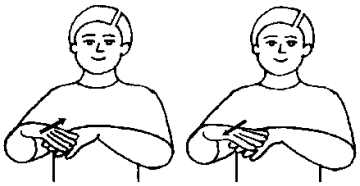 XADREZ
3º 715	FI1: mover alternadamente	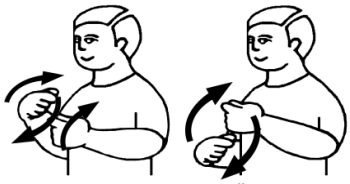 ADMINISTRAÇÃO

As Tabelas 7.90 a 7.91 apresentam ilustrações de sinais que contêm os 7 *CineMetronEmas-MotumQuantusÍculos* ou *CinesEnfasEmas-MotumMagnitudinÍculos* não canônicos, com incidência abaixo da média de 661 no *corpus* de 13.500 sinais de Libras.

Tabela 7.90. Sinais que contêm os 7 *CineMetronEmas-MotumQuantÍculos* ou *CinesEntasEmas-MotumMagnitudÍculos*. não canônicos, com incidência abaixo da média de 661 no *corpus* de 13.500 sinais de Libras. Parte 2: *CineMetronEmas-MotumQuantÍculos*, posições 4º a 8º. Ordem e Incidência Absoluta de cada *SematosEma* de Frequência ou Intensidade do Movimento no *corpus*.

Ord e IA	***CinesEntasEmas-MotumMagnitudÍculos***	**Sinal exemplo**
4º 377	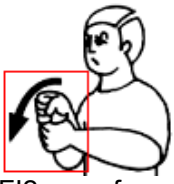 FI2: com força	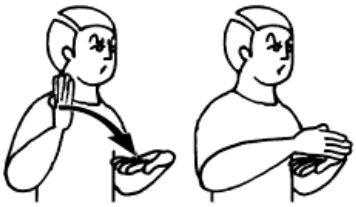 BASTA! (CHEGA!)
5º 295	 FI4: rápida, rapidamente	 TUFÃO
6º 184	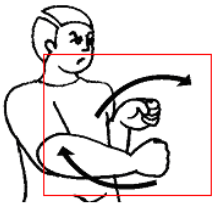 FI7: durante, simultaneamente	 AGULHA (costura)
7º 161	 FI3: lenta, lentamente	 ACALMAR, ACALMAR-SE (tranquilizar-se)
8º 134	 FI10: movimentos curtos	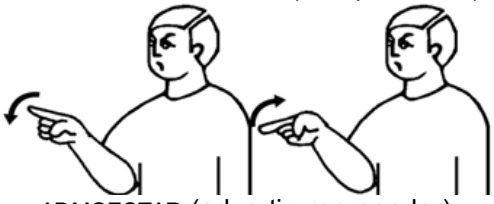 ADMOESTAR (advertir, repreender)

Tabela 7.91. Sinais que contêm os 7 *CineMetronEmas-MotumQuantÍculos* ou *CinesEntasEmas-MotumMagnitudÍculos*. não canônicos, com incidência abaixo da média de 661 no *corpus* de 13.500 sinais de Libras. Parte 3: *CineMetronEmas-MotumQuantÍculos*, posições 9º a 10º. Ordem e Incidência Absoluta de cada *SematosEma* de Frequência ou Intensidade do Movimento no *corpus*. Total de tipos de *SematosEmas* FI. Incidência média de cada tipo de *SematosEma* FI: Incidência total (de *SematosEmas* FI) dividida pelo total de tipos de FI.

Ord e IA	***CinesEntasEmas-MotumMagnitudÍculos***	**Sinal exemplo**
9º 70	 FI6: quase	 ASSOCIAÇÃO DE PAIS E AMIGOS DOS EXCEPCIONAIS (APAE)
10º 40	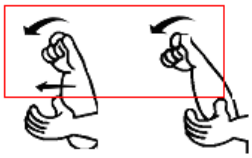 FI8: parando durante o movimento	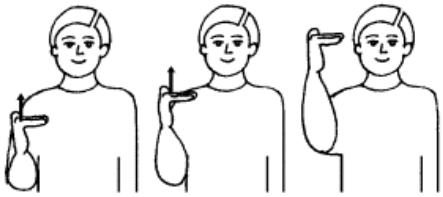 CRESCER, CRESCIMENTO
1º	Incidência total de *SematosEmas* FI	6.611
2º	Total de tipos de *SematosEmas* FI	10
3º	Incidência média de cada tipo de *SematosEma* FI	661

4.5: MC: Movimentos do Corpo (*SomasCinesEmas-CorpiMotusÍculos*)

Houve 14 *SomaCinesEmas-CorporisMotusÍculos*, dos quais 7 canônicos (acima da média) e 7 não canônicos (abaixo da média).

As Tabelas 7.92 e 7.93 apresentam as ilustrações dos sinais que contêm os 7 *SomaCinesEmas-CorporisMotusÍculos* canônicos, com incidência acima da média de 34 no *corpus* de 13.500 sinais de Libras.

A Tabela 7.92 apresenta ilustrações de sinais que contêm os 7 *SomaCinesEmas-CorporisMotusÍculos* não canônicos, com incidência abaixo da média de 34 no *corpus* de 13.500 sinais de Libras.

Esses *SomaCinesEmas-CorporisMotusÍculos* e respectivos sinais ilustrativos com incidência acima da média são:

1: *Inclinar cabeça para baixo*, ilustrado no sinal AGACHAR, AGACHAR-SE;
2: *Inclinar cabeça para lado*, ilustrada no sinal ABRIL;
3: *Inclinar para frente*, ilustrado no sinal CORRER;
4: *Inclinar cabeça para trás*, ilustrado no sinal ACIDENTE VASCULAR CEREBRAL;
5: *Inclinar para trás*, ilustrado no sinal ABANAR-SE;
6: *Girar cabeça*, ilustrada no sinal ALCOOLIZADO; e
7: *Encolher ombros*, ilustrado no sinal ARFANTE.

As Tabelas 7.92 e 7.93, primeira linha, apresentam as ilustrações dos sinais que contêm os 7 *DexiQuiriFormEmas-DestroManusFormÍculos* canônicos, com incidência acima da média de 34 no *corpus* de 13.500 sinais de Libras.

Tabela 7.92. Sinais que contêm os 7 *SomasCinesEmas-CorpiMotusÍculos* canônicos, com incidência acima da média de 34 no *corpus* de 13.500 sinais de Libras. Parte 1: *SomasCinesEmas-CorpiMotusÍculos*, posições 1º a 6º. Ordem e Incidência Absoluta de cada *SematosEma* de Movimentos do Corpo no *corpus*.

Ord e IA	***SomasCinesEmas-CorpiMotusÍculos***	**Sinal exemplo**
1º 73	 MC12: inclinar cabeça para frente	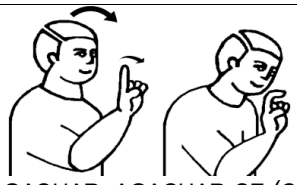 AGACHAR, AGACHAR-SE (CL)
2º 72	 MC10: inclinar cabeça para lado	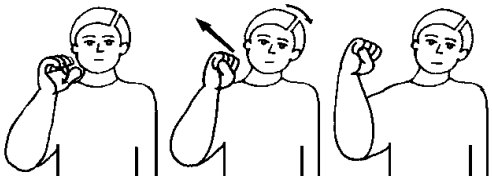 ABRIL
3º 56	 MC2: inclinar para frente	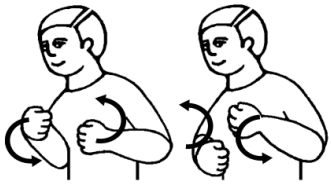 CORRER (fazer mais rápido)
4º 55	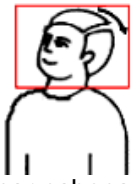 MC9: inclinar cabeça para trás	 ACIDENTE VASCULAR CEREBRAL
5º 41	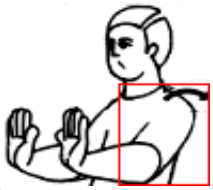 MC3: inclinar para trás	 ABANAR-SE
6º 38	 MC6: encolher ombros	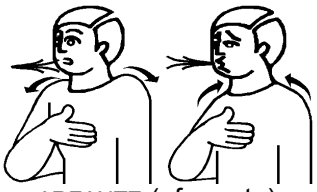 ARFANTE (ofegante)

As Tabelas 7.93 a 7.94 apresentam as ilustrações dos sinais que contêm os 7 *DexiQuiriFormEmas-DestroManusFormÍculos* não canônicos, com incidência abaixo da média de 34 no *corpus* de 13.500 sinais de Libras.

Tabela 7.93. Sinais que contêm os 7 *SomasCinesEmas-CorpiMotusÍculos* não canônicos, com incidência abaixo da média de 34 no *corpus* de 13.500 sinais de Libras. Parte 2: *SomasCinesEmas-CorpiMotusÍculos*, posições 6º a 10º. Ordem e Incidência Absoluta de cada *SematosEma* de Movimentos do Corpo no *corpus*.

Ord e IA	***SomasCinesEmas-CorpiMotusÍculos***	**Sinal exemplo**
6º 38	 MC8: girar cabeça	 ALCOOLIZADO
7º 29	 MC4: inclinar para lados	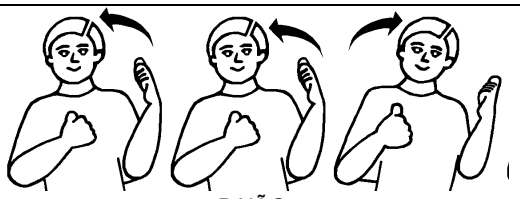 BAIÃO
8º 27	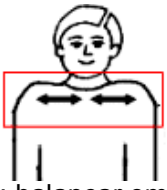 MC7: balançar ombros	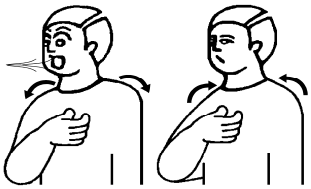 SOLUÇO
9º 18	 MC5: inclinar para baixo	 ROSÁRIO
10º 15	 MC13: balançar a cabeça	 DESCONHECIDO

Tabela 7.94. Sinais que contêm os 7 *SomasCinesEmas-CorpiMotusÍculos* não canônicos, com incidência abaixo da média de 34 no *corpus* de 13.500 sinais de Libras. Parte 3: *SomasCinesEmas-CorpiMotusÍculos*, posições 11º a 13º. Ordem e Incidência Absoluta de cada *SematosEma* de Movimentos do Corpo no *corpus*. Total de tipos de *SematosEmas* MC. Incidência média de cada tipo de *SematosEma* MC: Incidência total (de *SematosEmas* MC) dividida pelo total de tipos de MC.

Ord e IA	***SomasCinesEmas-CorpiMotusÍculos***	**Sinal exemplo**
11º 4	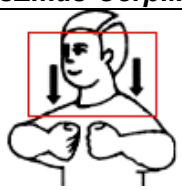 MC1: baixar	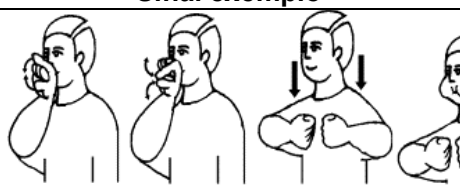 CHOCAR (ovos)
12º 2	 MC11: flexionar (levantar a perna)	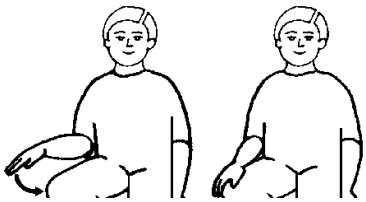 JOELHO
13º 1	 MC14: aproximar e afastar os cotovelos	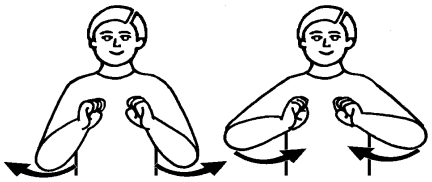 GALINHA 2
	Incidência total de *SematosEmas* MC	469
	Total de tipos de *SematosEmas* MC	14
	Incidência média de cada tipo de *SematosEma* MC	34

Parâmetro 5: Expressão Facial (*MascarEmas-PersonalÍculos*)
Níveis:
5.1: SSP: Sentimentos e Sensações Positivas (*EuMascarEmas-BonusPersonalÍculos*)

Houve 12 *CaliMascarEmas-BellusPersonalÍculos*, dos quais 3 canônicos (acima da média) e 9 não canônicos (abaixo da média).

A Tabela 7.95 apresenta as ilustrações dos sinais que contêm os 3 *CaliMascarEmas-BellusPersonalÍculos* ou *EuMascarEmas-BonusPersonalÍculos*) canônicos, com incidência acima da média de 21 no *corpus* de 13.500 sinais de Libras. Esses *CaliMascarEmas-BellusPersonalÍculos* ou *EuMascarEmas-BonusPersonalÍculos*) e respectivos sinais ilustrativos são:

1: *Sorridente, sorriso*, ilustrada no sinal CÓCEGAS;
2: *Alegre, alegria*, ilustrada no sinal ANIVERSÁRIO;
3: *Contente, contentamento*, ilustrada no sinal AMIGO, AMIZADE.

Tabela 7.95. Sinais que contêm os 3 *EuMascarEmas-BonusPersonalÍculos* canônicos, com incidência acima da média de 21 no *corpus* de 13.500 sinais de Libras. Parte 1: *DexiQuiriFormEmas-DestroManusFormÍculos*, posições 1º a 3º. Ordem e Incidência Absoluta de cada *SematosEma* de Sentimentos e Sensações Positivas no *corpus*.

Ord e IA	*EuMascarEmas-BonusPersonalÍculos*	Sinal exemplo
1º 87	 SSP1: sorridente, sorriso	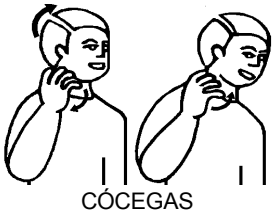 CÓCEGAS
2º 37	 SSP3: alegre, alegria	 ANIVERSÁRIO
3º 34	 SSP2: contente, contentamento	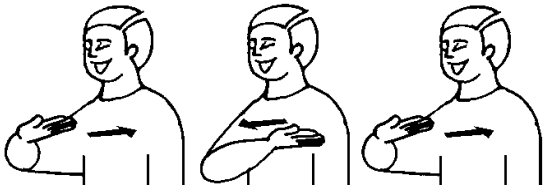 AMIGO, AMIZADE

As Tabelas 7.96 a 7.97 apresentam as ilustrações dos sinais que contêm os 9 *EuMascarEmas-BonusPersonalÍculos* não canônicos, com incidência abaixo da média de 21 no *corpus* de 13.500 sinais de Libras.

Tabela 7.96. Sinais que contêm os 9 *EuMascarEmas-BonusPersonalÍculos* não canônicos, com incidência abaixo da média de 21 no *corpus* de 13.500 sinais de Libras. Parte 2: *EuMascarEmas-BonusPersonalÍculos*, posições 4º a 7º. Ordem e Incidência Absoluta de cada *SematosEma* de Sentimentos e Sensações Positivas no *corpus*.

Ord e IA	***EuMascarEmas-BonusPersonalÍculos***	**Sinal exemplo**
4º 15	 SSP7: interessado, interesse	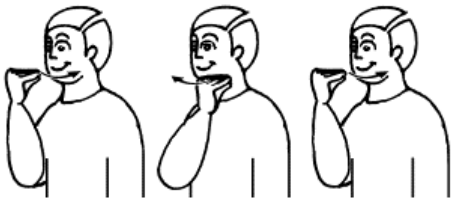 ESTAR NO PAPO (gíria)
5º 12	 SSP4: carinhoso, carinho	 AMÁVEL (gracioso)
5º 12	 SSP6: contemplativo, contemplação	 PAIXÃO
6º 11	 SSP11: admirado, admiração	 ADMIRAR , APRECIAR, ADMIRADO
7º 10	 SSP5: amoroso, amor	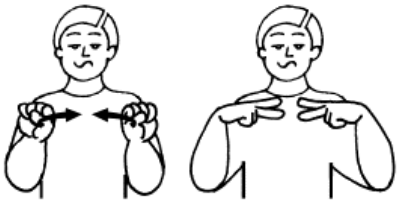 PAIXÃO À PRIMEIRA VISTA

Tabela 7.97. Sinais que contêm os 9 *EuMascarEmas-BonusPersonalÍculos* não canônicos, com incidência abaixo da média de 21 no *corpus* de 13.500 sinais de Libras. Parte 3: *EuMascarEmas-BonusPersonalÍculos*, posições 7º a 10º. Ordem e Incidência Absoluta de cada *SematosEma* de Sentimentos e Sensações Positivas no *corpus*. Total de tipos de *SematosEmas* SSP. Incidência média de cada tipo de *SematosEma* SSP: Incidência total (de *SematosEmas* SSP) dividida pelo total de tipos de SSP.

Ord e IA	***EuMascarEmas-BonusPersonalÍculos***	**Sinal exemplo**
7º 10	 SSP8: desejoso, desejo	 TOMARA!
8º 8	 SSP12: surpreso, surpresa (agradável)	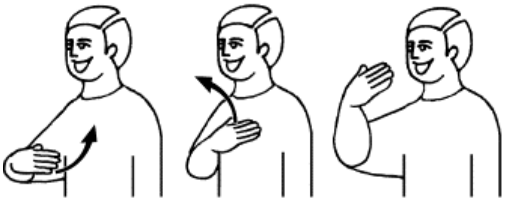 SURPREENDER, SURPREENDER-SE, SURPRESO, SURPRESA
9º 4	 SSP9: tranquilo, tranquilidade	 IOGA, IOGUE
10º 3	 SSP10: aliviado, alívio	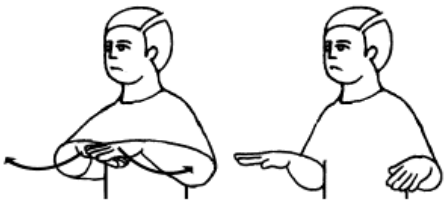 TERMINAR
	Incidência total de *SematosEmas* SSP	243
	Total de tipos de *SematosEmas* SSP	12
	Incidência média de cada tipo de *SematosEma* SSP	21

5.2: SSN: Sentimentos e Sensações Negativas (*DisMascarEmas-MalusPersonalÍculos*)

Houve 35 *CacoMascarEmas-DeformisPersonalÍculos*, dos quais 10 canônicos (acima da média) e 25 não canônicos (abaixo da média).

As Tabelas 7.98 a 7.99 apresentam as ilustrações dos sinais que contêm os 10 *CacoMascarEmas-DeformisPersonalÍculos* ou *DisMascarEmas-MalusPersonalÍculos*) canônicos, com incidência acima da média de 51 no *corpus* de 13.500 sinais de Libras. Esses *MascarasCinesEmas-PersonaMotusÍculos* e respectivos sinais ilustrativos são:

1: *Contraído, ilustrada* no sinal ESTAR SAUDOSO;
2: *Aborrecido, aborrecimento, ilustrada* no sinal ENCARAR, ENCARAR-SE*; e*
3: *Irritado, irritação*, ilustrada no sinal NÃO TEM GRAÇA!*;*
5: *Tenso, tensão*, ilustrada no sinal AMARGO*;*
6: *Indignado, indignação*, ilustrada no sinal PARA QUE? PARA QUÊ?*;*
4: *Desconfortável, desconforto*, ilustrada no sinal ABANAR-SE*;*
7: *Descontente, descontentamento*, ilustrada no sinal LÁGRIMA(S)*;*
8: *Bravo, braveza*, ilustrada no sinal ACUSAR*;*
9: *Raivoso, raiva*, ilustrada no sinal ENFORCAR;
10: *Aflito, angustiado, aflição. angústia*, ilustrada no sinal DEPRESSÃO.

As Tabelas 7.98 a 7.99 apresentam as ilustrações dos sinais que contêm os 10 *DisMascarEmas-MalusPersonalÍculos* canônicos, com incidência acima da média de 51 no *corpus* de 13.500 sinais de Libras.

Tabela 7.98. Sinais que contêm os 10 *DisMascarEmas-MalusPersonalÍculos* canônicos, com incidência acima da média de 51 no *corpus* de 13.500 sinais de Libras. Parte 1: *DisMascarEmas-MalusPersonalÍculos*, posições 1º a 5º. Ordem e Incidência Absoluta de cada *SematosEma* de Sentimentos e Sensações Negativas no *corpus*.

Ord e IA	***DisMascarEmas-MalusPersonalÍculos***	**Sinal exemplo**
1º 464	 SSN14: contraído, negativo	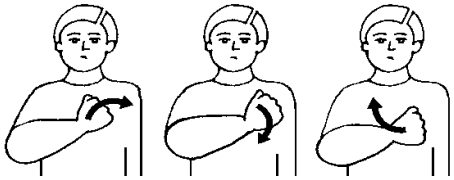 ESTAR SAUDOSO
2º 101	 SSN15: aborrecido, aborrecimento	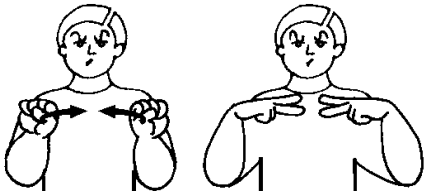 ENCARAR, ENCARAR-SE (INIMIGOS)
3º 96	 SSN17: irritado, irritação	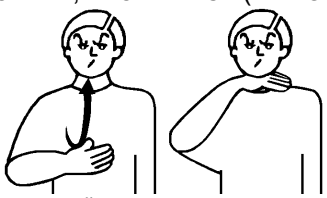 NÃO TEM GRAÇA!
4º 94	 SSN13: desconfortável, desconforto	 ABANAR-SE
5º 80	 SSN16: tenso, tensão	 AMARGO

Tabela 7.99. Sinais que contêm os 10 *DisMascarEmas-MalusPersonalÍculos* canônicos, com incidência acima da média de 51 no *corpus* de 13.500 sinais de Libras. Parte 2: *DisMascarEmas-MalusPersonalÍculos*, posições 6º a 10º. Ordem e Incidência Absoluta de cada *SematosEma* de Sentimentos e Sensações Negativas no *corpus*.

Ord e IA	***DisMascarEmas-MalusPersonalÍculos***	**Sinal exemplo**
6º 79	 SSN18: indignado, indignação	 PARA QUE...? PARA QUÊ?
7º 74	 SSN25: descontente, descontentamento	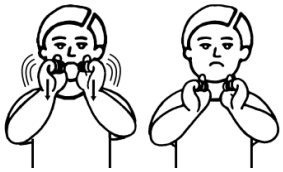 LÁGRIMA(S)
8º 67	 SSN19: bravo, braveza	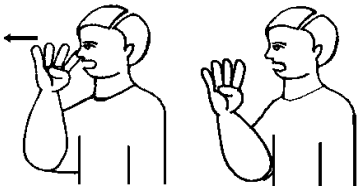 ABSURDO
9º 62	 SSN20: raivoso, raiva	 ENFORCAR
10º 51	 SSN23: aflito, angustiado, aflição. angústia	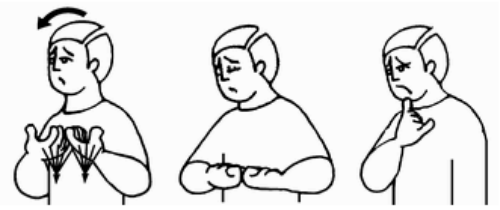 DEPRESSÃO

As Tabelas 7.100 a 7.104 apresentam as ilustrações dos sinais que contêm os 10 *DisMascarEmas-MalusPersonalÍculos* não canônicos, com incidência abaixo da média de 51 no *corpus* de 13.500 sinais de Libras.

Tabela 7.100. Sinais que contêm os 10 *DisMascarEmas-MalusPersonalÍculos* canônicos, com incidência abaixo da média de 51 no *corpus* de 13.500 sinais de Libras. Parte 3: *DisMascarEmas-MalusPersonalÍculos* , posições 11º a 15º. Ordem e Incidência Absoluta de cada *SematosEma* de Sentimentos e Sensações Negativas no *corpus*.

Ord e IA	***DisMascarEmas-MalusPersonalÍculos***	**Sinal exemplo**
11º 49	 SSN39: dolorido, dor	 CÃIBRA
12º 46	 SSN37: nauseado, náusea	 ENJOADO, ENJÔO
13º 45	 SSN26: ariste, tristeza	 ENTRISTECER
14º 44	 SSN24: Desanimado, desânimo	 DESANIMADO
15º 43	 SSN21: com ódio, ódio	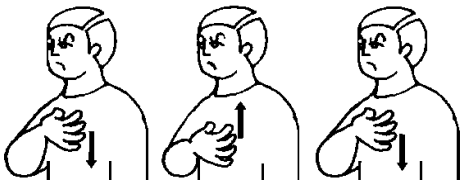 BRAVO

Tabela 7.101. Sinais que contêm os 10 *DisMascarEmas-MalusPersonalÍculos* canônicos, com incidência abaixo da média de 51 no *corpus* de 13.500 sinais de Libras. Parte 4: *DisMascarEmas-MalusPersonalÍculos*, posições 16º a 21º. Ordem e Incidência Absoluta de cada *SematosEma* de Sentimentos e Sensações Negativas no *corpus*.

Ord e IA	***DisMascarEmas-MalusPersonalÍculos***	**Sinal exemplo**
16º 42	 SSN22: apreensivo, apreensão	 MEDO, MEDROSO
17º 40	 SSN42: sério seriedade	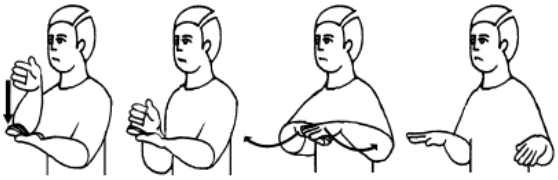 CHEGA! (basta de vez!)
18º 33	 SSN43: enjoado, nojo	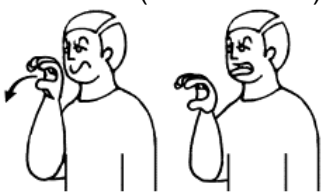 NOJENTO
19º 32	 SSN36: bêbado-tonto, embriaguez-tontura	 ALCOOLIZADO
20º 24	 SSN34: cansado, cansaço	 ABATIDO
21º 21	 SSN28: interrogativo, interrogação	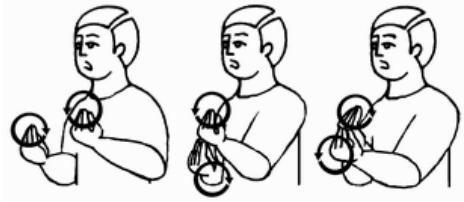 QUE MODO?

Tabela 7.102. Sinais que contêm os 10 *DisMascarEmas-MalusPersonalÍculos* canônicos, com incidência abaixo da média de 51 no *corpus* de 13.500 sinais de Libras. Parte 5: *DisMascarEmas-MalusPersonalÍculos*, posições 22º a 25º. Ordem e Incidência Absoluta de cada *SematosEma* de Sentimentos e Sensações Negativas no *corpus*.

Ord e IA	***DisMascarEmas-MalusPersonalÍculos***	**Sinal exemplo**
22º 22	 SSN40: surpreso-assustado, susto (desagradável)	 APAVORAR, APAVORADO
23º 20	 SSN32: desdenhoso, desdém	 COMODISMO, COMODISTA
23º 20	 SSN33: presunçoso, superioridade	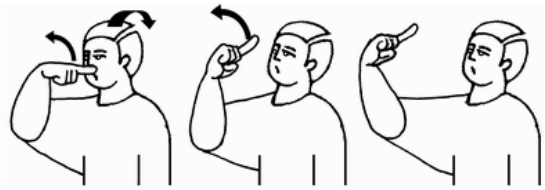 AFETADO (esnobe)
23º 20	 SSN46: malvado, maldade	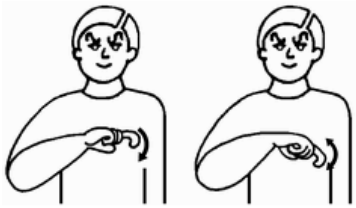 MALDADE
24º 17	 SSN41: amedrontado, medo	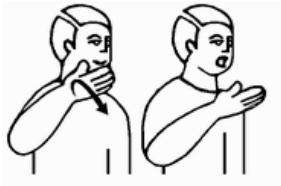 ESTUPEFATO
25º 14	 SSN27: em dúvida, dúvida	 DÚVIDA

Tabela 7.103. Sinais que contêm os 10 *DisMascarEmas-MalusPersonalÍculos* canônicos, com incidência abaixo da média de 51 no *corpus* de 13.500 sinais de Libras. Parte 6: *DisMascarEmas-MalusPersonalÍculos*, posições 25º a 29º. Ordem e Incidência Absoluta de cada *SematosEma* de Sentimentos e Sensações Negativas no *corpus*.

Ord e IA	***DisMascarEmas-MalusPersonalÍculos***	**Sinal exemplo**
25º 14	 SSN29: convicto, convicção	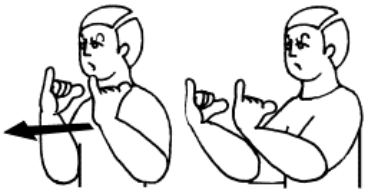 NUNCA MAIS
26º 13	 SSN35: ofegante-exausto, exaustão	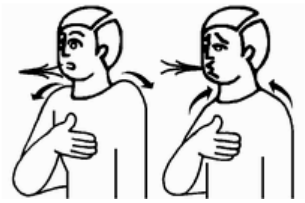 OFEGANTE
27º 12	 SSN47: vergonha, envergonhado	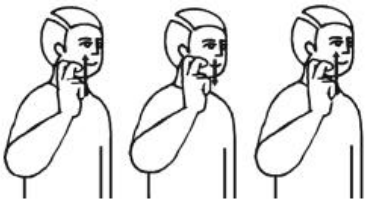 ACANHADO, ACANHAMENTO
28º 11	 SSN38: sufocado, sufoco	 SUFOCAR, SUFOCAR-SE
32º 9	 SSN44: penalizado, pena	 MISERICÓRDIA
29º 5	 SSN31: displicente, displicência	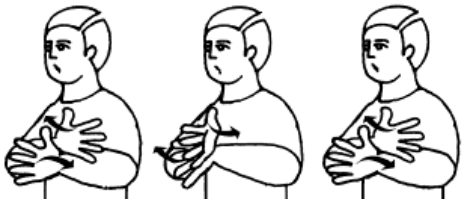 NEGLIGENCIAR, NEGLIGÊNCIA, NEGLIGENTE

Tabela 7.104. Sinais que contêm os 10 *DisMascarEmas-MalusPersonalÍculos* canônicos, com incidência abaixo da média de 51 no *corpus* de 13.500 sinais de Libras. Parte 7: *DisMascarEmas-MalusPersonalÍculos*, posições 30º a 31º. Ordem e Incidência Absoluta de cada *SematosEma* de Sentimentos e Sensações Negativas no *corpus*. Total de tipos de *SematosEmas* SSN. Incidência média de cada tipo de *SematosEma* SSN: Incidência total (de *SematosEmas* SSN) dividida pelo total de tipos de SSN.

Ord e IA	***DisMascarEmas-MalusPersonalÍculos***	**Sinal exemplo**
30º 4	 SSN45: arrependido, arrependimento	 ARREPENDER-SE, ARREPENDIMENTO, ARREPENDIDO
31º 3	 SSN30: distraído, distração	 DISTRAÇÃO, DISTRAÍDO
	Incidência total de *SematosEmas* SSN	1.772
	Total de tipos de *SematosEmas* SSN	35
	Incidência média de cada tipo de *SematosEma* SSN	51

5.3: EMF: Estados e Movimentos da Face (*MascarasCinesEmas-PersonaeMotusÍculos*)

Houve 30 *MascarasCinesEmas-PersonaMotusÍculos*, dos quais 10 canônicos (acima da média) e 20 não canônicos (abaixo da média).

As Tabelas 7.105 a 7.106 apresentam as ilustrações dos sinais que contêm os 10 *MascarasCinesEmas-PersonaMotusÍculos* canônicos, com incidência acima da média de 53 no *corpus* de 13.500 sinais de Libras. Esses *MascarasCinesEmas-PersonaMotusÍculos* e respectivos sinais ilustrativos são:

1: *Boca aberta*, ilustrada no sinal ALTO-FALANTE;
2: *Bochechas infladas*, ilustrada no sinal ABASTADO;
3: *Testa franzida*, ilustrada no sinal ARREPENDER-SE, ARREPENDIMENTO, ARREPENDIDO;
4: Bochechas sugadas, ILUSTRADA no sinal AINDA NÃO;
5: Olhos fechados, ilustrada no sinal BRAILE;
6: *Boca semi-aberta*, ilustrada no sinal DEDURAR;
7: *Olhar em direção a*, ilustrada no sinal APONTAR;
8: *Soltando ar, assoprar, expirar*, ilustrada no sinal ALIVIAR, ALIVIAR-SE, ALÍVIO;
9: *Dentes cerrados, mostrando dentes*, ilustrada no sinal SER ARRANHADO.
10: *Sobrancelhas arqueadas*, ilustrada no sinal CARATÊ;

As Tabelas 7.105 a 7.106 apresentam ilustrações de sinais que contêm os 10 *MascarasCinesEmas-PersonaMotusÍculos* canônicos, com incidência acima da média de 53 no *corpus* de 13.500 sinais de Libras.

Tabela 7.105. Sinais que contêm os 10 *MascarasCinesEmas-PersonaMotusÍculos* canônicos, com incidência acima da média de 53 no *corpus* de 13.500 sinais de Libras. Parte 1: *DexiQuiriFormEmas-DestroManusFormÍculos*, posições 1º a 5º. Ordem e Incidência Absoluta de cada *SematosEma* de Estados e Movimentos da Face no *corpus*.

Ord IA	***DisMascarEmas-MalusPersonalÍculos***	**Sinal exemplo**
1º 209	EMF47: boca aberta	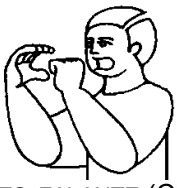 ALTO-FALANTE (CL)
2º 185	EMF54: bochechas infladas	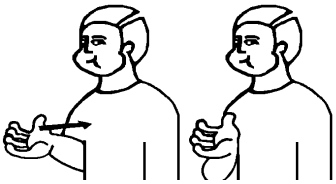 ABASTADO
3º 138	EMF70: testa franzida	ARREPENDER-SE, ARREPENDIMENTO, ARREPENDIDO
4º 104	EMF55: bochechas sugadas	AINDA NÃO
5º 78	EMF66: olhos fechados	BRAILE

Tabela 7.106. Sinais que contêm os 10 *MascarasCinesEmas-PersonaMotusÍculos* canônicos, com incidência acima da média de 53 no *corpus* de 13.500 sinais de Libras. Parte 2: *MascarasCinesEmas-PersonaMotusÍculos*, posições 6º a 10º. Ordem e Incidência Absoluta de cada *SematosEma* de Estados e Movimentos da Face no *corpus*.

Ord e IA	***DisMascarEmas-MalusPersonaIÍculos***	**Sinal exemplo**
6º 74	 EMF48: boca semi-aberta	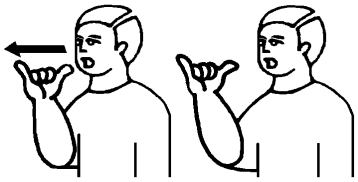 DEDURAR (gíria)
7º 66	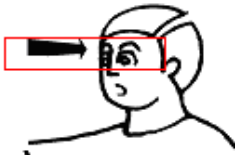 EMF72: olhar em direção a ...	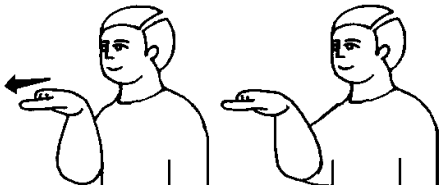 APONTAR
8º 65	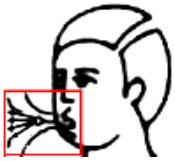 EMF59: soltando ar, assoprar, expirar	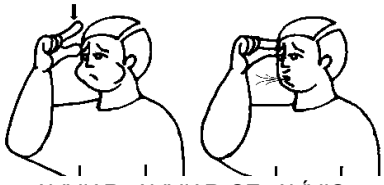 ALIVIAR, ALIVIAR-SE, ALÍVIO
9º 63	 EMF57: dentes cerrados, mostrando dentes	 SER ARRANHADO
10º 58	 EMF69: sobrancelhas arqueadas	 CARATÊ

As Tabelas 7.107. a 7.110. apresentam as ilustrações dos sinais que contêm os 20 *MascarasCinesEmas-PersonaMotusÍculos* não canônicos, com incidência abaixo da média de 53 no *corpus* de 13.500 sinais de Libras.

Tabela 7.107. Sinais que contêm os 20 *MascarasCinesEmas-PersonaMotusÍculos* canônicos, com incidência abaixo da média de 53 no *corpus* de 13.500 sinais de Libras. Parte 3: *MascarasCinesEmas-PersonaMotusÍculos*, posições 11º a 15º. Ordem e Incidência Absoluta de cada *SematosEma* de Estados e Movimentos da Face no *corpus*.

Ord e IA	***DisMascarEmas-MalusPersonaIÍculos***	**Sinal exemplo**
11º 52	 EMF51: língua (ou ponta) para fora	 APIMENTADO
12º 51	 EMF50: lábios protuberantes	 ACAUTELAR-SE (prevenir-se)
13º 50	 EMF52: batendo língua entre lábios	 BRONCA
14º 47	 EMF49: lábios cerrados	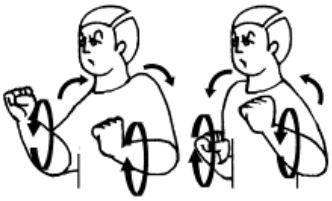 AGITAR, AGITAR-SE, AGITAÇÃO, AGITADO
15º 44	 EMF62: mexer boca abrindo e fechando, mastigar	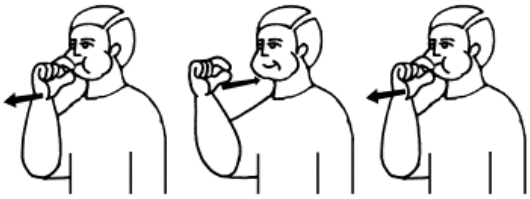 CHICLETE (goma de mascar)

Tabela 7.108. Sinais que contêm os 20 *MascarasCinesEmas-PersonaMotusÍculos* canônicos, com incidência abaixo da média de 53 no *corpus* de 13.500 sinais de Libras. Parte 4: *MascarasCinesEmas-PersonaMotusÍculos*, posições 16º a 21º. Ordem e Incidência Absoluta de cada *SematosEma* de Estados e Movimentos da Face no *corpus*.

Ord e IA	***DisMascarEmas-MalusPersonalÍculos***	**Sinal exemplo**
16º 42	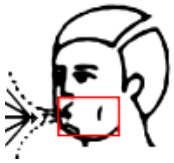 EMF60: inspirando ar	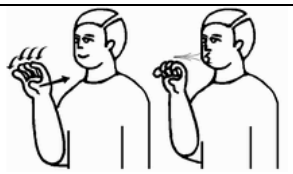 ASPIRAR
17º 37	 EMF65: olhos arregalados	 ALERTA
18º 34	 EMF63: emitindo fala, barulho, som	 LEÃO
19º 33	 EMF53: estalando lábios, beijar	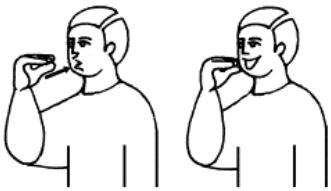 BEIJAR (no rosto)
20º 28	 EMF73: boca com cantos rebaixados	 CONFIDENCIAL
21º 27	 EMF68: cabeça balançando negativamente	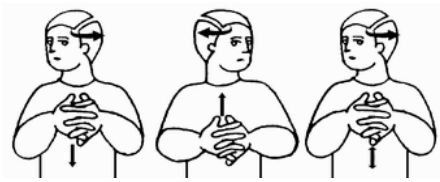 COMPLICADO

Tabela 7.109. Sinais que contêm os 20 *MascarasCinesEmas-PersonaMotusÍculos* canônicos, com incidência abaixo da média de 53 no *corpus* de 13.500 sinais de Libras. Parte 5: *MascarasCinesEmas-PersonaMotusÍculos*, posições 22º a 27º. Ordem e Incidência Absoluta de cada *SematosEma* de Estados e Movimentos da Face no *corpus*.

Ord e IA	***DisMascarEmas-MalusPersonalÍculos***	**Sinal exemplo**
22º 26	 EMF67: olhos semi-abertos	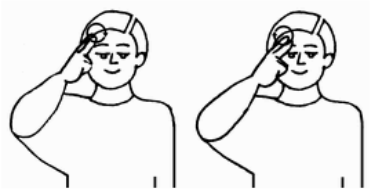 IMAGINAR
23º 19	 EMF64: mordendo	 INVEJAR, INVEJA
24º 18	 EMF74: piscar os olhos	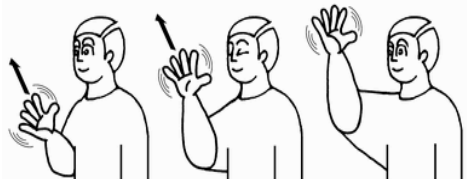 BRILHAR, BRILHO, BRILHANTE
25º 16	 EMF56: bochecha distendida por ponta da língua	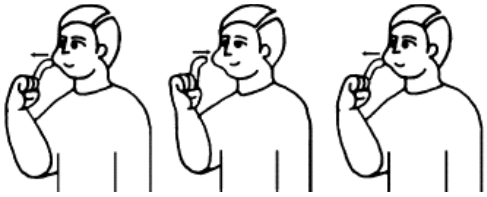 BALA
26º 9	 EMF58: batendo dentes	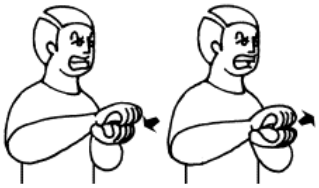 BRUXISMO
27º 4	 EMF75: cuspir	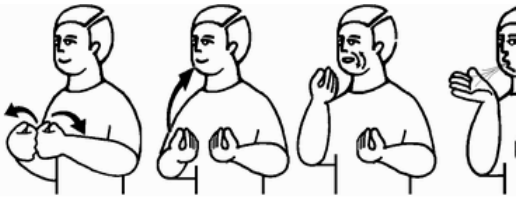 PITOMBA (fruta)

Tabela 7.110. Sinais que contêm os 20 *MascarasCinesEmas-PersonaMotusÍculos* canônicos, com incidência abaixo da média de 53 no *corpus* de 13.500 sinais de Libras. Parte 6: *MascarasCinesEmas-PersonaMotusÍculos*, posições 28º a 30º. Ordem e Incidência Absoluta de cada *SematosEma* de Estados e Movimentos da Face no *corpus*. Total de tipos de *SematosEmas* EMF. Incidência média de cada tipo de *SematosEma* EMF: Incidência total (de *SematosEmas* EMF) dividida pelo total de tipos de EMF.

Ord e IA	***DisMascarEmas-MalusPersonaIÍculos***	**Sinal exemplo**
28º 3	 EMF71: tossir	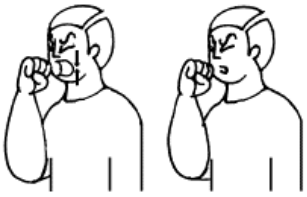 TOSSIR, TOSSE
29º 2	 EMF61: bocejando	 TODA MANHÃ
30º 1	 EMF76: mover o queixo para os lados	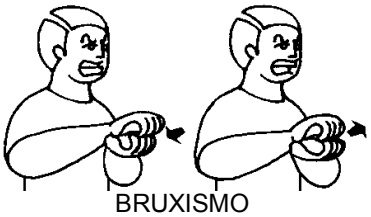 BRUXISMO
	Incidência total de *SematosEmas* EMF	1.583
	Total de tipos de *SematosEmas* EMF	30
	Incidência média de cada tipo de *SematosEma* EMF	53